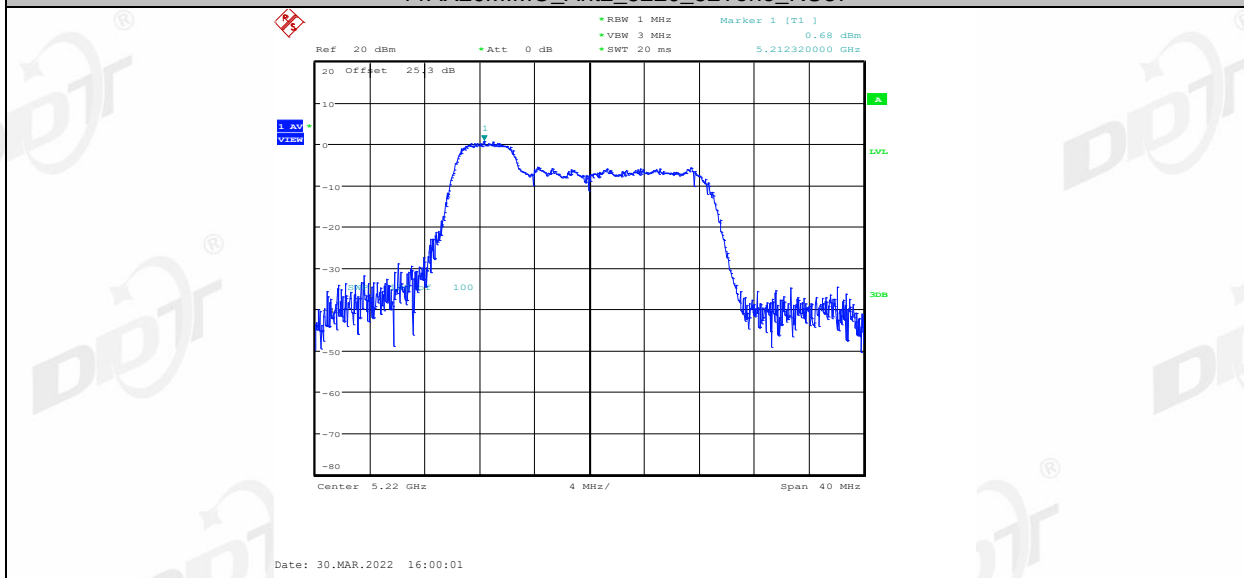
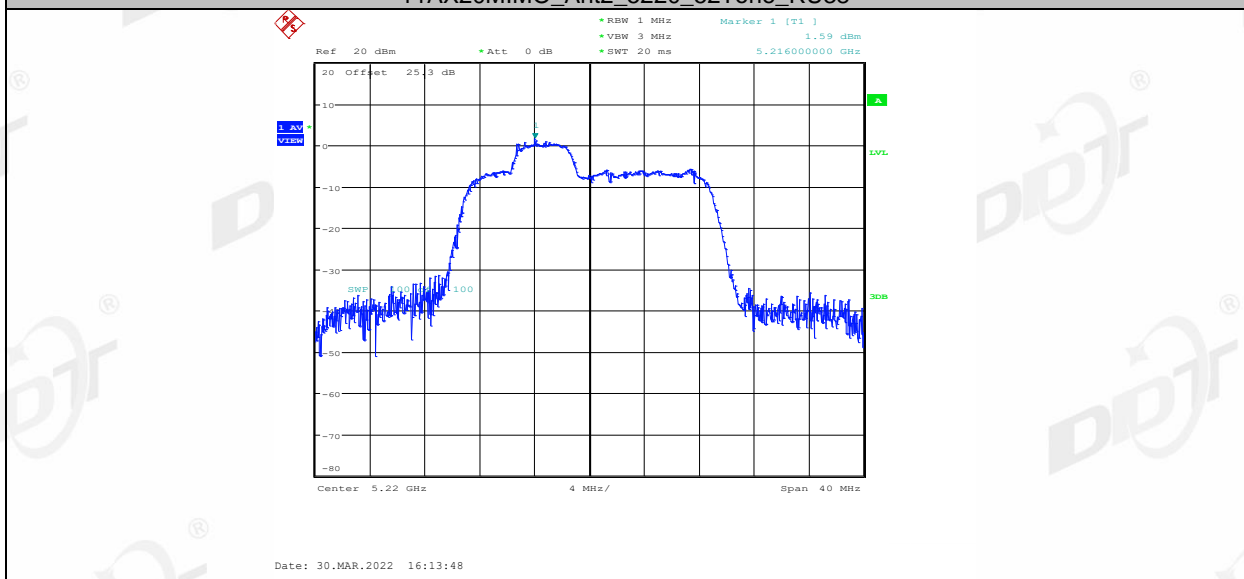


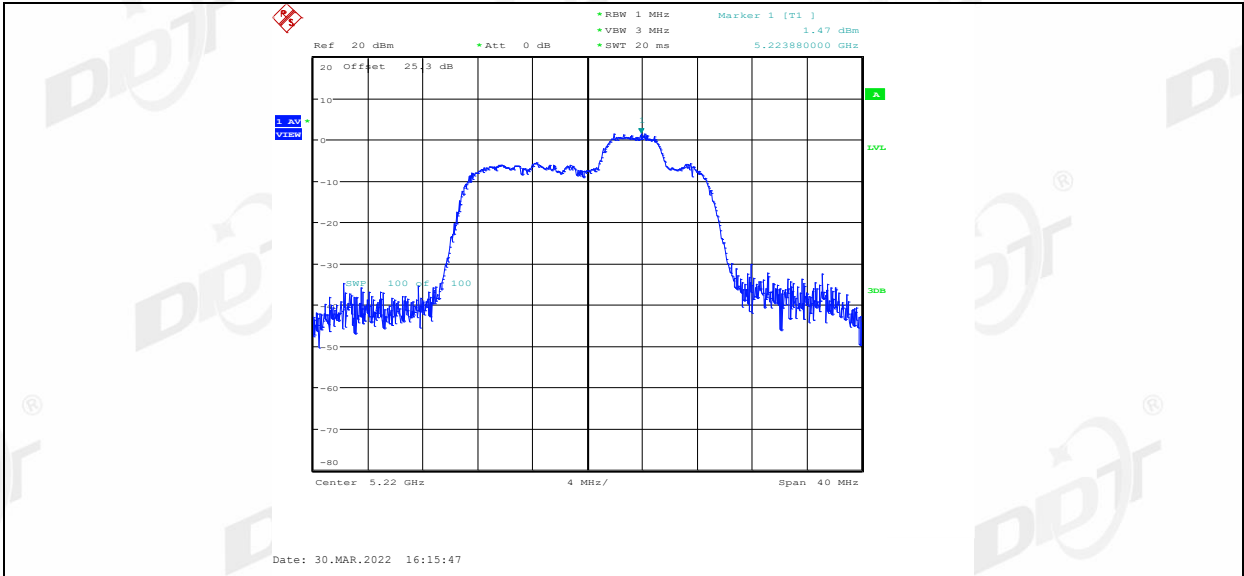
11AX20MIMO_Ant2_5220_52Tone_RU37



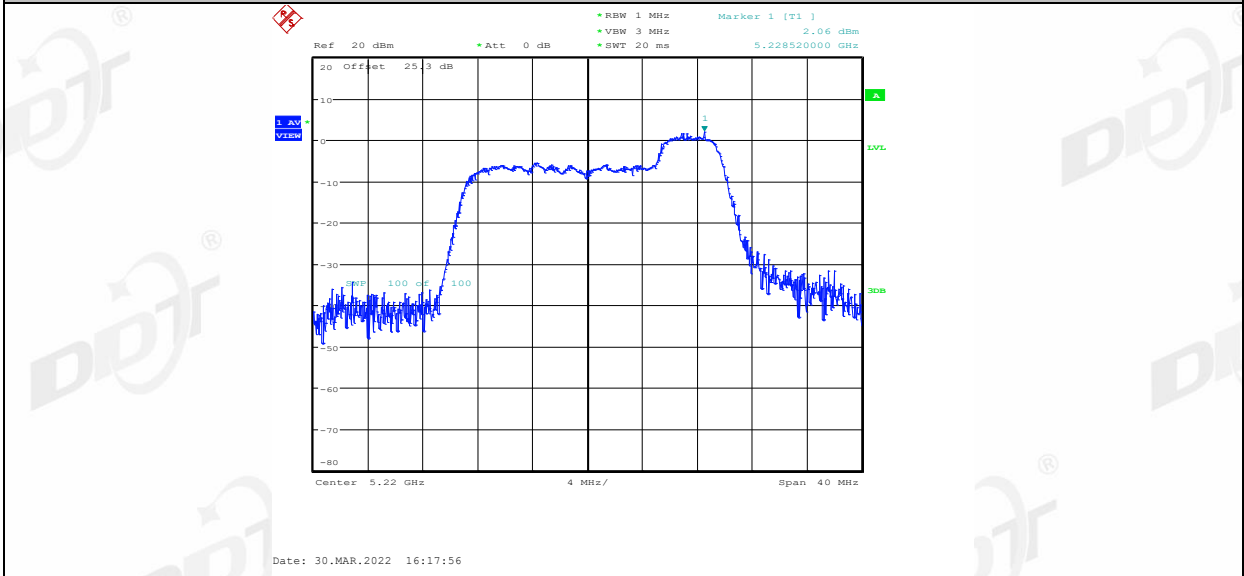
11AX20MIMO_Ant2_5220_52Tone_RU38



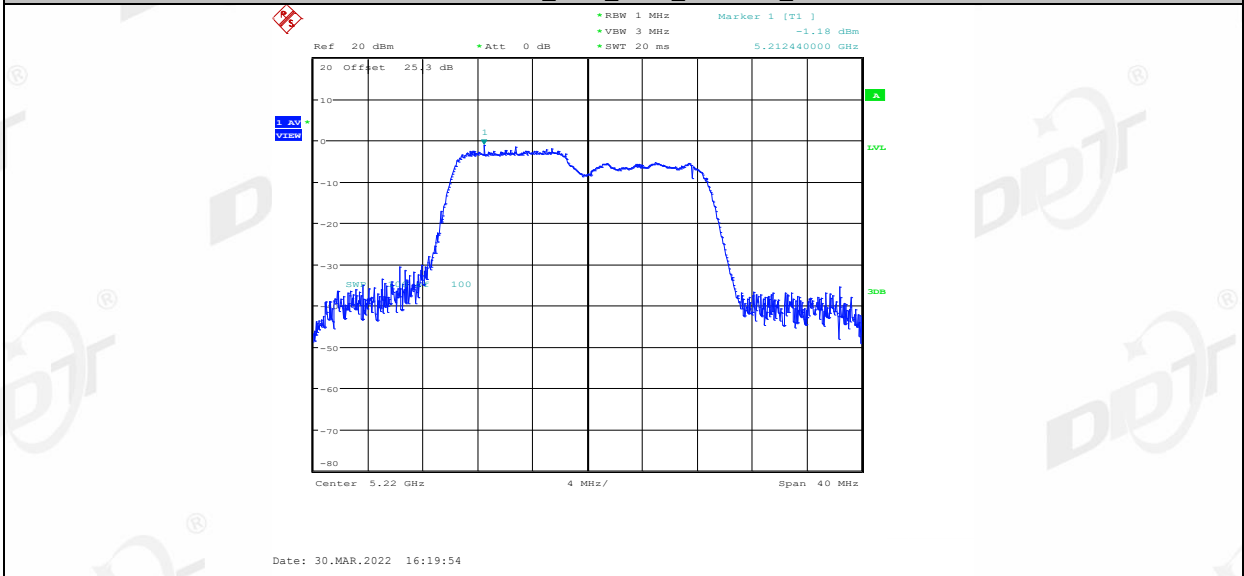
11AX20MIMO_Ant2_5220_52Tone_RU39



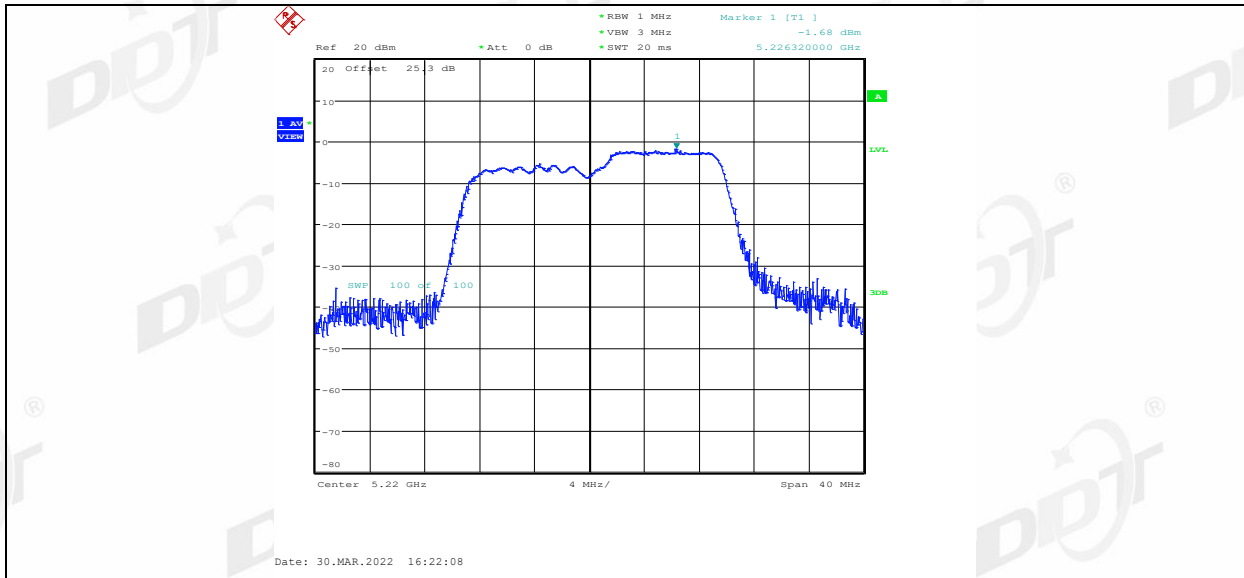
11AX20MIMO_Ant2_5220_52Tone_RU40



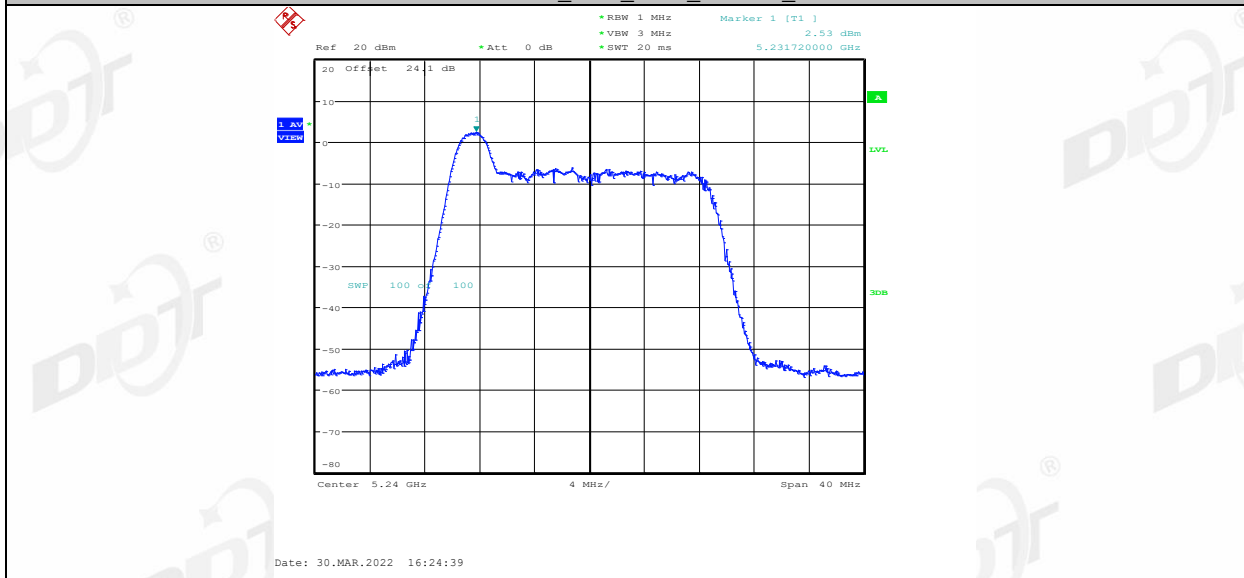
11AX20MIMO_Ant2_5220_106Tone_RU53



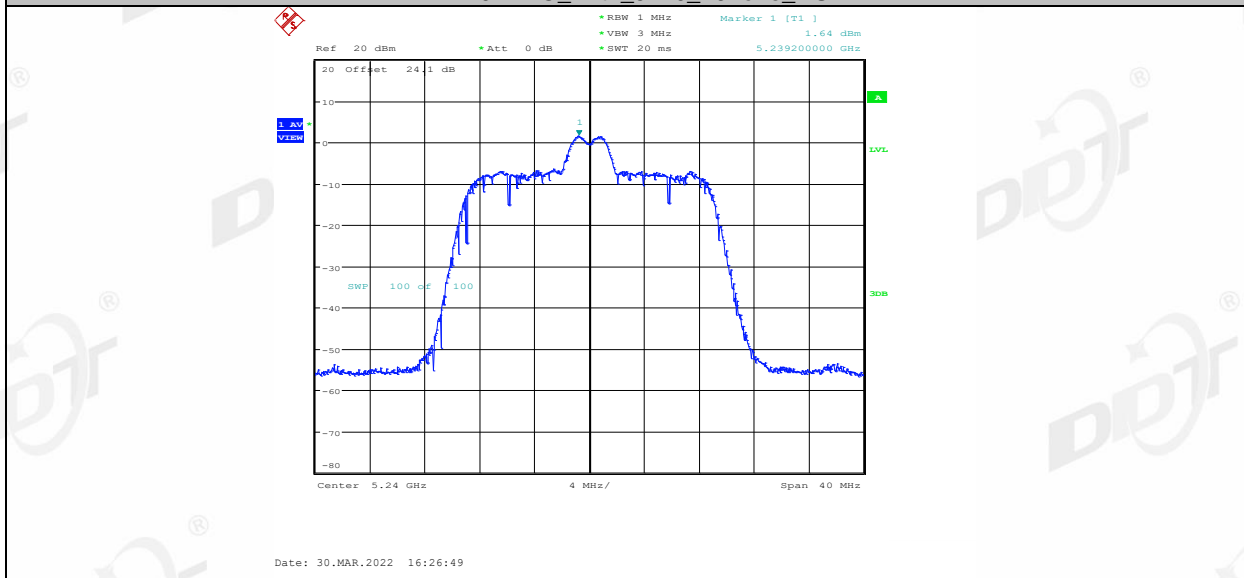
11AX20MIMO_Ant2_5220_106Tone_RU54



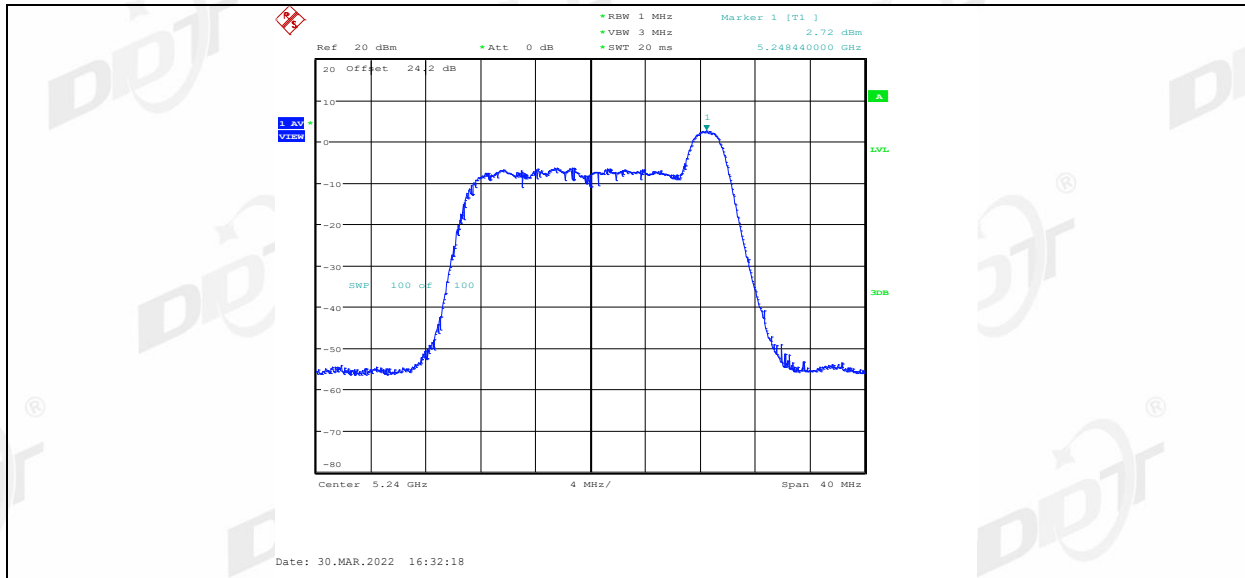
11AX20MIMO_Ant1_5240_26Tone_RU0



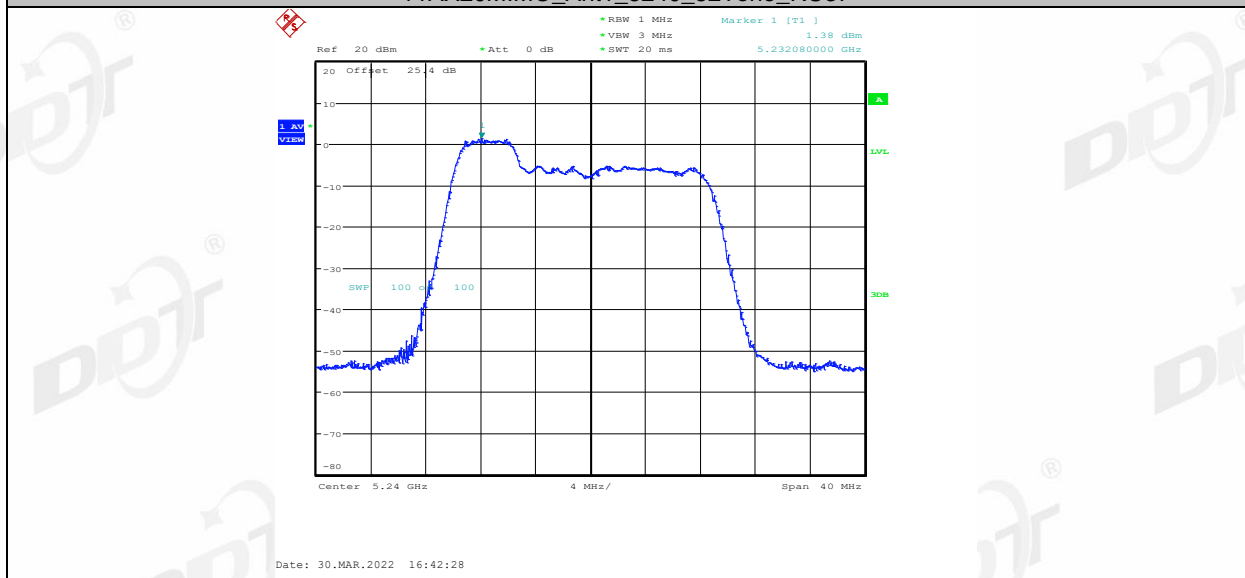
11AX20MIMO_Ant1_5240_26Tone_RU4



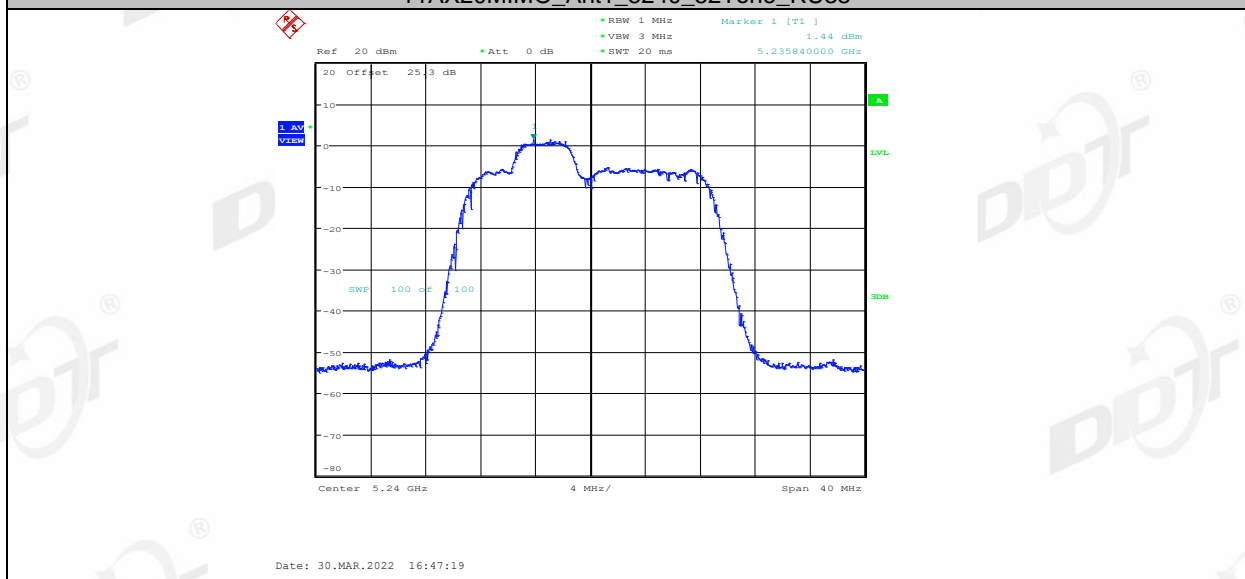
11AX20MIMO_Ant1_5240_26Tone_RU8



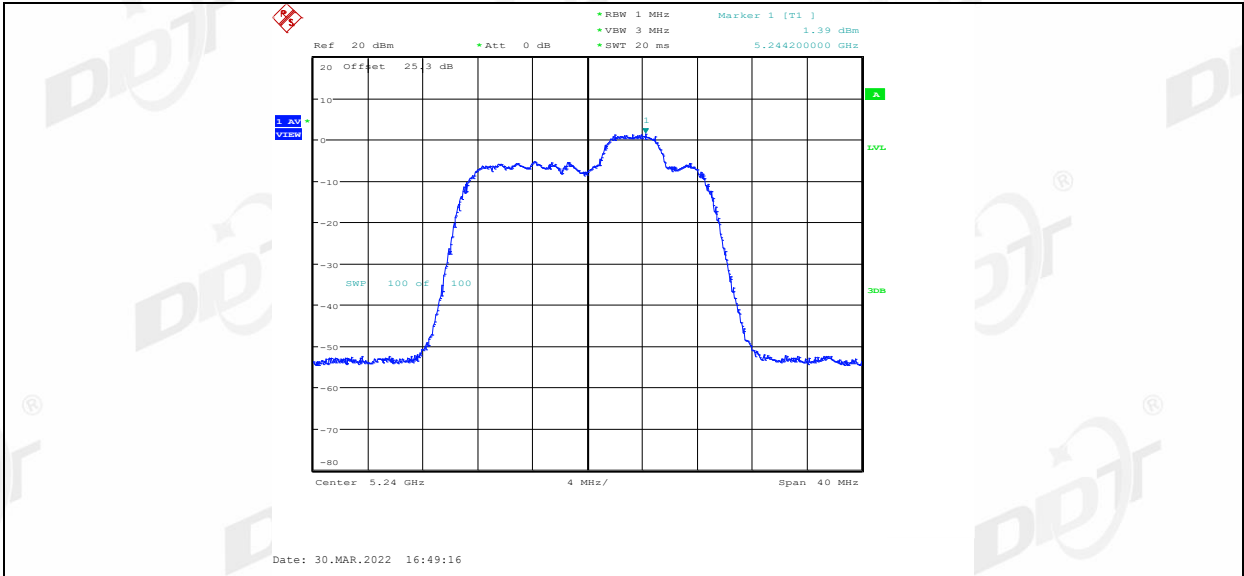
11AX20MIMO_Ant1_5240_52Tone_RU37



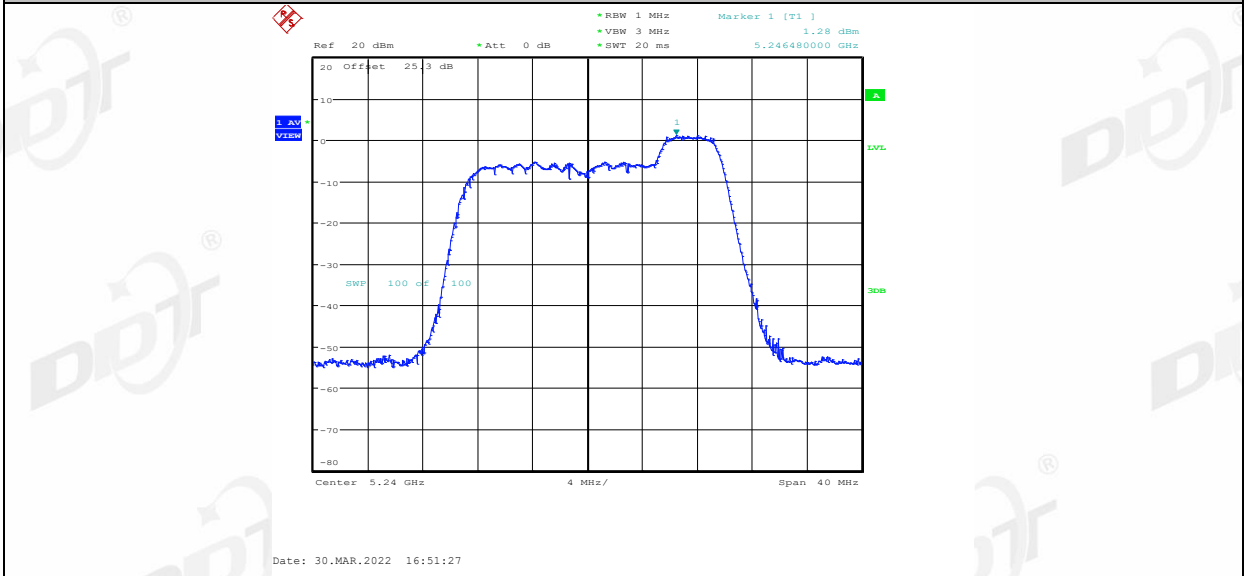
11AX20MIMO_Ant1_5240_52Tone_RU38



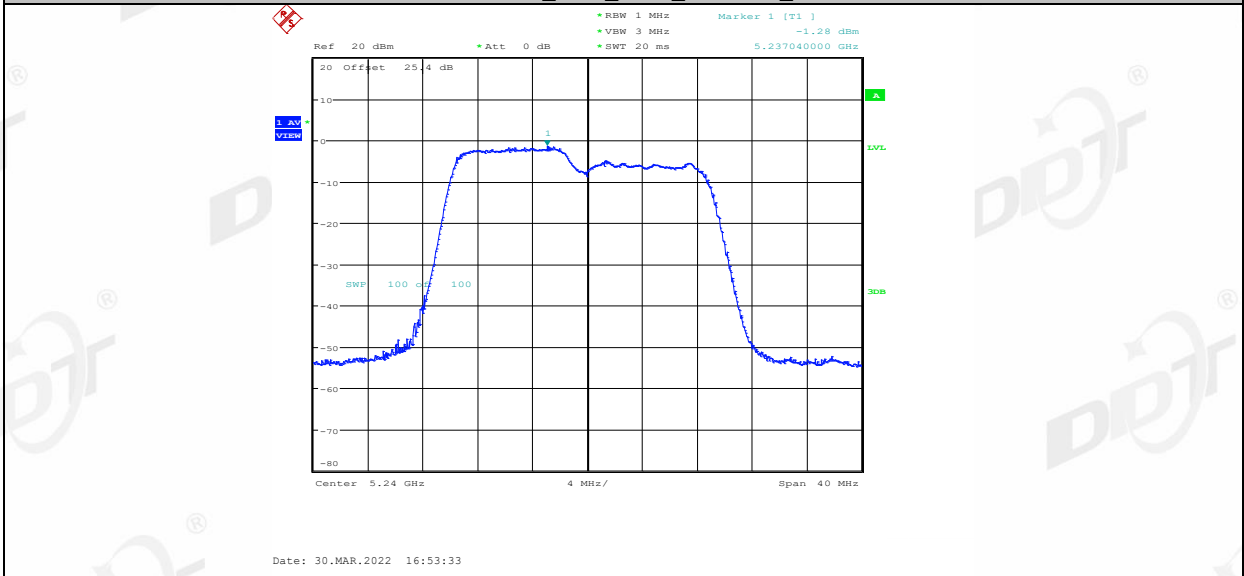
11AX20MIMO_Ant1_5240_52Tone_RU39



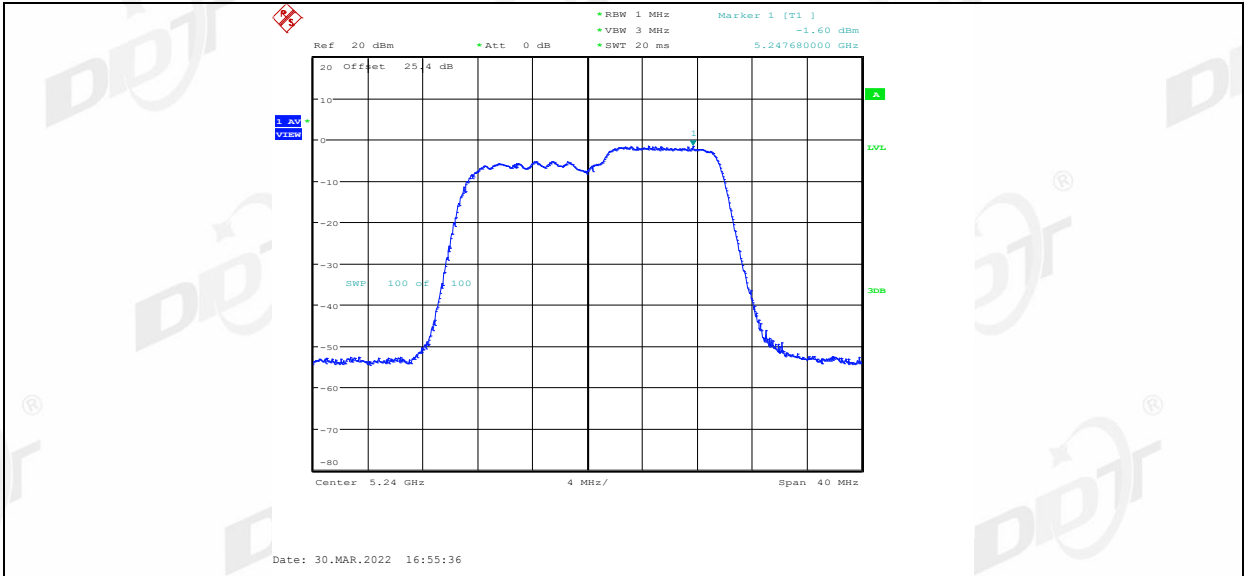
11AX20MIMO_Ant1_5240_52Tone_RU40



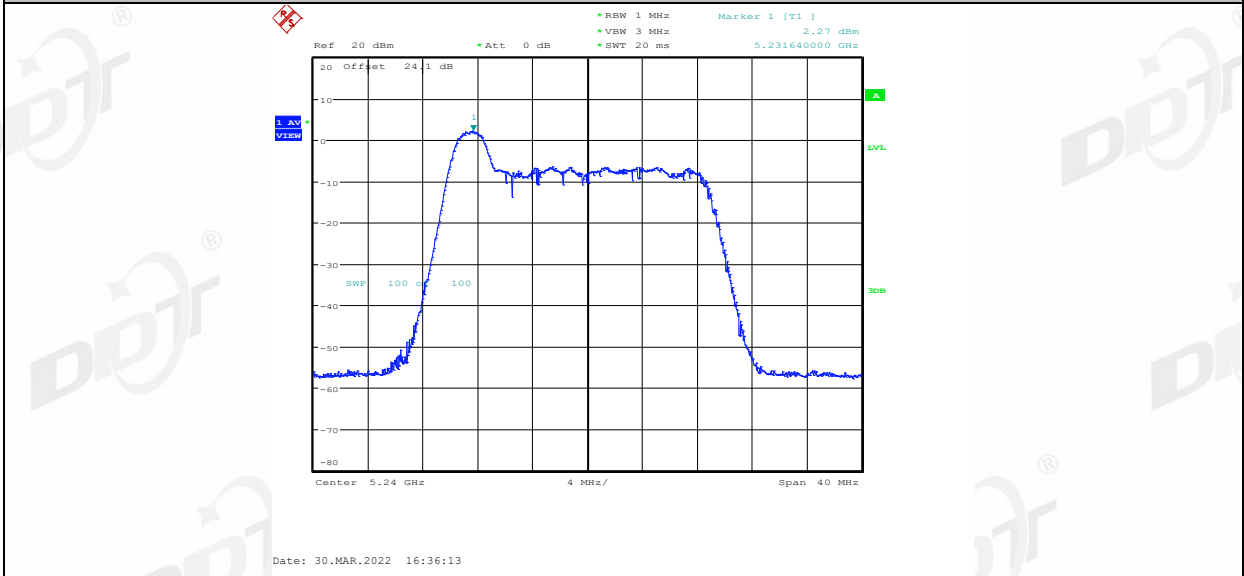
11AX20MIMO_Ant1_5240_106Tone_RU53



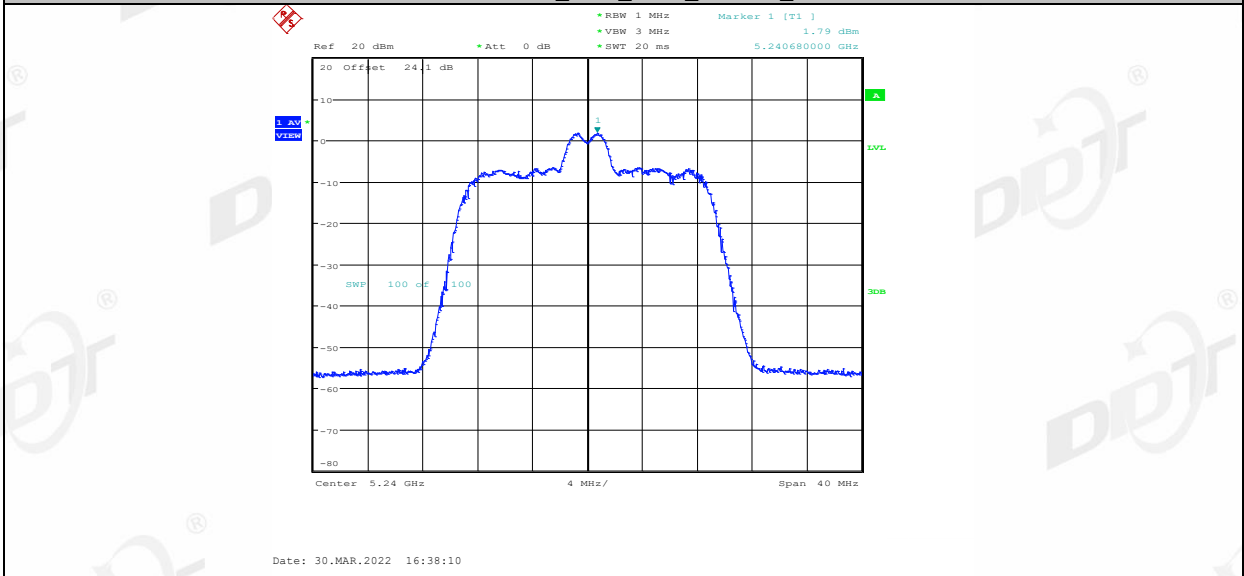
11AX20MIMO_Ant1_5240_106Tone_RU54



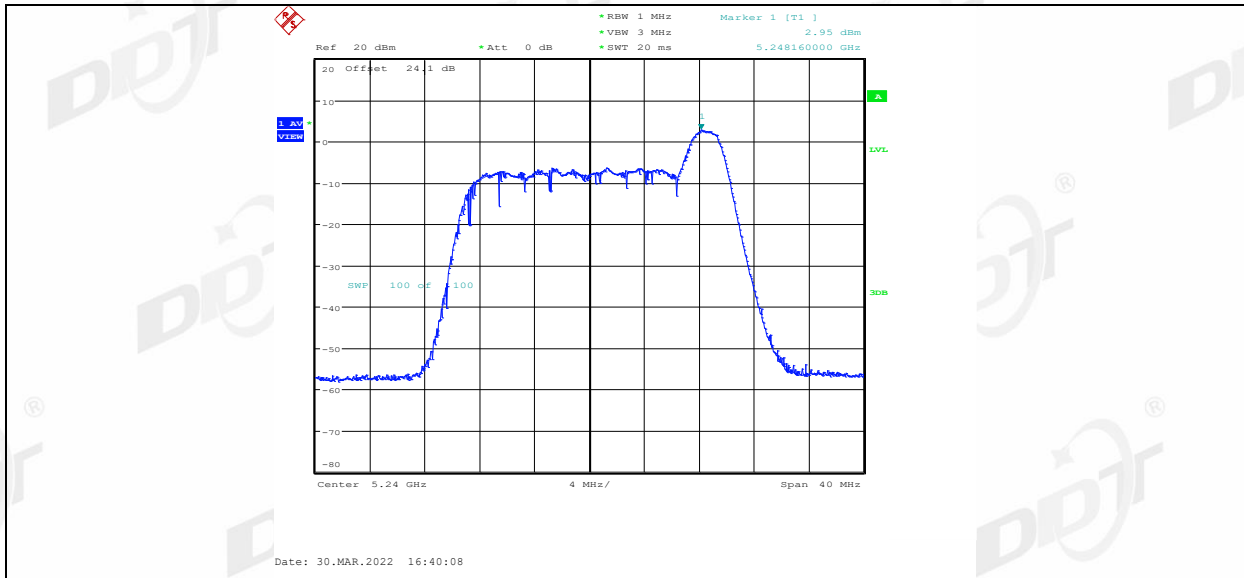
11AX20MIMO_Ant2_5240_26Tone_RU0



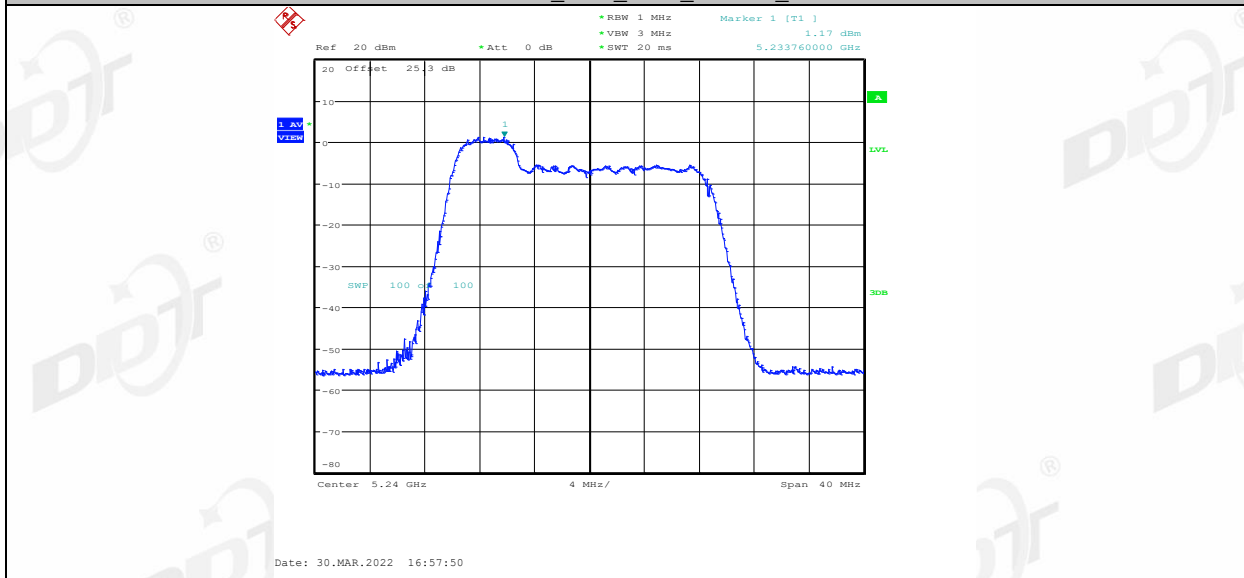
11AX20MIMO_Ant2_5240_26Tone_RU4



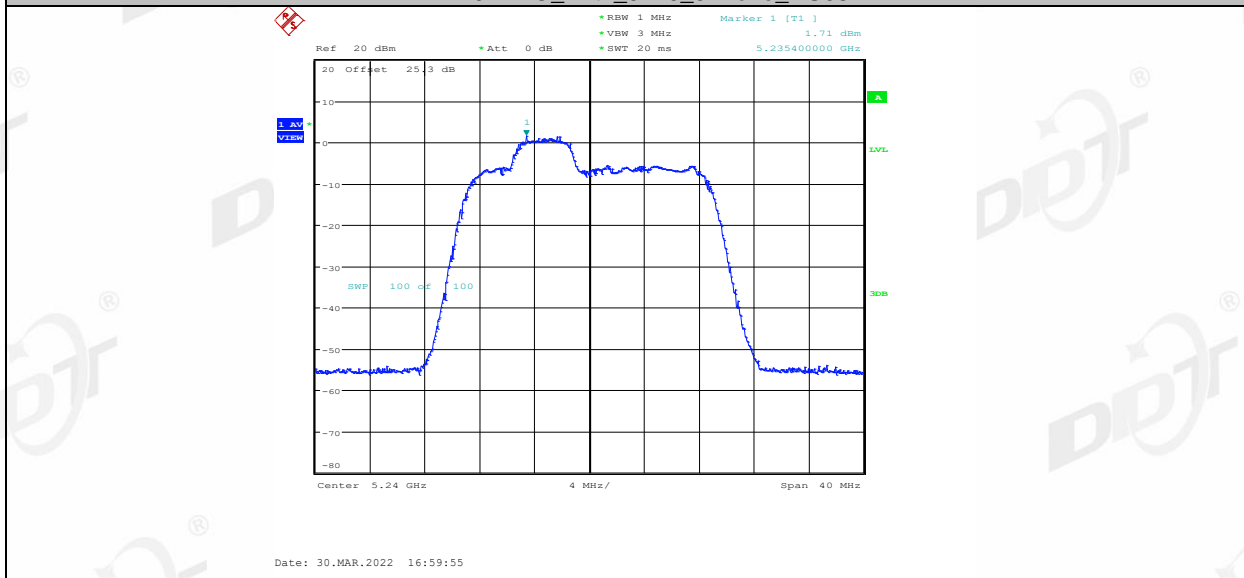
11AX20MIMO_Ant2_5240_26Tone_RU8



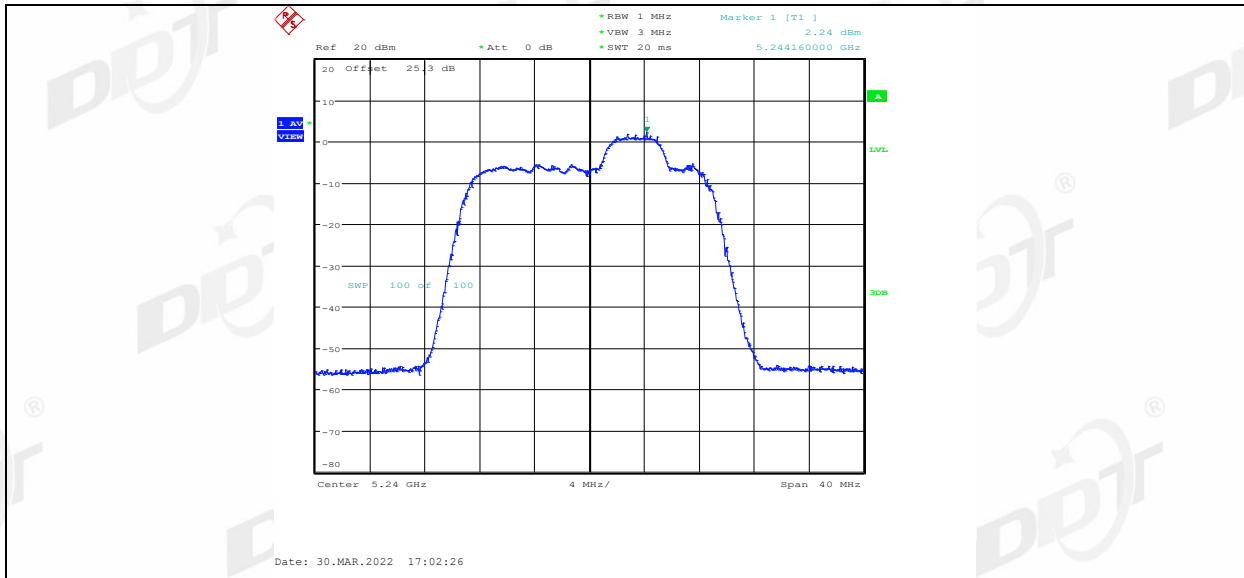
11AX20MIMO_Ant2_5240_52Tone_RU37



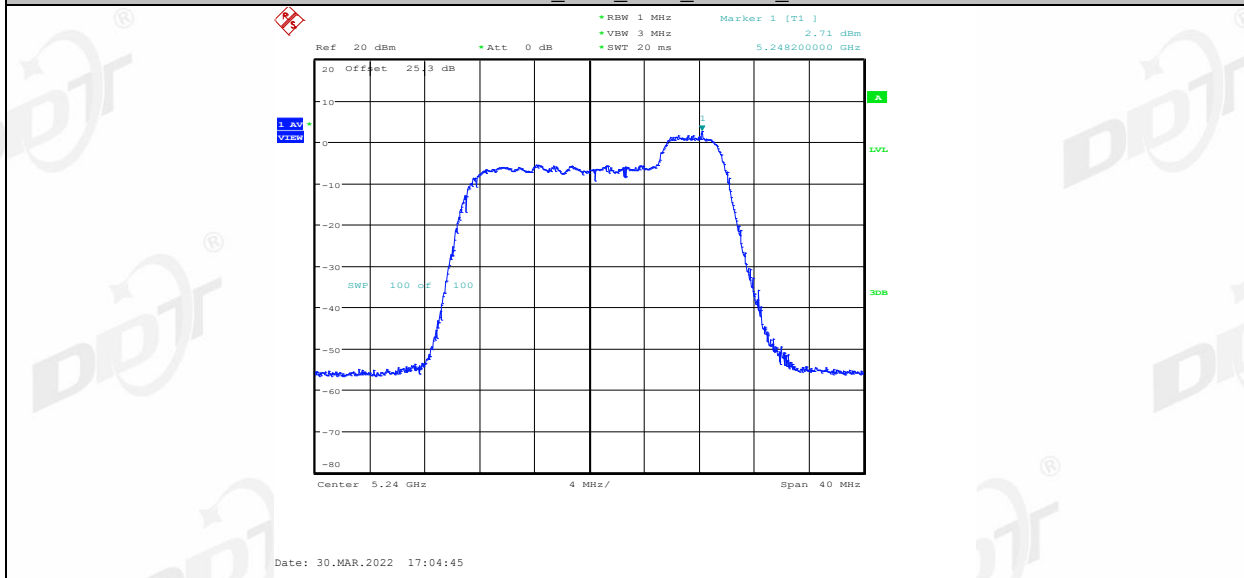
11AX20MIMO_Ant2_5240_52Tone_RU38



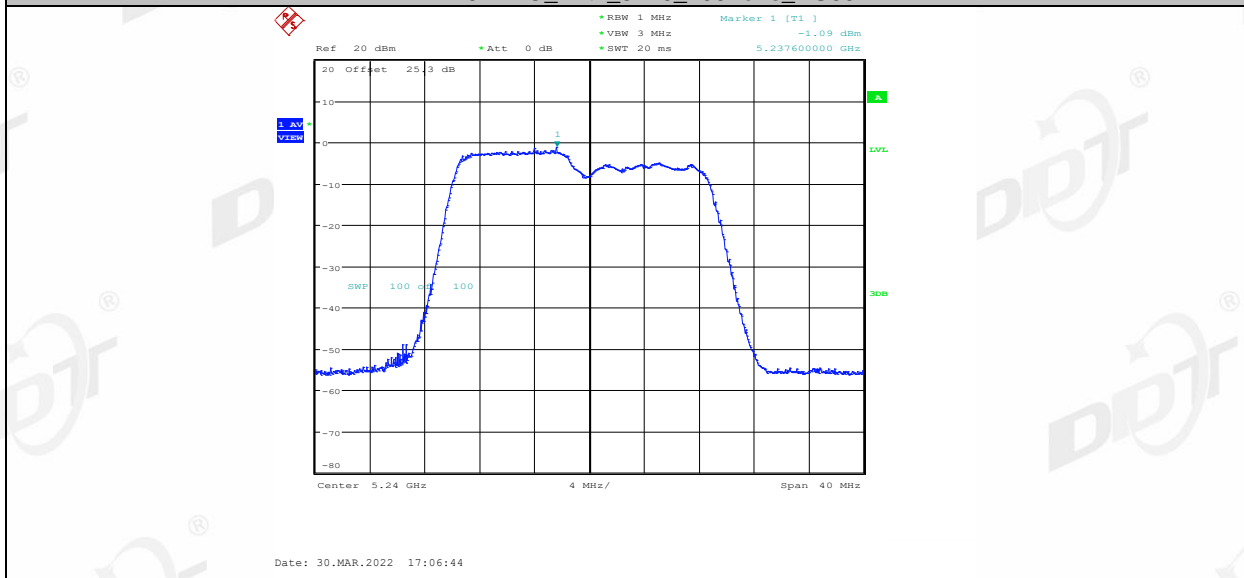
11AX20MIMO_Ant2_5240_52Tone_RU39



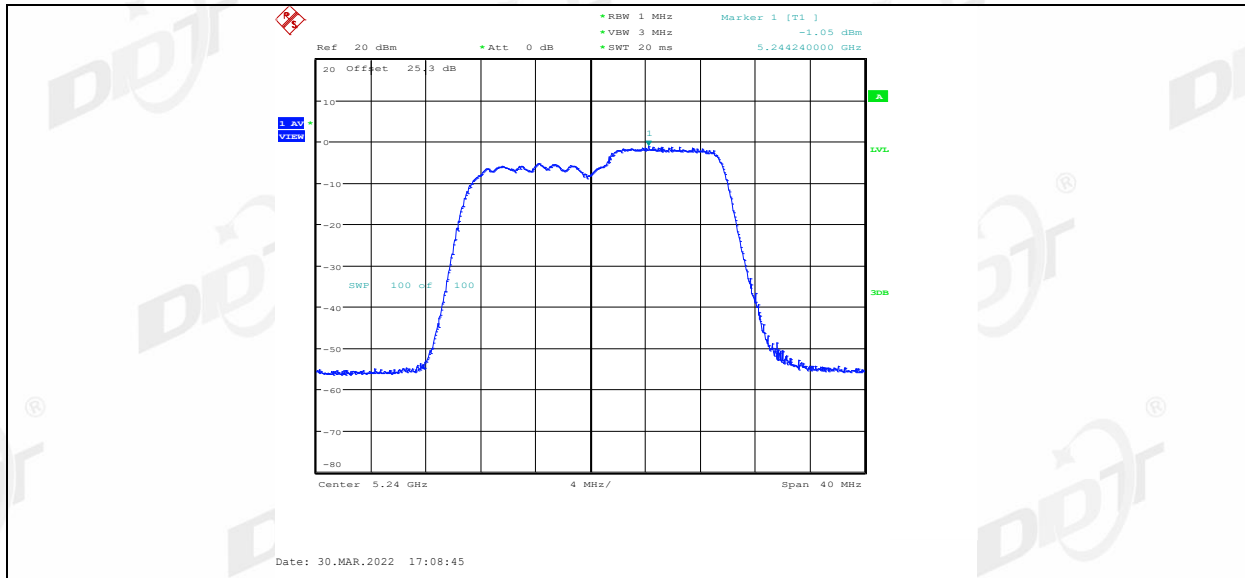
11AX20MIMO_Ant2_5240_52Tone_RU40



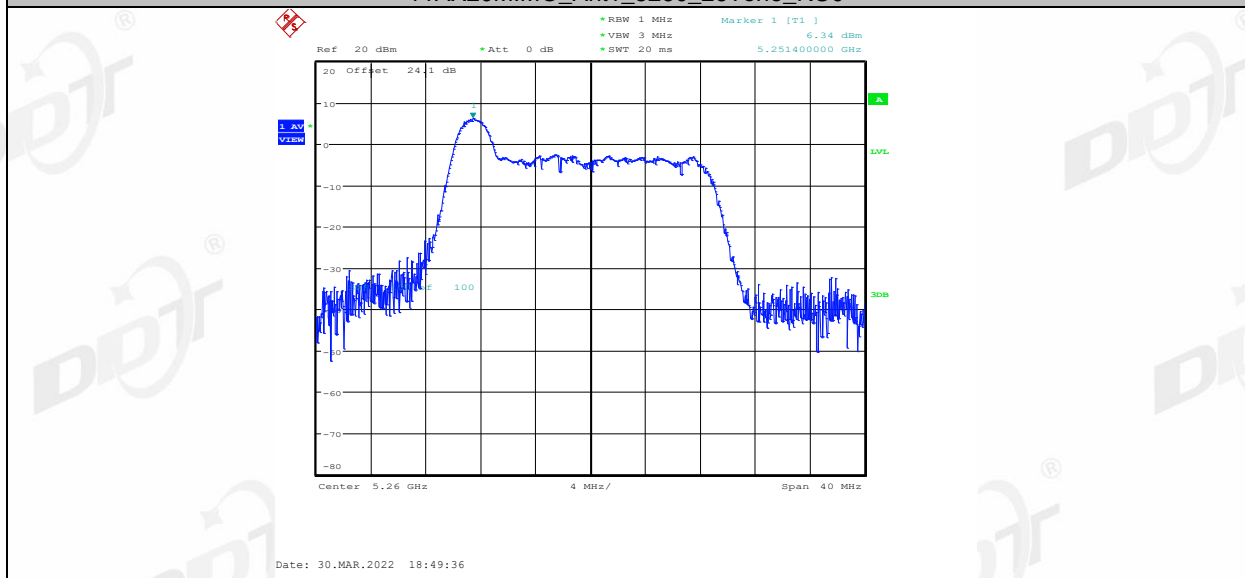
11AX20MIMO_Ant2_5240_106Tone_RU53



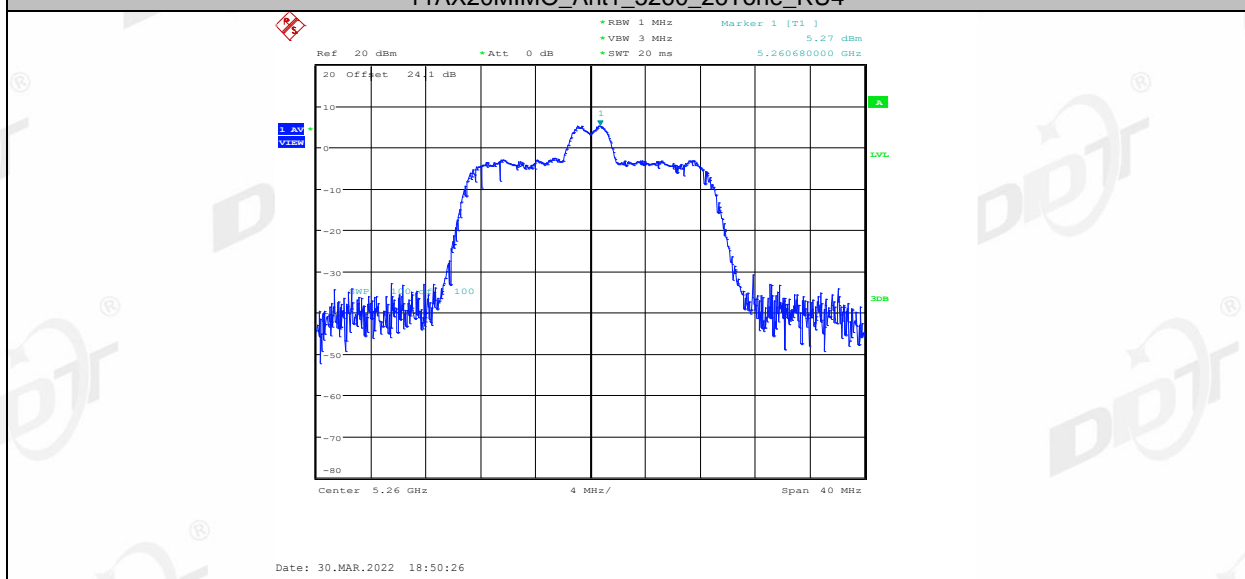
11AX20MIMO_Ant2_5240_106Tone_RU54



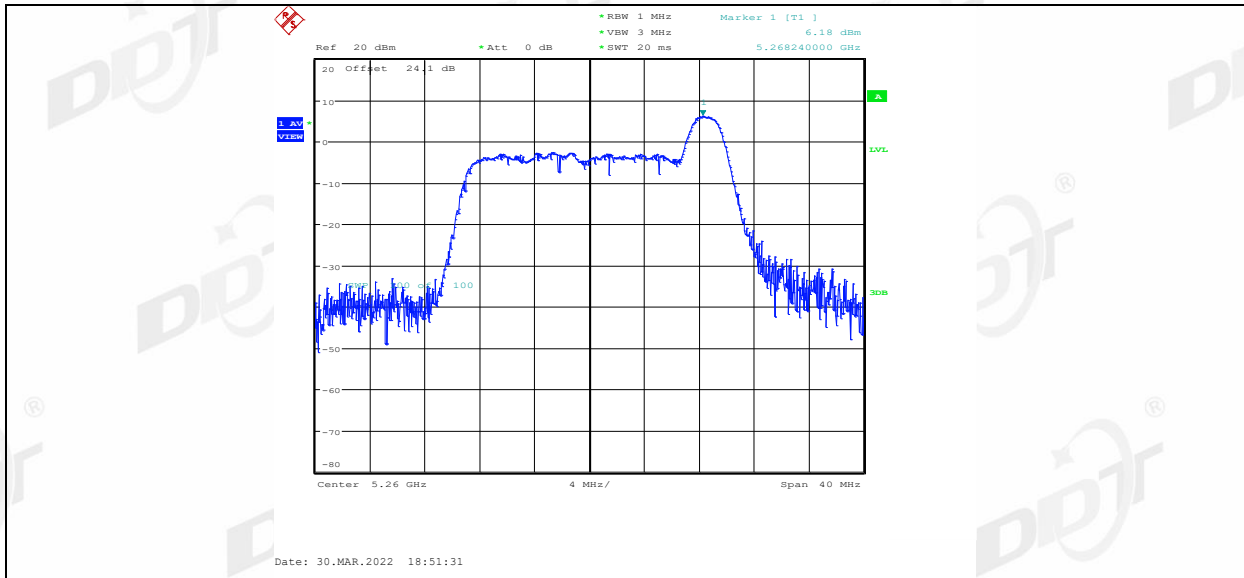
11AX20MIMO_Ant1_5260_26Tone_RU0



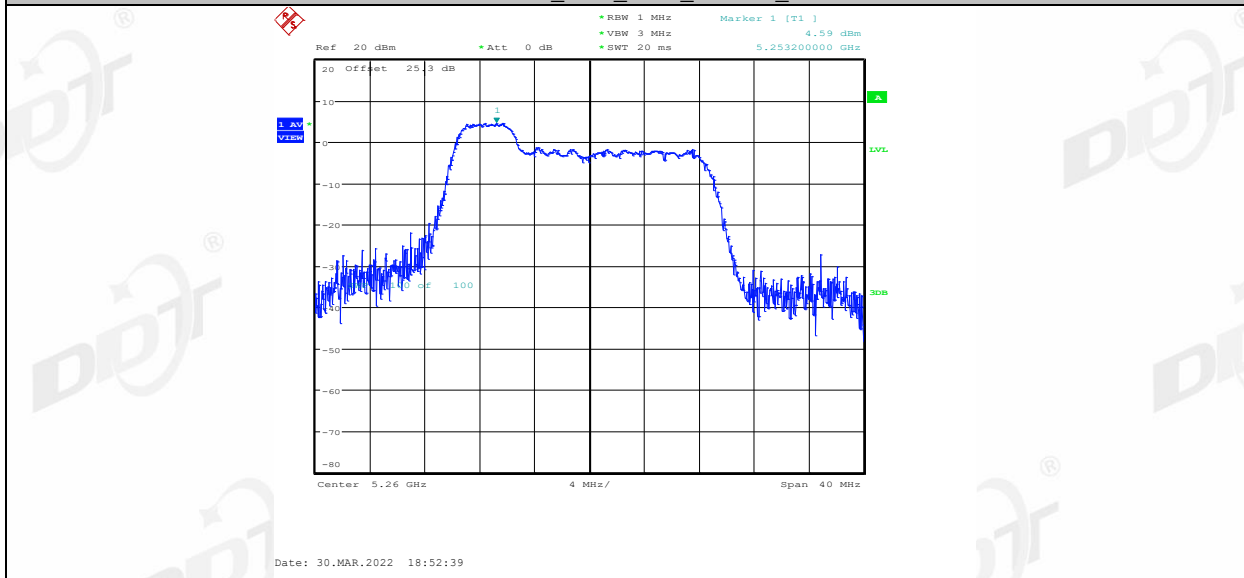
11AX20MIMO_Ant1_5260_26Tone_RU4



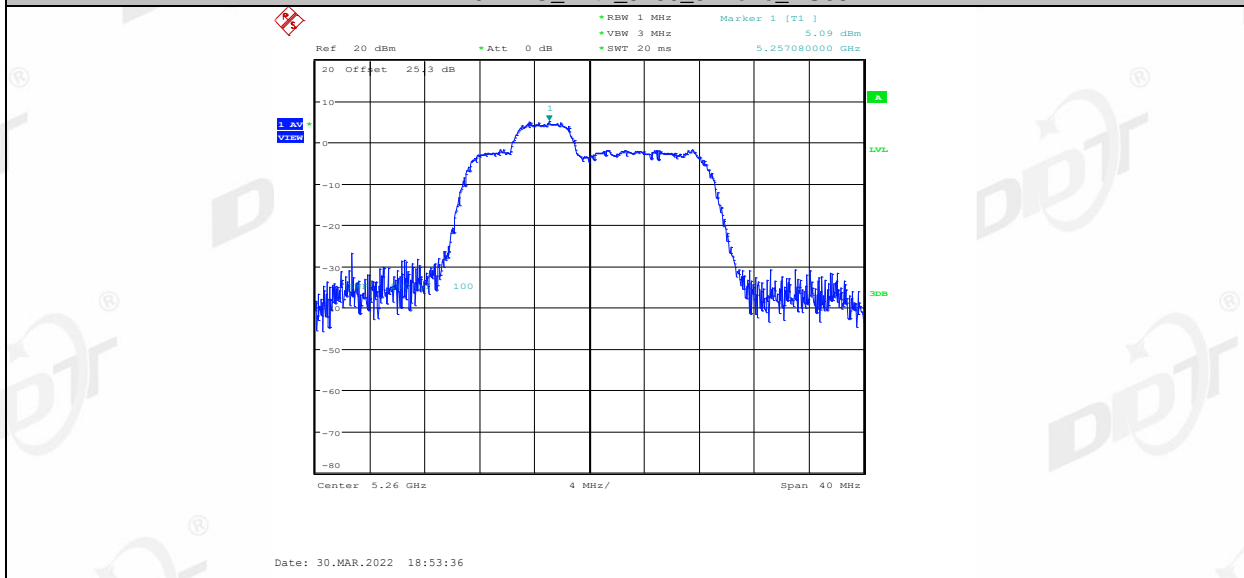
11AX20MIMO_Ant1_5260_26Tone_RU8



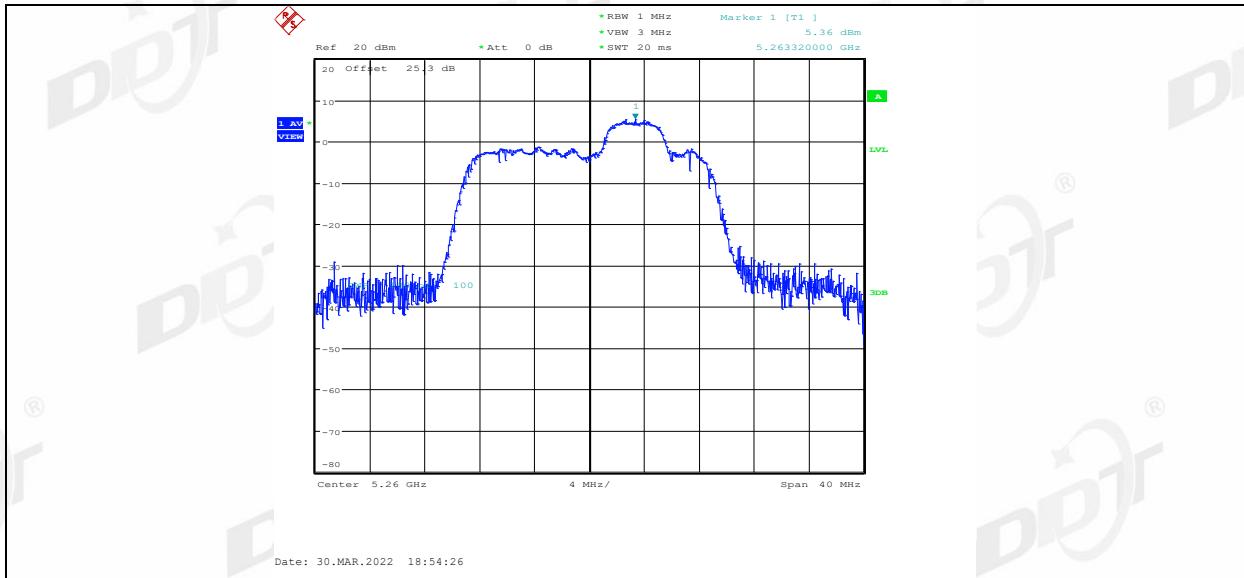
11AX20MIMO_Ant1_5260_52Tone_RU37



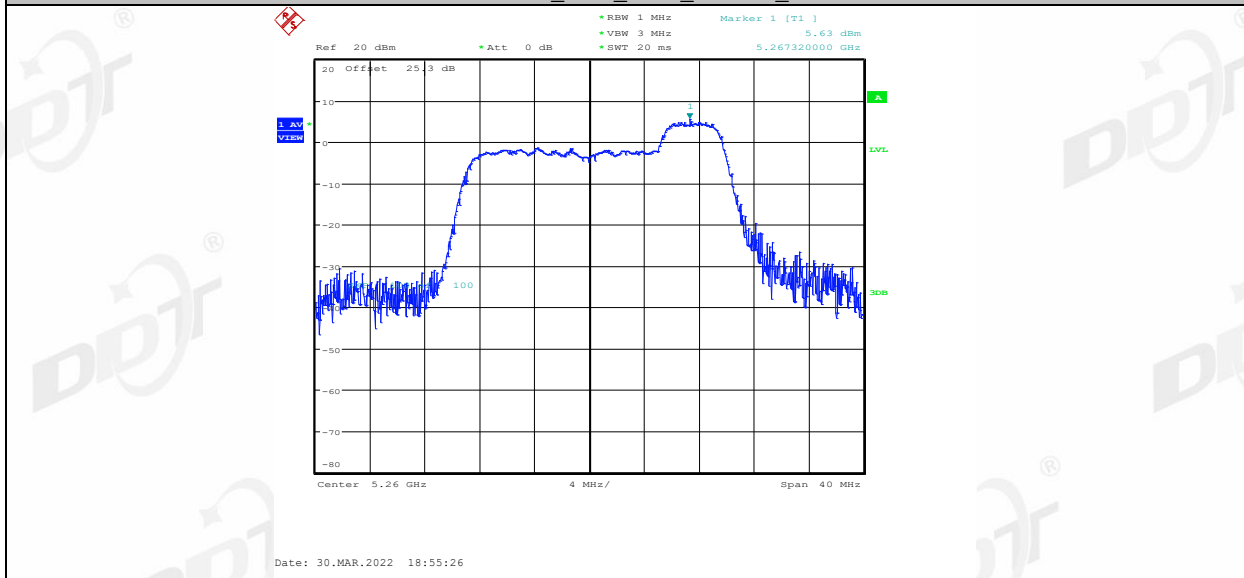
11AX20MIMO_Ant1_5260_52Tone_RU38



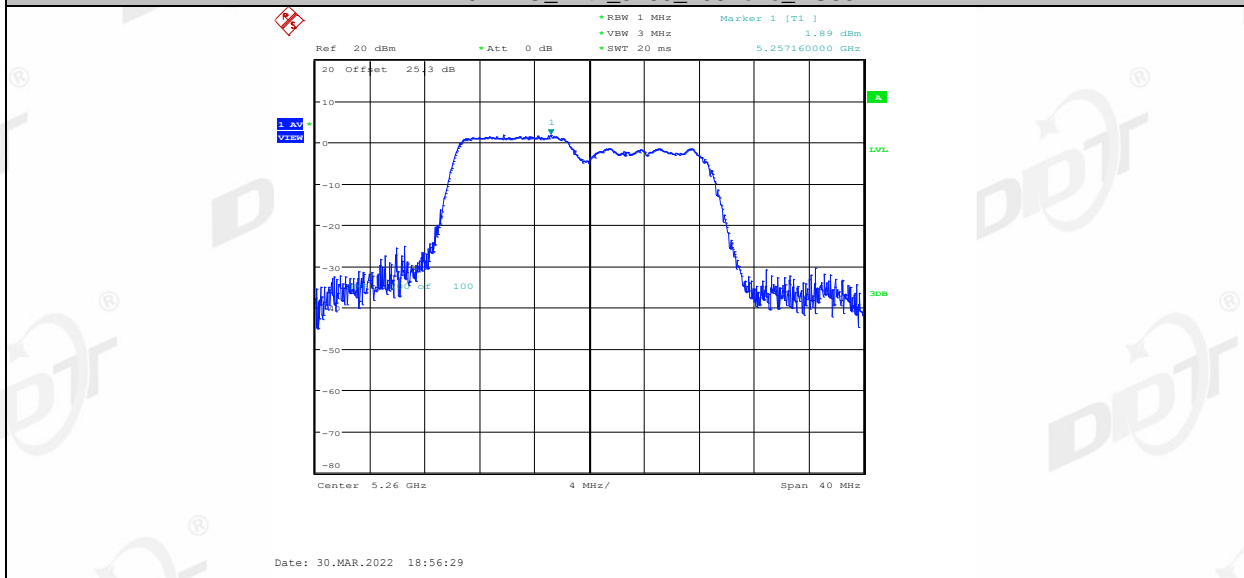
11AX20MIMO_Ant1_5260_52Tone_RU39



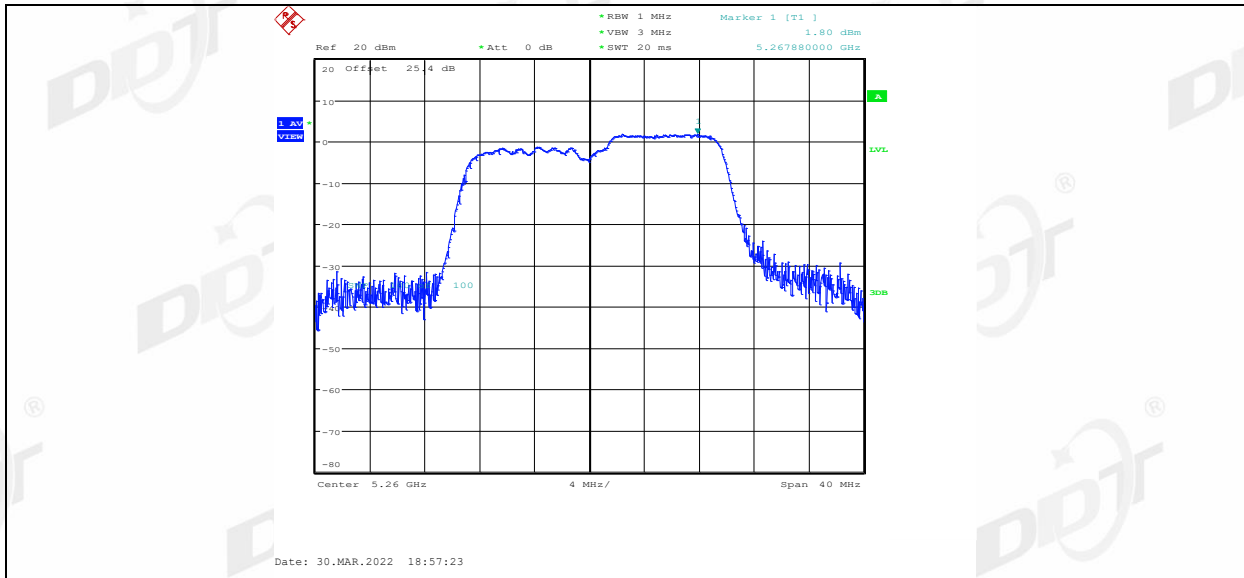
11AX20MIMO_Ant1_5260_52Tone_RU40



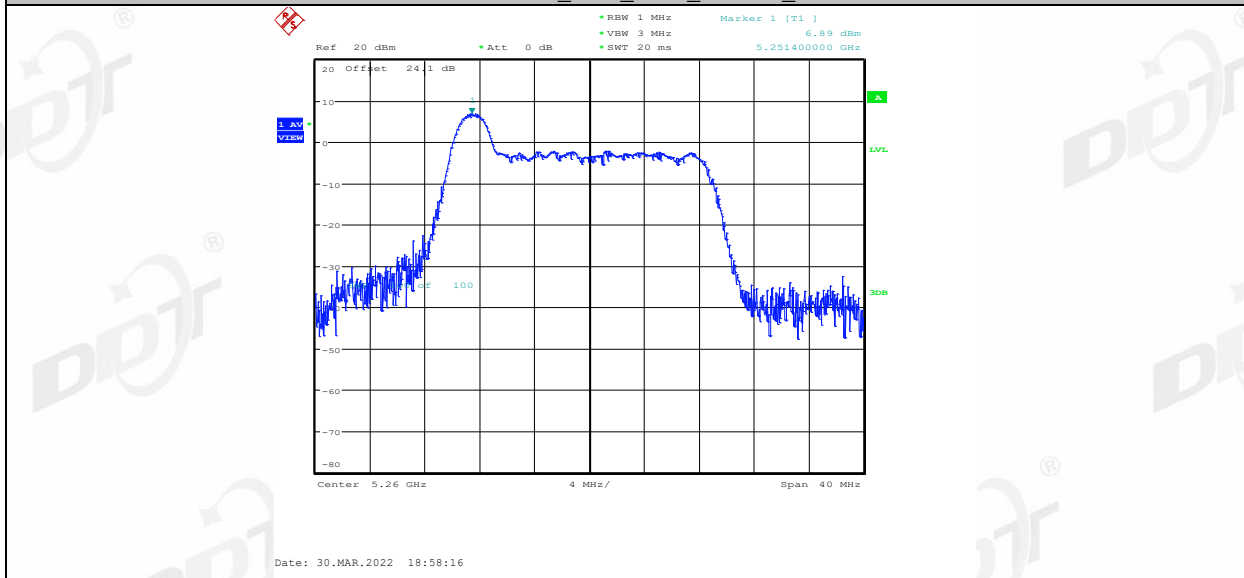
11AX20MIMO_Ant1_5260_106Tone_RU53



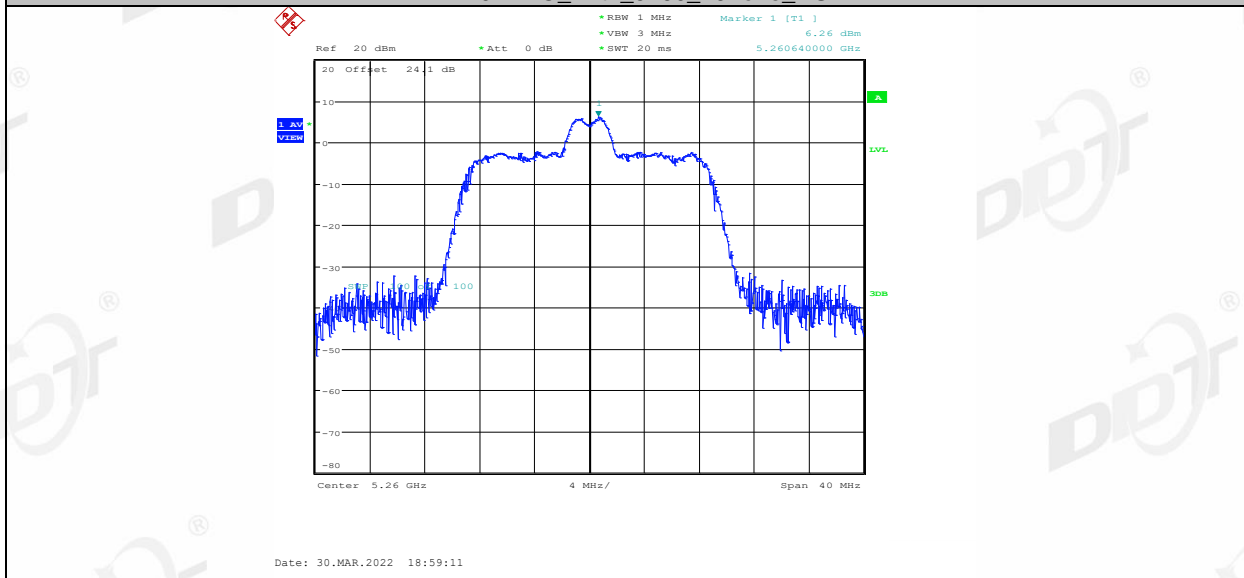
11AX20MIMO_Ant1_5260_106Tone_RU54



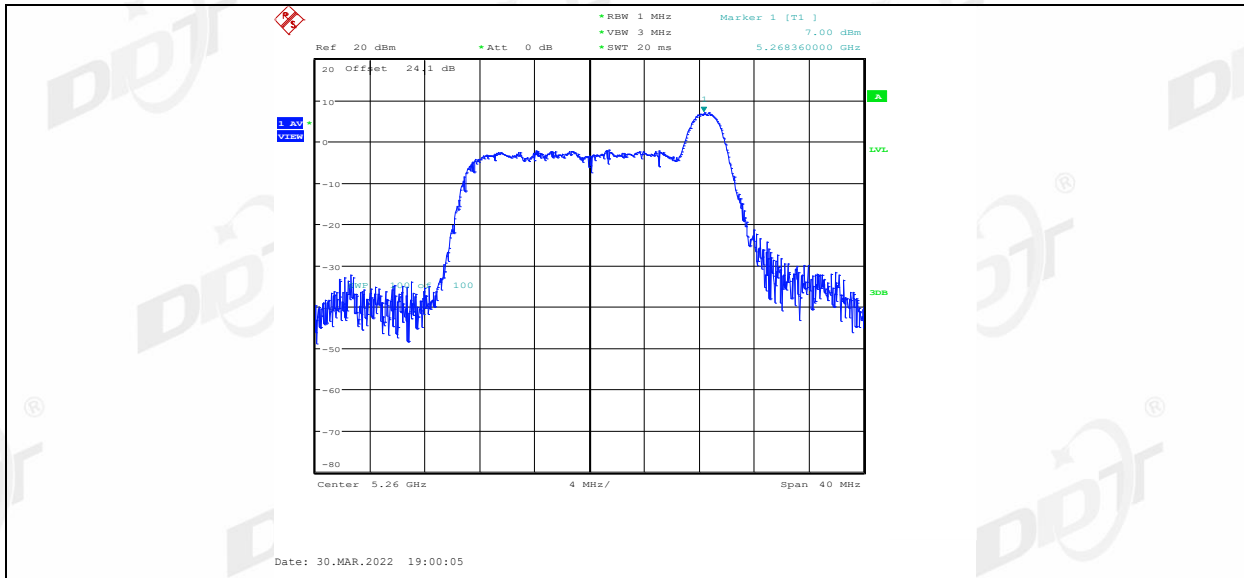
11AX20MIMO_Ant2_5260_26Tone_RU0



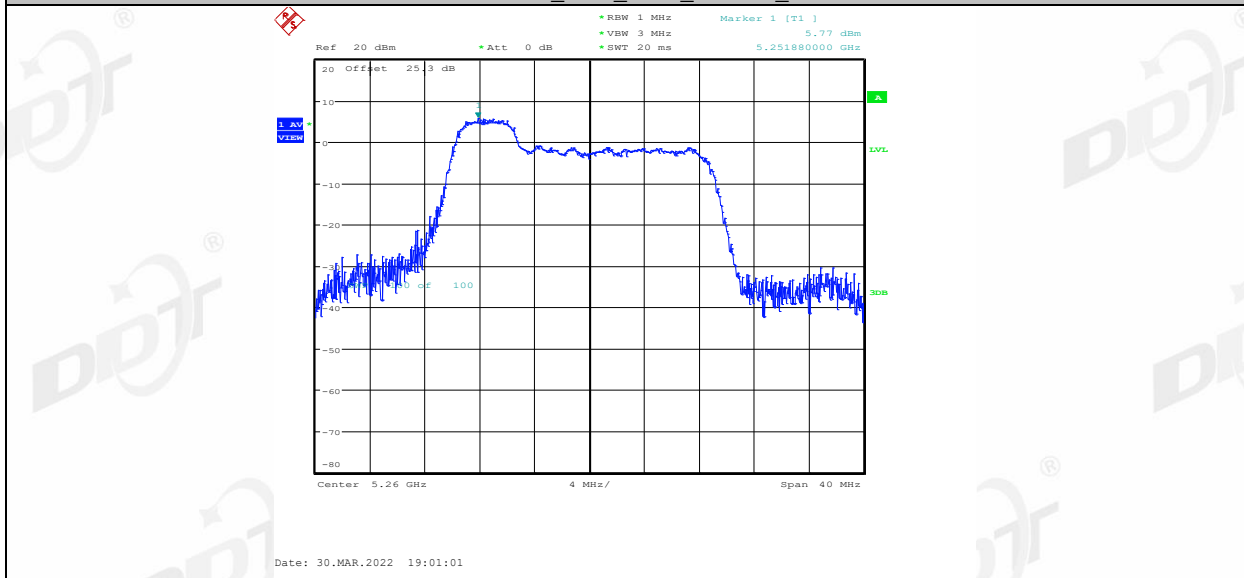
11AX20MIMO_Ant2_5260_26Tone_RU4



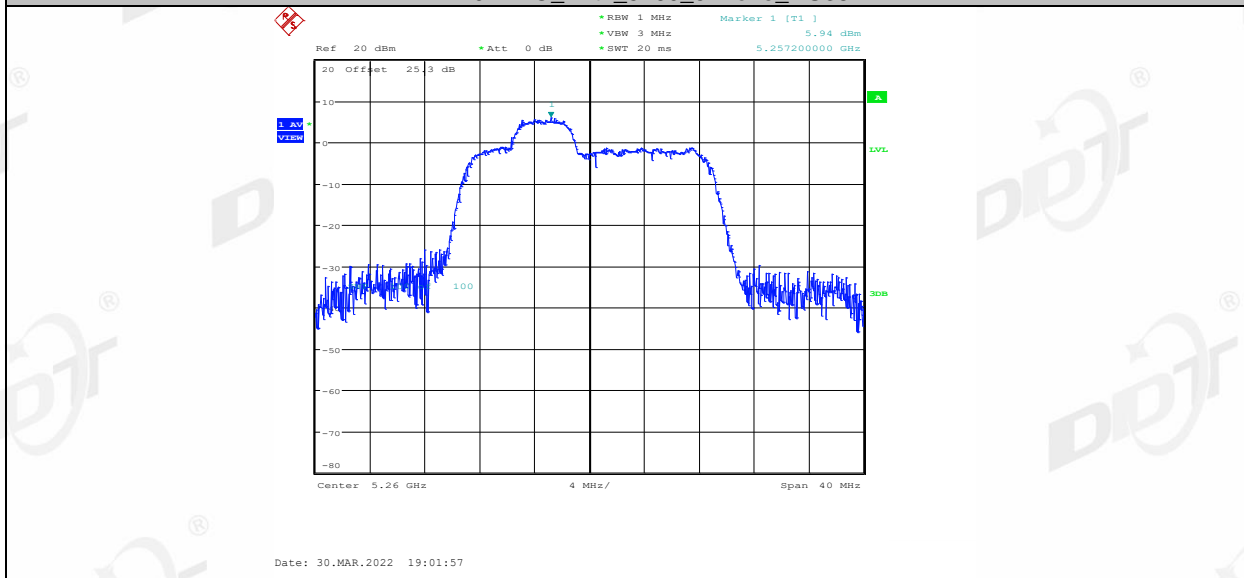
11AX20MIMO_Ant2_5260_26Tone_RU8



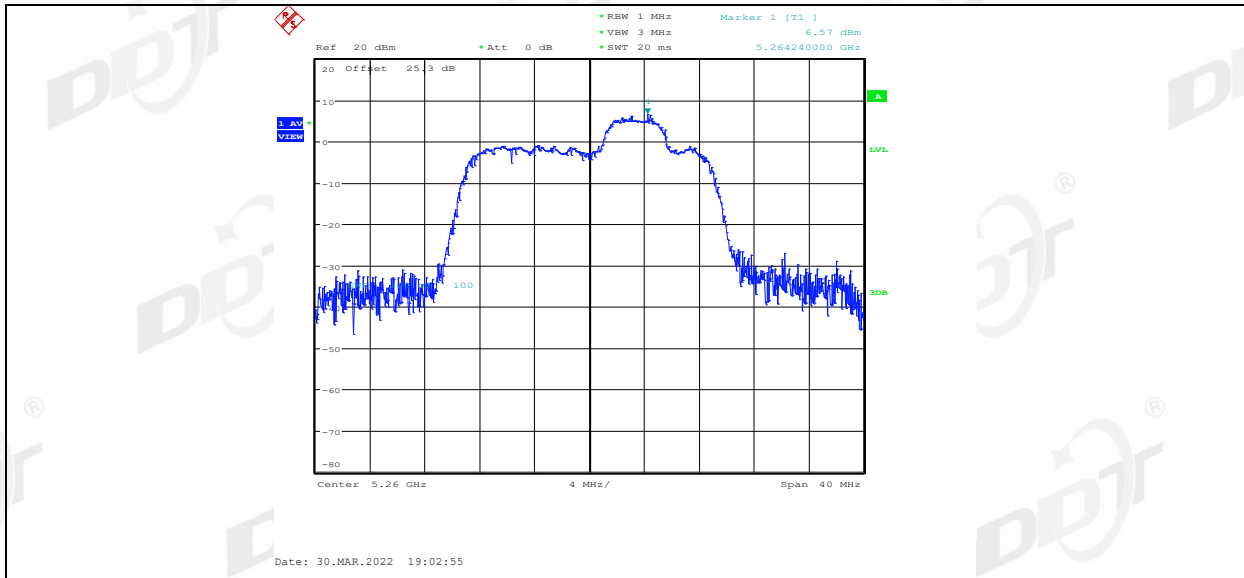
11AX20MIMO_Ant2_5260_52Tone_RU37



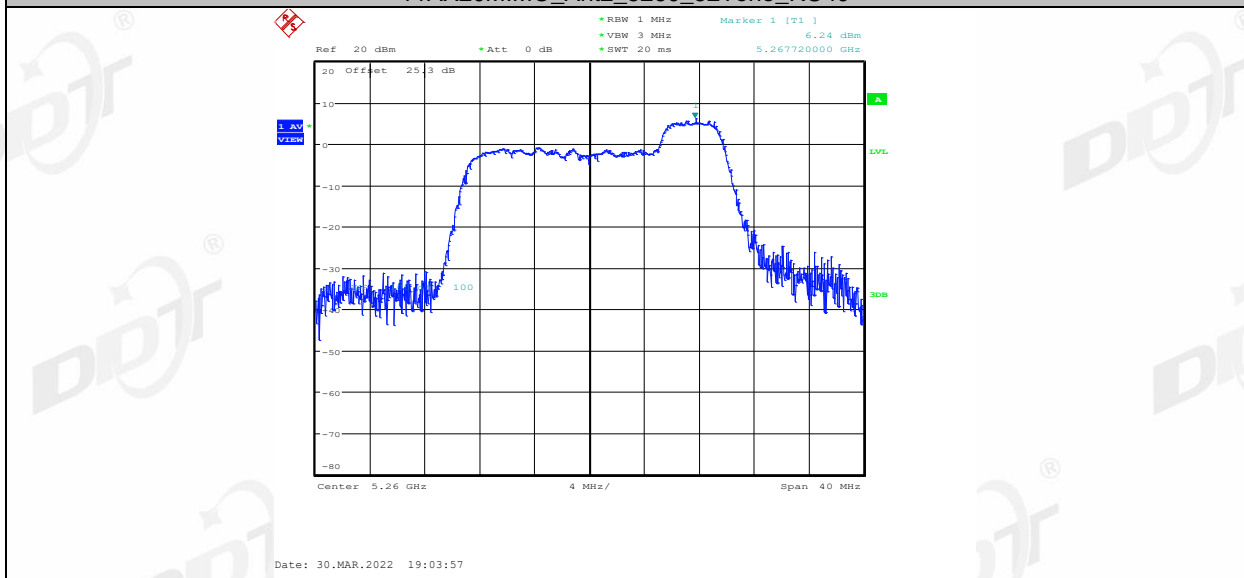
11AX20MIMO_Ant2_5260_52Tone_RU38



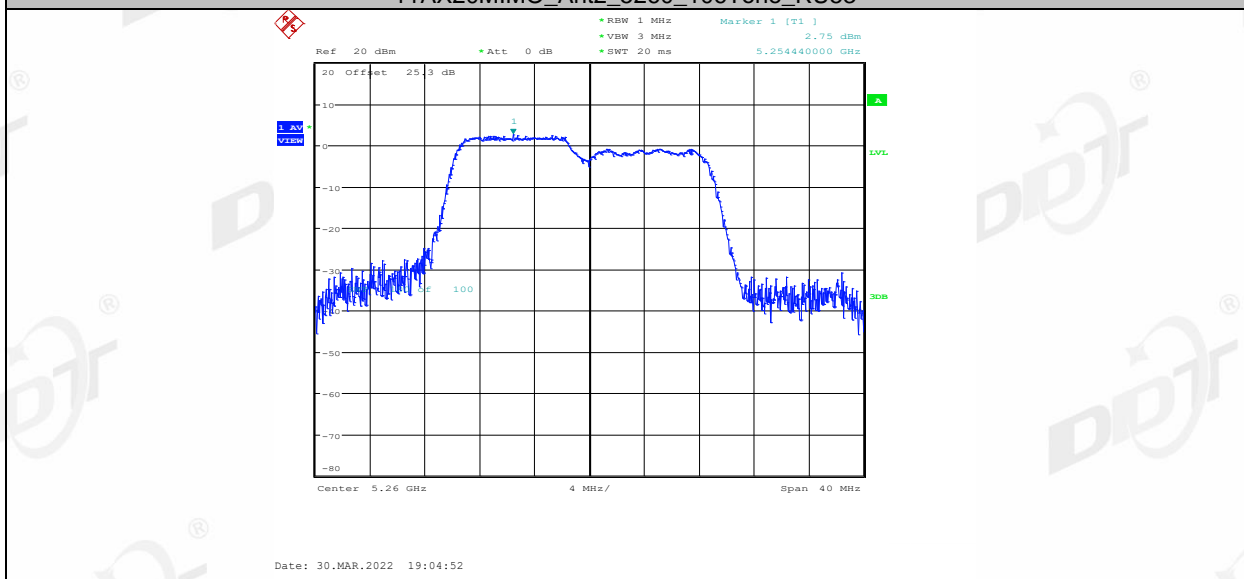
11AX20MIMO_Ant2_5260_52Tone_RU39



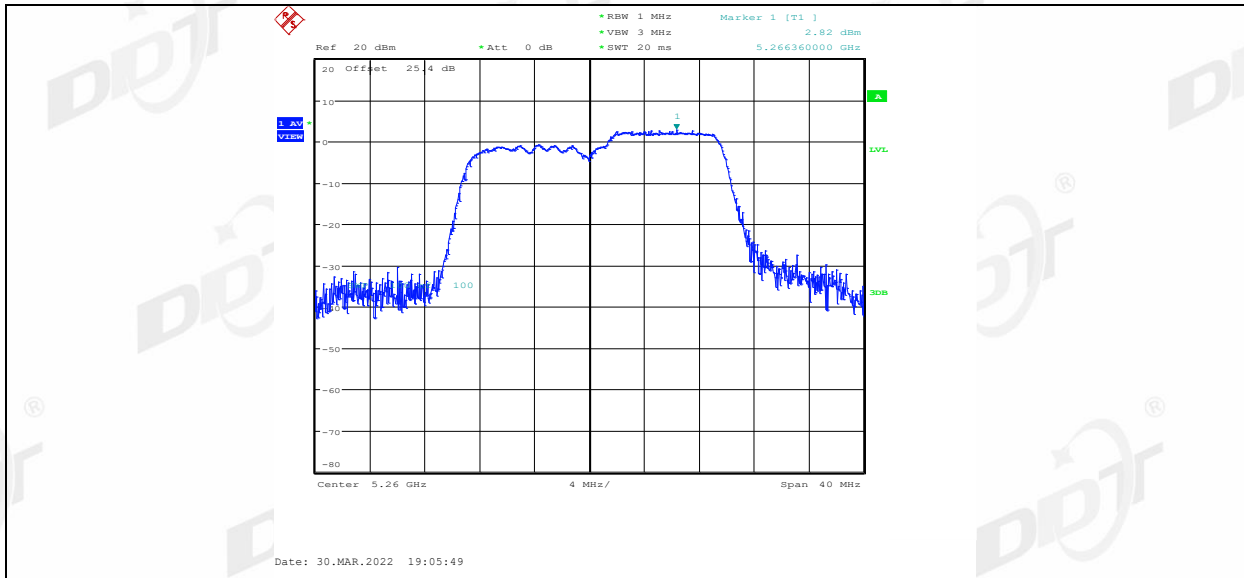
11AX20MIMO_Ant2_5260_52Tone_RU40



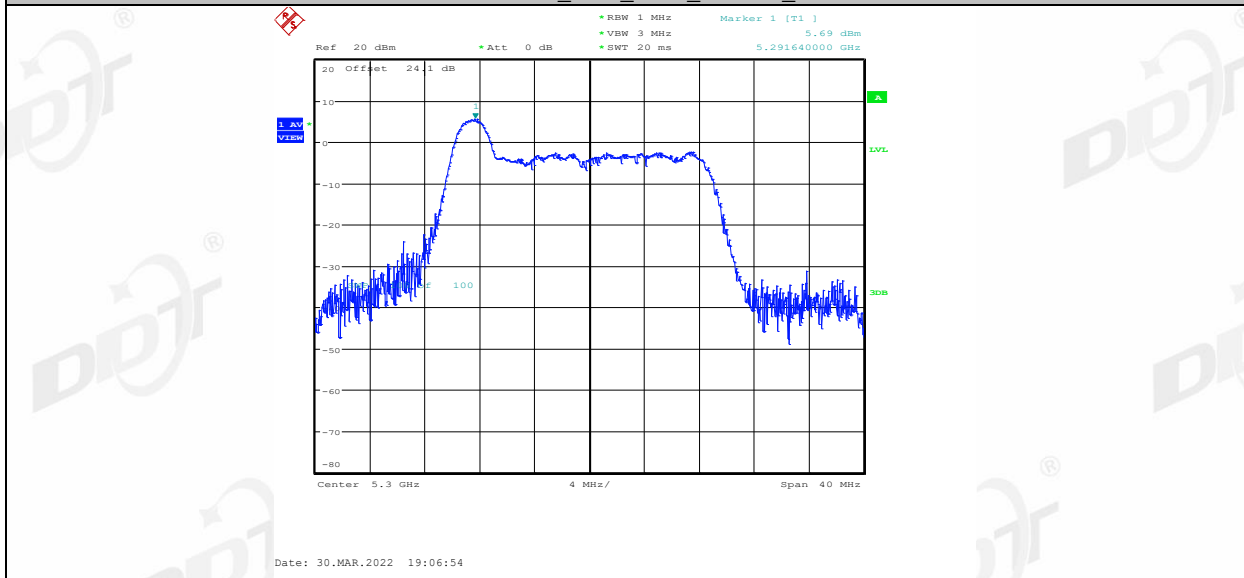
11AX20MIMO_Ant2_5260_106Tone_RU53



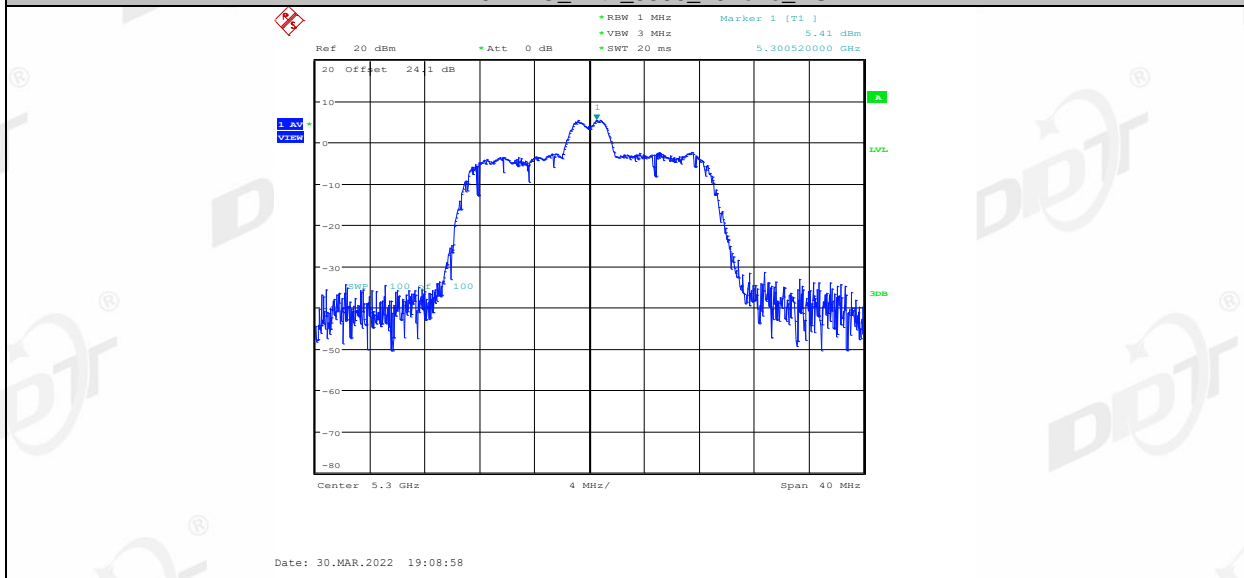
11AX20MIMO_Ant2_5260_106Tone_RU54



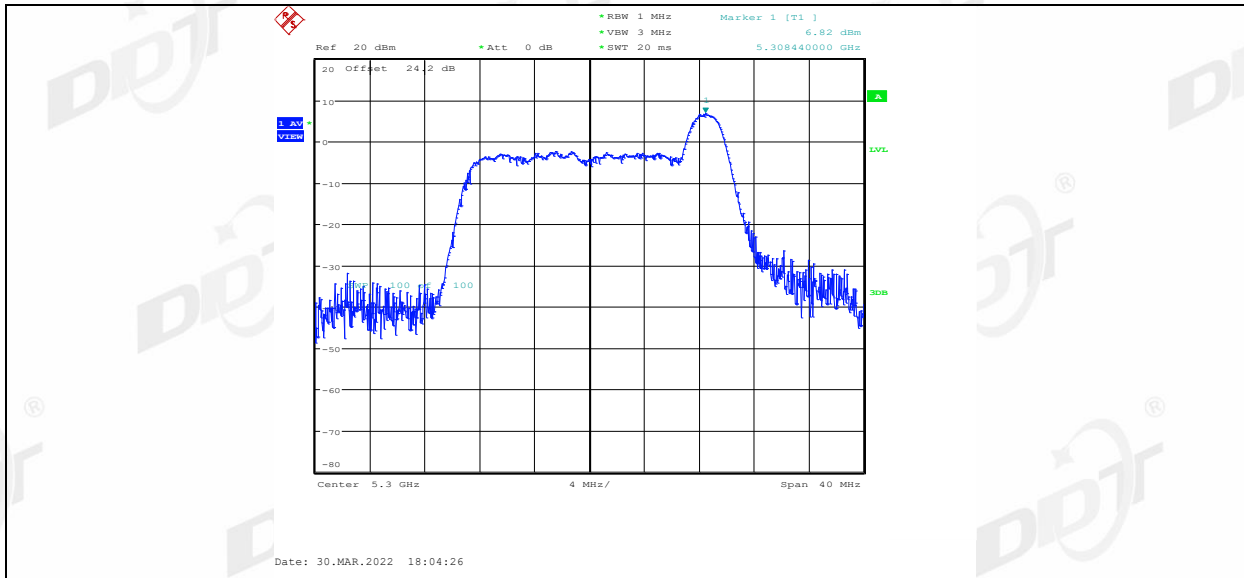
11AX20MIMO_Ant1_5300_26Tone_RU0



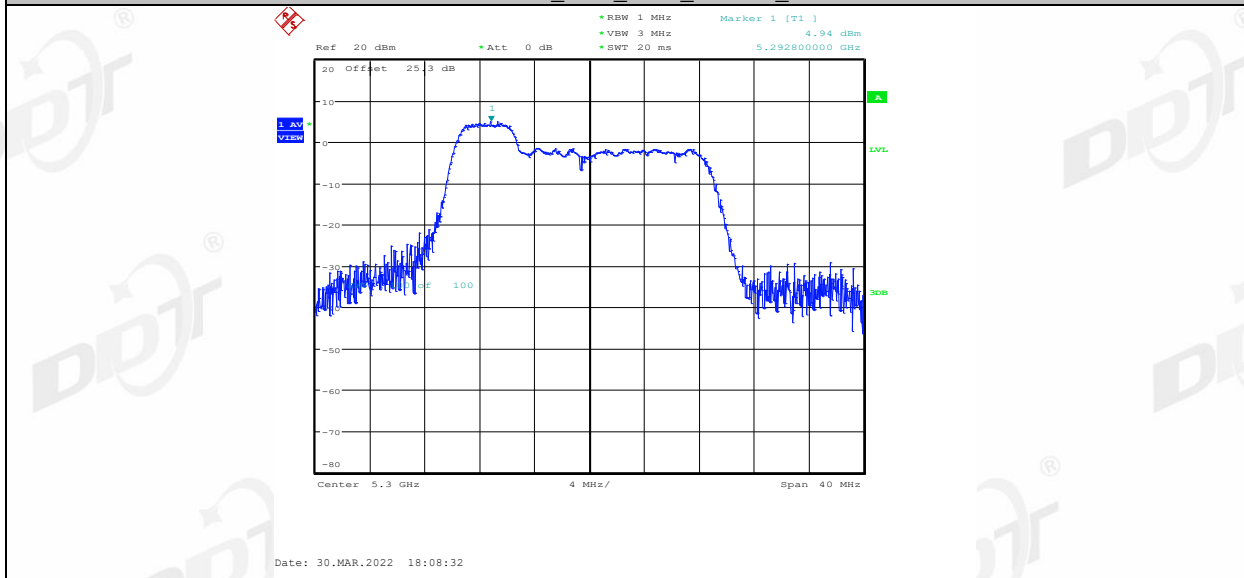
11AX20MIMO_Ant1_5300_26Tone_RU4



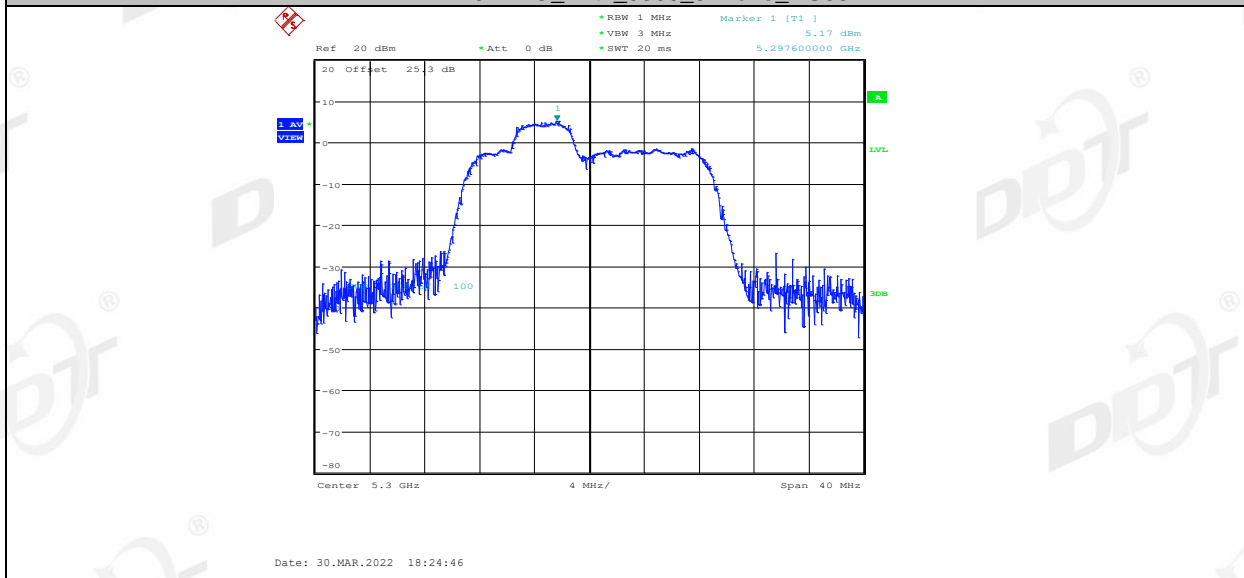
11AX20MIMO_Ant1_5300_26Tone_RU8



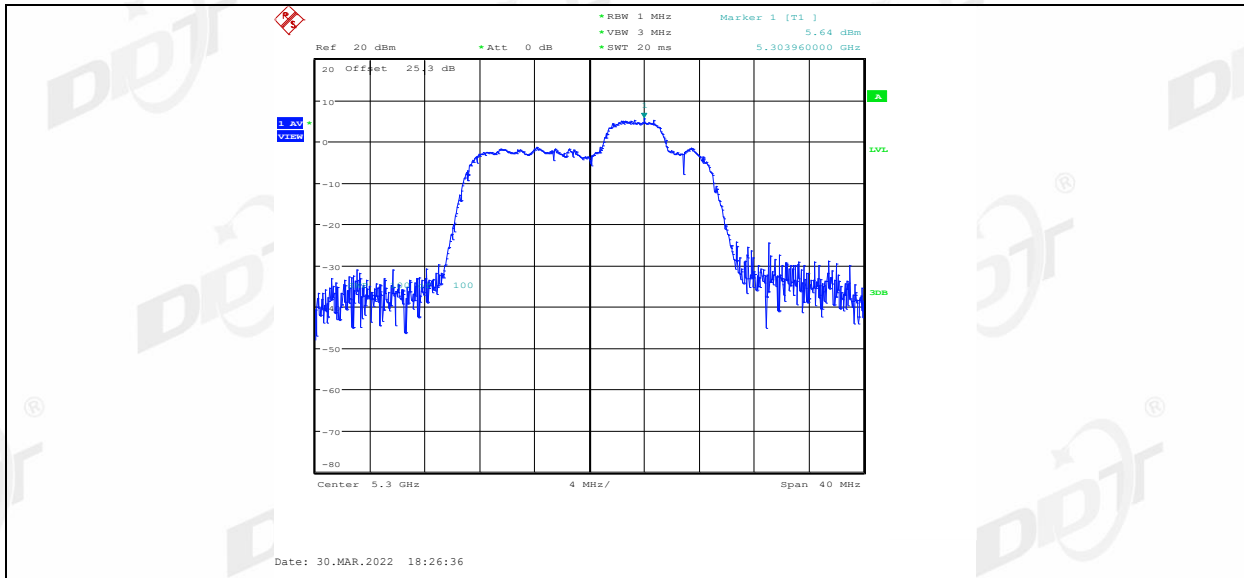
11AX20MIMO_Ant1_5300_52Tone_RU37



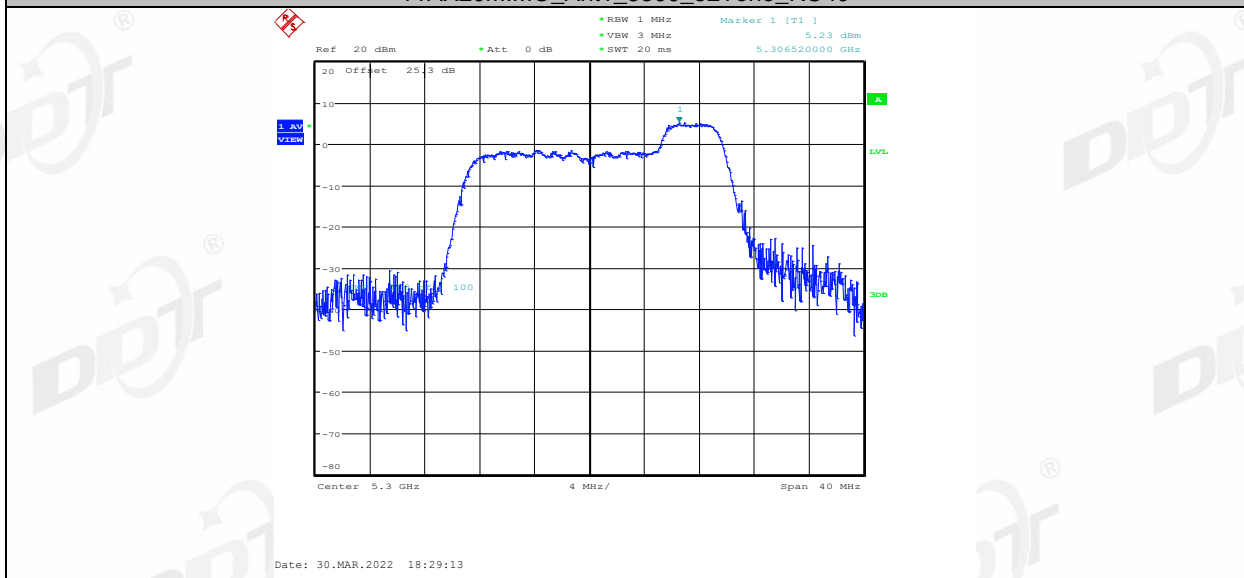
11AX20MIMO_Ant1_5300_52Tone_RU38



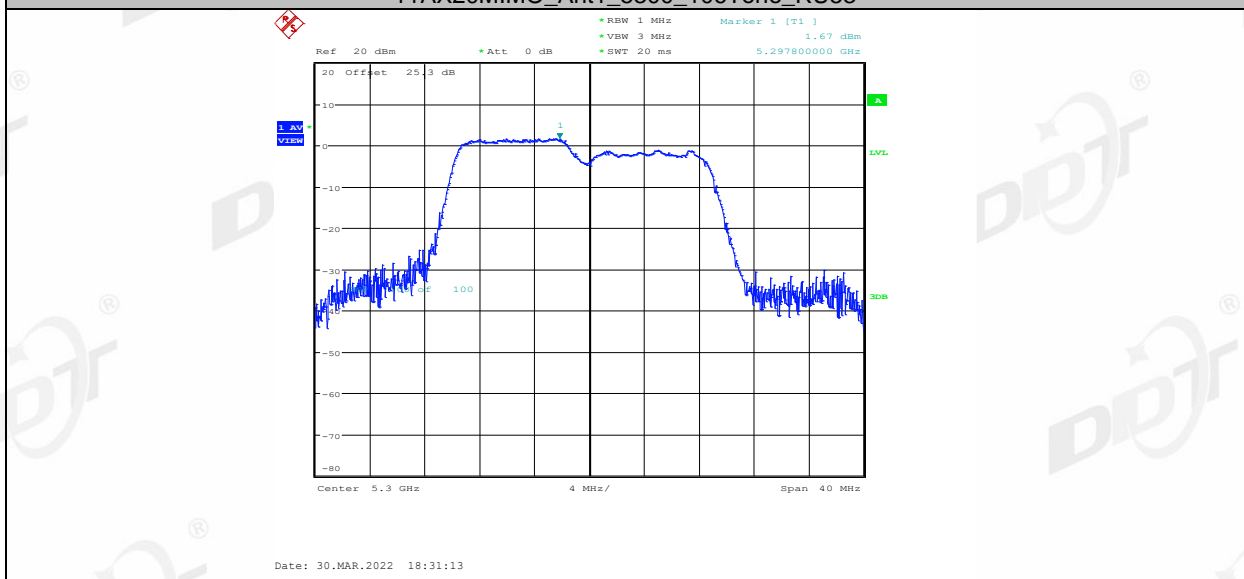
11AX20MIMO_Ant1_5300_52Tone_RU39



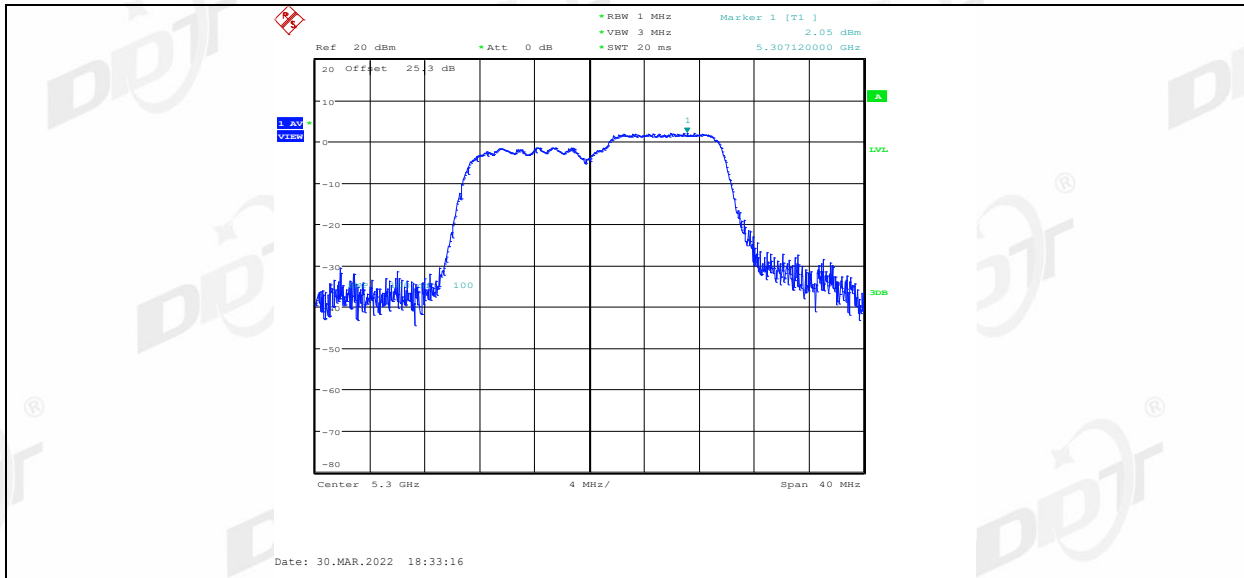
11AX20MIMO_Ant1_5300_52Tone_RU40



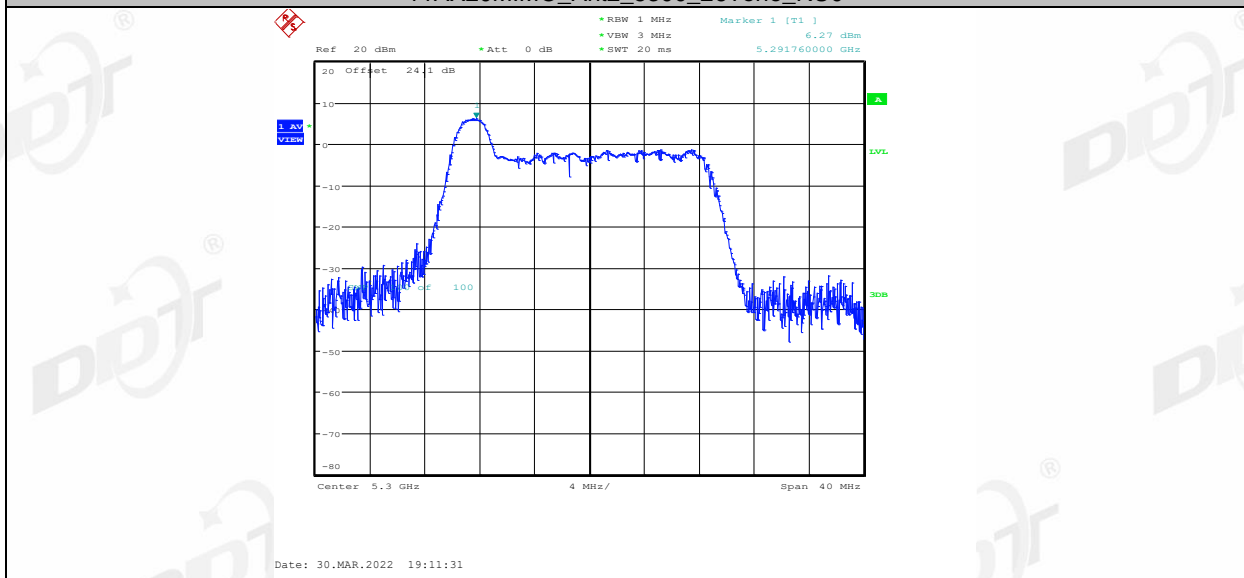
11AX20MIMO_Ant1_5300_106Tone_RU53



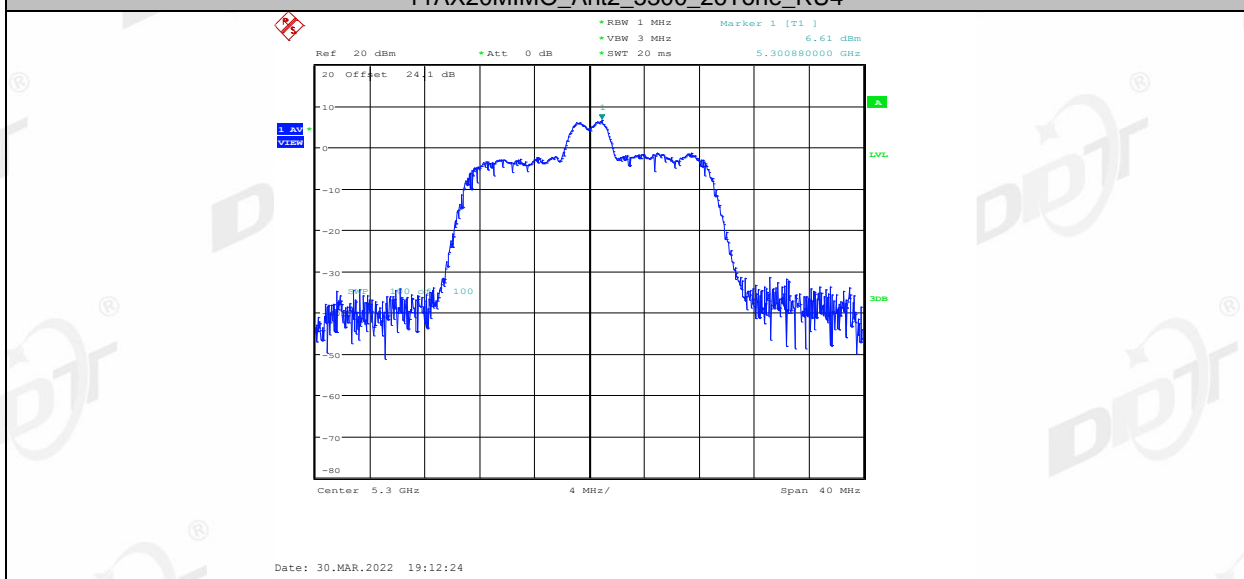
11AX20MIMO_Ant1_5300_106Tone_RU54



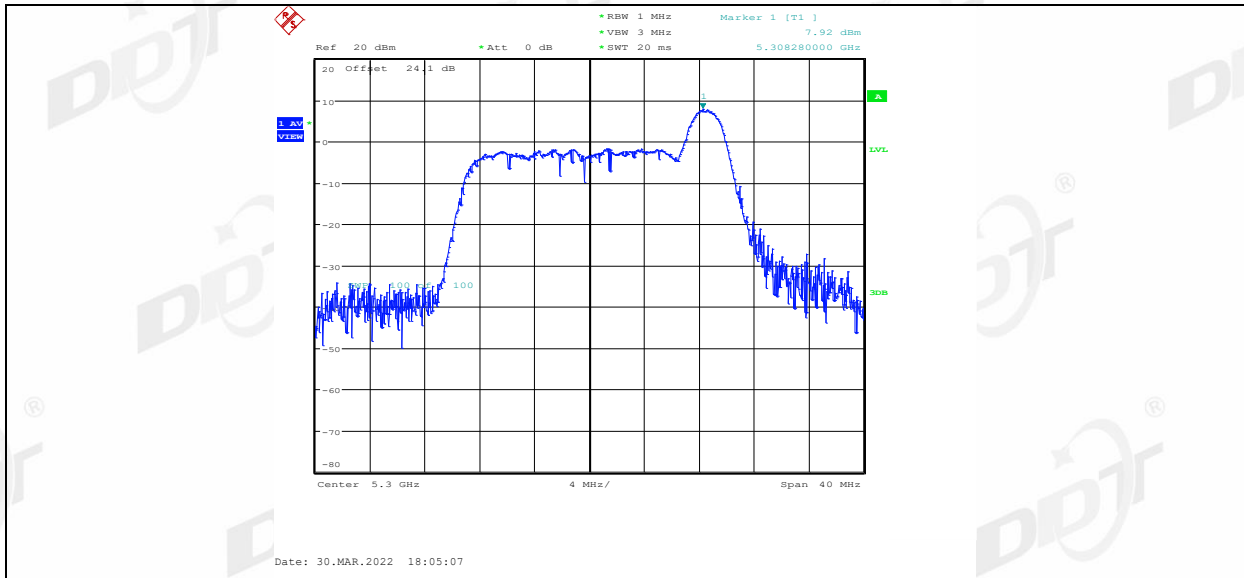
11AX20MIMO_Ant2_5300_26Tone_RU0



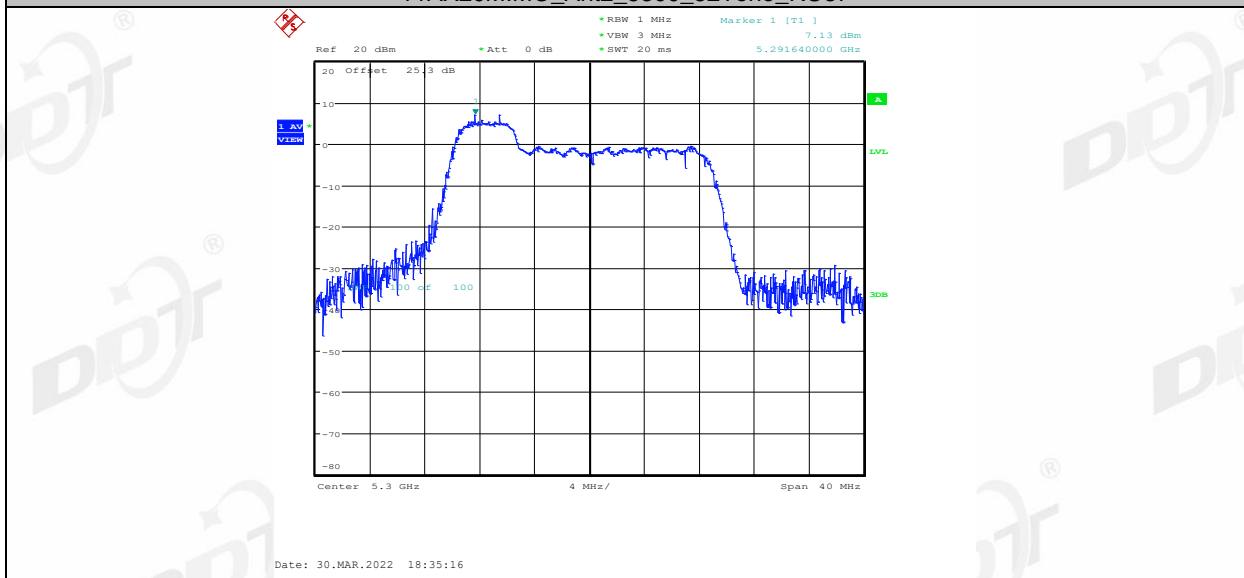
11AX20MIMO_Ant2_5300_26Tone_RU4



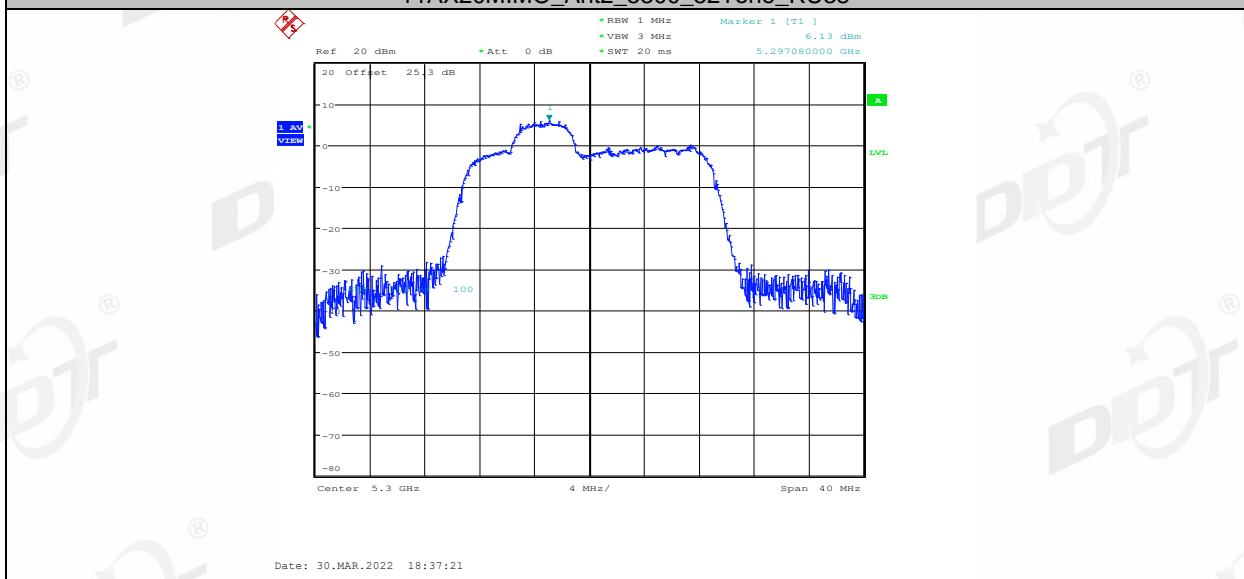
11AX20MIMO_Ant2_5300_26Tone_RU8



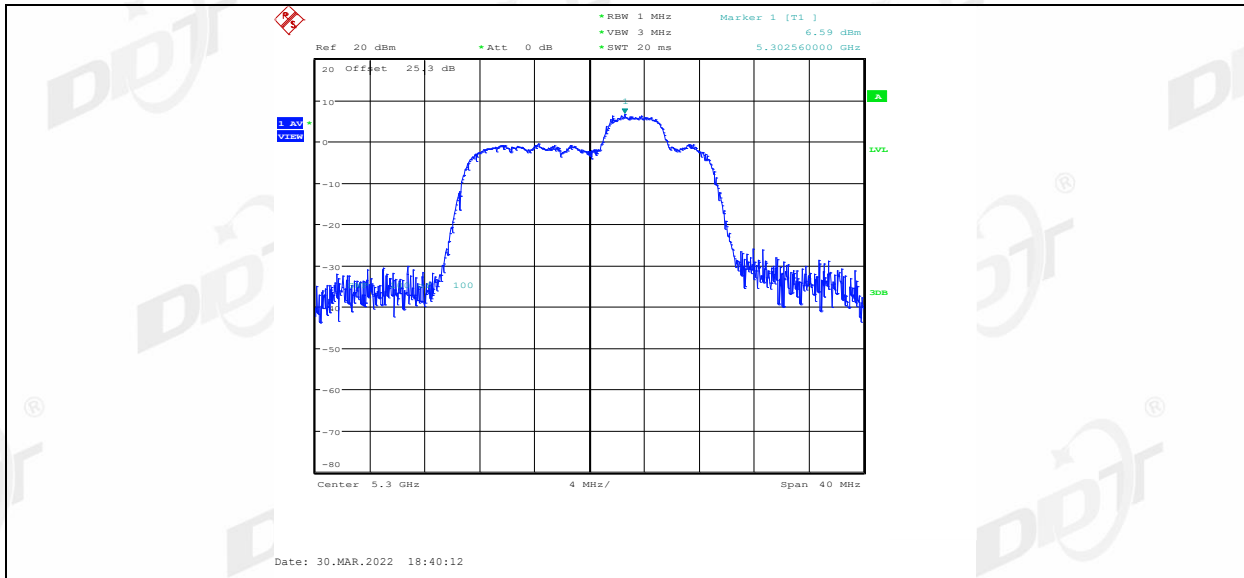
11AX20MIMO_Ant2_5300_52Tone_RU37



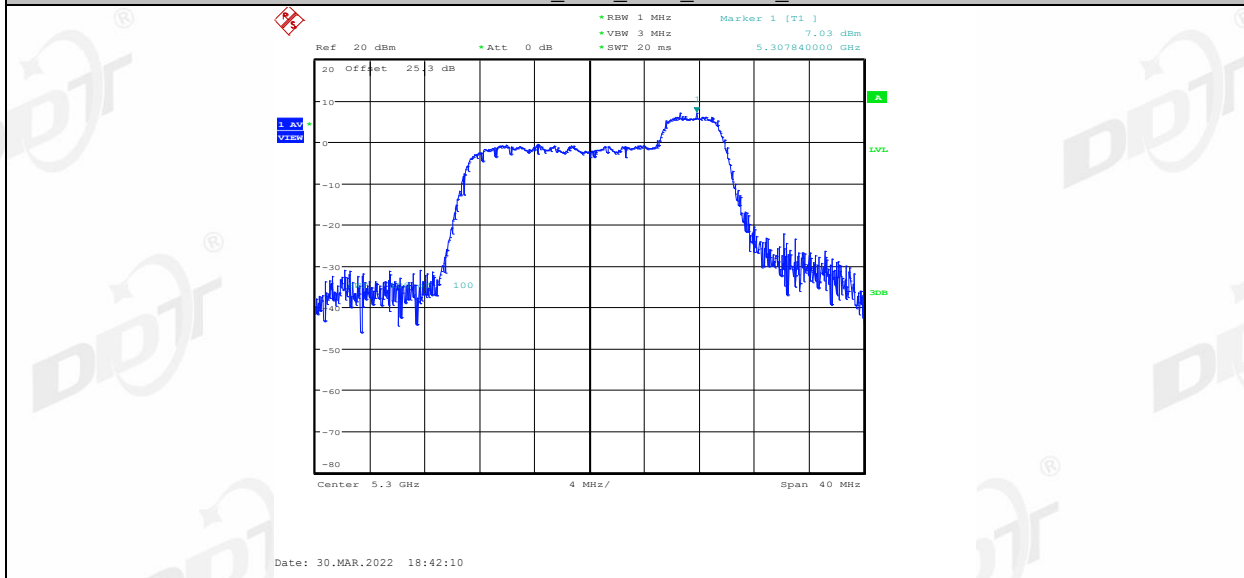
11AX20MIMO_Ant2_5300_52Tone_RU38



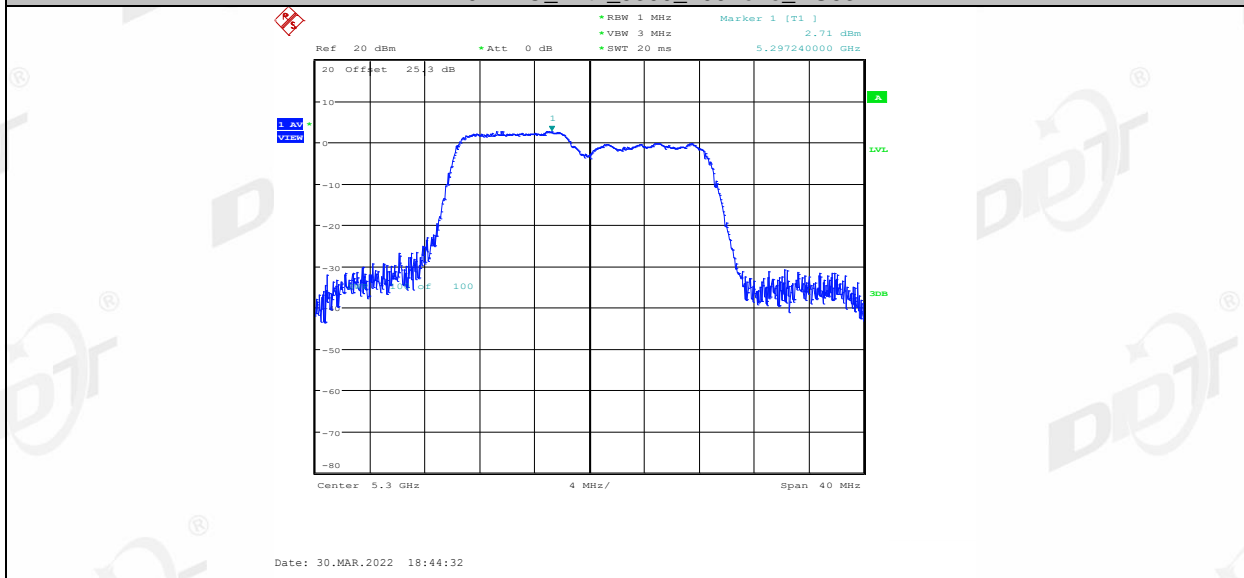
11AX20MIMO_Ant2_5300_52Tone_RU39



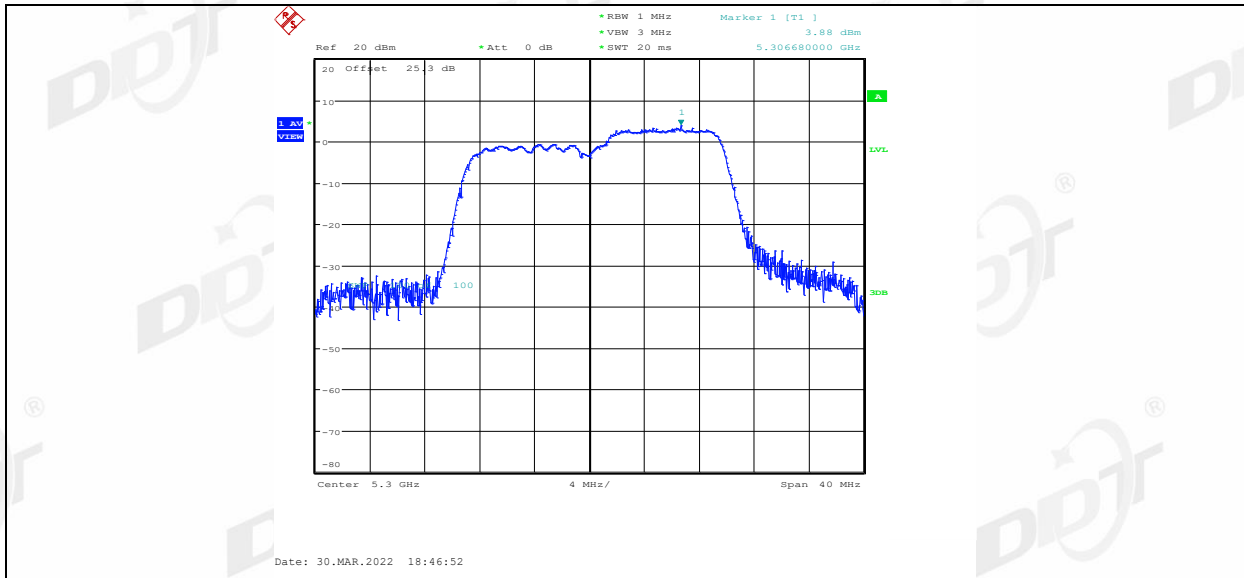
11AX20MIMO_Ant2_5300_52Tone_RU40



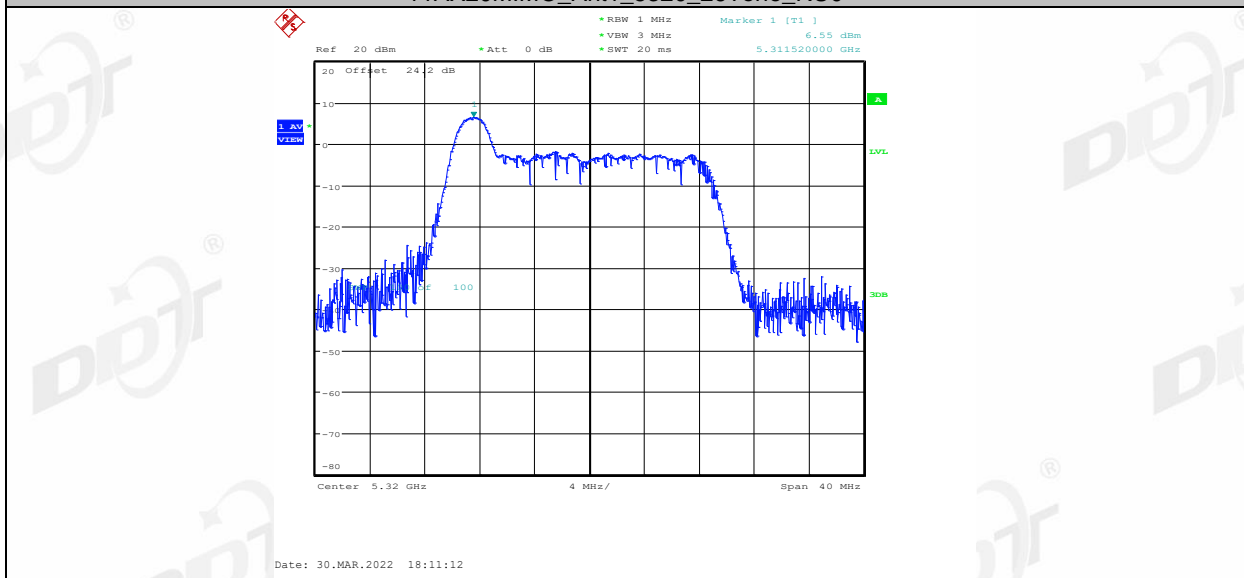
11AX20MIMO_Ant2_5300_106Tone_RU53



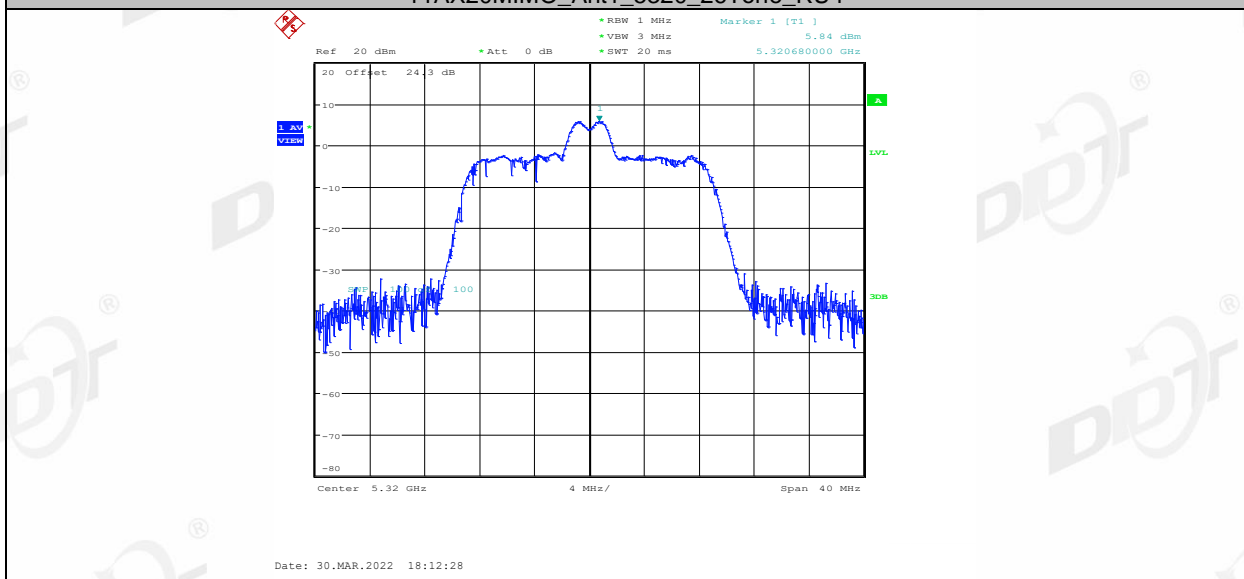
11AX20MIMO_Ant2_5300_106Tone_RU54



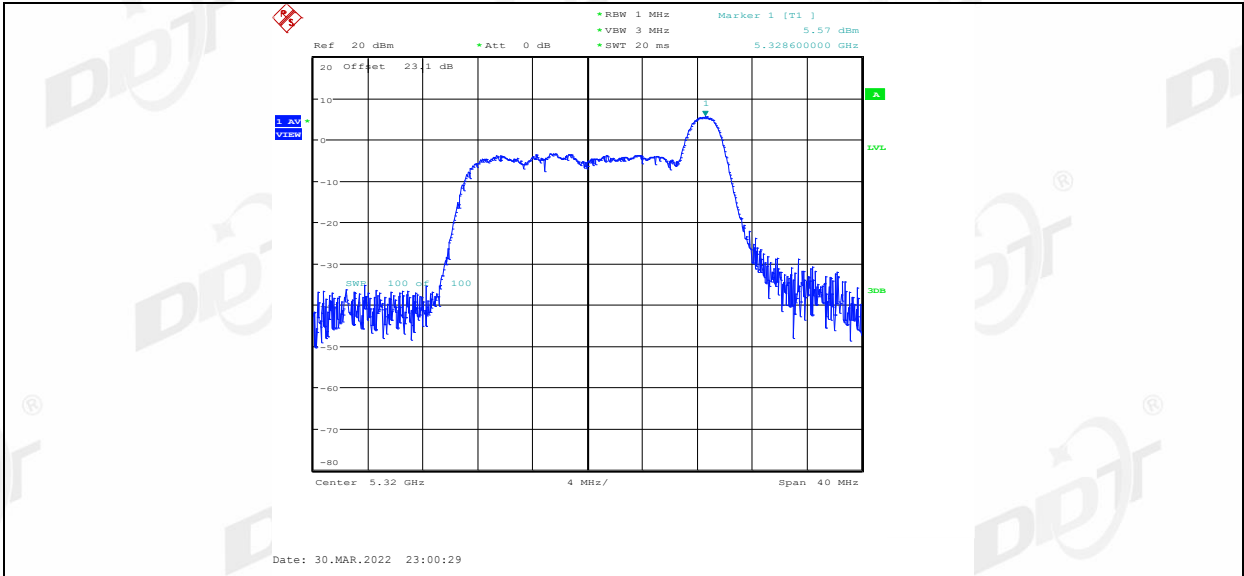
11AX20MIMO_Ant1_5320_26Tone_RU0



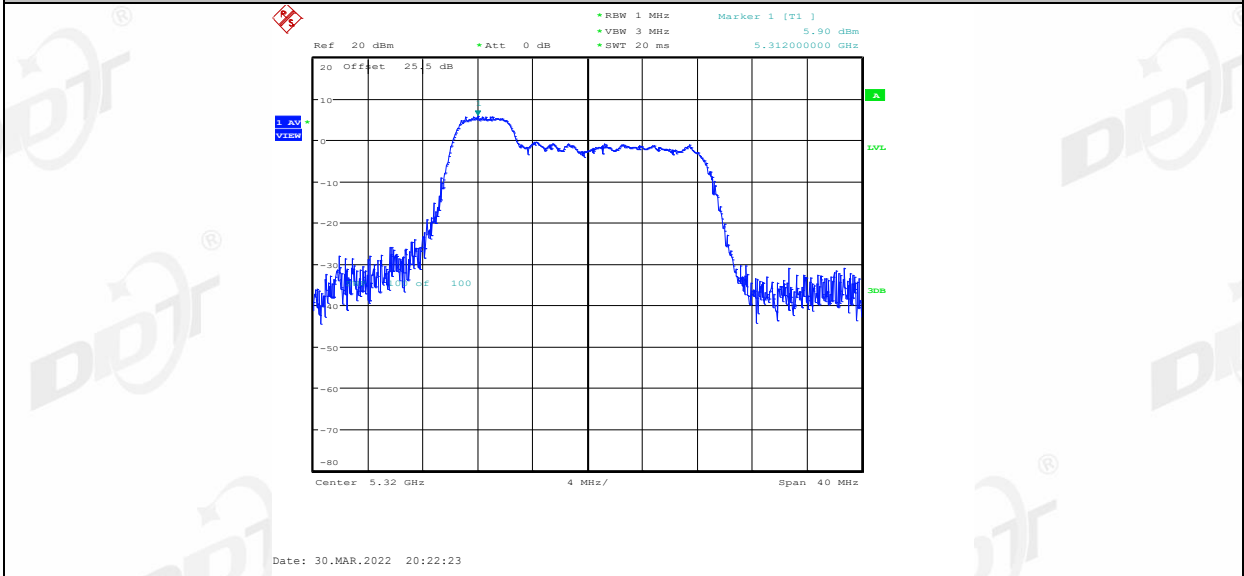
11AX20MIMO_Ant1_5320_26Tone_RU4



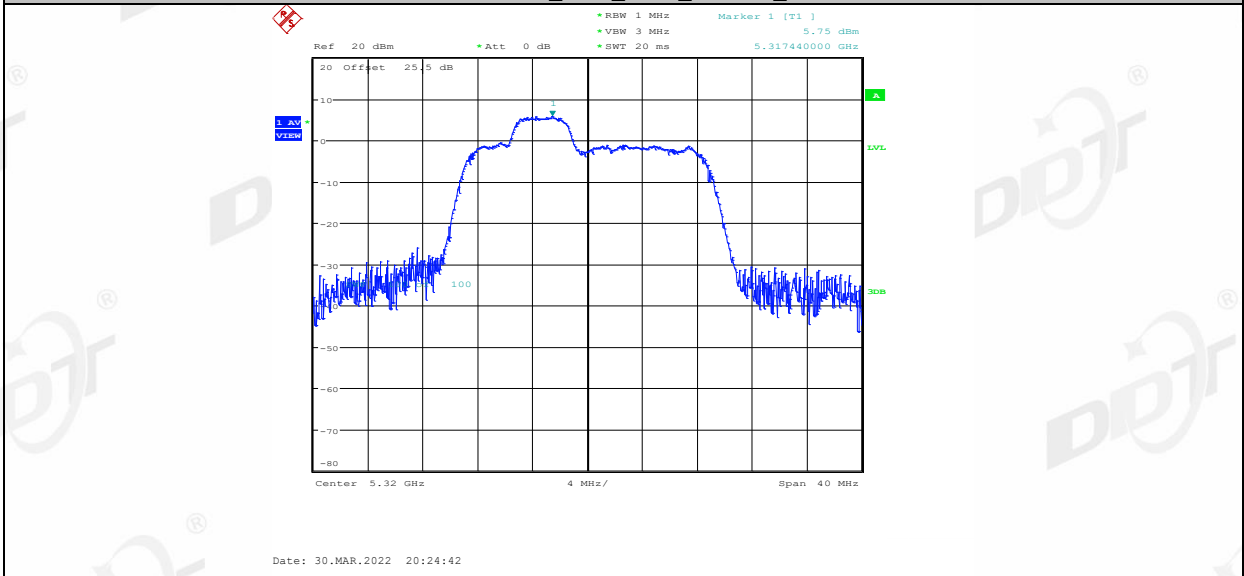
11AX20MIMO_Ant1_5320_26Tone_RU8



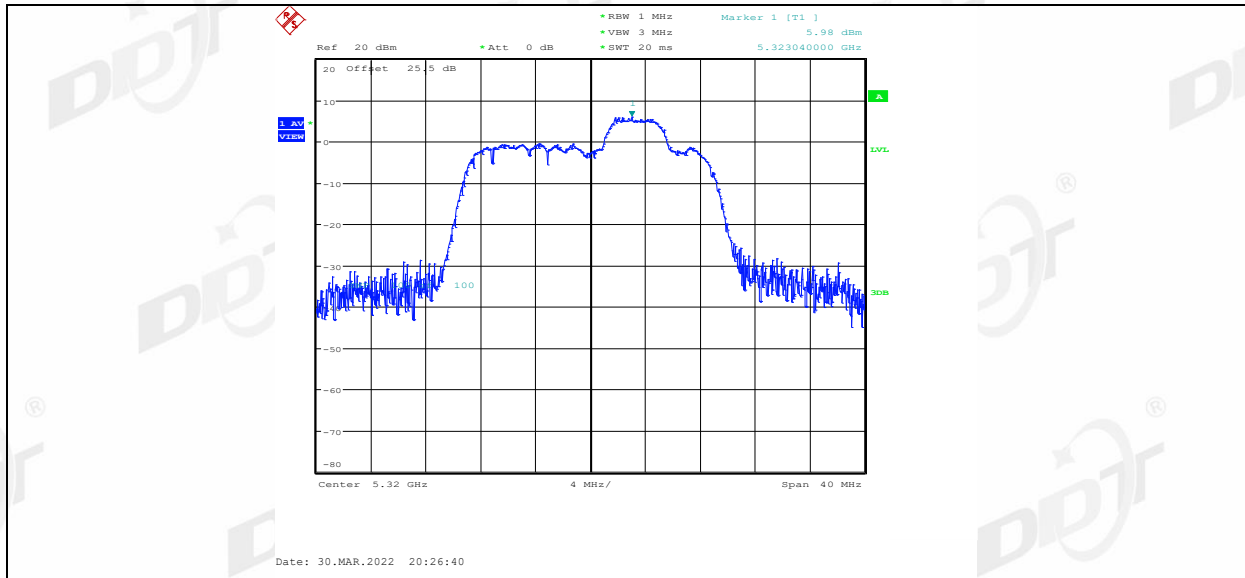
11AX20MIMO_Ant1_5320_52Tone_RU37



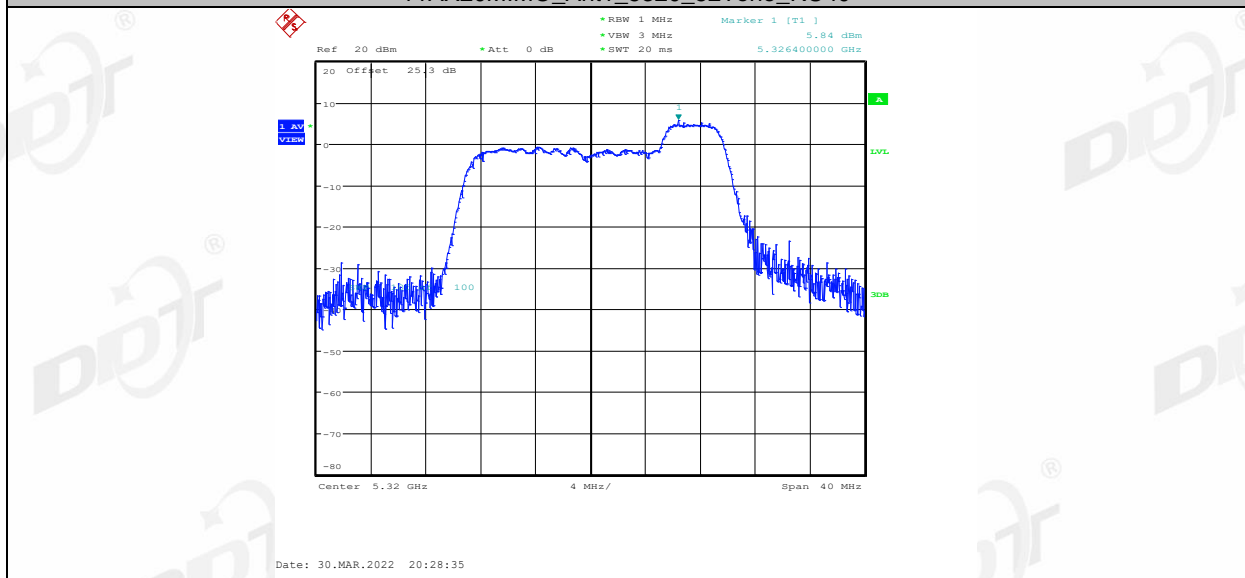
11AX20MIMO_Ant1_5320_52Tone_RU38



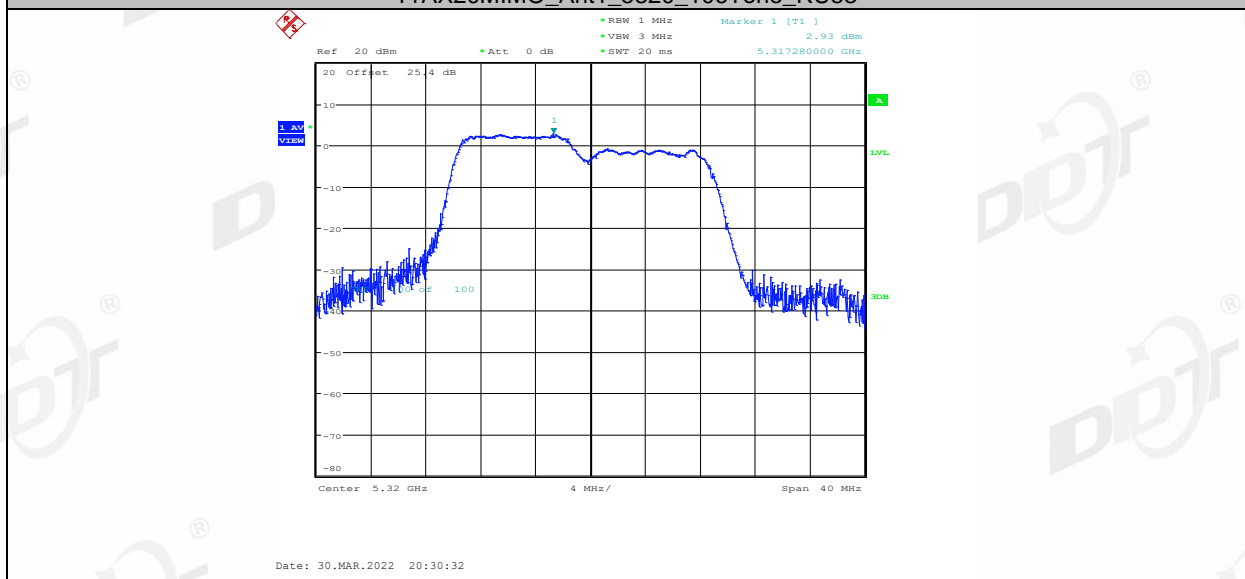
11AX20MIMO_Ant1_5320_52Tone_RU39



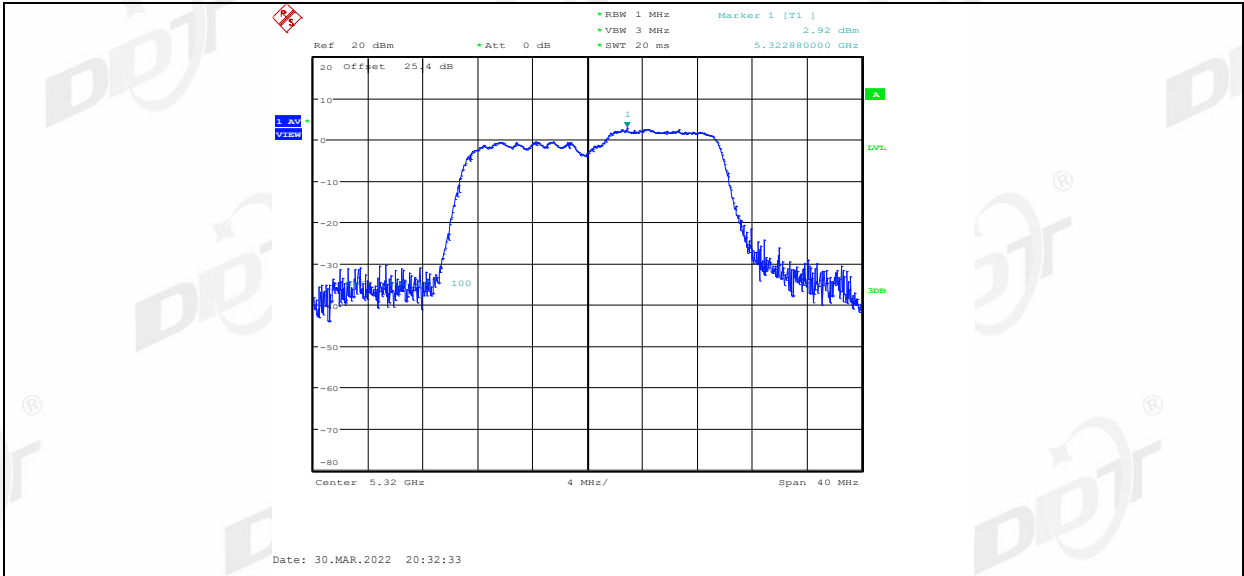
11AX20MIMO_Ant1_5320_52Tone_RU40



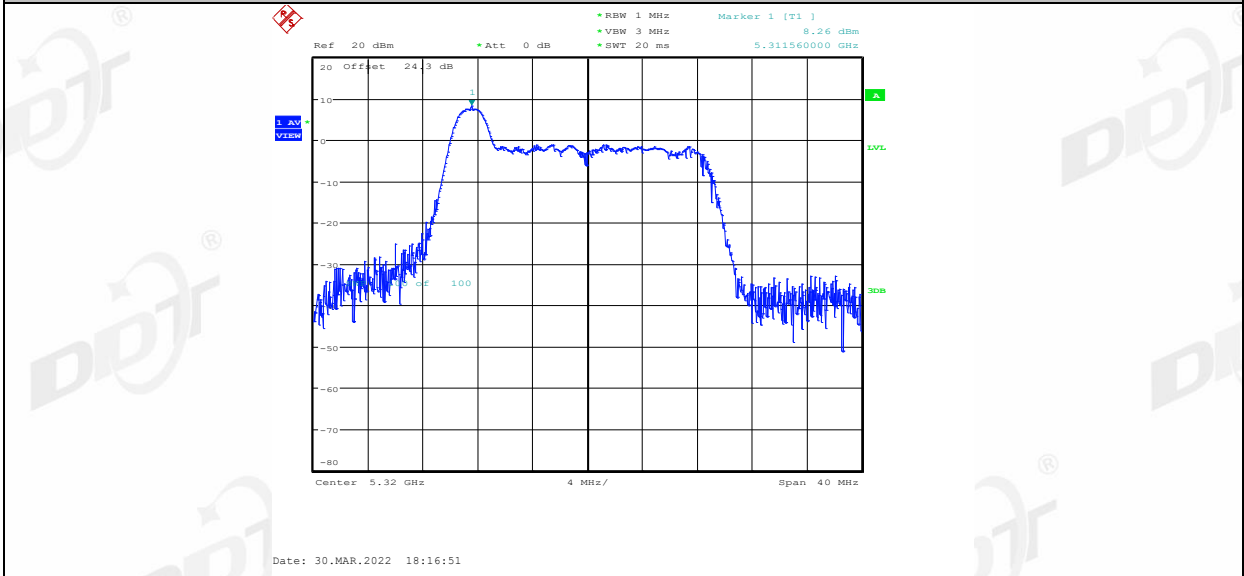
11AX20MIMO_Ant1_5320_106Tone_RU53



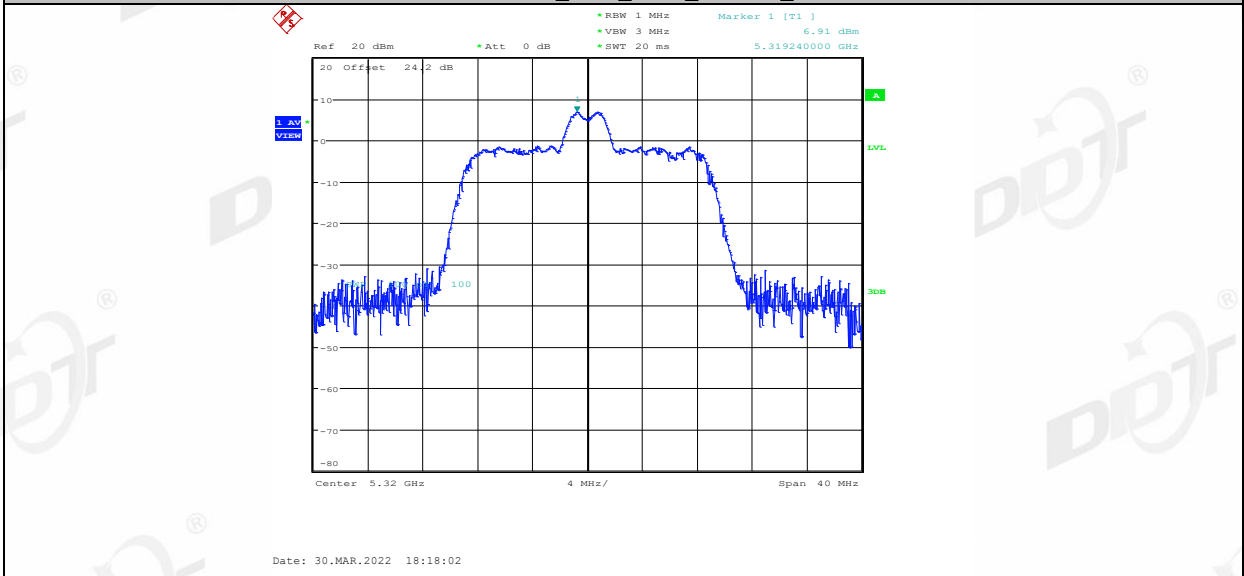
11AX20MIMO_Ant1_5320_106Tone_RU54



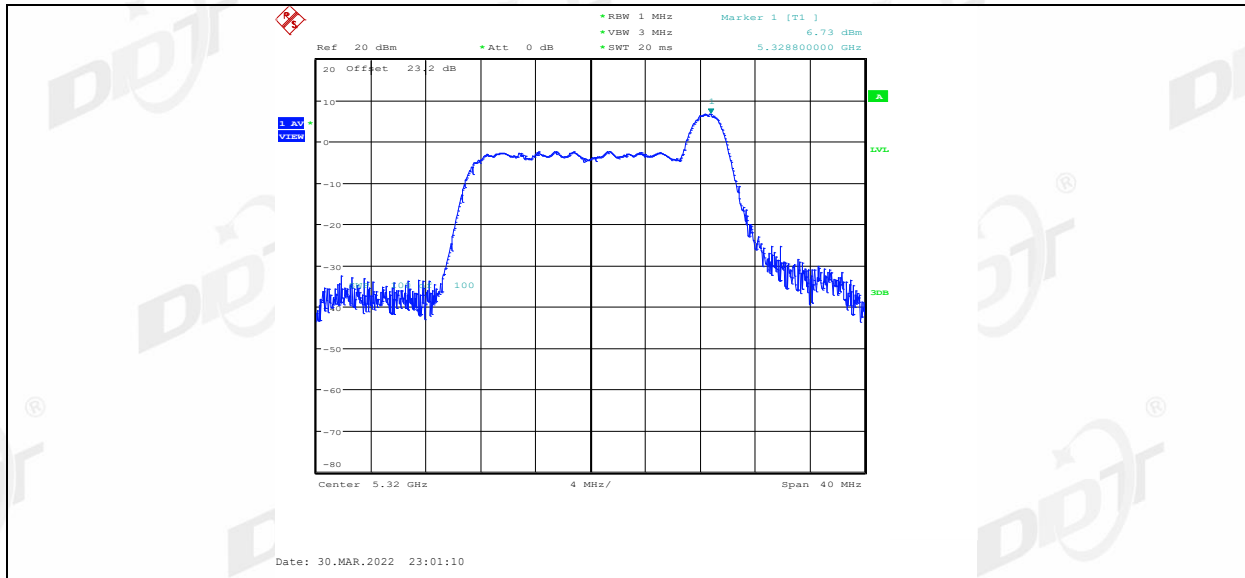
11AX20MIMO_Ant2_5320_26Tone_RU0



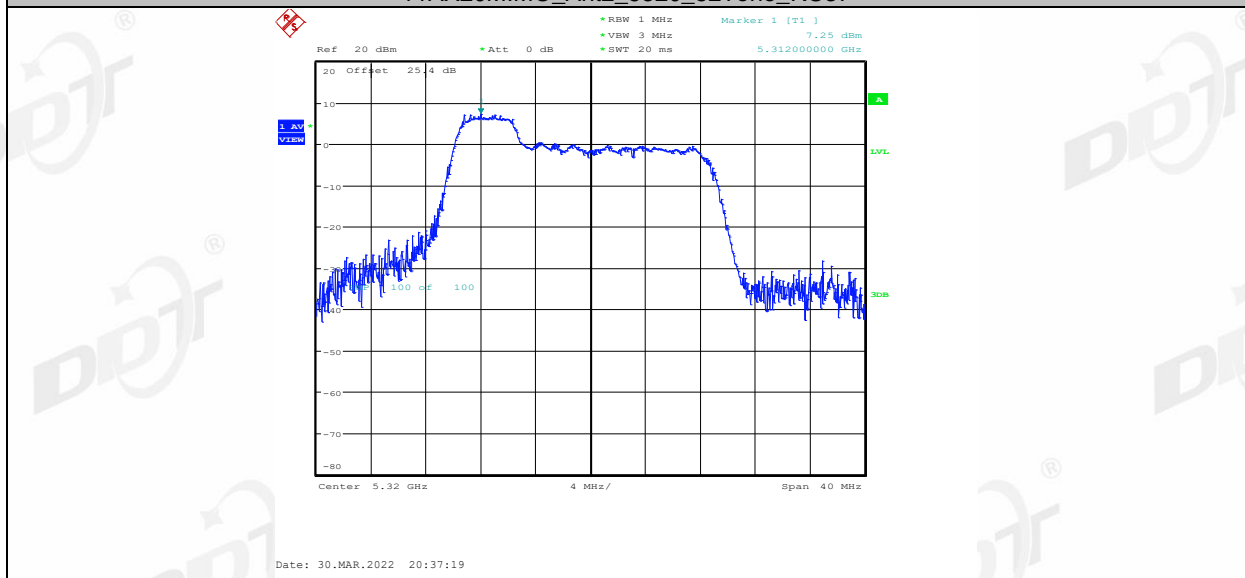
11AX20MIMO_Ant2_5320_26Tone_RU4



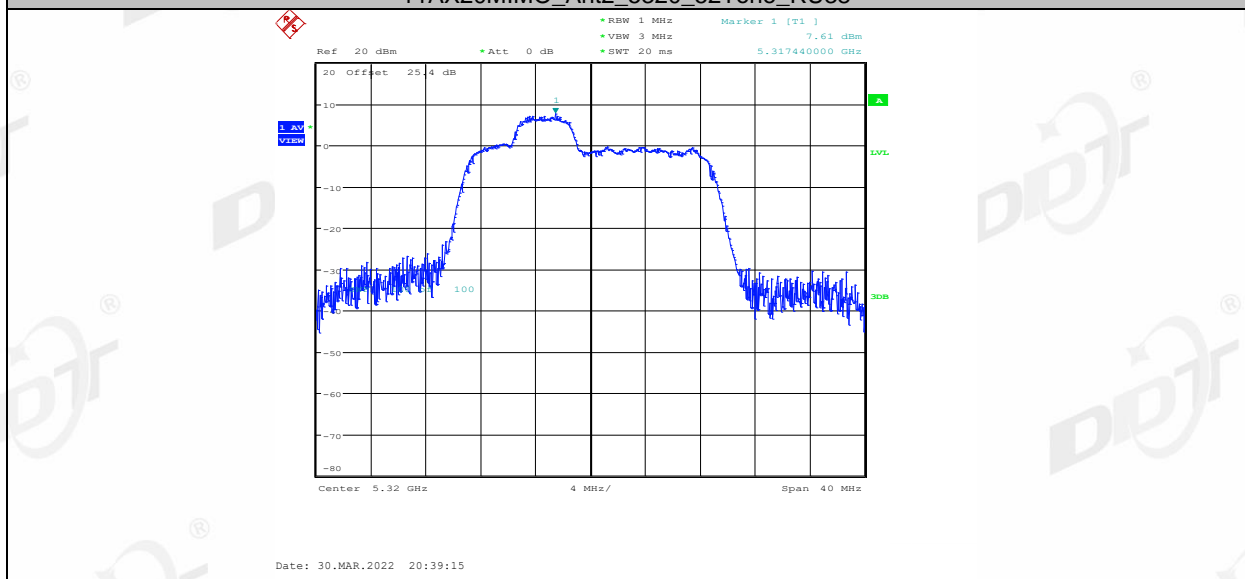
11AX20MIMO_Ant2_5320_26Tone_RU8



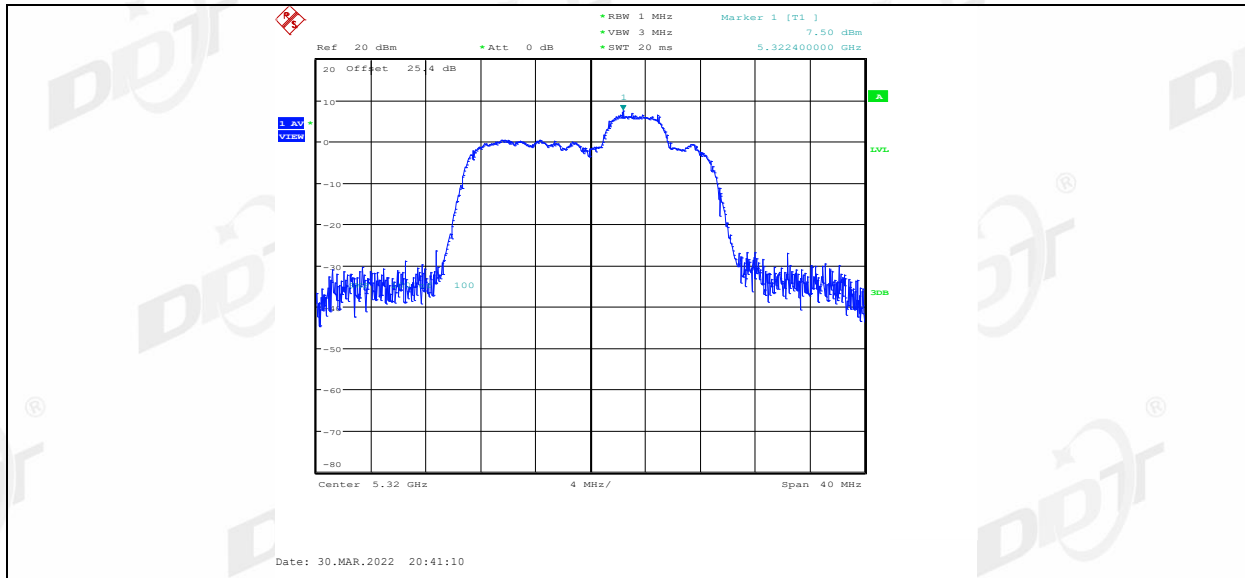
11AX20MIMO_Ant2_5320_52Tone_RU37



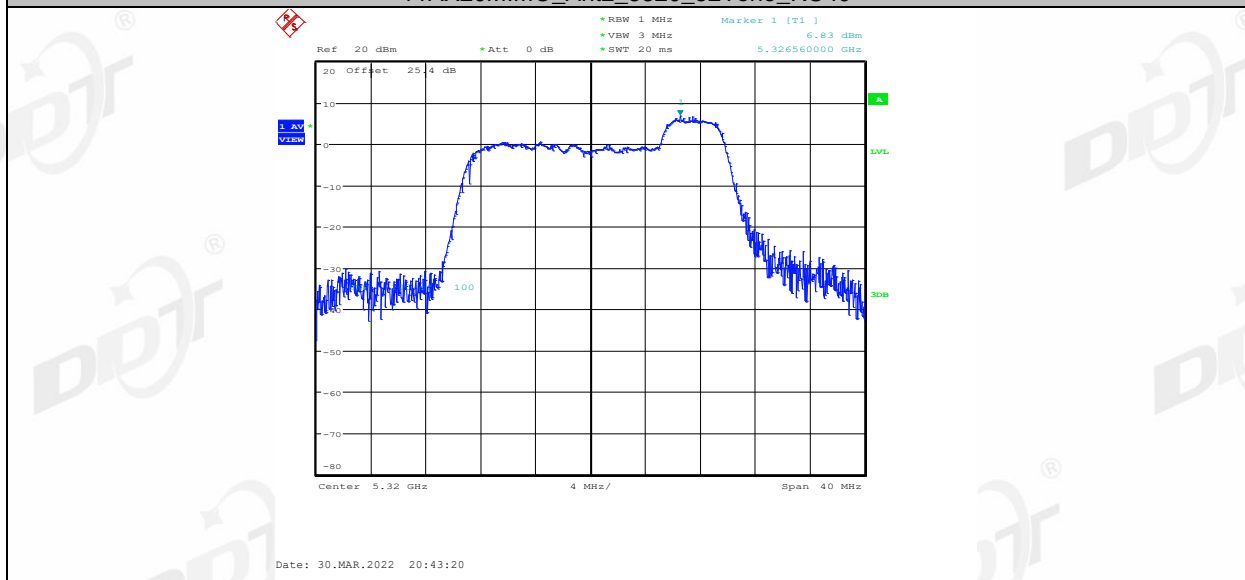
11AX20MIMO_Ant2_5320_52Tone_RU38



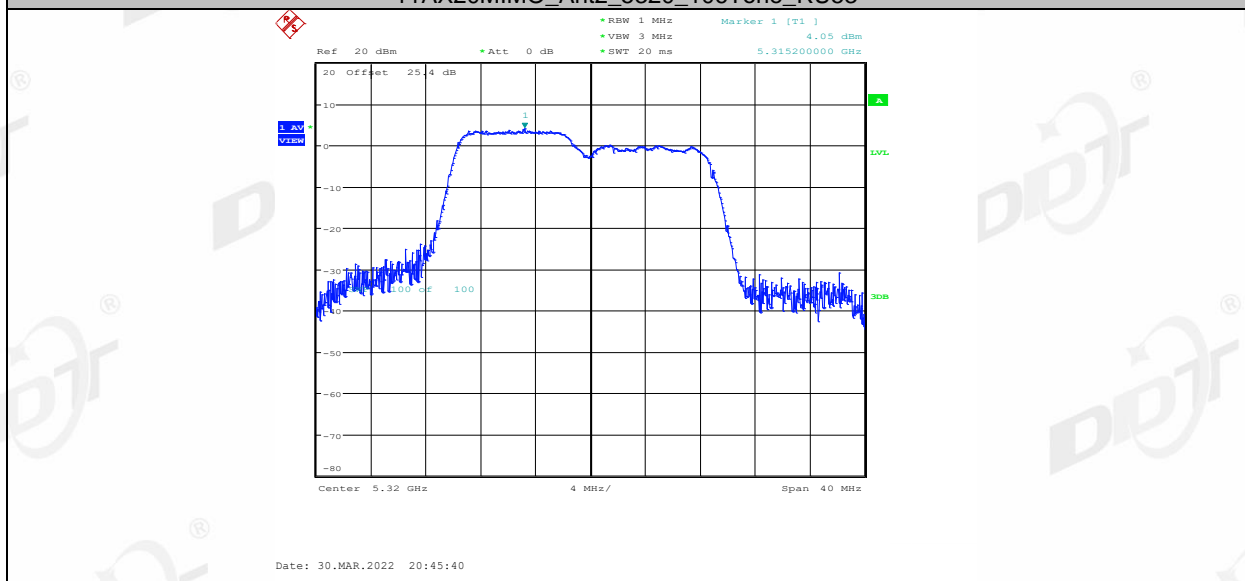
11AX20MIMO_Ant2_5320_52Tone_RU39



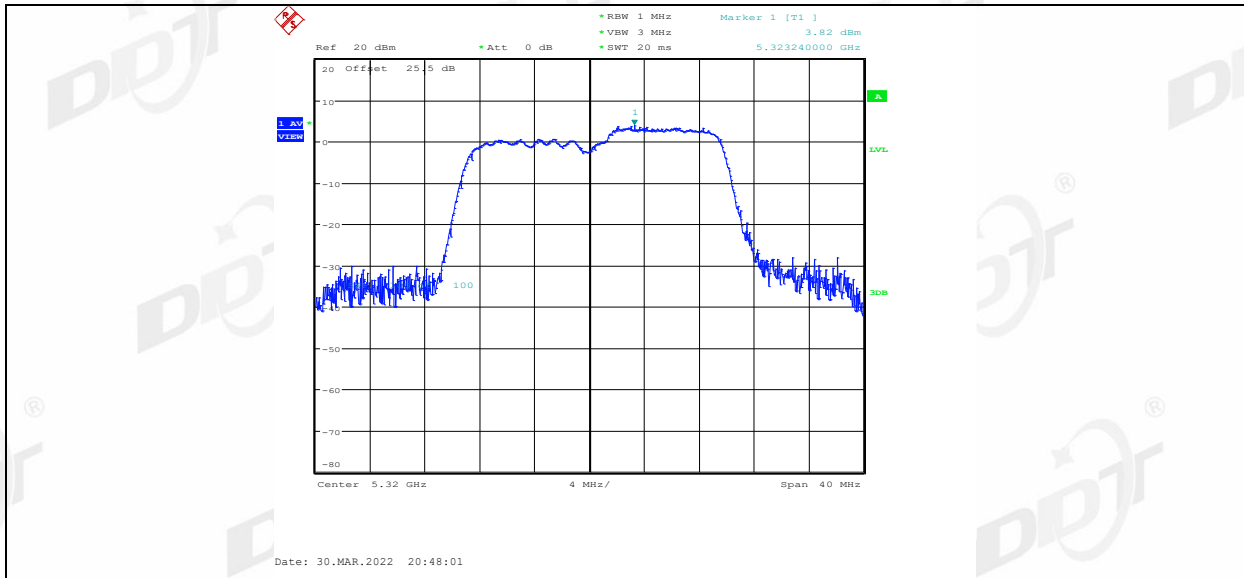
11AX20MIMO_Ant2_5320_52Tone_RU40



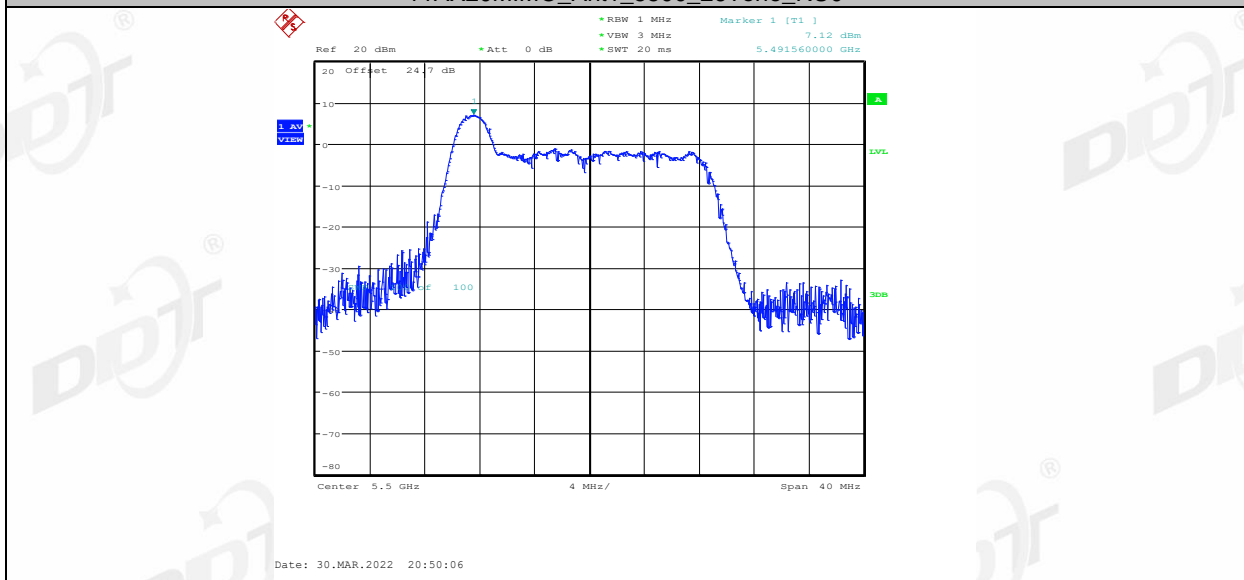
11AX20MIMO_Ant2_5320_106Tone_RU53



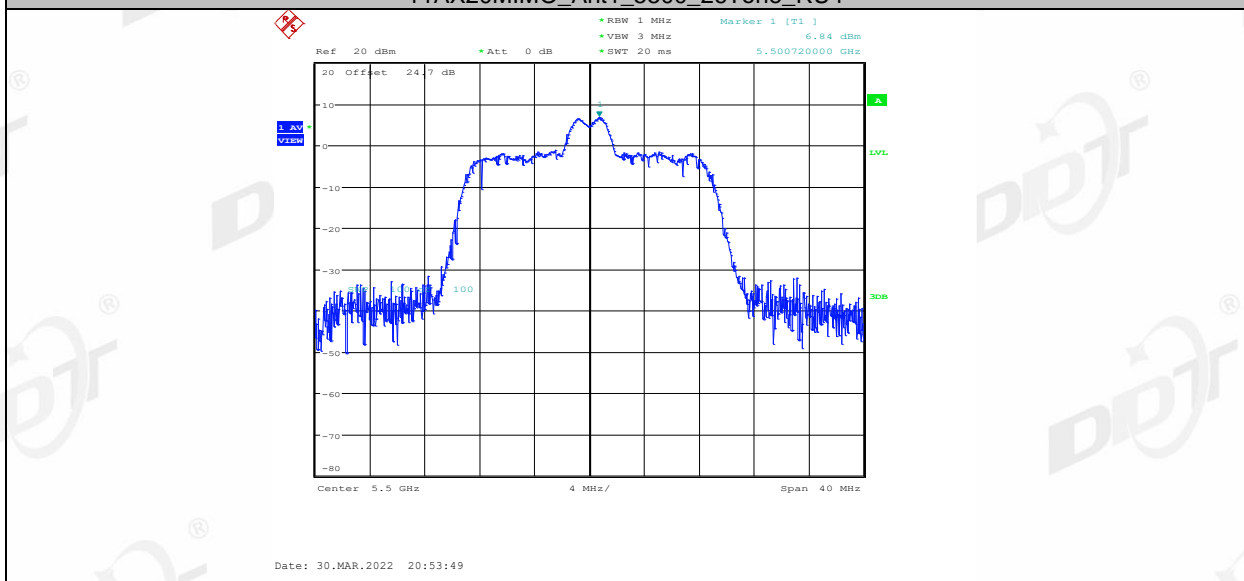
11AX20MIMO_Ant2_5320_106Tone_RU54



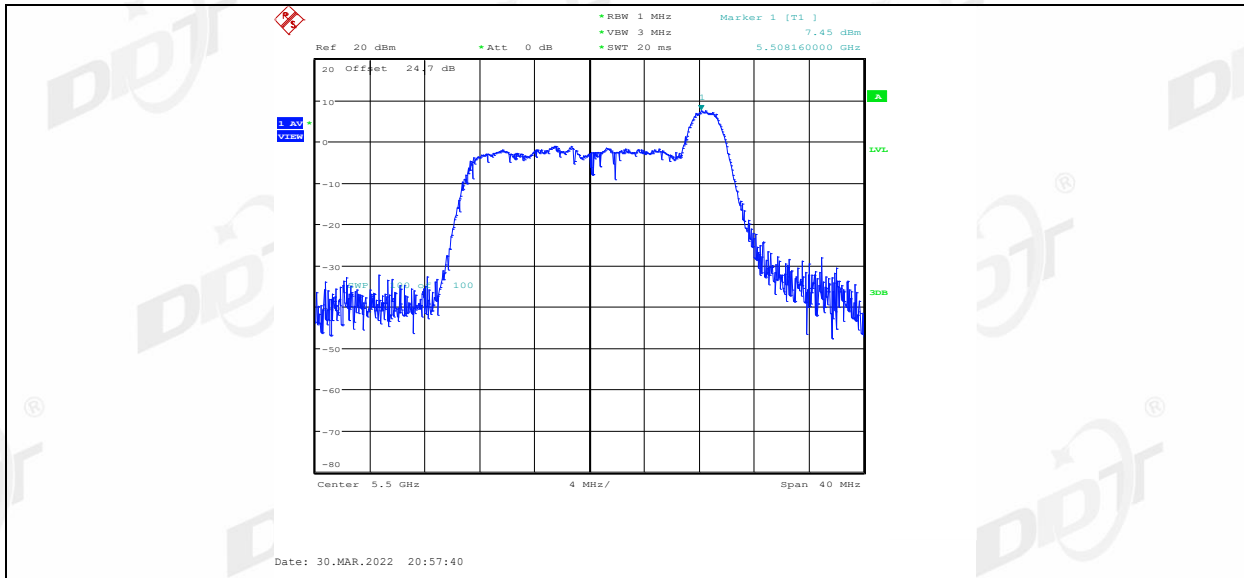
11AX20MIMO_Ant1_5500_26Tone_RU0



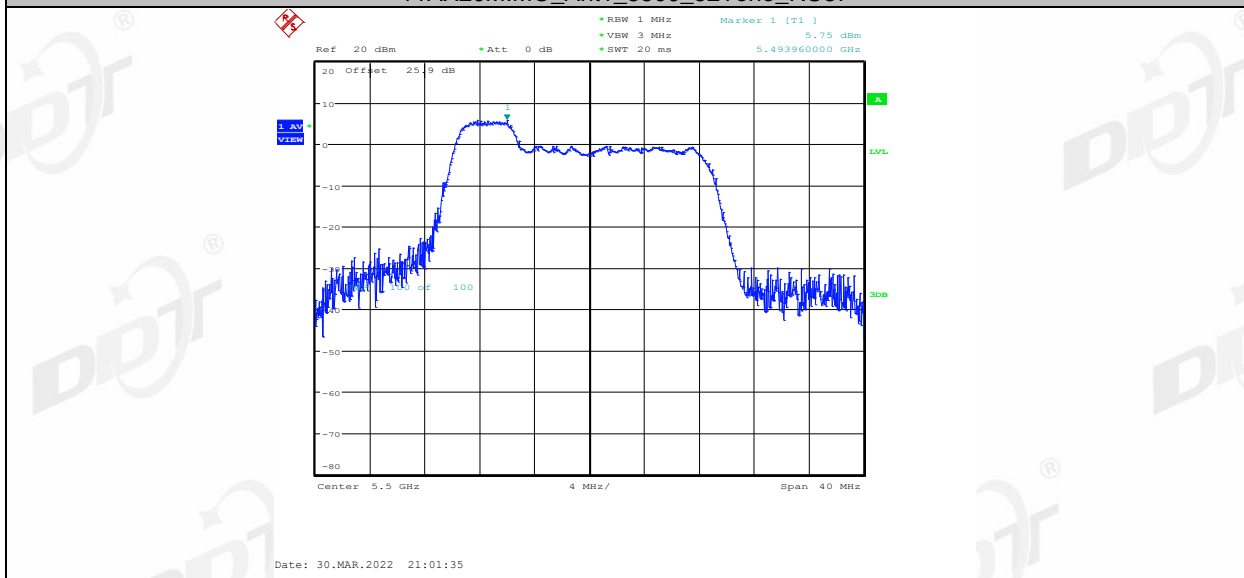
11AX20MIMO_Ant1_5500_26Tone_RU4



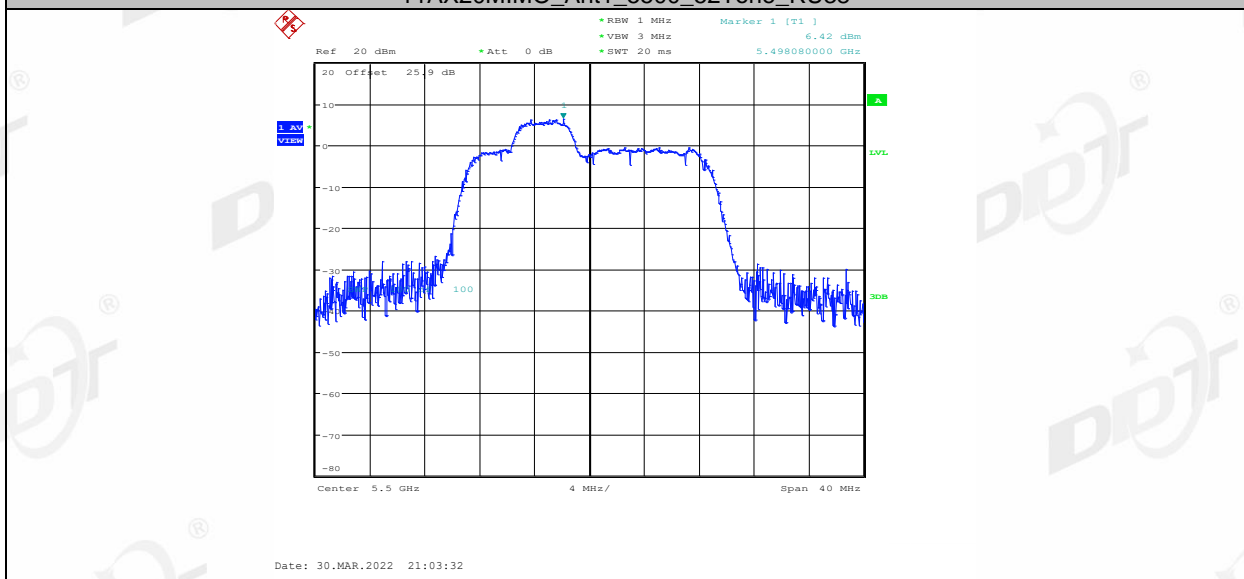
11AX20MIMO_Ant1_5500_26Tone_RU8



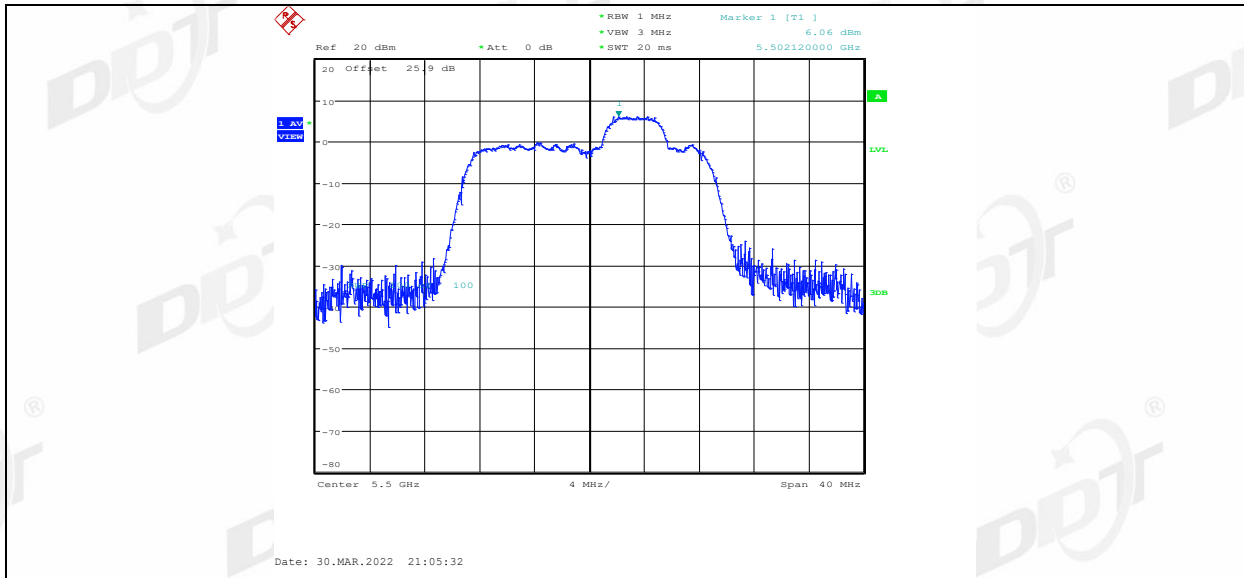
11AX20MIMO_Ant1_5500_52Tone_RU37



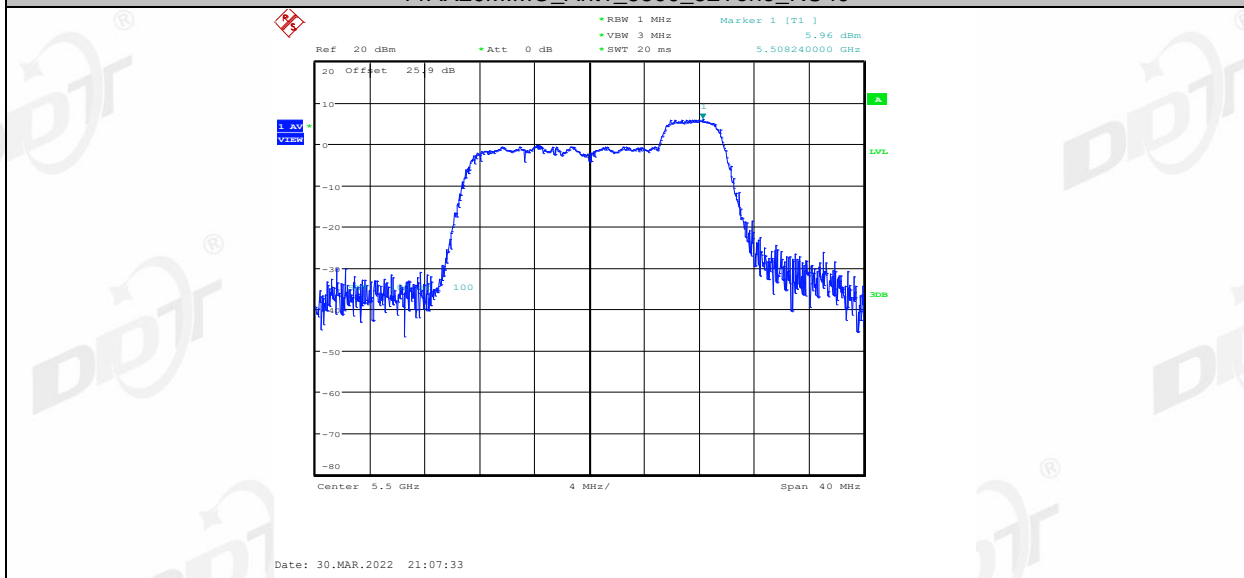
11AX20MIMO_Ant1_5500_52Tone_RU38



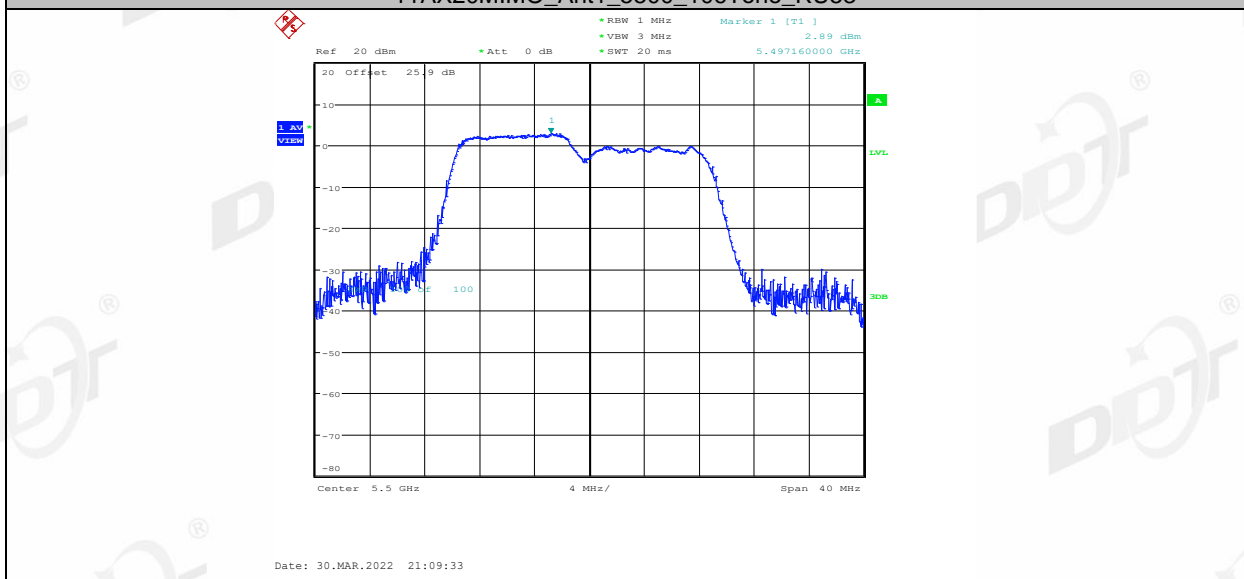
11AX20MIMO_Ant1_5500_52Tone_RU39



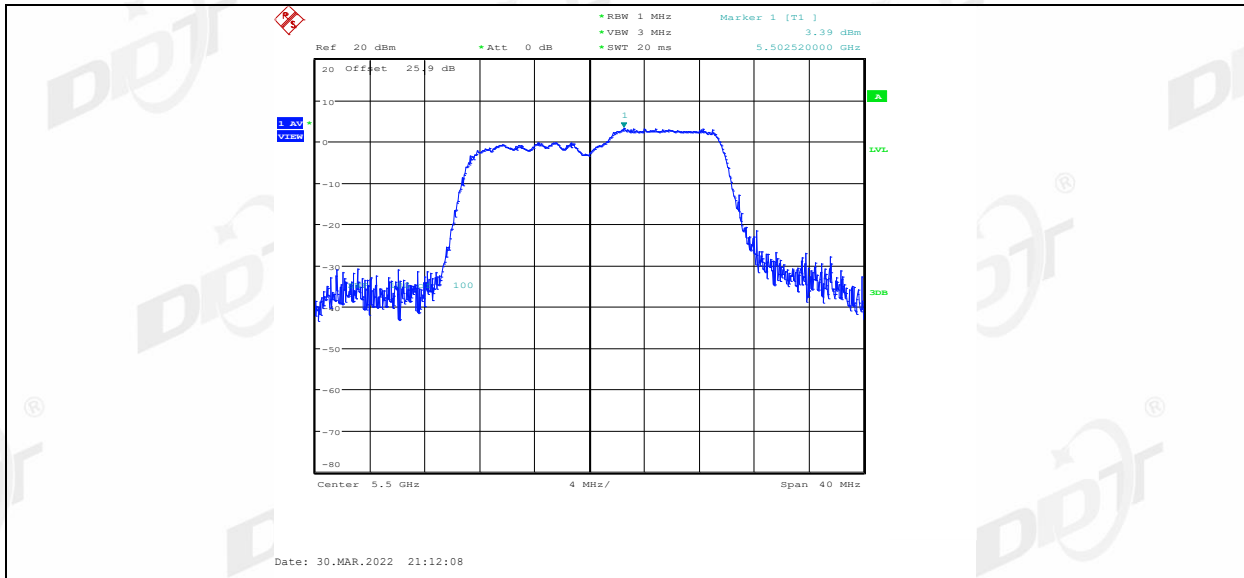
11AX20MIMO_Ant1_5500_52Tone_RU40



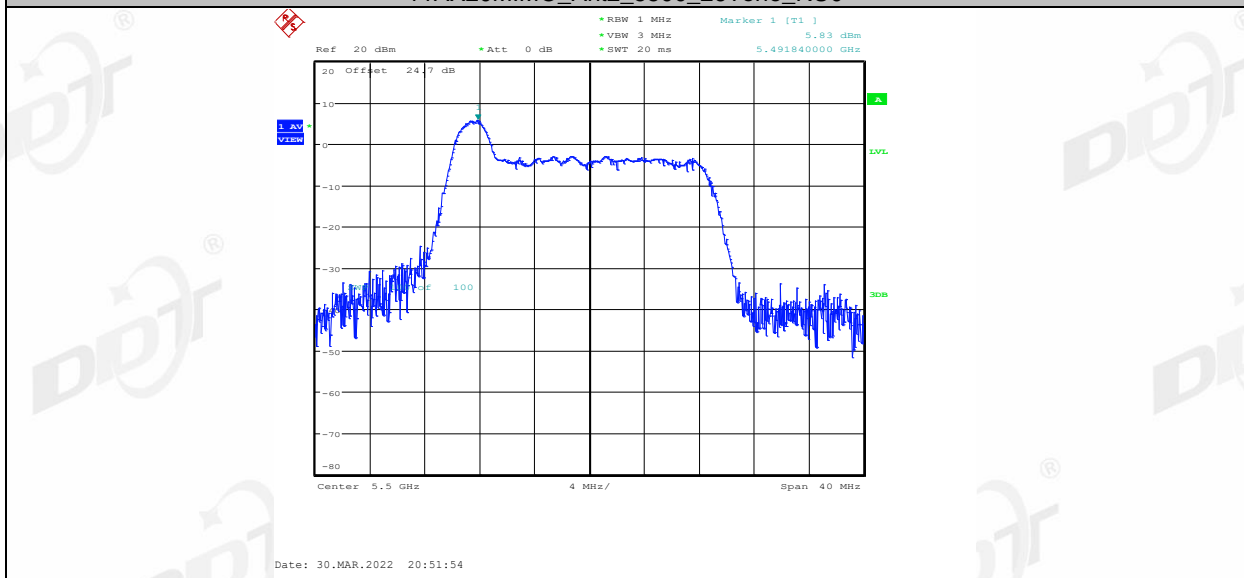
11AX20MIMO_Ant1_5500_106Tone_RU53



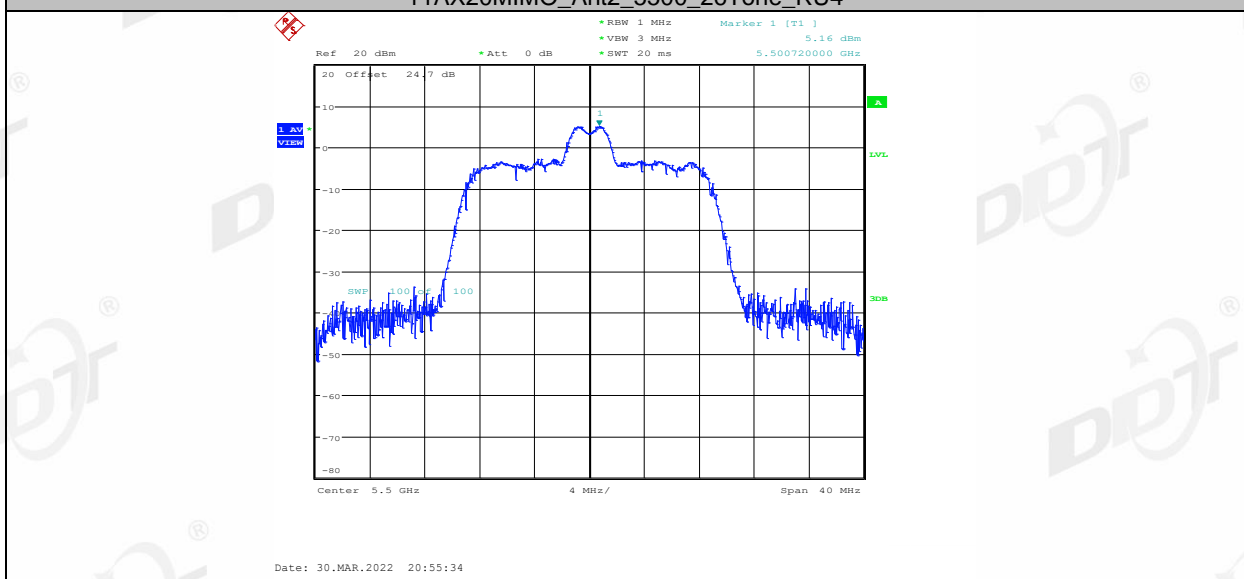
11AX20MIMO_Ant1_5500_106Tone_RU54



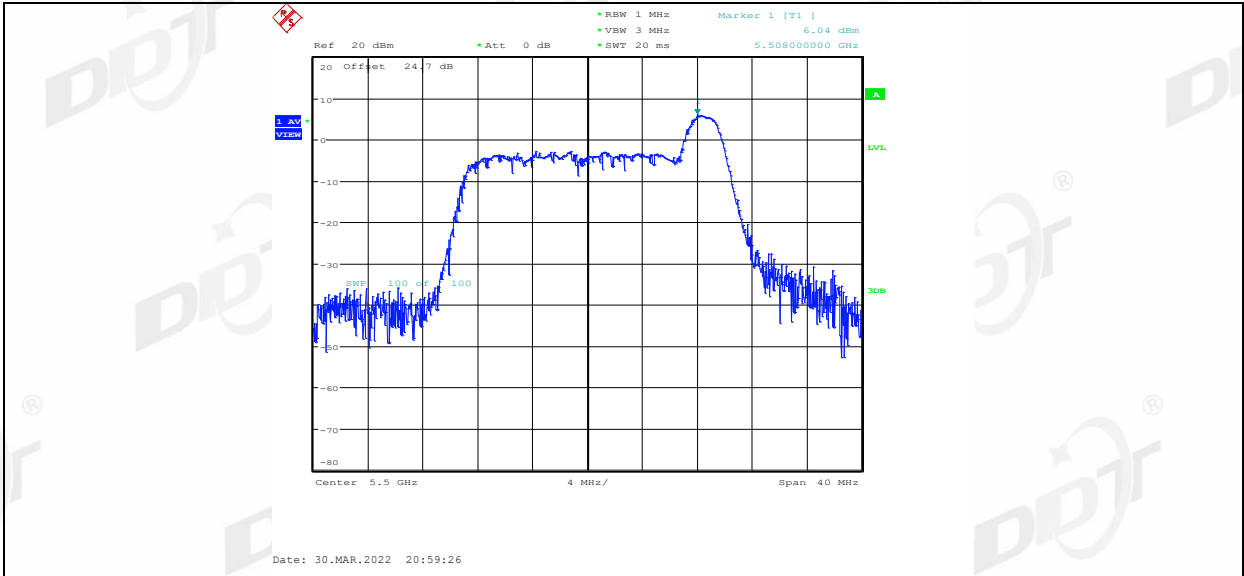
11AX20MIMO_Ant2_5500_26Tone_RU0



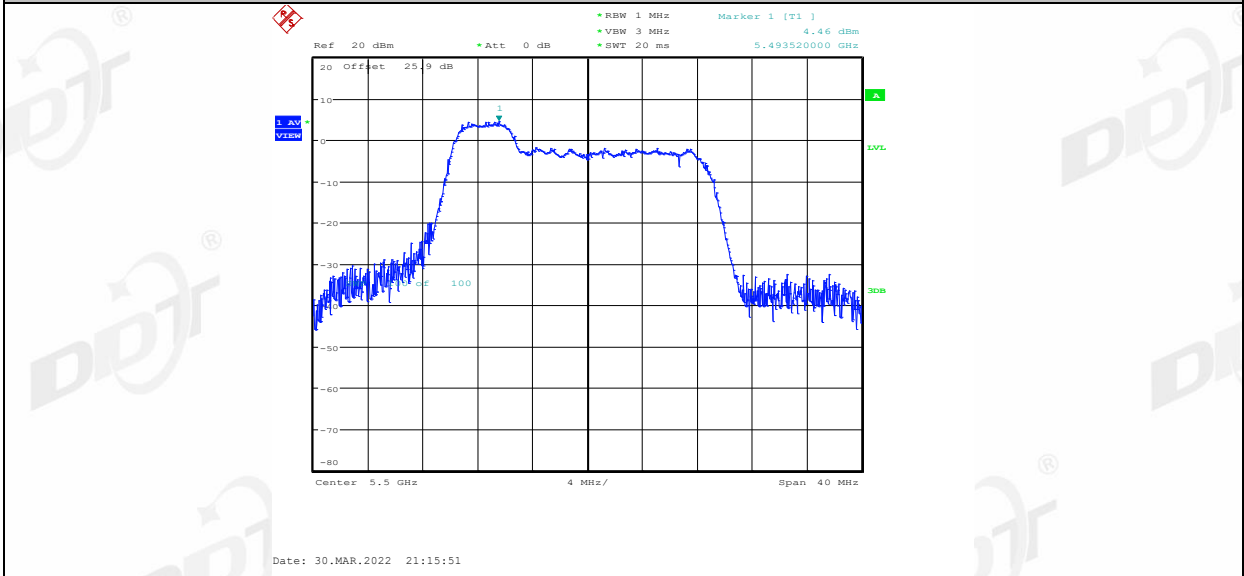
11AX20MIMO_Ant2_5500_26Tone_RU4



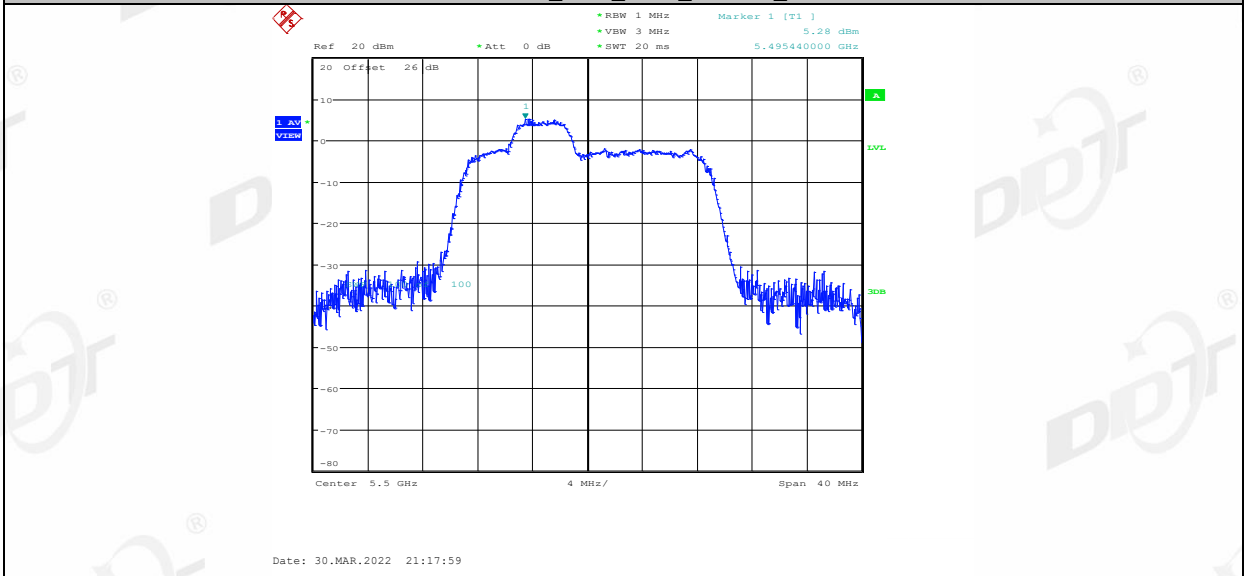
11AX20MIMO_Ant2_5500_26Tone_RU8



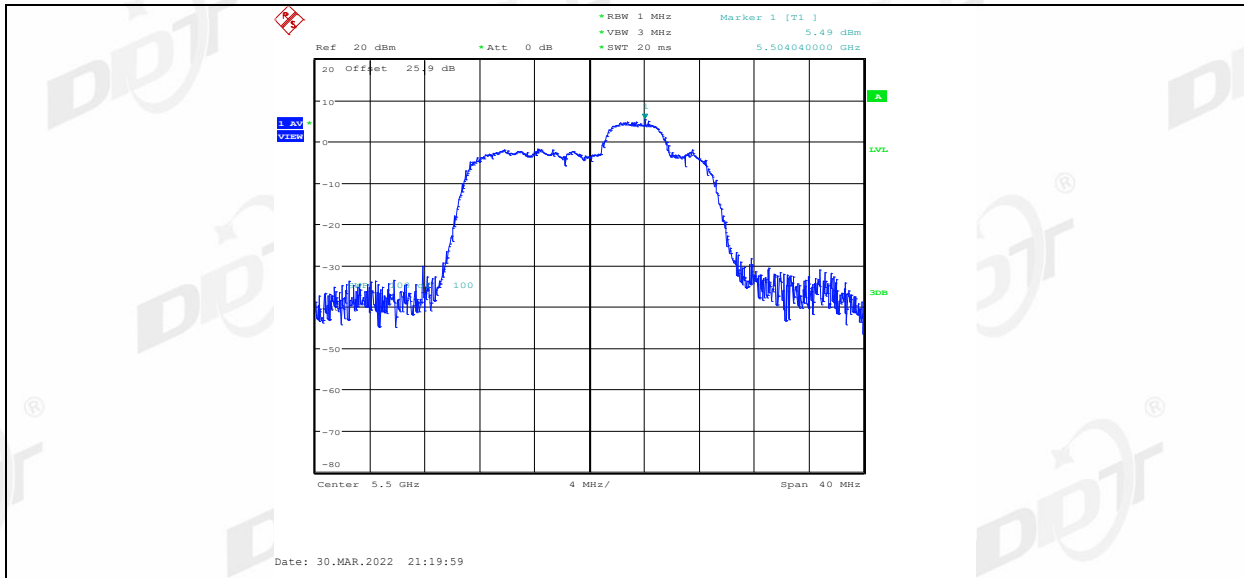
11AX20MIMO_Ant2_5500_52Tone_RU37



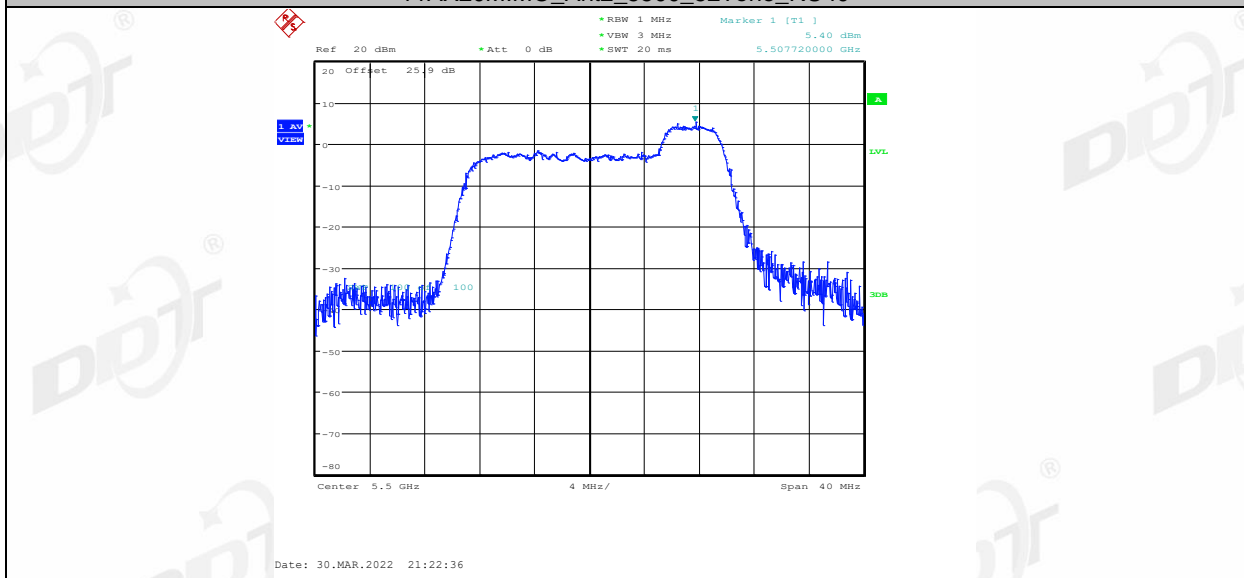
11AX20MIMO_Ant2_5500_52Tone_RU38



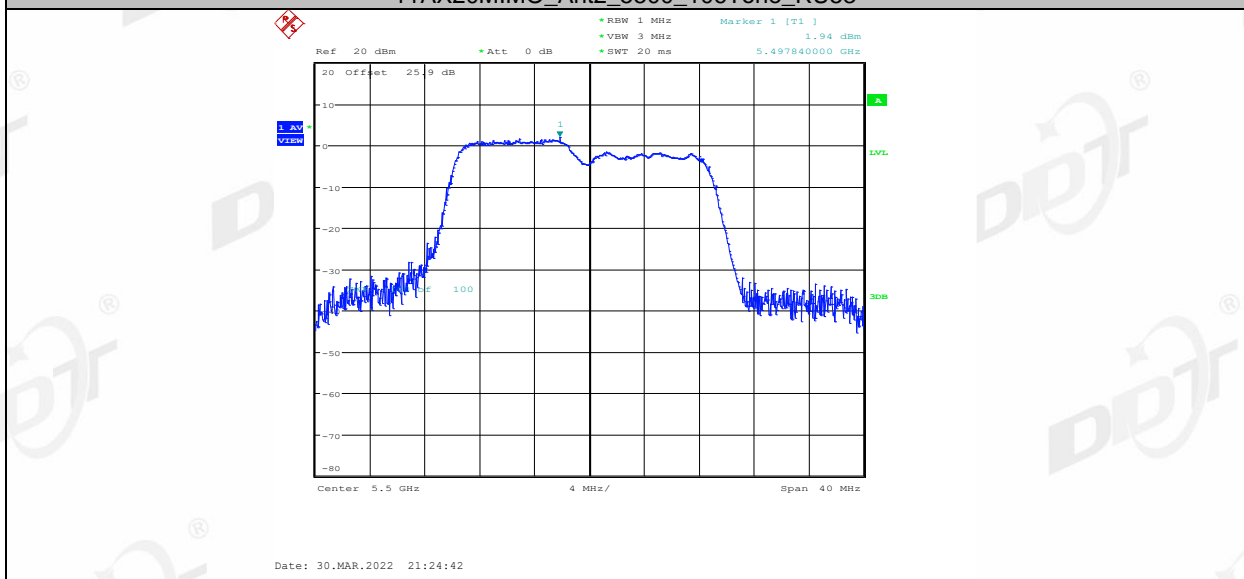
11AX20MIMO_Ant2_5500_52Tone_RU39



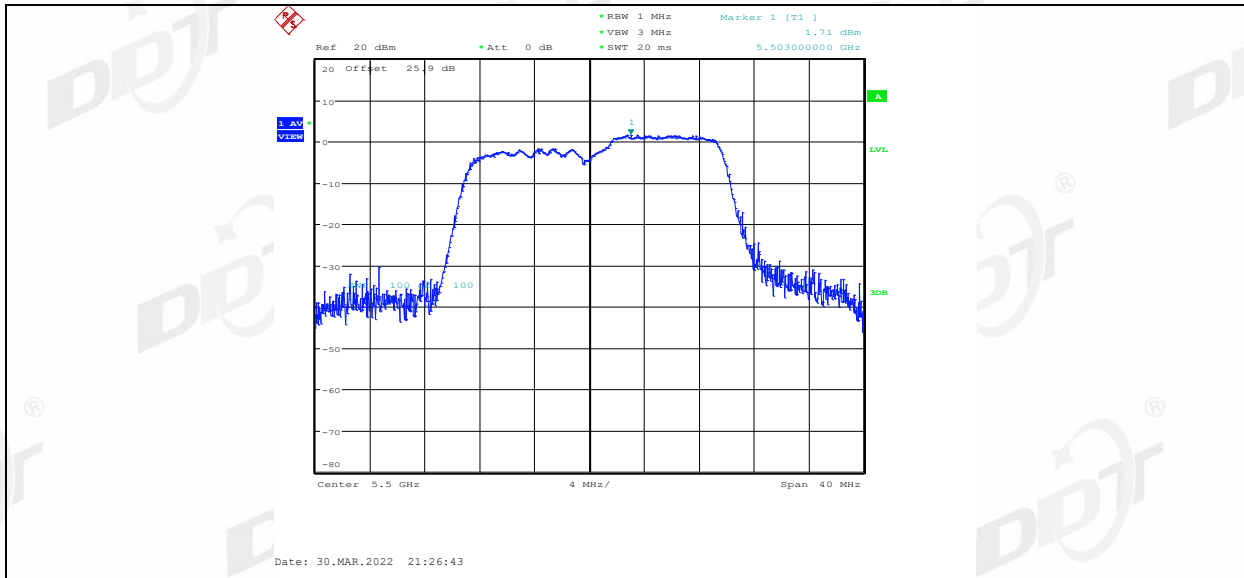
11AX20MIMO_Ant2_5500_52Tone_RU40



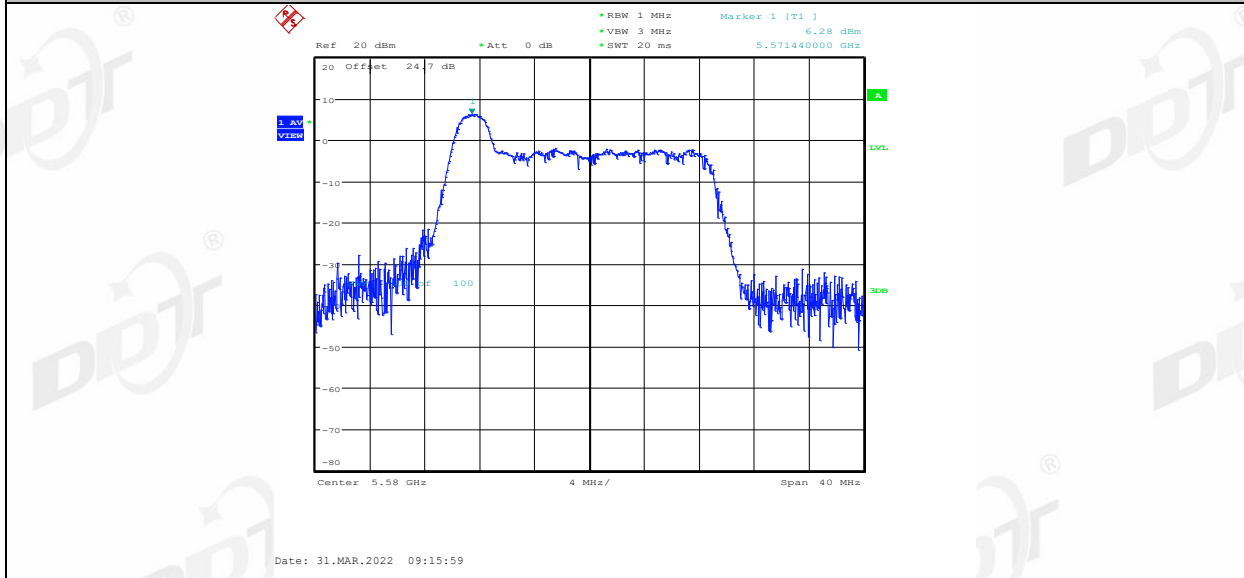
11AX20MIMO_Ant2_5500_106Tone_RU53



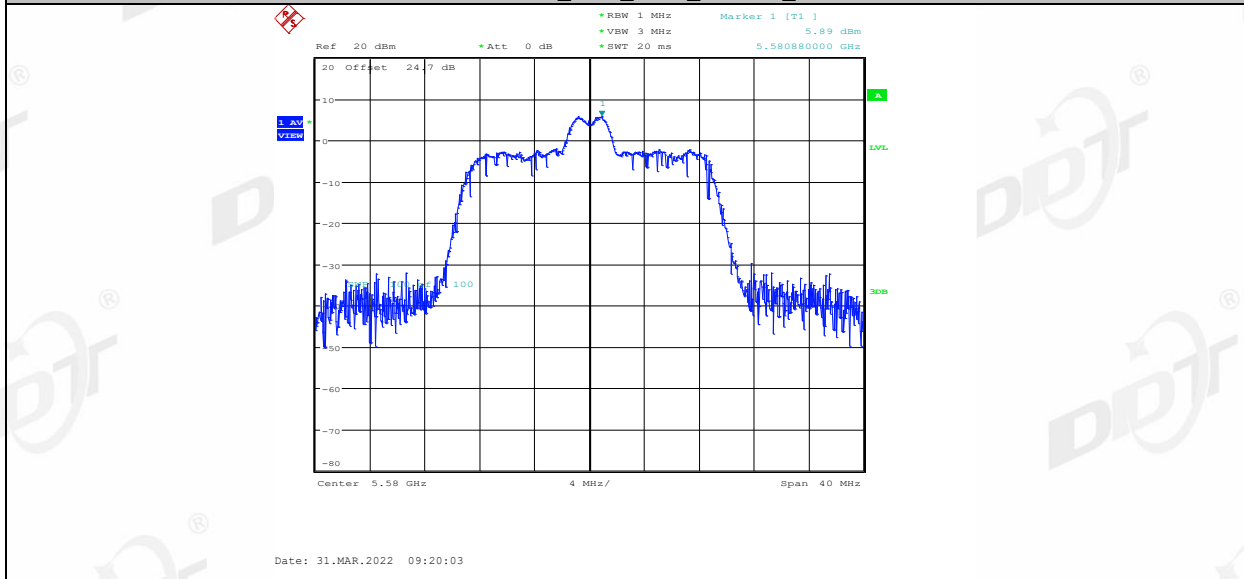
11AX20MIMO_Ant2_5500_106Tone_RU54



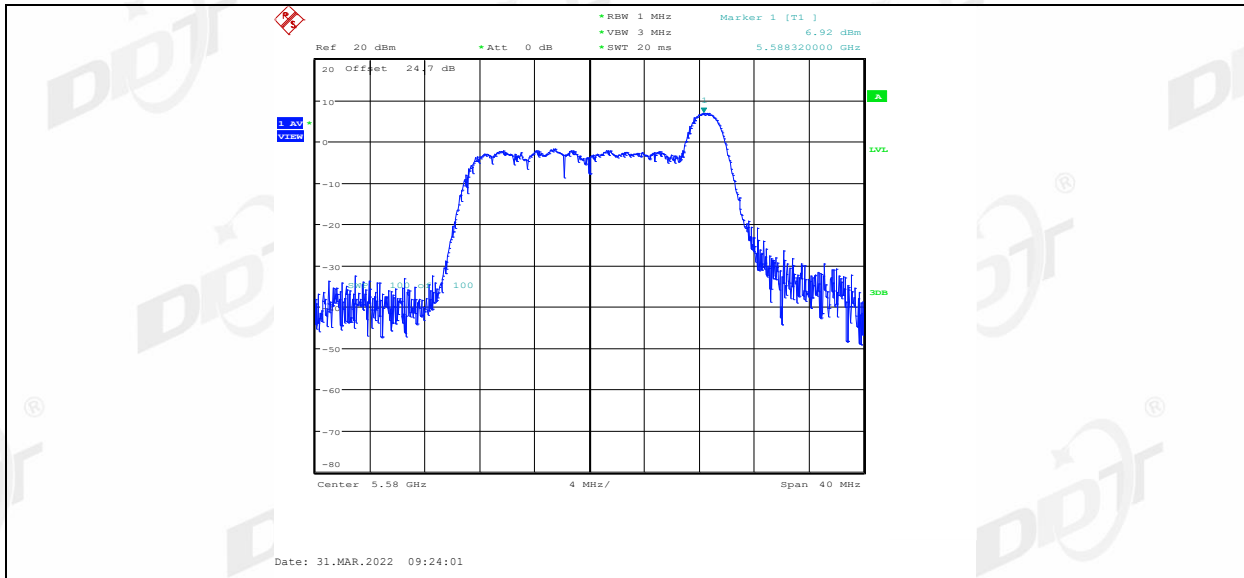
11AX20MIMO_Ant1_5580_26Tone_RU0



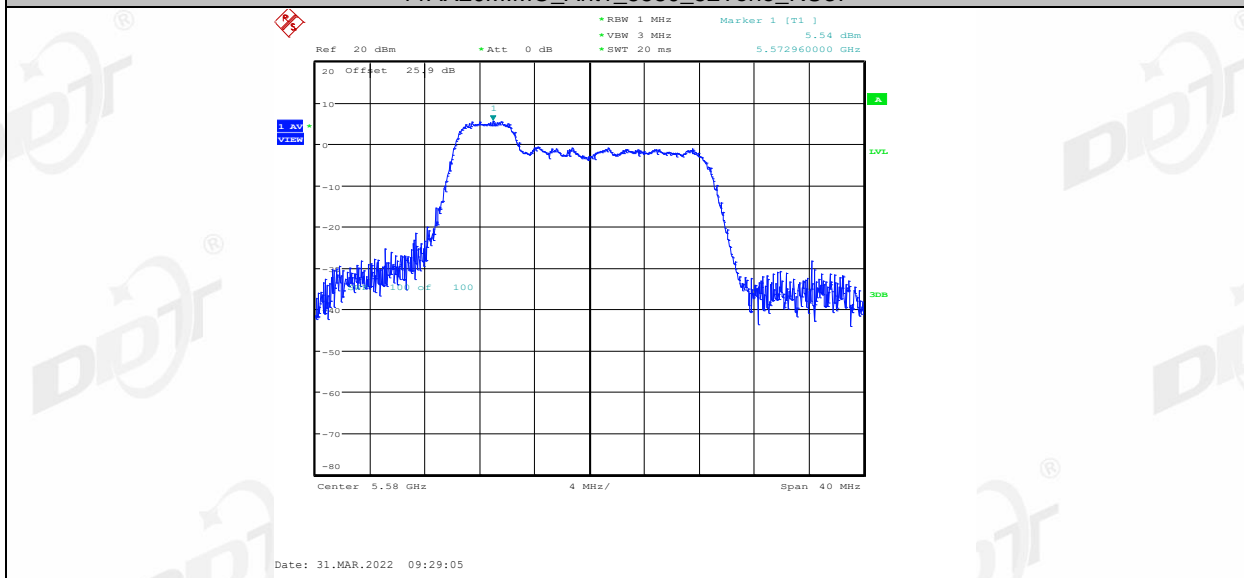
11AX20MIMO_Ant1_5580_26Tone_RU4



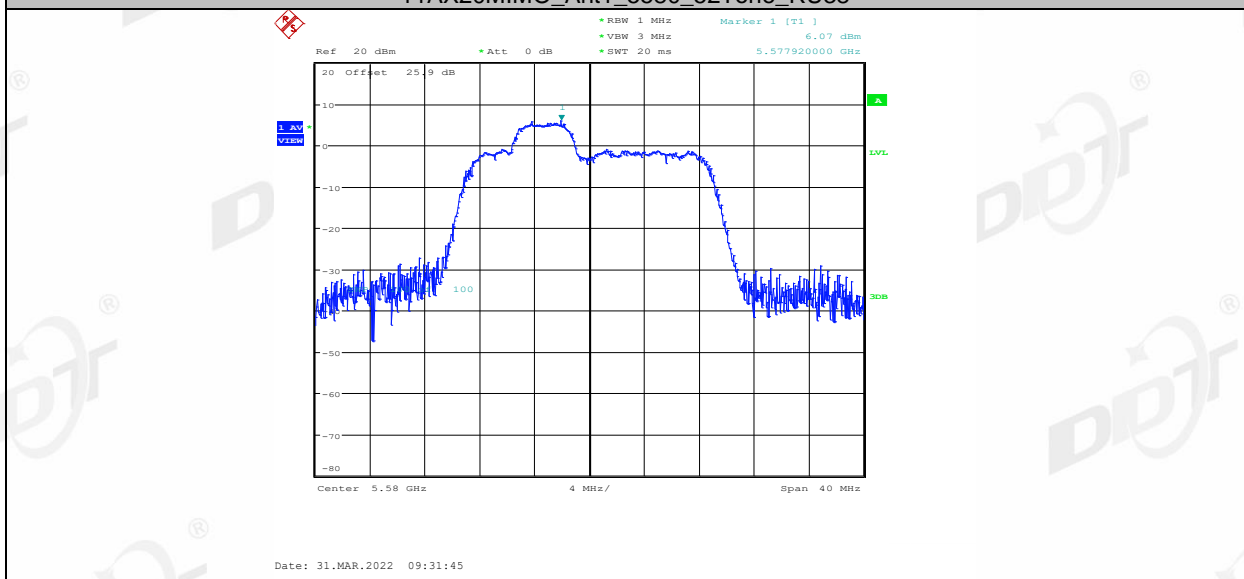
11AX20MIMO_Ant1_5580_26Tone_RU8



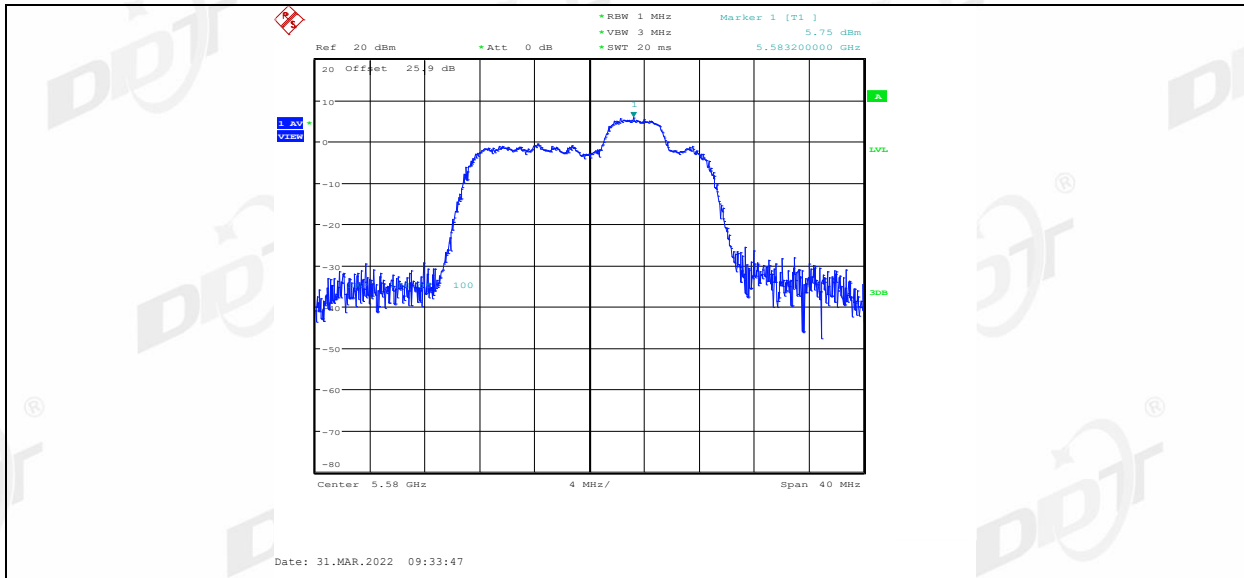
11AX20MIMO_Ant1_5580_52Tone_RU37



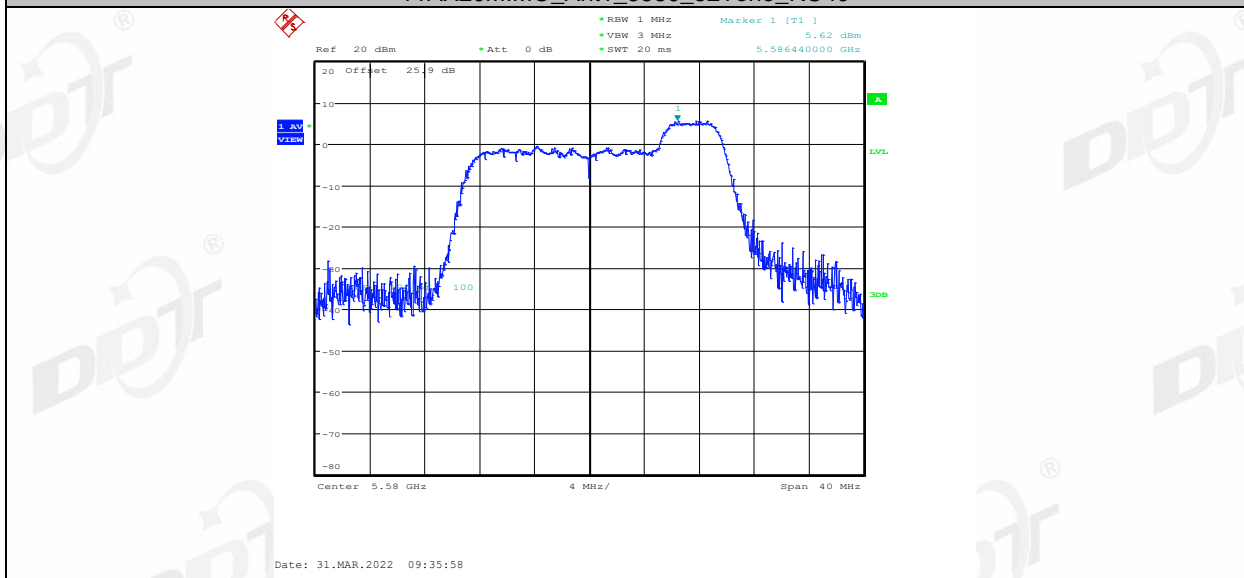
11AX20MIMO_Ant1_5580_52Tone_RU38



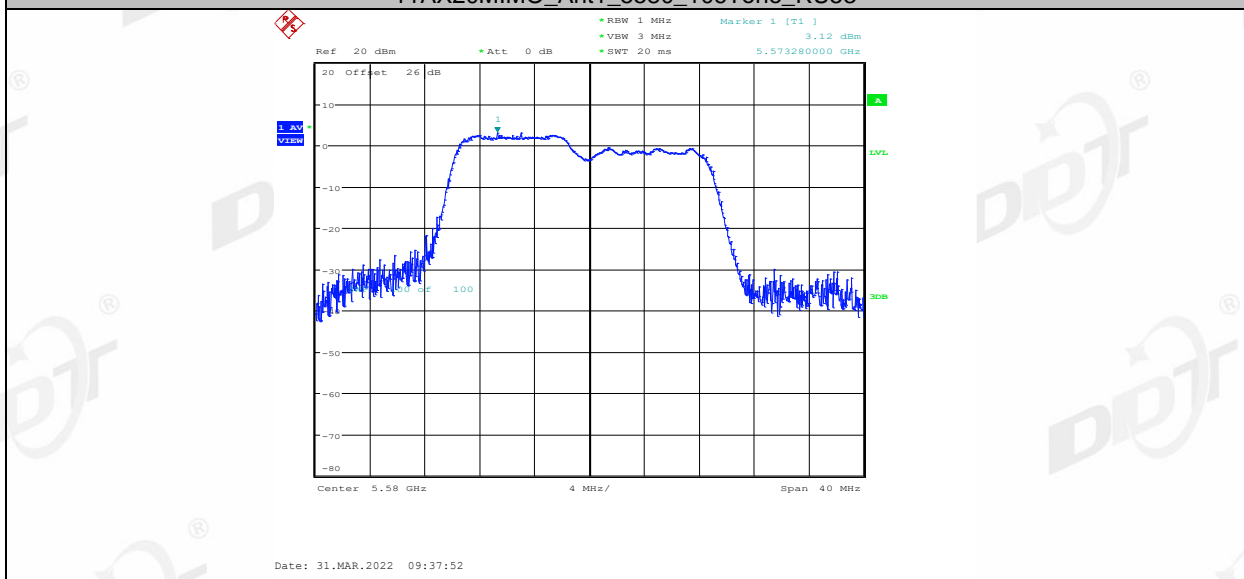
11AX20MIMO_Ant1_5580_52Tone_RU39



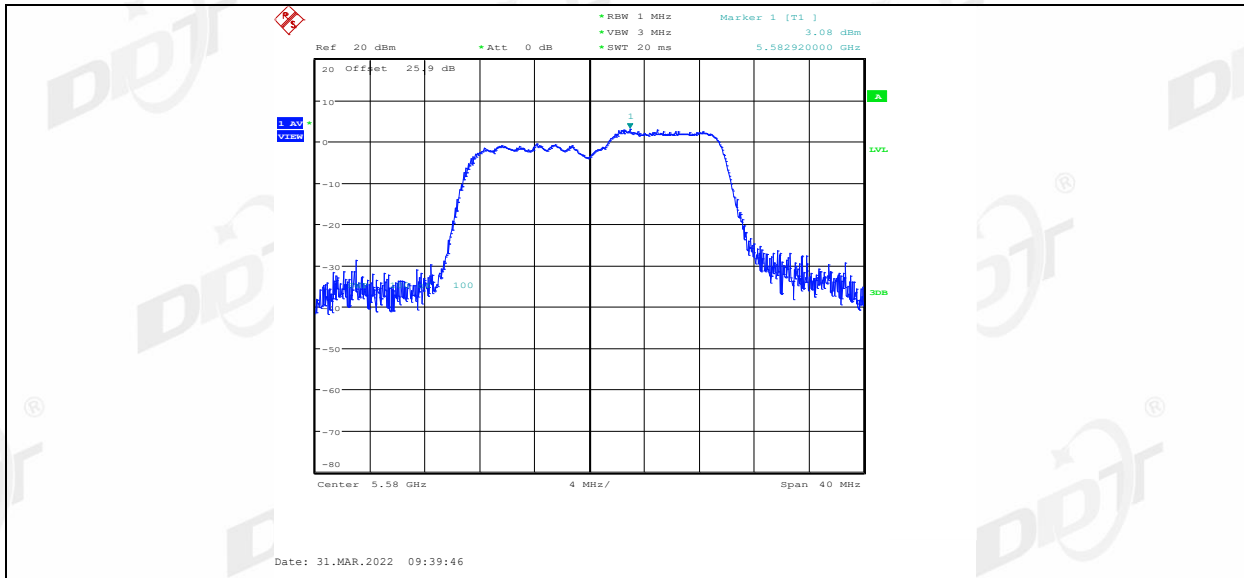
11AX20MIMO_Ant1_5580_52Tone_RU40



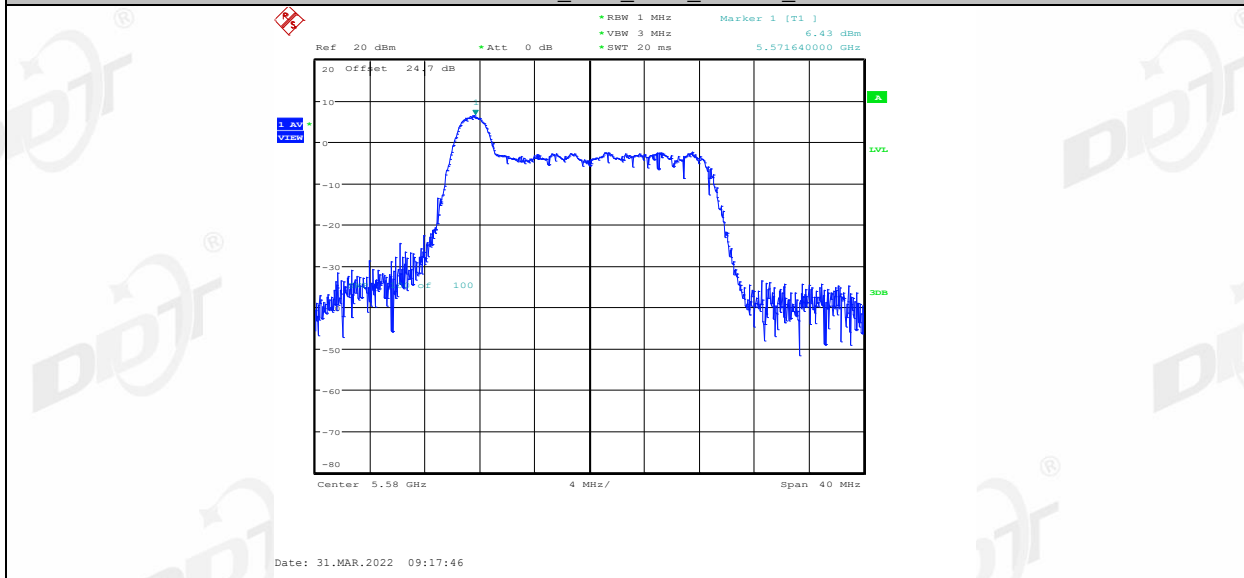
11AX20MIMO_Ant1_5580_106Tone_RU53



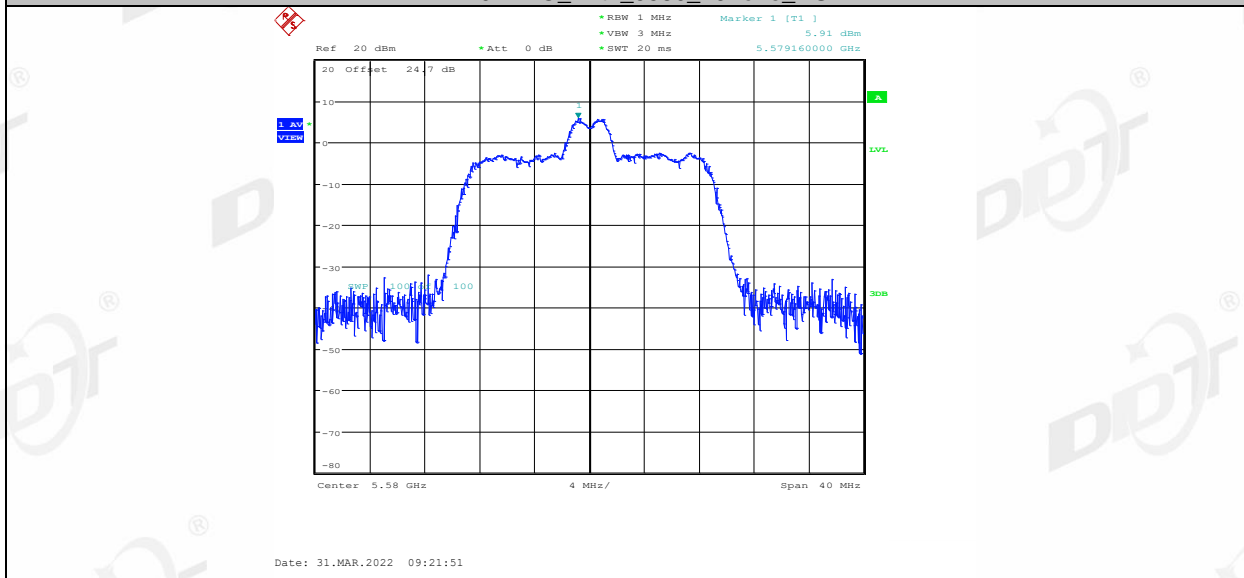
11AX20MIMO_Ant1_5580_106Tone_RU54



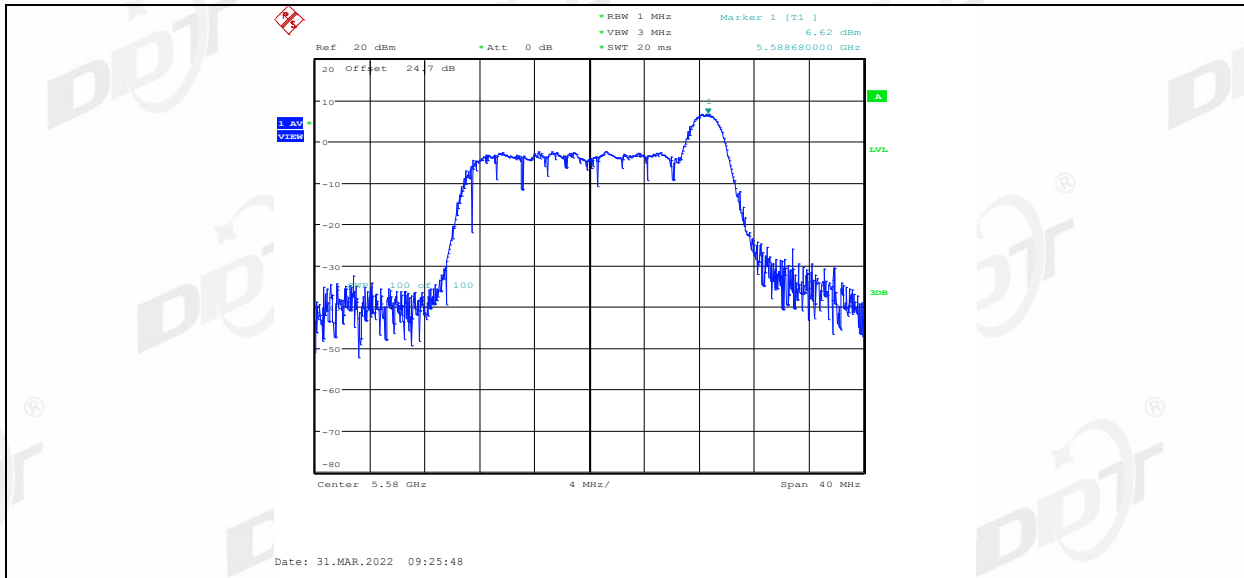
11AX20MIMO_Ant2_5580_26Tone_RU0



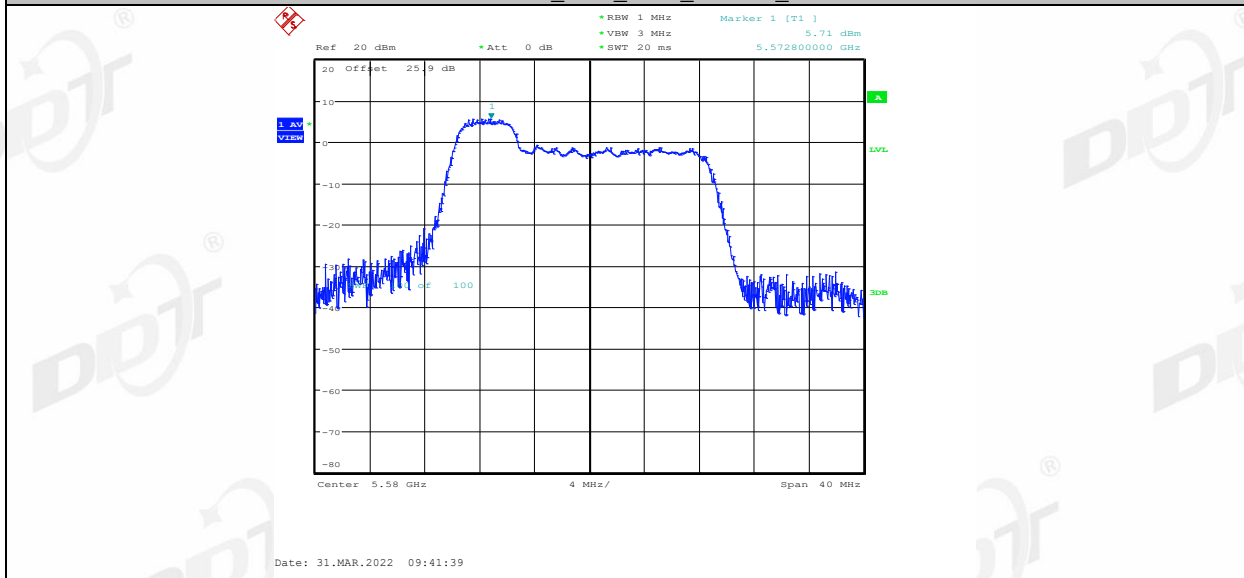
11AX20MIMO_Ant2_5580_26Tone_RU4



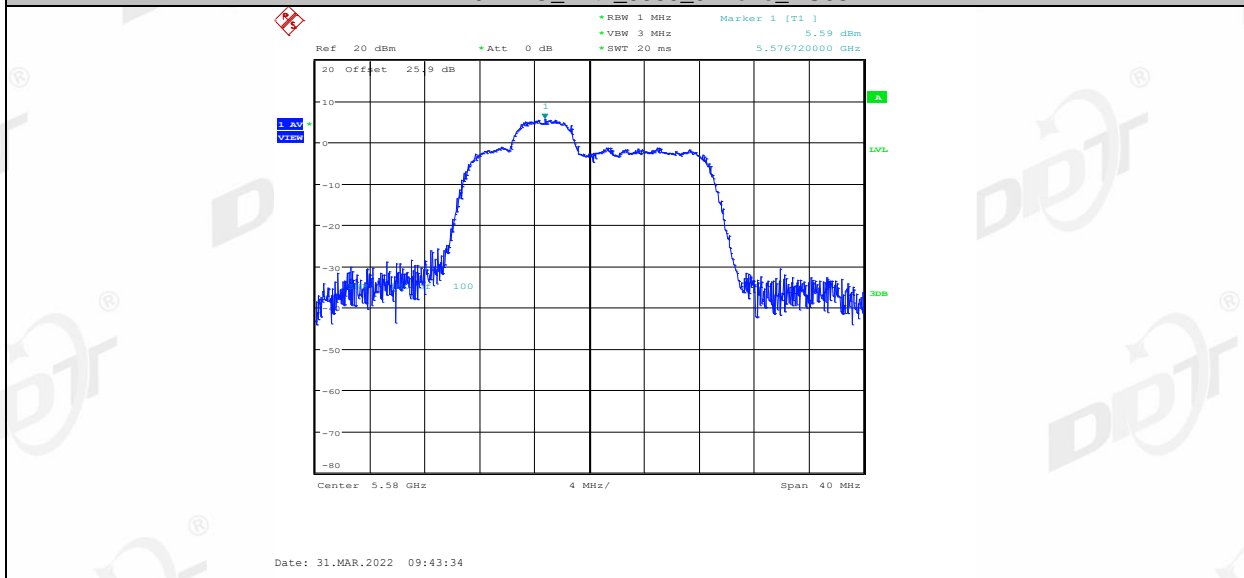
11AX20MIMO_Ant2_5580_26Tone_RU8



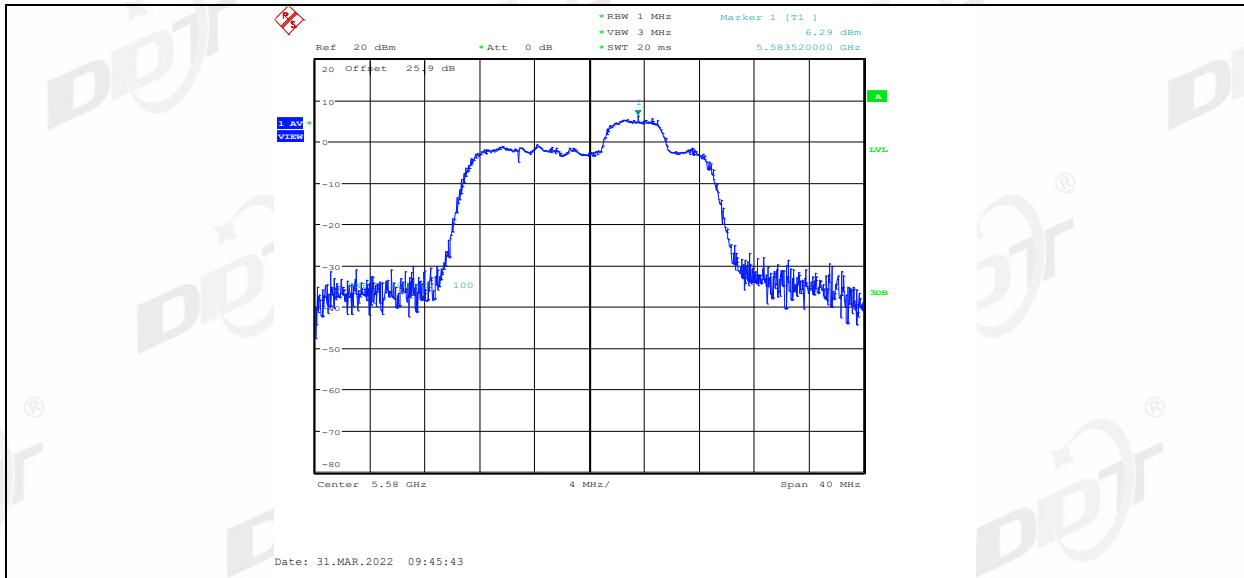
11AX20MIMO_Ant2_5580_52Tone_RU37



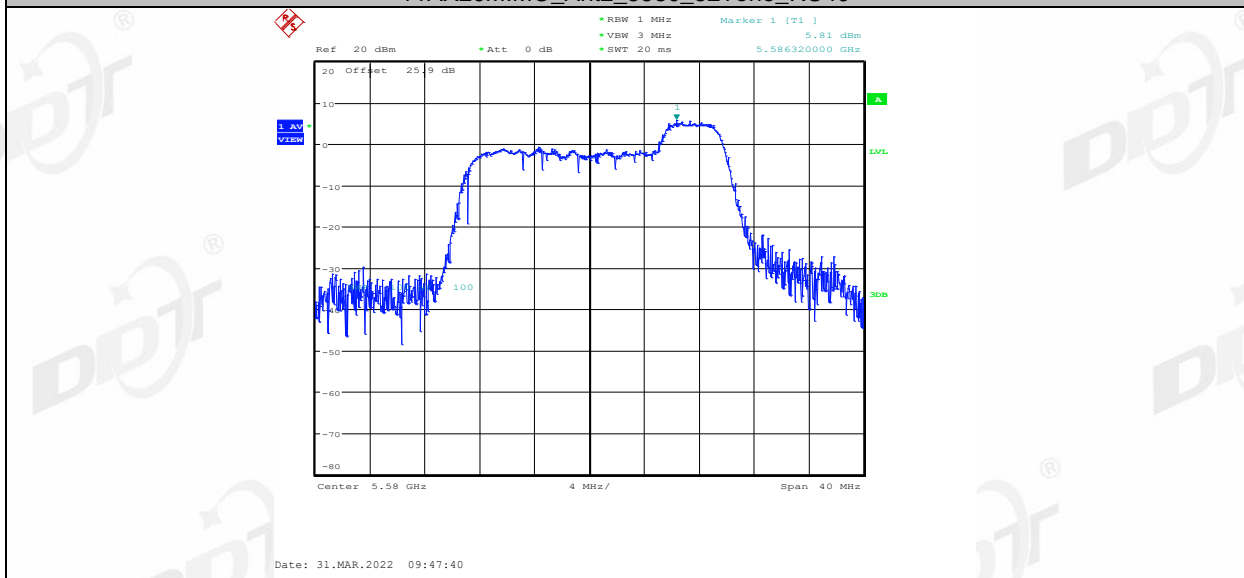
11AX20MIMO_Ant2_5580_52Tone_RU38



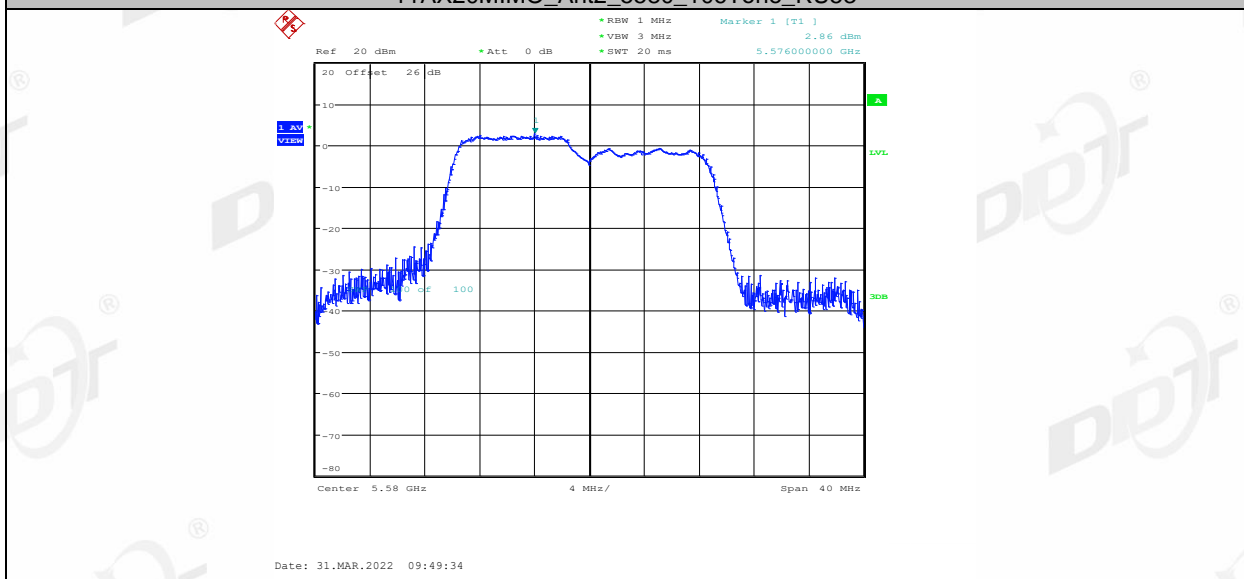
11AX20MIMO_Ant2_5580_52Tone_RU39



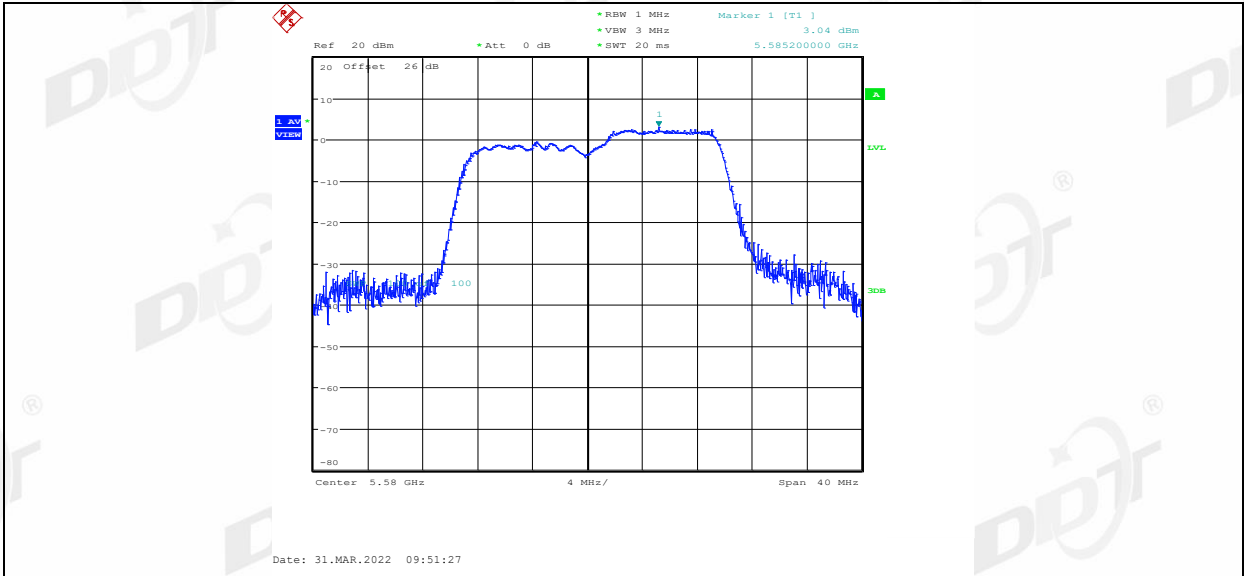
11AX20MIMO_Ant2_5580_52Tone_RU40



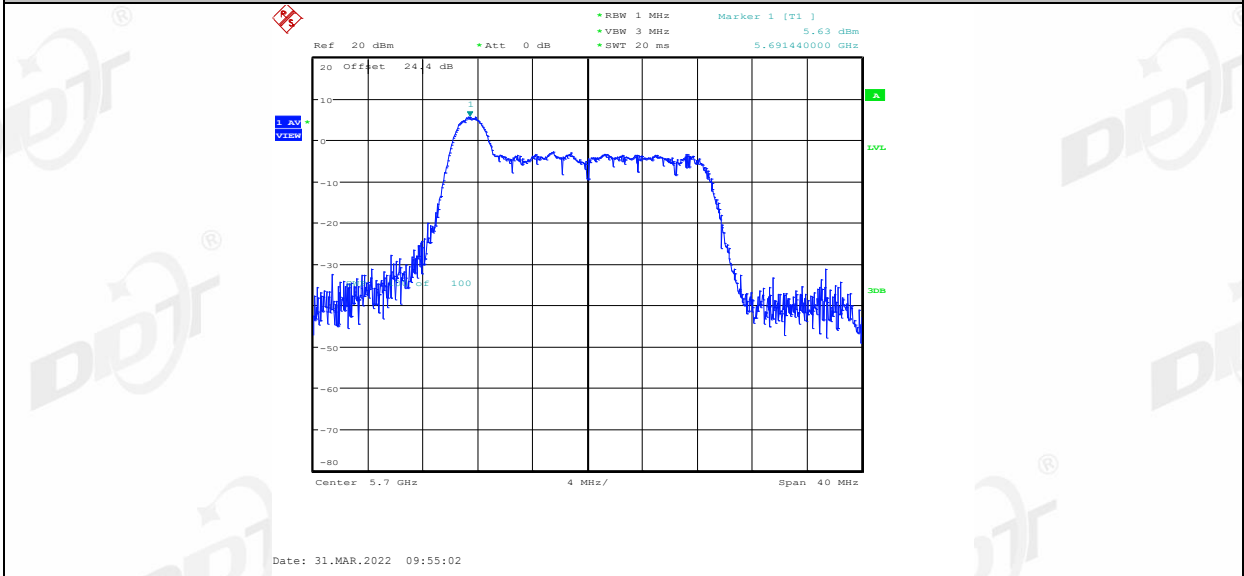
11AX20MIMO_Ant2_5580_106Tone_RU53



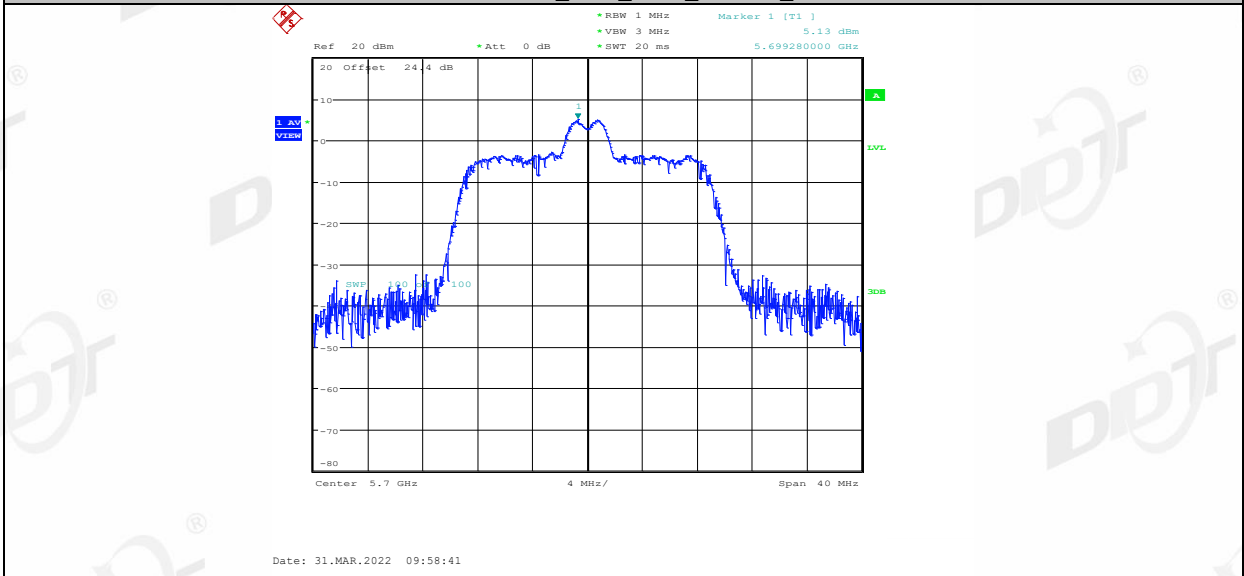
11AX20MIMO_Ant2_5580_106Tone_RU54



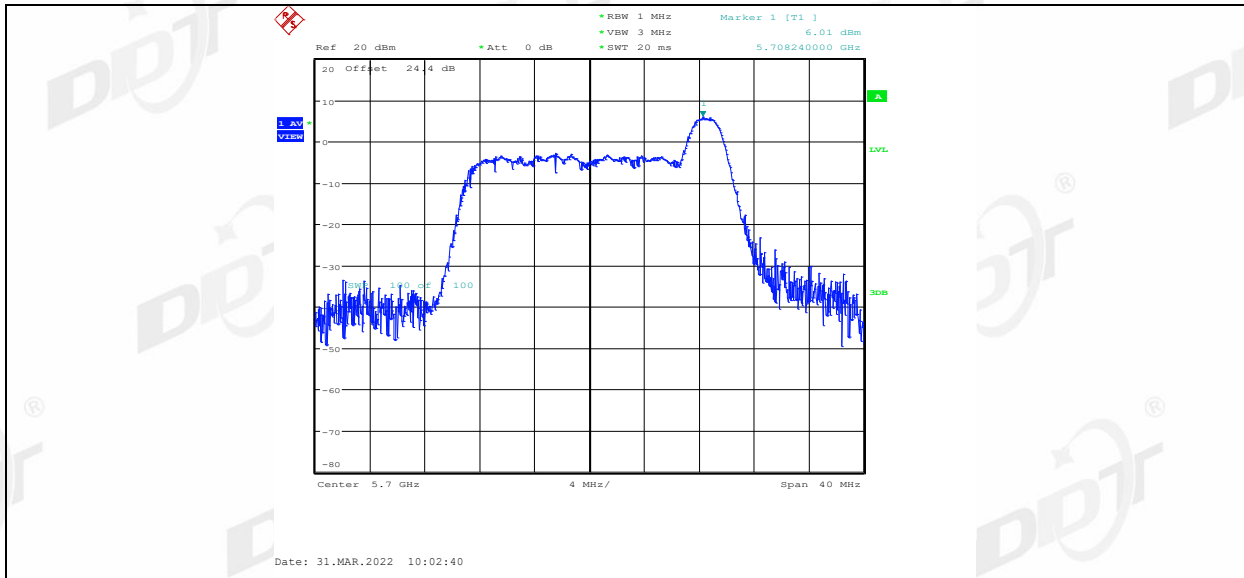
11AX20MIMO_Ant1_5700_26Tone_RU0



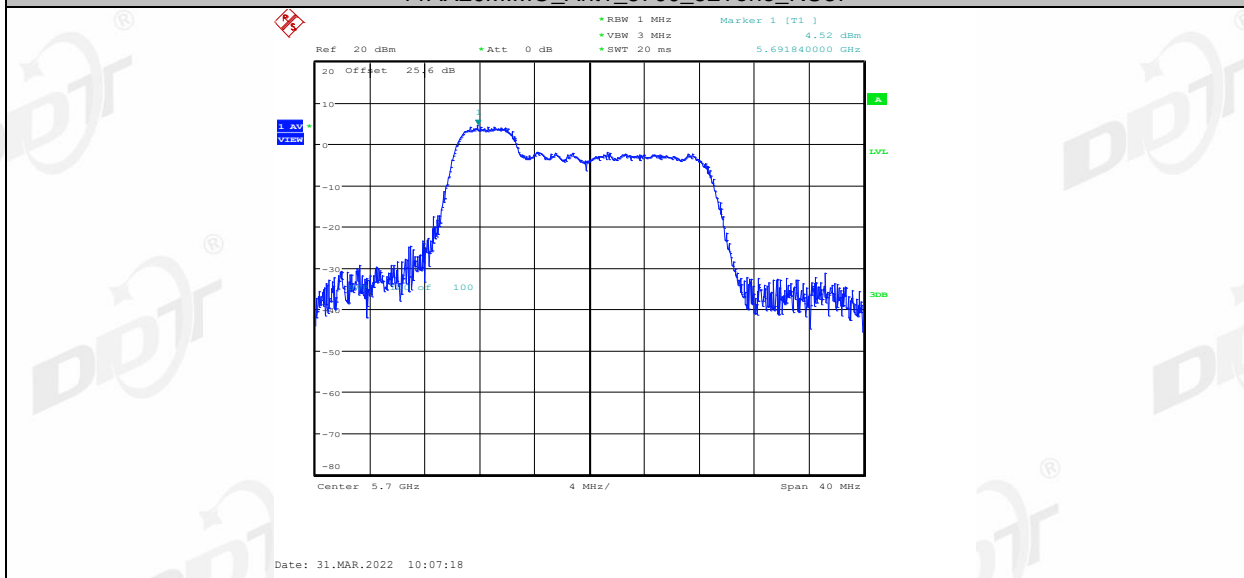
11AX20MIMO_Ant1_5700_26Tone_RU4



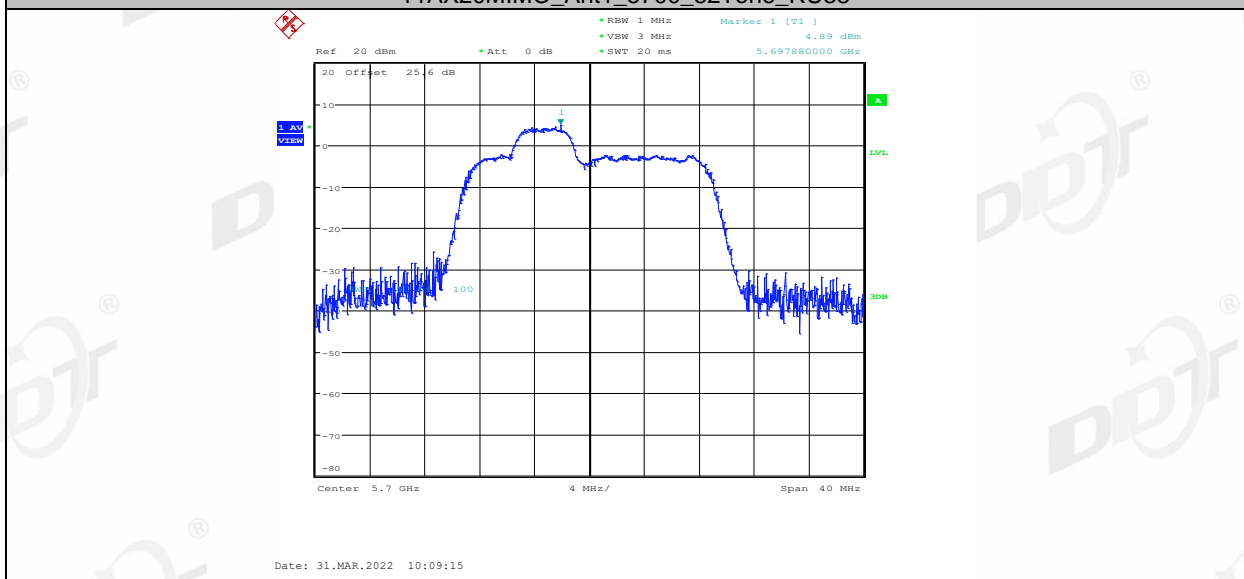
11AX20MIMO_Ant1_5700_26Tone_RU8



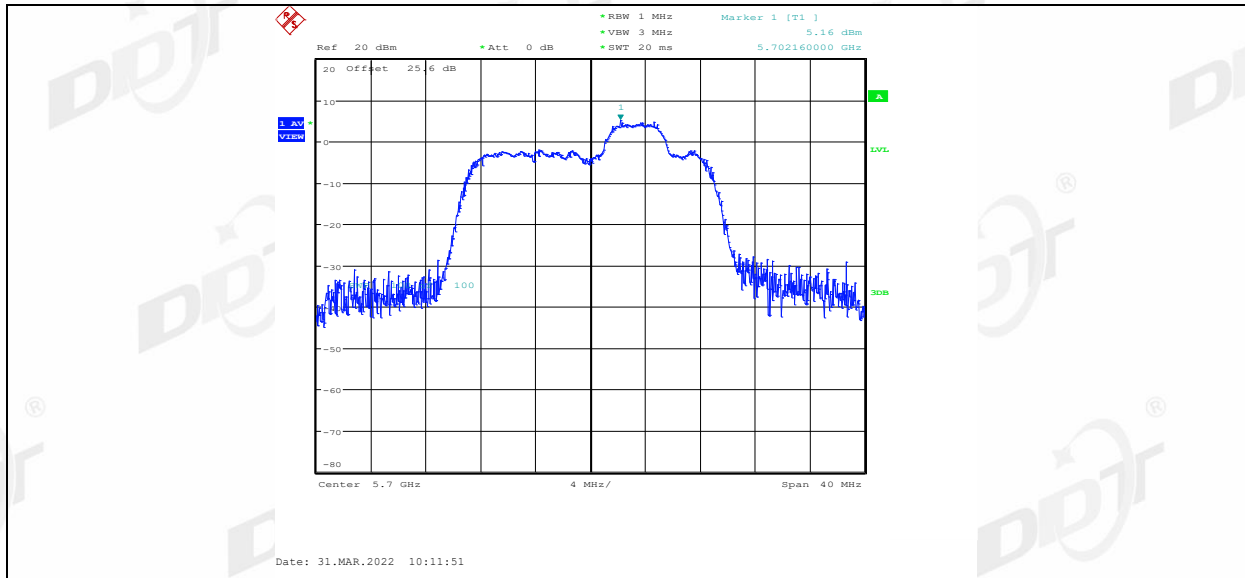
11AX20MIMO_Ant1_5700_52Tone_RU37



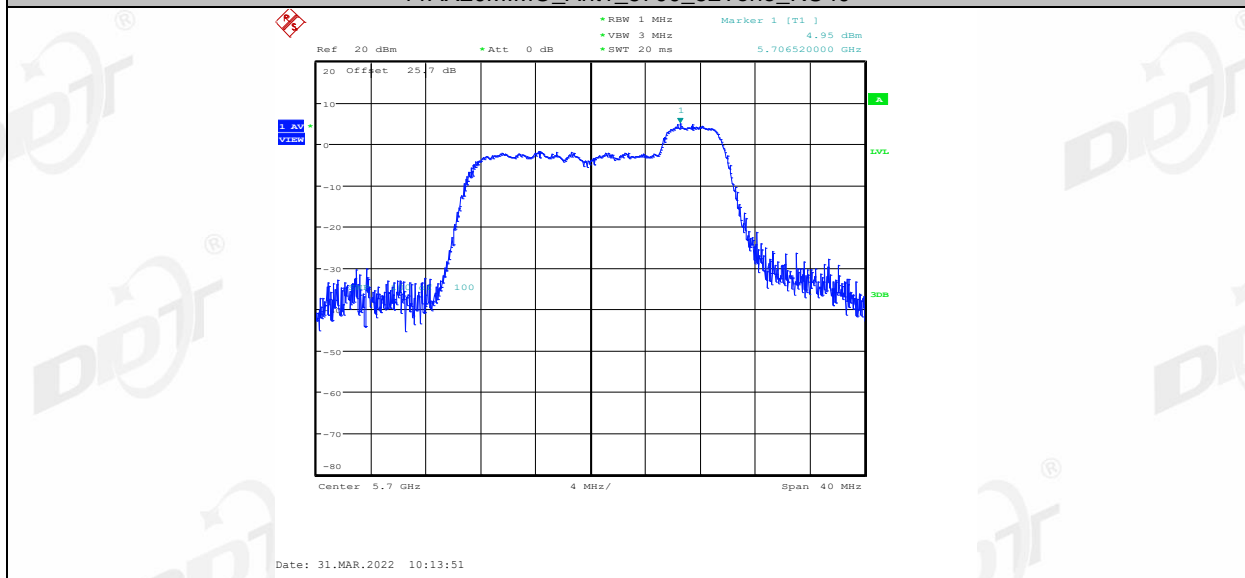
11AX20MIMO_Ant1_5700_52Tone_RU38



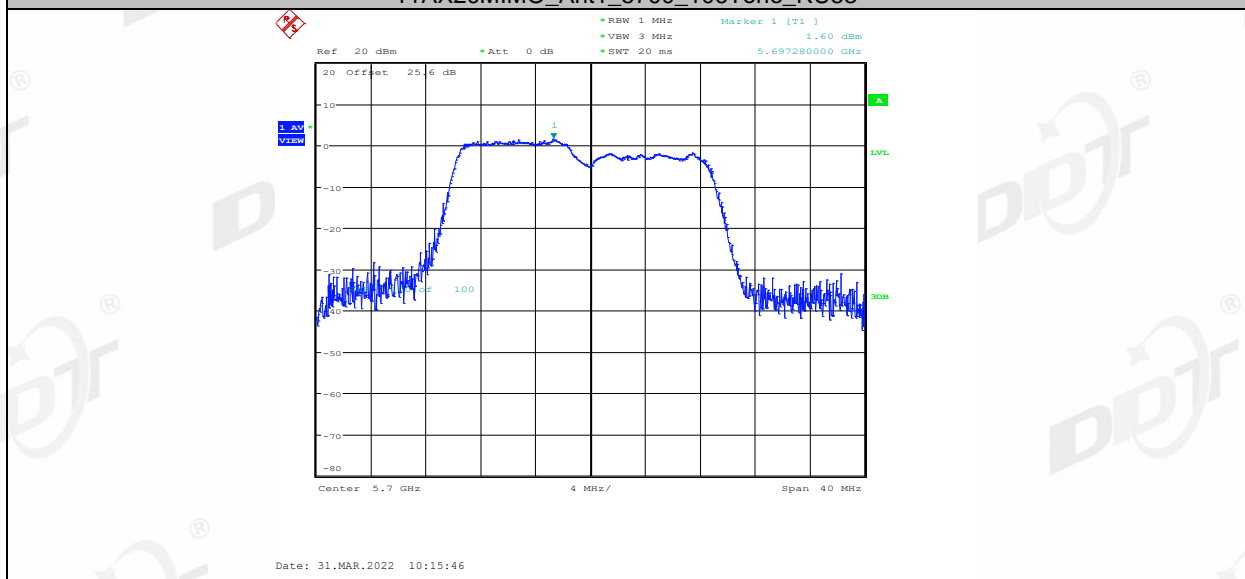
11AX20MIMO_Ant1_5700_52Tone_RU39



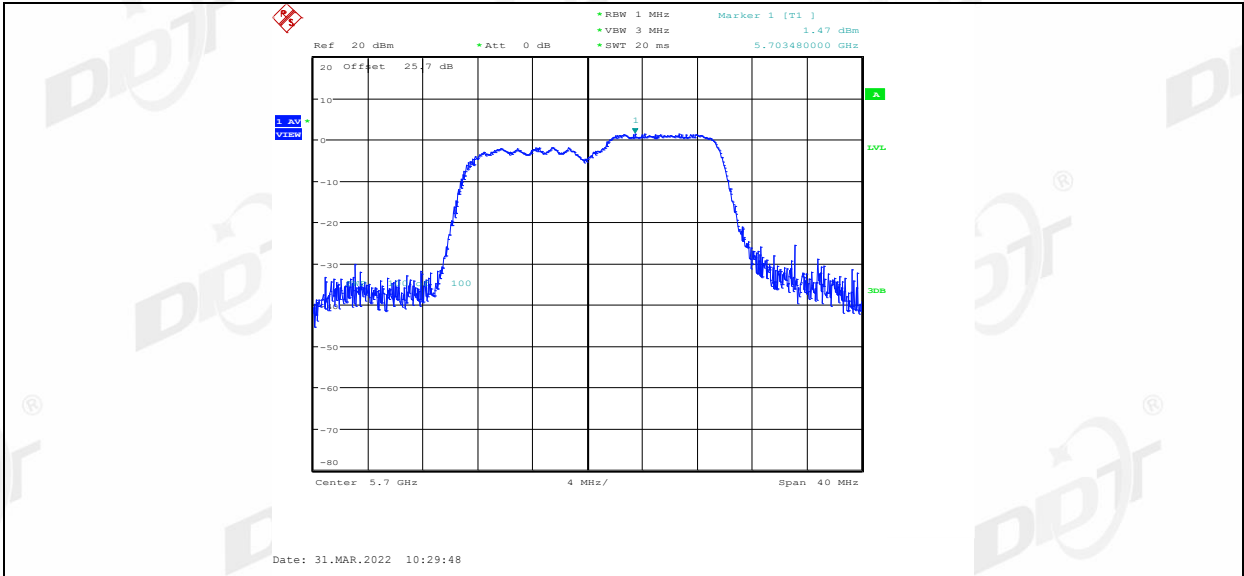
11AX20MIMO_Ant1_5700_52Tone_RU40



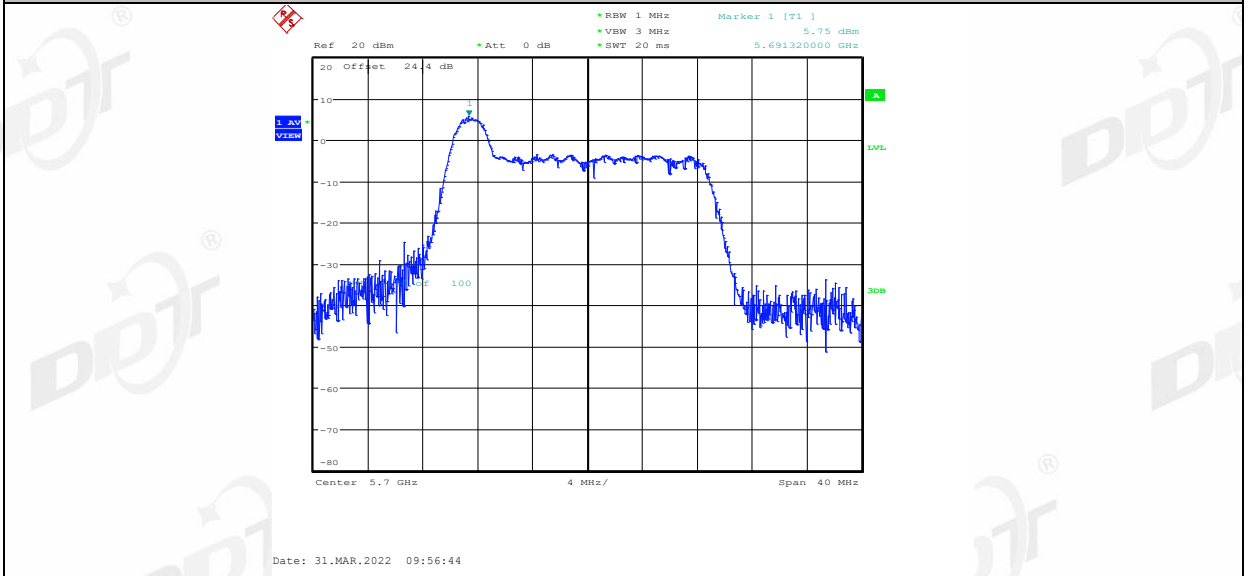
11AX20MIMO_Ant1_5700_106Tone_RU53



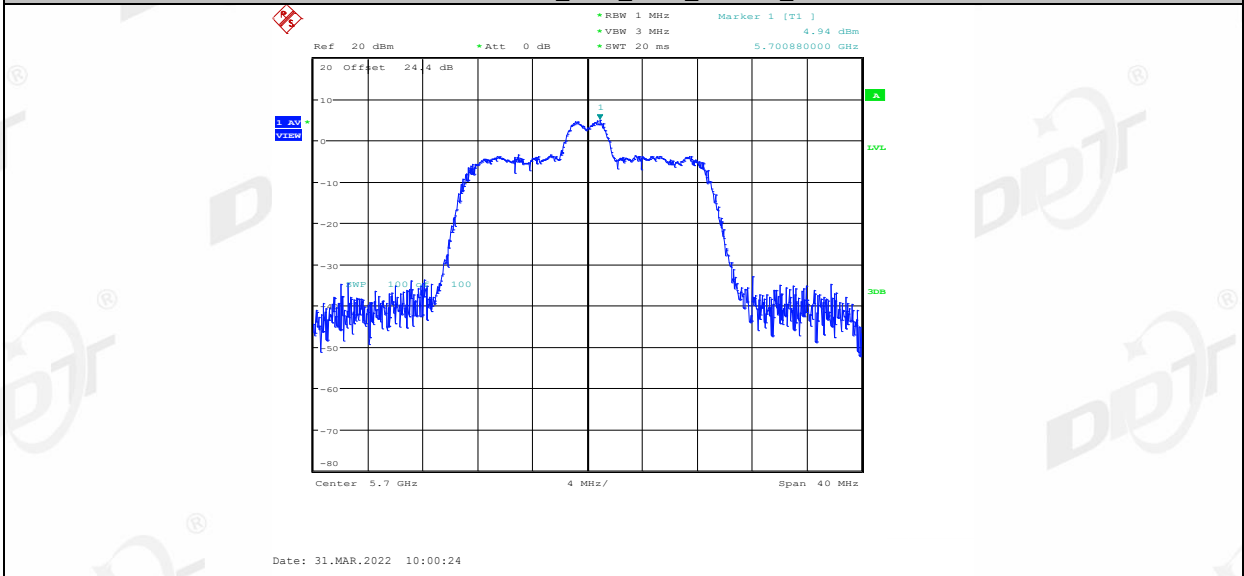
11AX20MIMO_Ant1_5700_106Tone_RU54



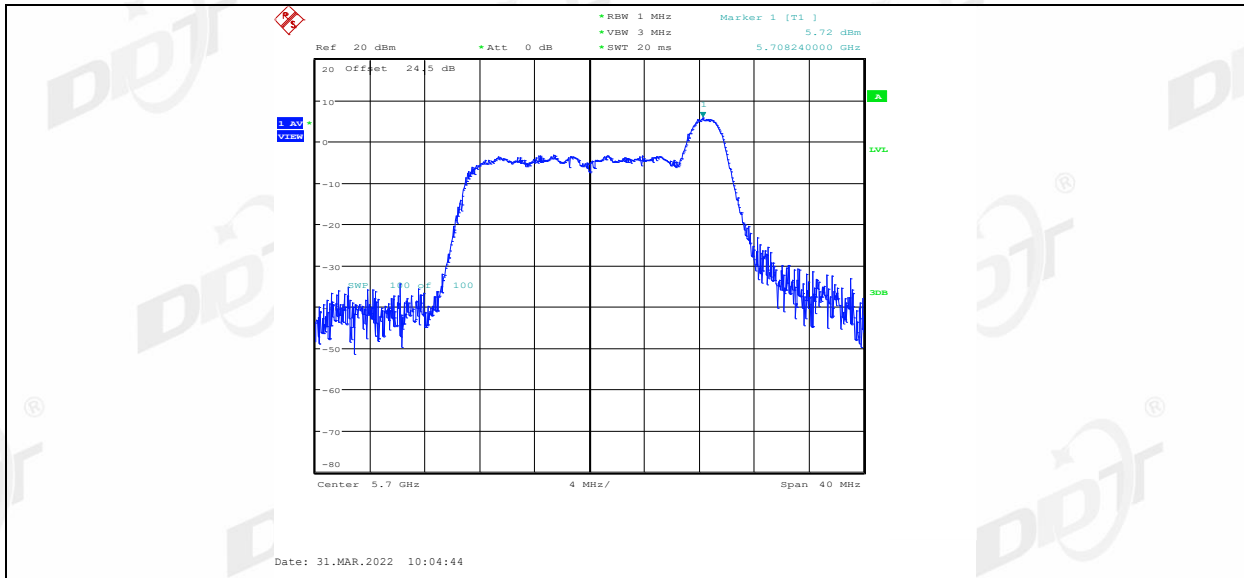
11AX20MIMO_Ant2_5700_26Tone_RU0



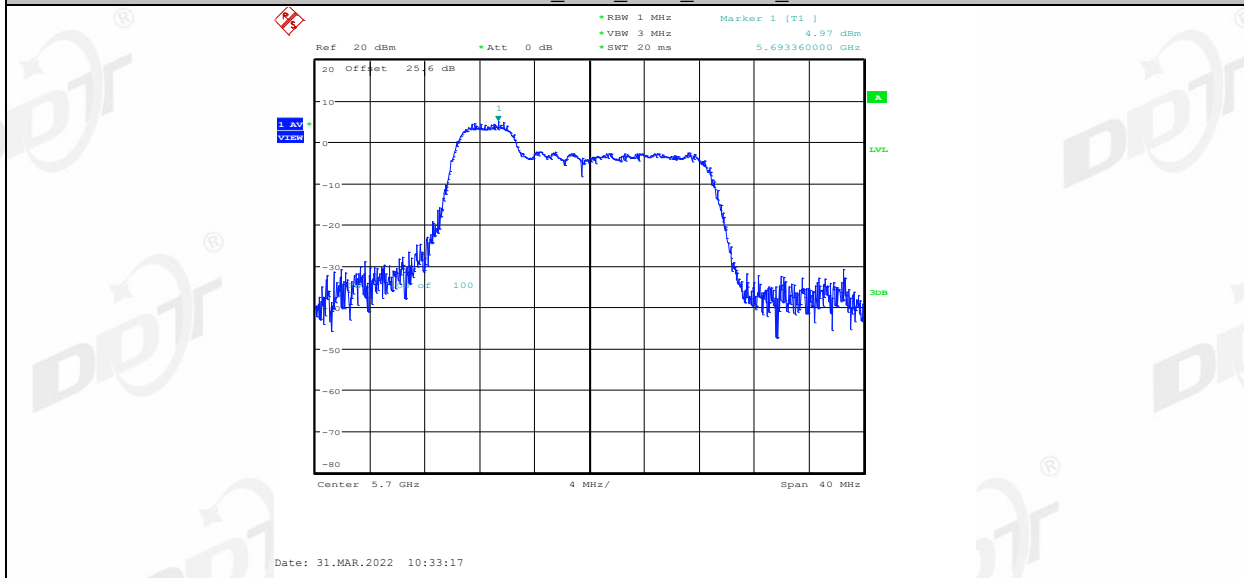
11AX20MIMO_Ant2_5700_26Tone_RU4



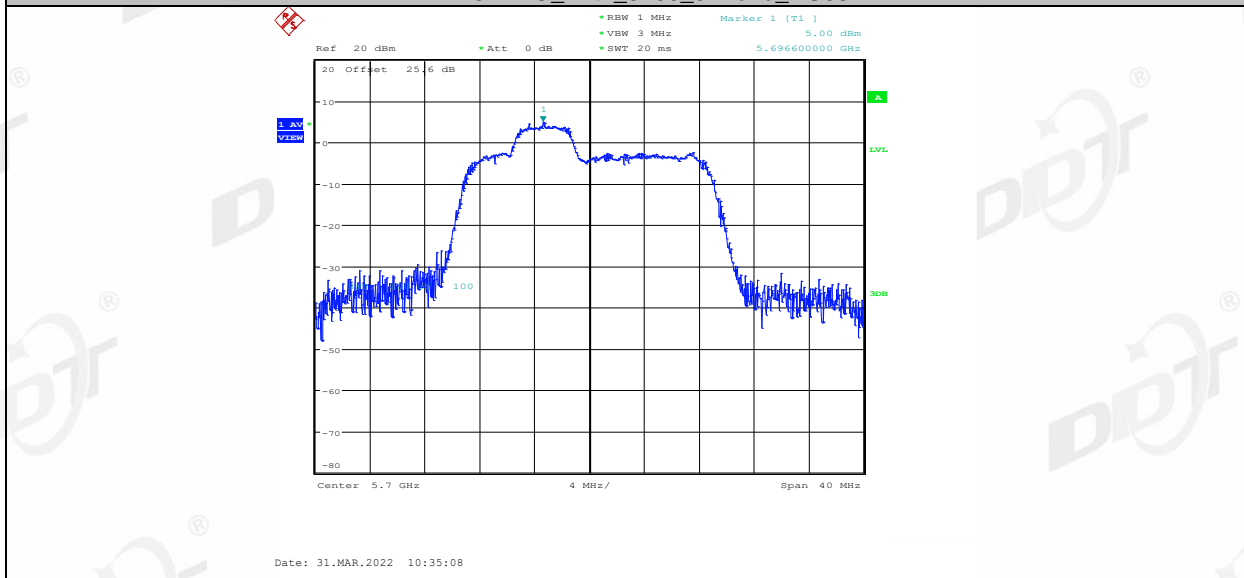
11AX20MIMO_Ant2_5700_26Tone_RU8



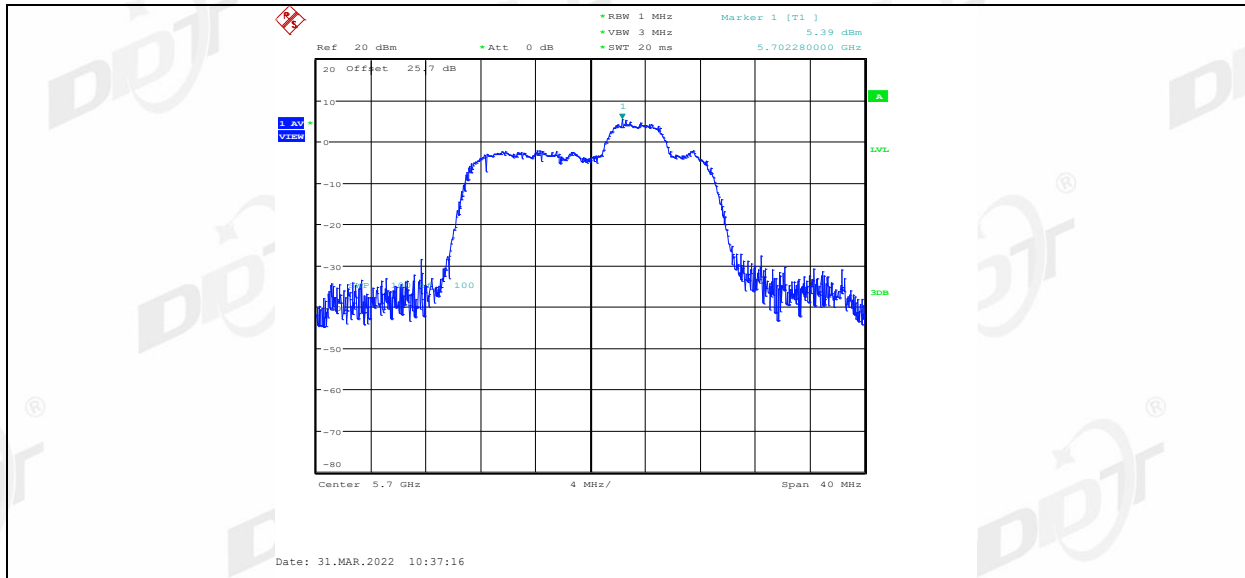
11AX20MIMO_Ant2_5700_52Tone_RU37



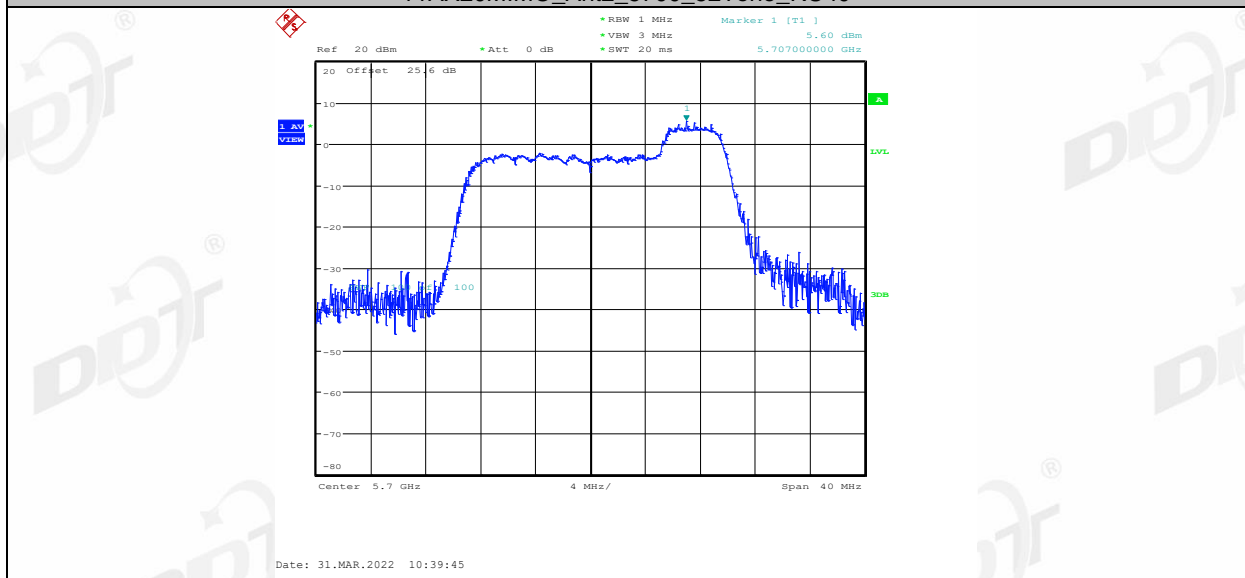
11AX20MIMO_Ant2_5700_52Tone_RU38



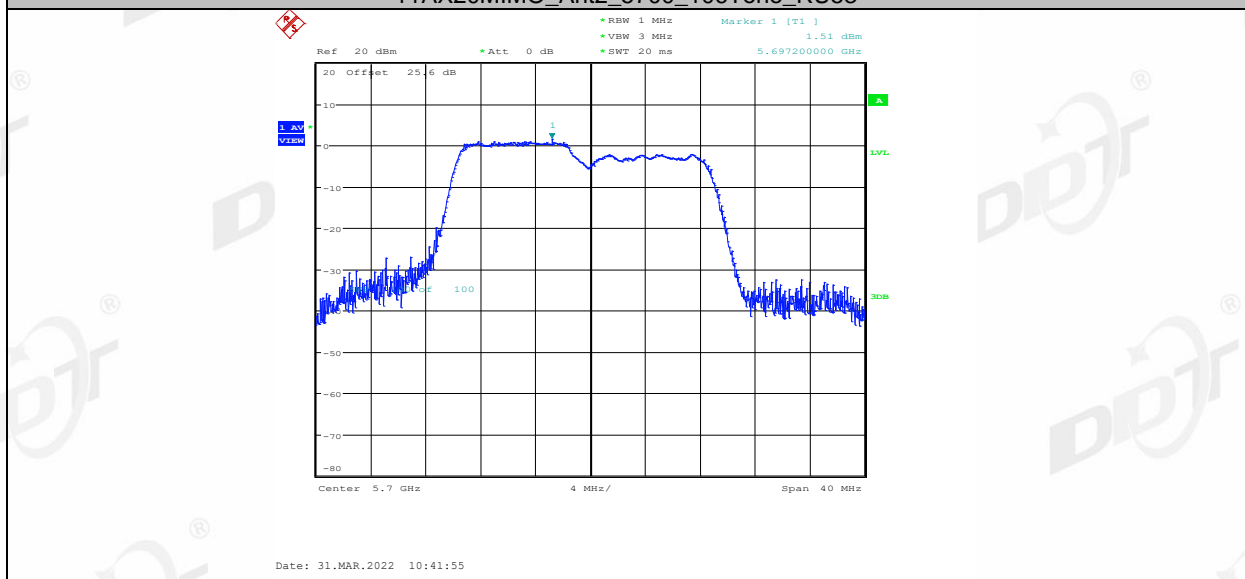
11AX20MIMO_Ant2_5700_52Tone_RU39



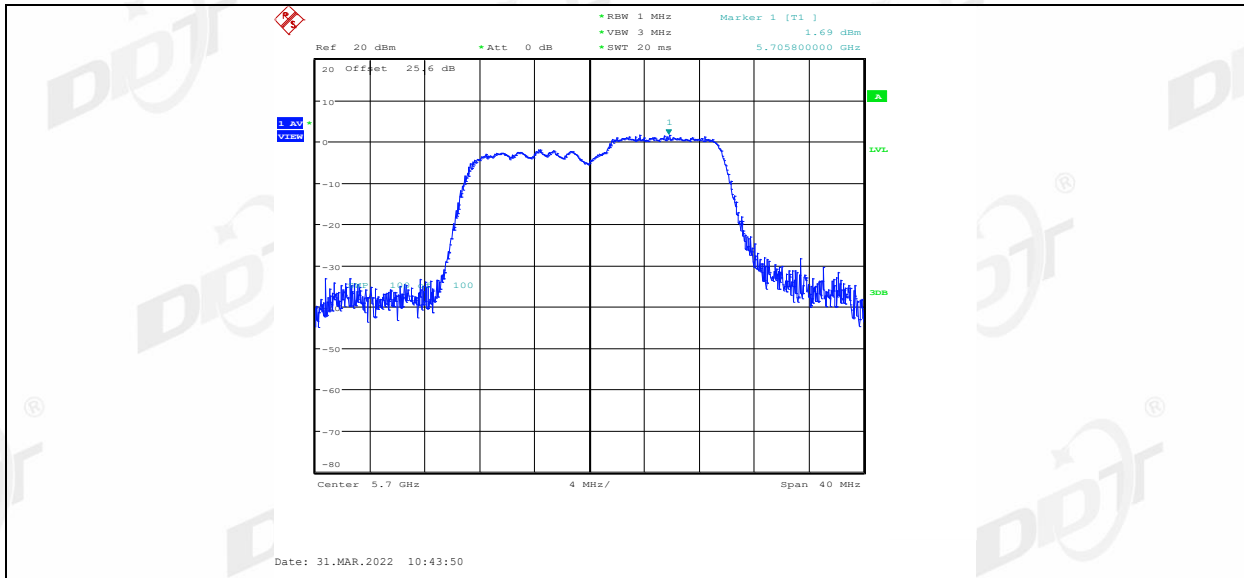
11AX20MIMO_Ant2_5700_52Tone_RU40



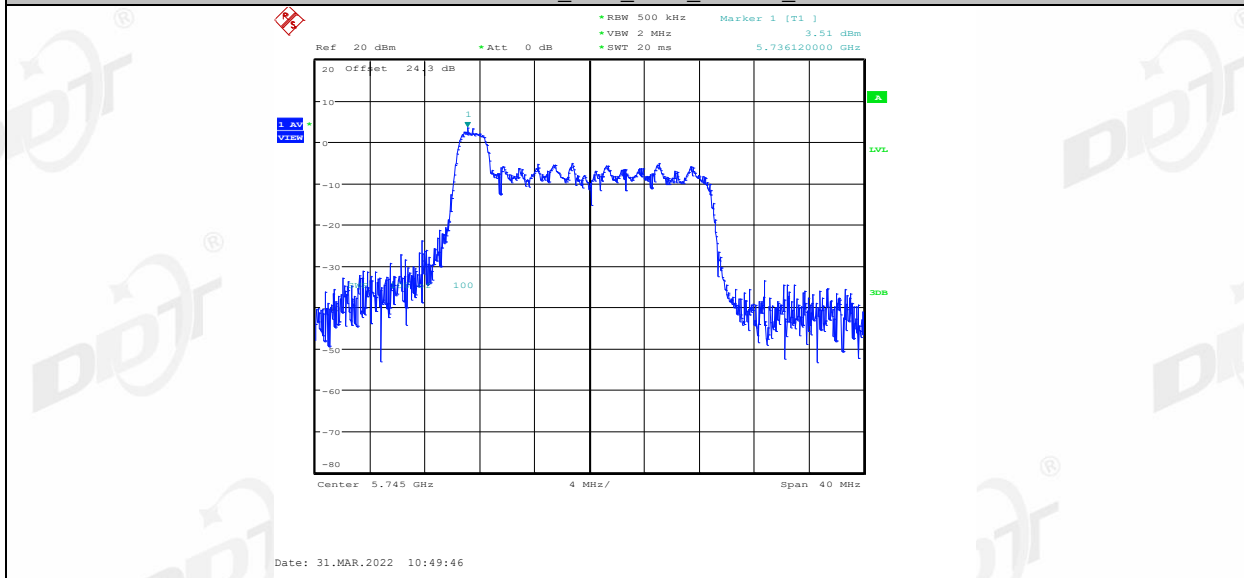
11AX20MIMO_Ant2_5700_106Tone_RU53



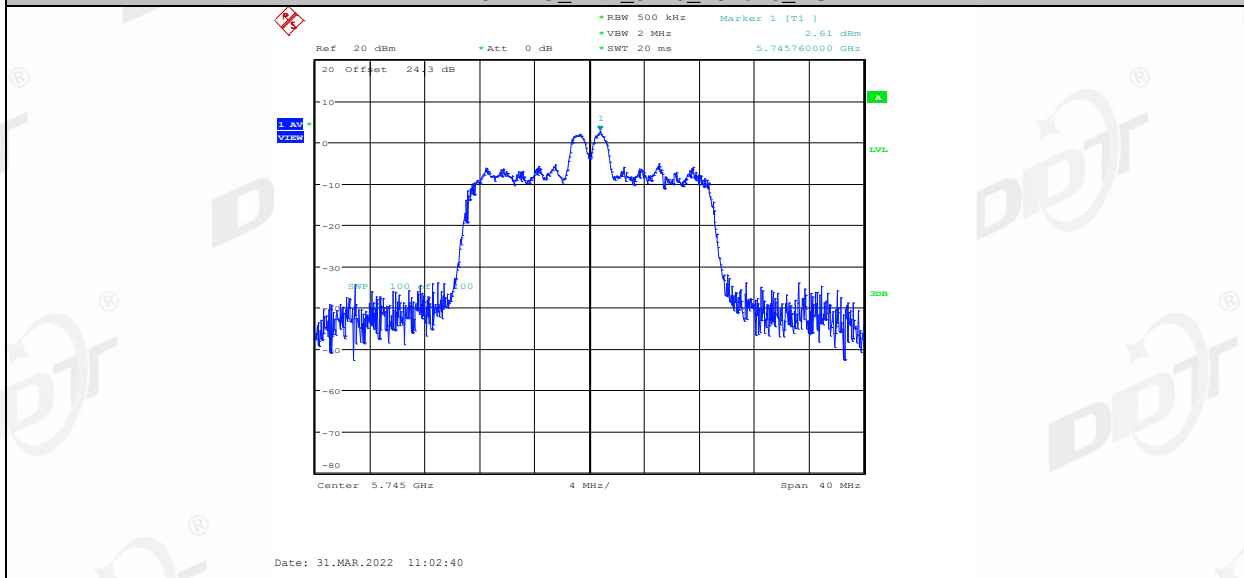
11AX20MIMO_Ant2_5700_106Tone_RU54



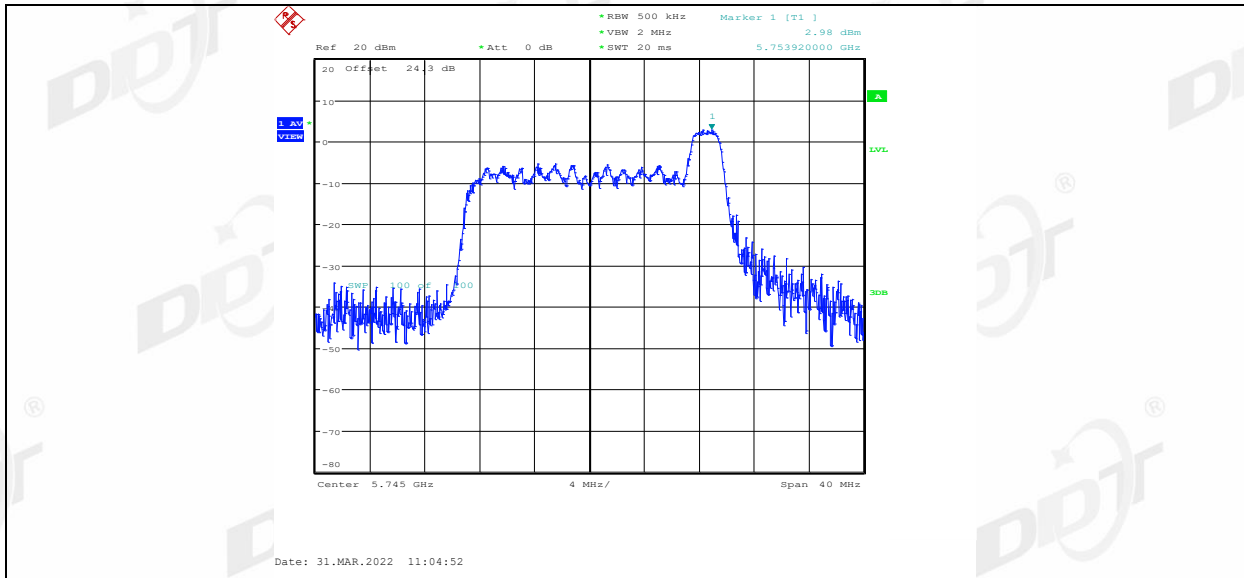
11AX20MIMO_Ant1_5745_26Tone_RU0



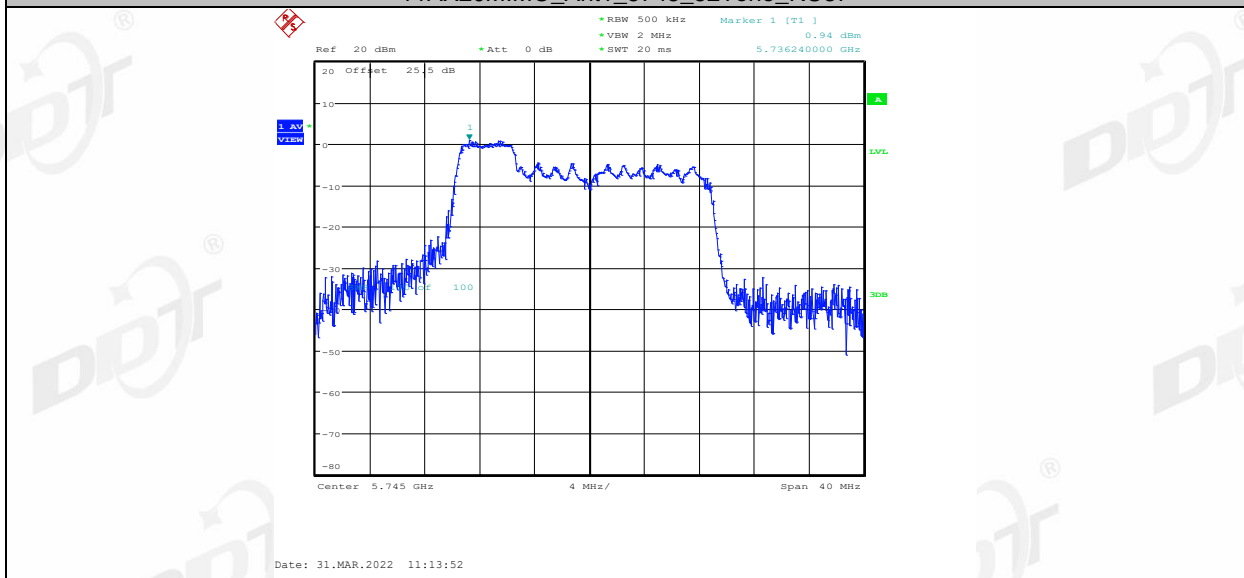
11AX20MIMO_Ant1_5745_26Tone_RU4



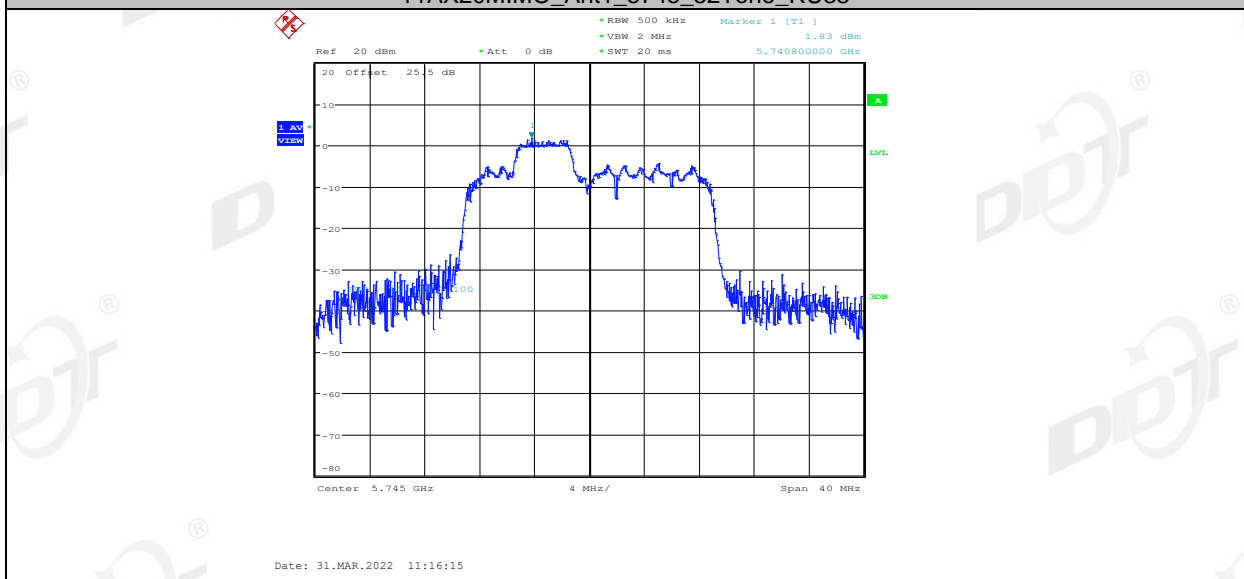
11AX20MIMO_Ant1_5745_26Tone_RU8



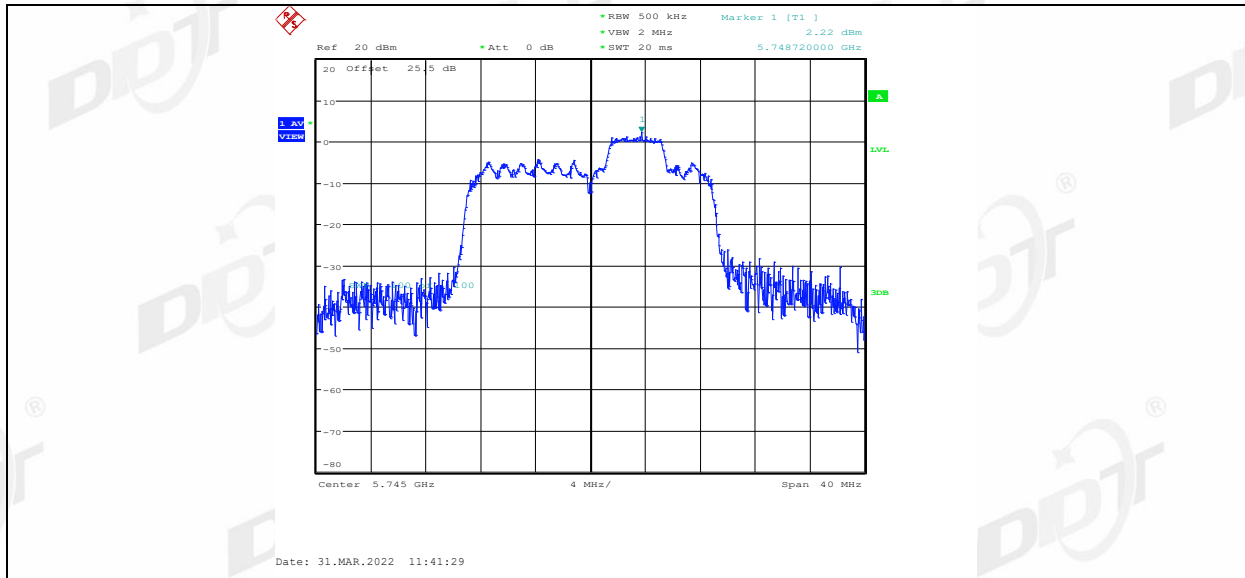
11AX20MIMO_Ant1_5745_52Tone_RU37



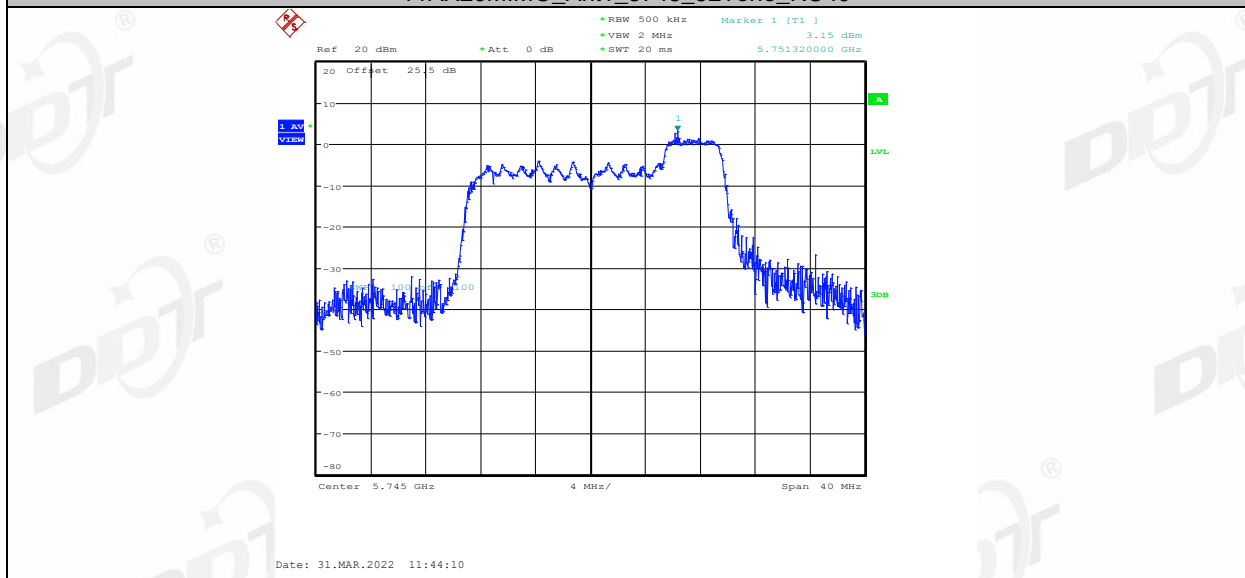
11AX20MIMO_Ant1_5745_52Tone_RU38



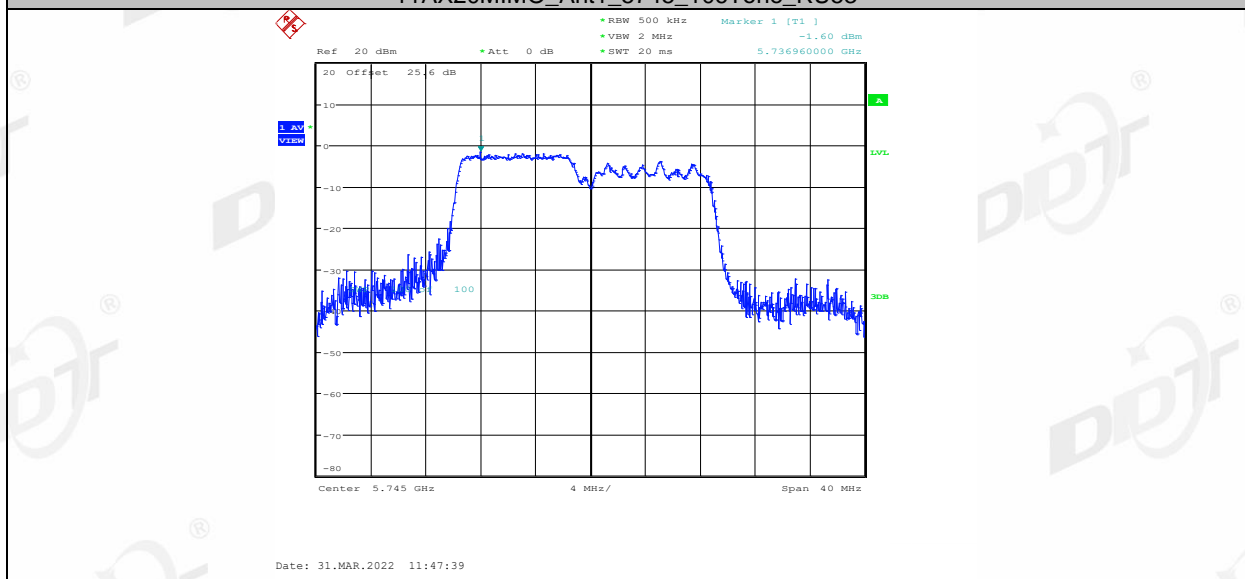
11AX20MIMO_Ant1_5745_52Tone_RU39



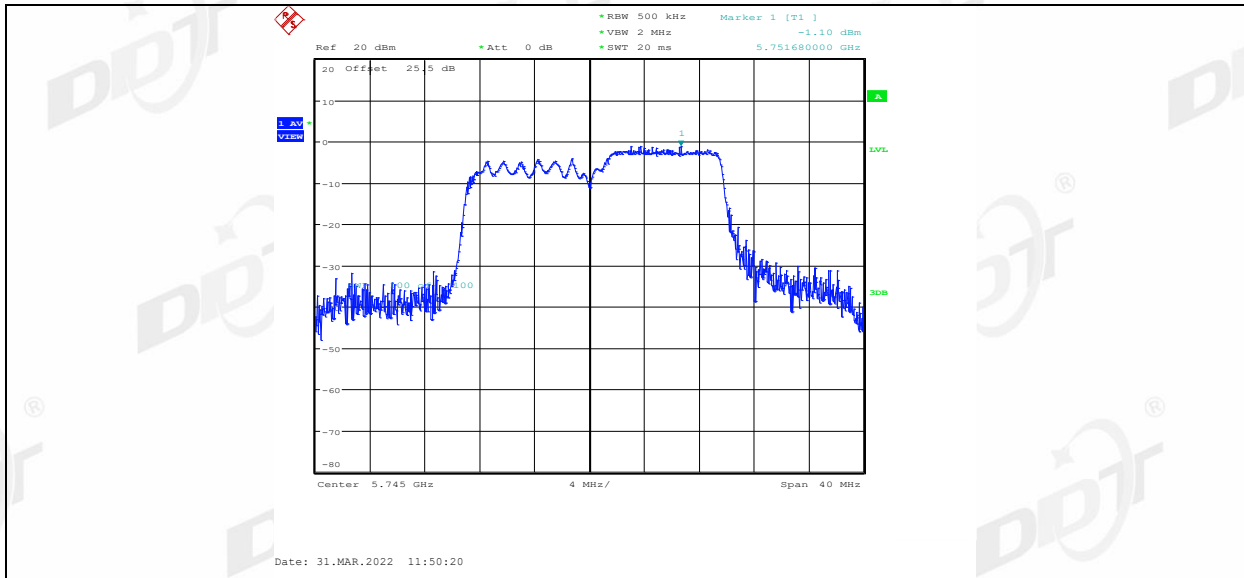
11AX20MIMO_Ant1_5745_52Tone_RU40



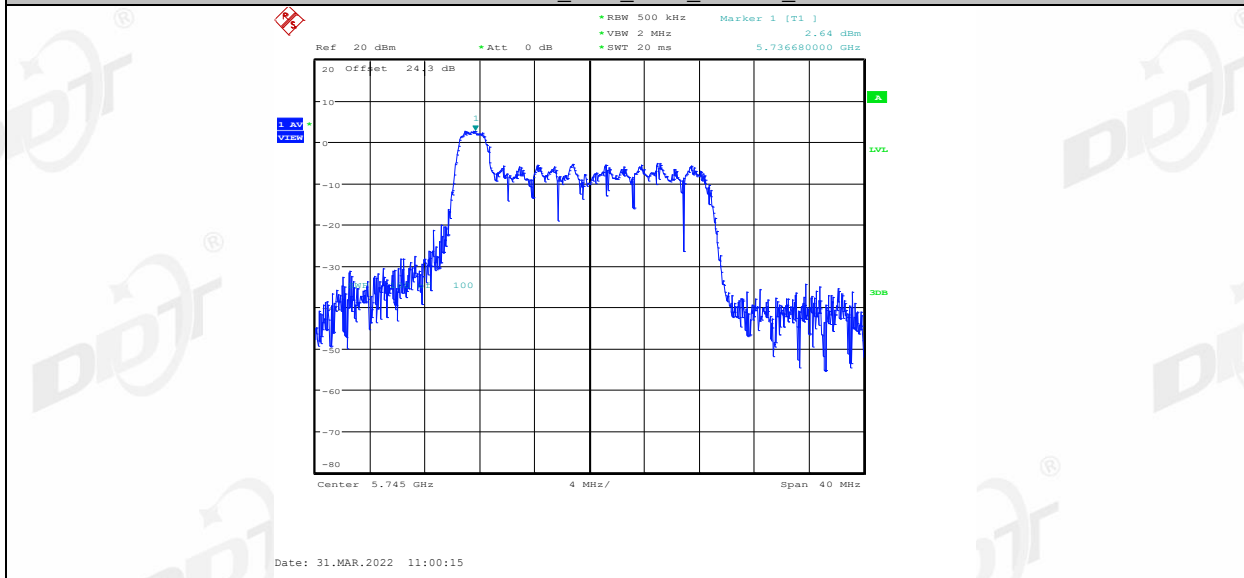
11AX20MIMO_Ant1_5745_106Tone_RU53



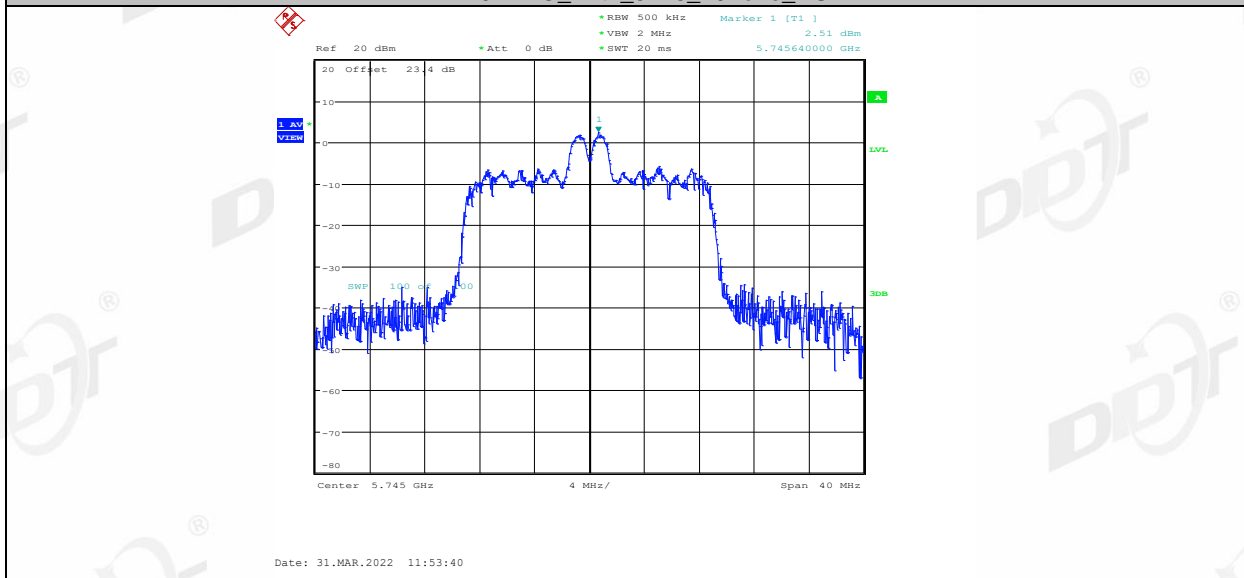
11AX20MIMO_Ant1_5745_106Tone_RU54



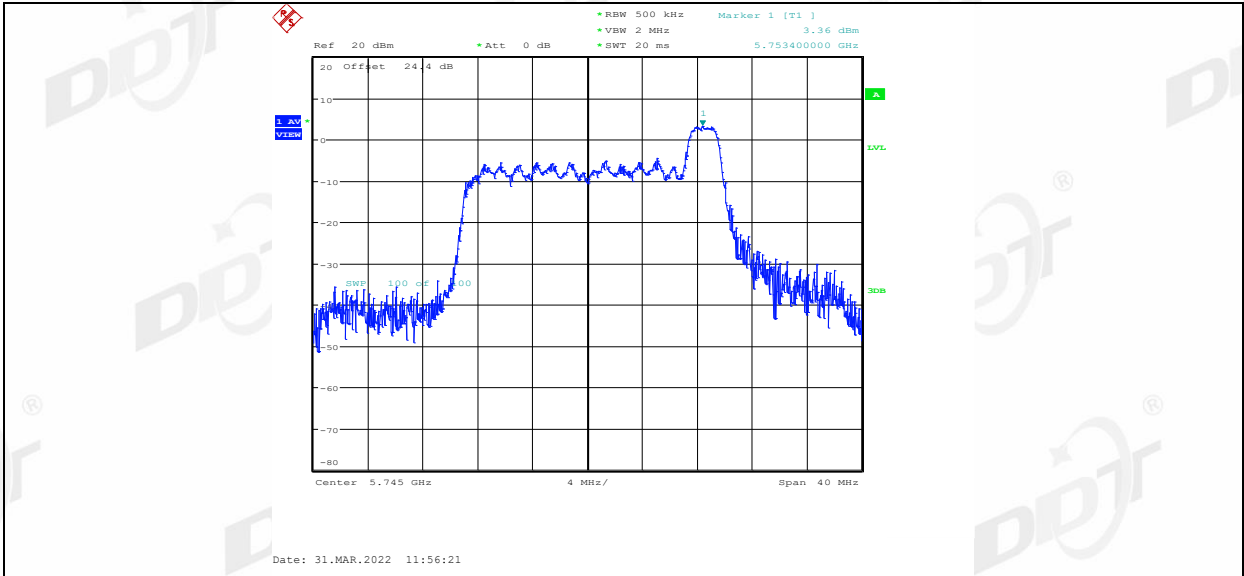
11AX20MIMO_Ant2_5745_26Tone_RU0



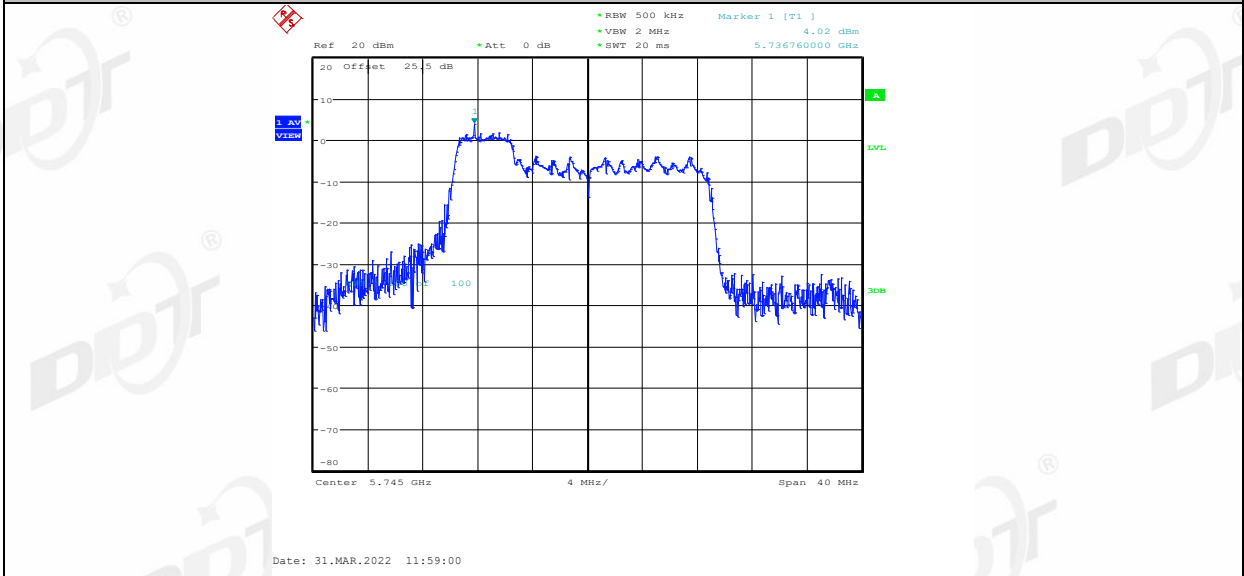
11AX20MIMO_Ant2_5745_26Tone_RU4



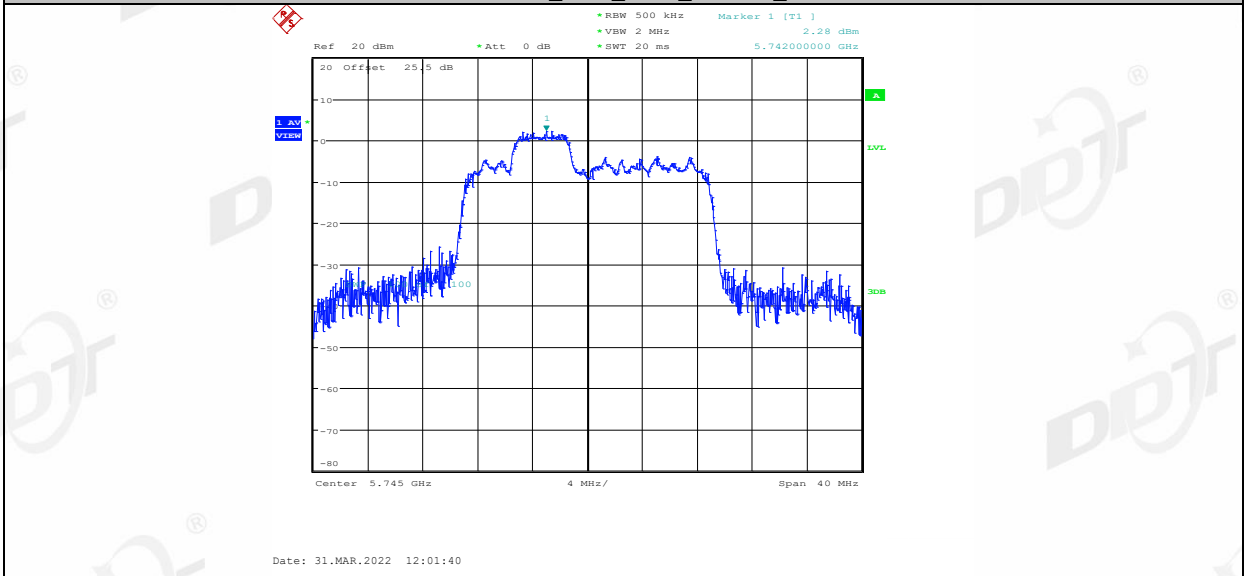
11AX20MIMO_Ant2_5745_26Tone_RU8



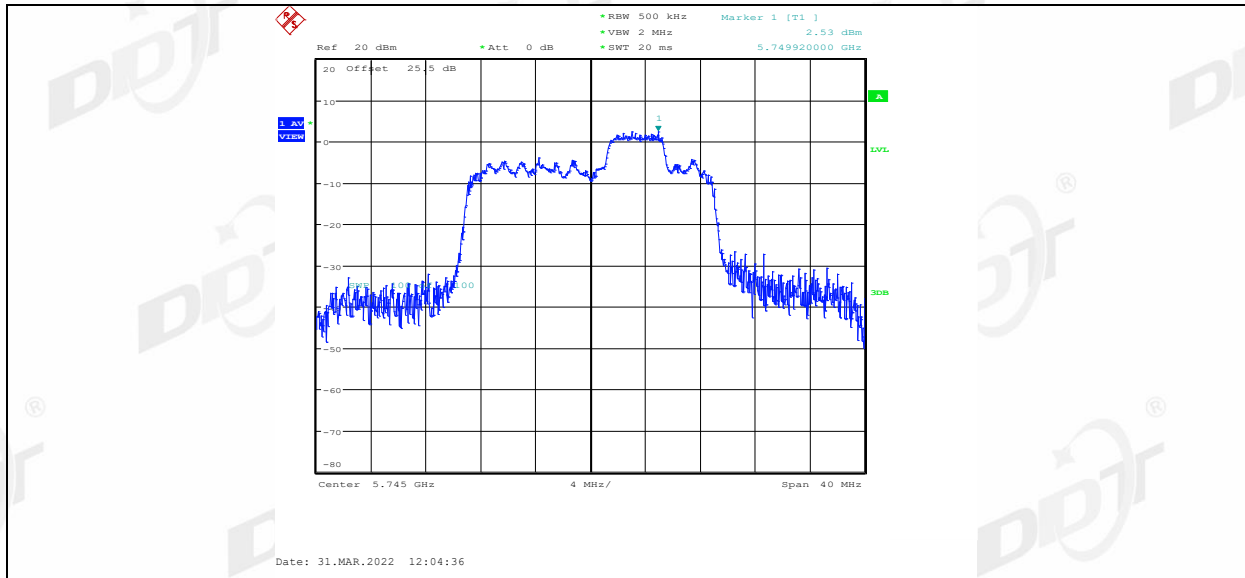
11AX20MIMO_Ant2_5745_52Tone_RU37



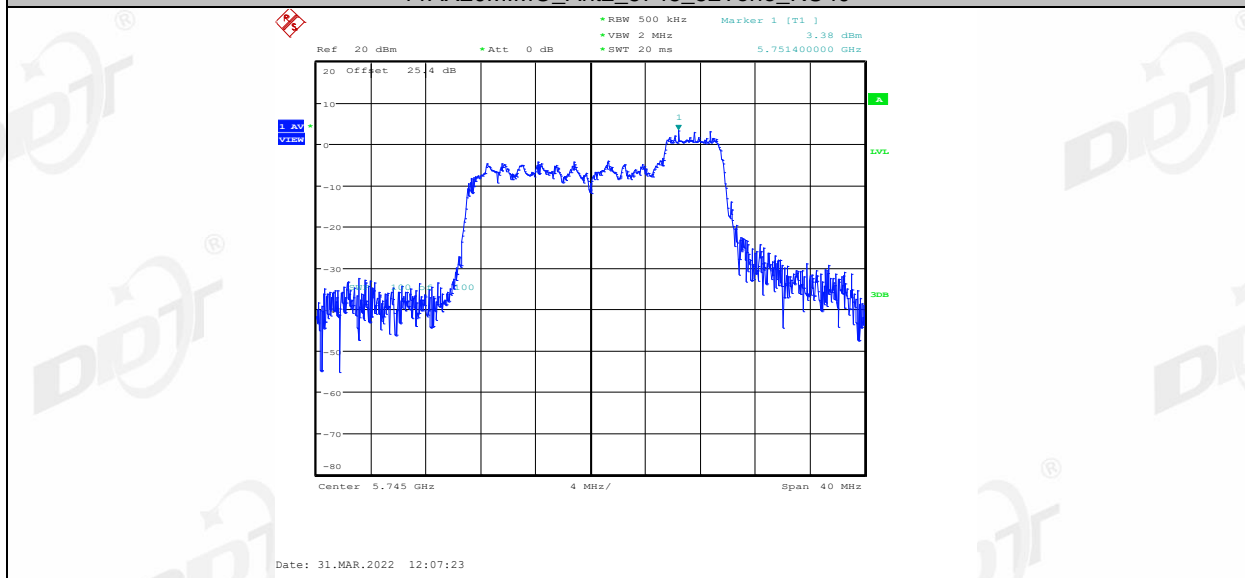
11AX20MIMO_Ant2_5745_52Tone_RU38



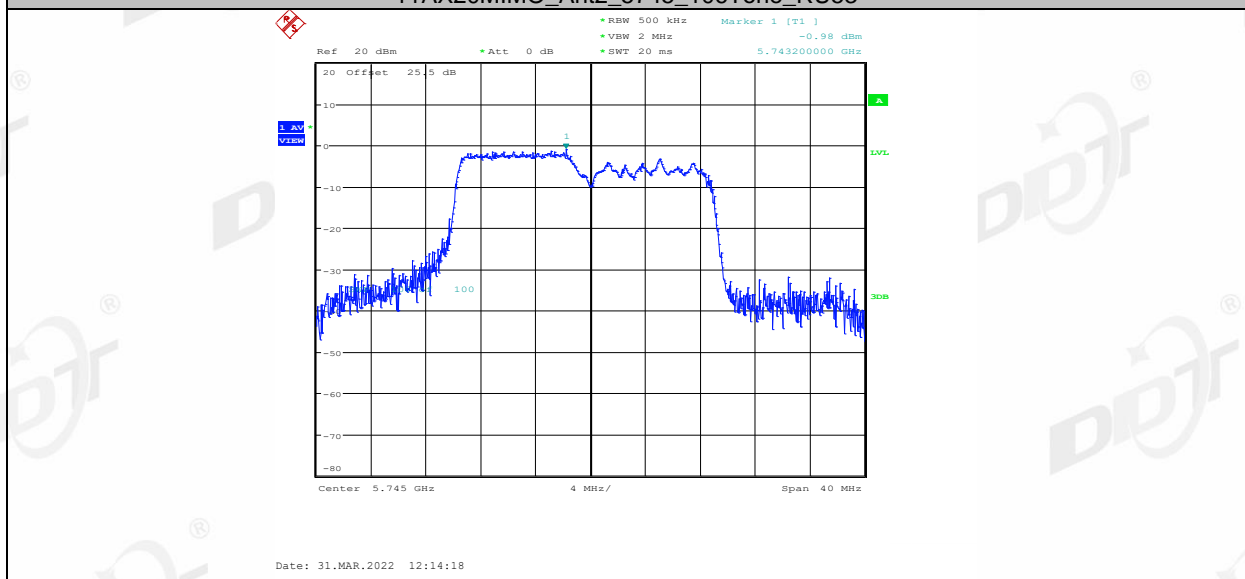
11AX20MIMO_Ant2_5745_52Tone_RU39



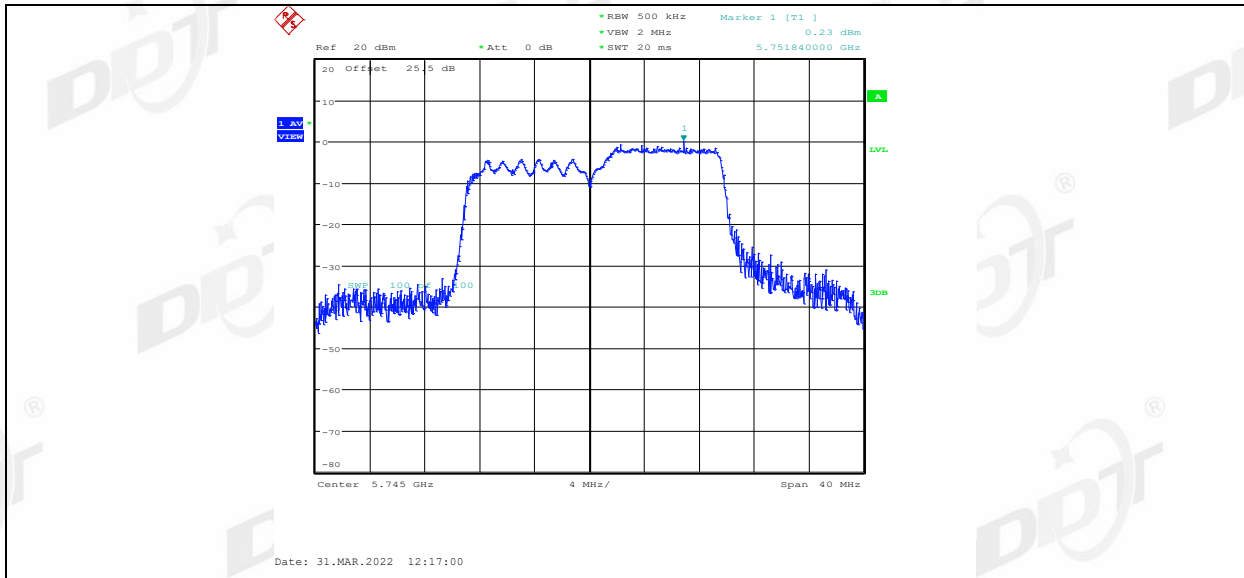
11AX20MIMO_Ant2_5745_52Tone_RU40



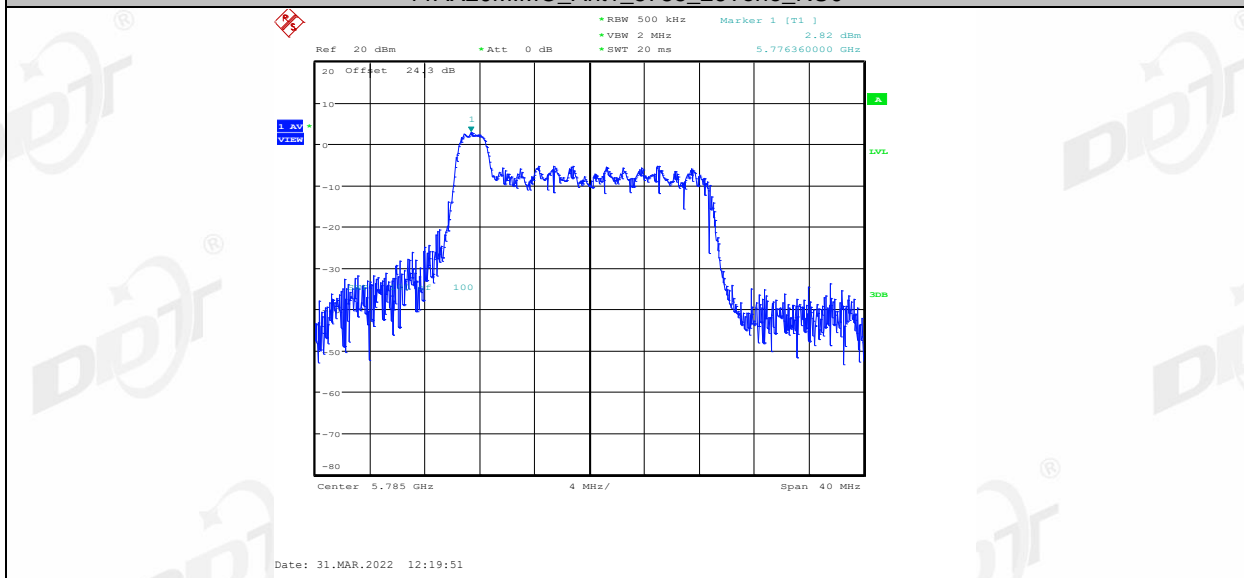
11AX20MIMO_Ant2_5745_106Tone_RU53



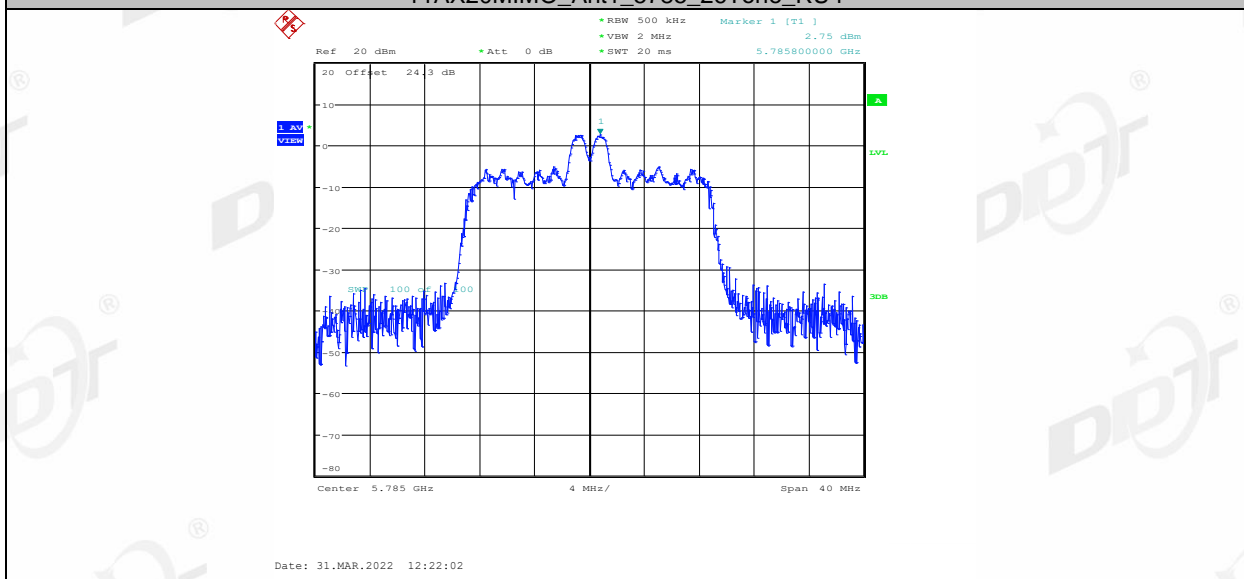
11AX20MIMO_Ant2_5745_106Tone_RU54



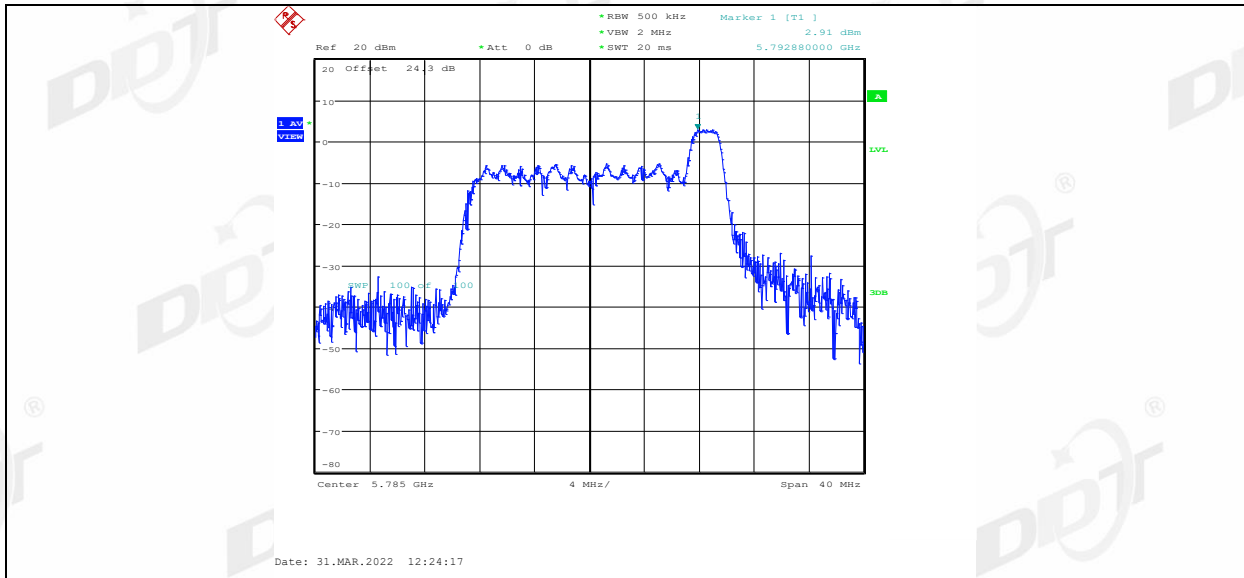
11AX20MIMO_Ant1_5785_26Tone_RU0



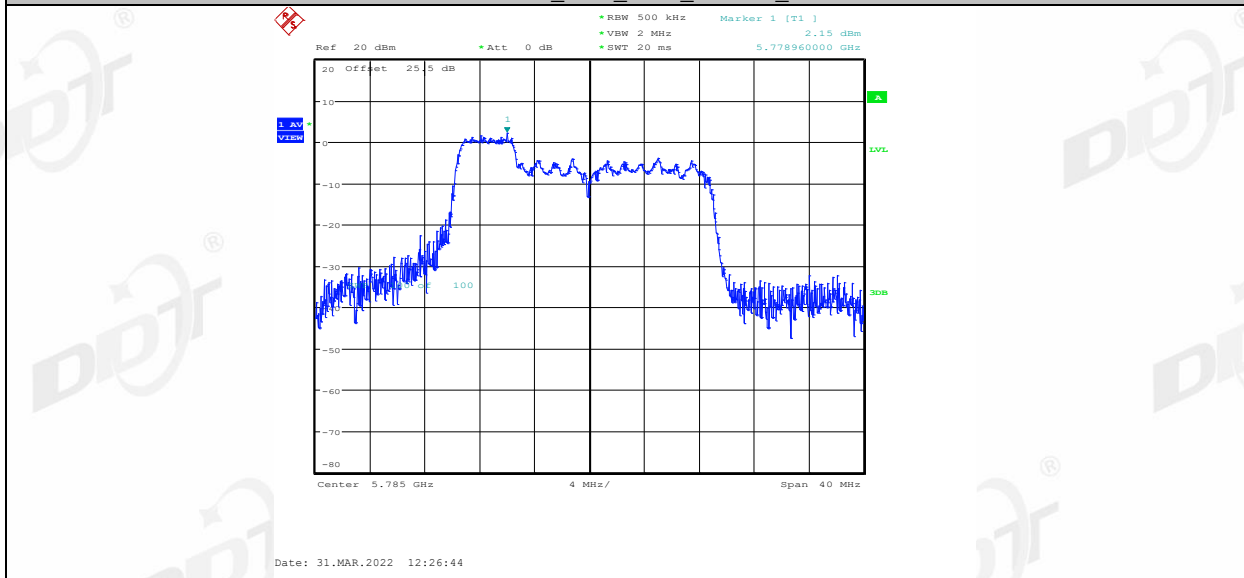
11AX20MIMO_Ant1_5785_26Tone_RU4



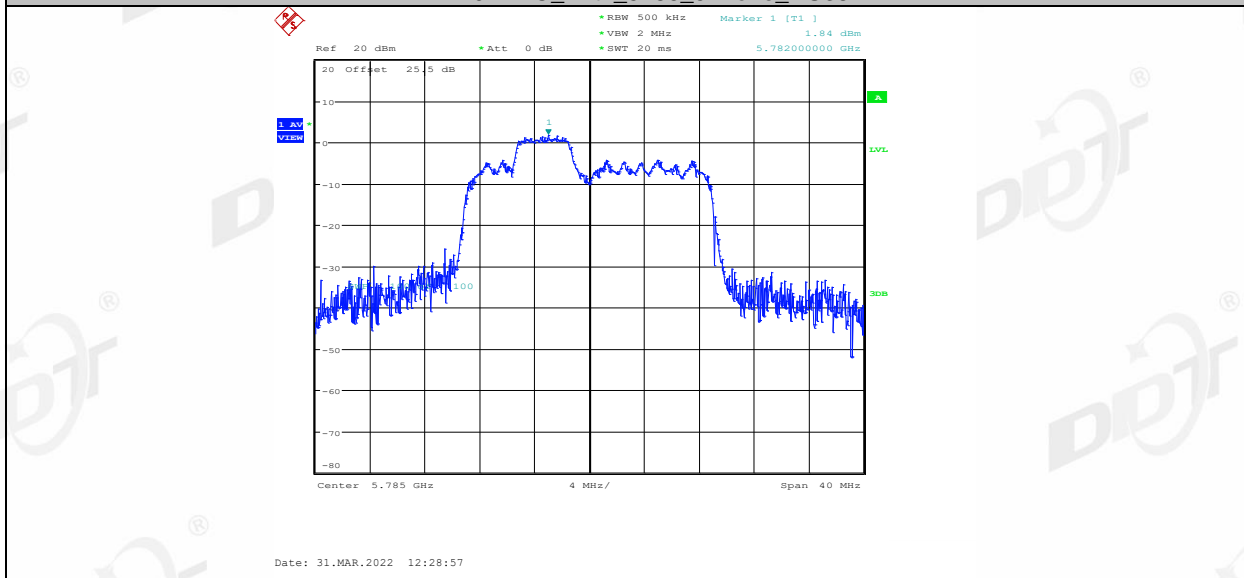
11AX20MIMO_Ant1_5785_26Tone_RU8



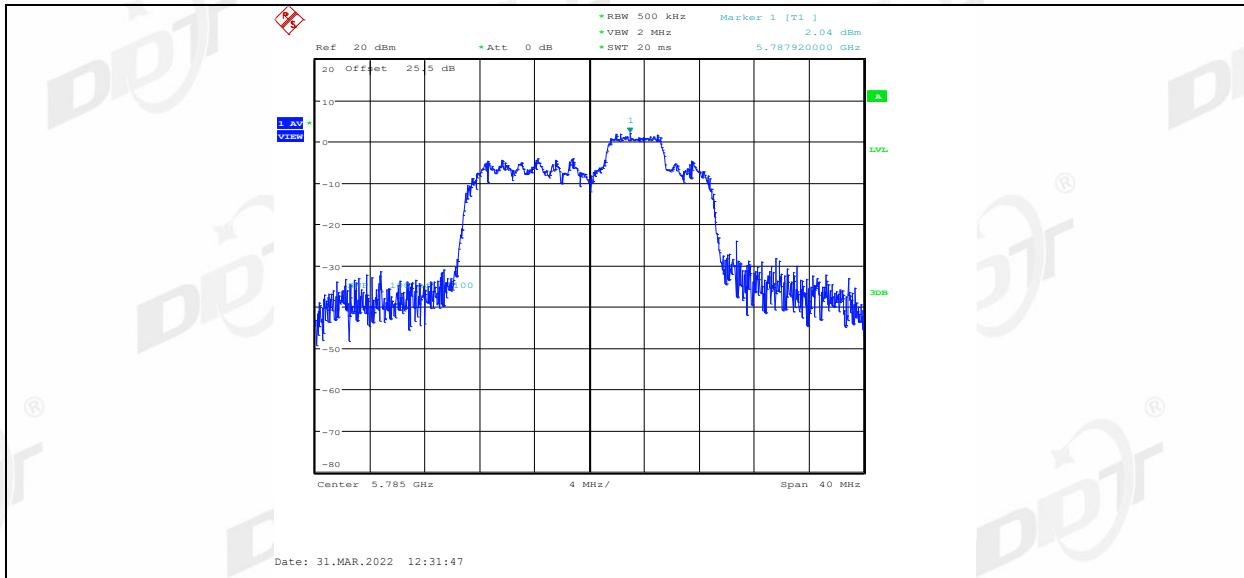
11AX20MIMO_Ant1_5785_52Tone_RU37



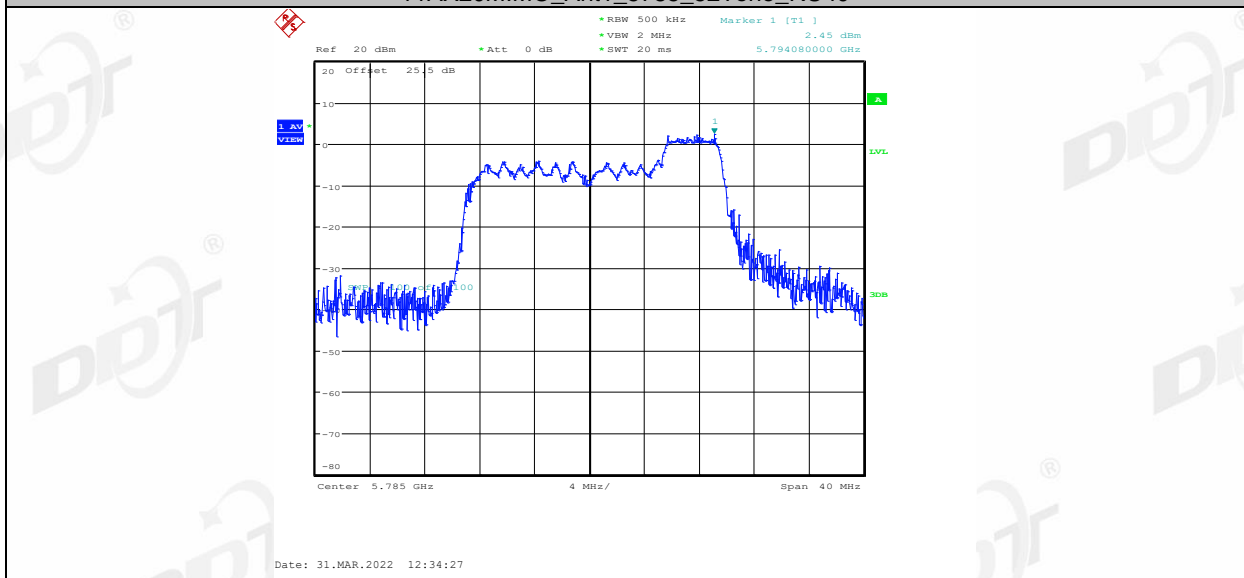
11AX20MIMO_Ant1_5785_52Tone_RU38



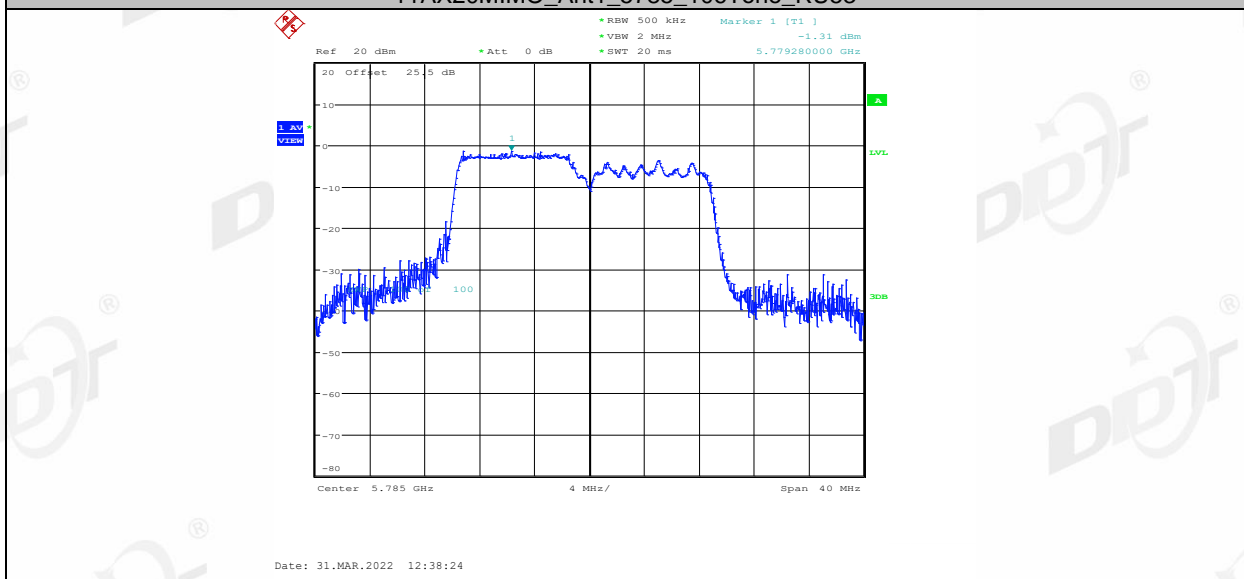
11AX20MIMO_Ant1_5785_52Tone_RU39



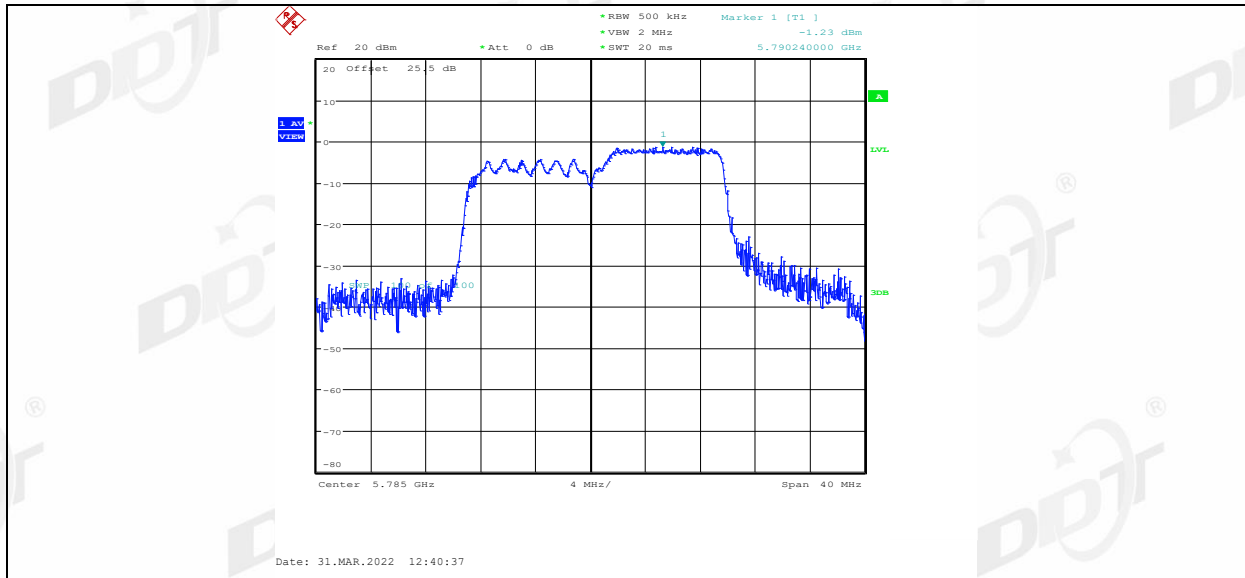
11AX20MIMO_Ant1_5785_52Tone_RU40



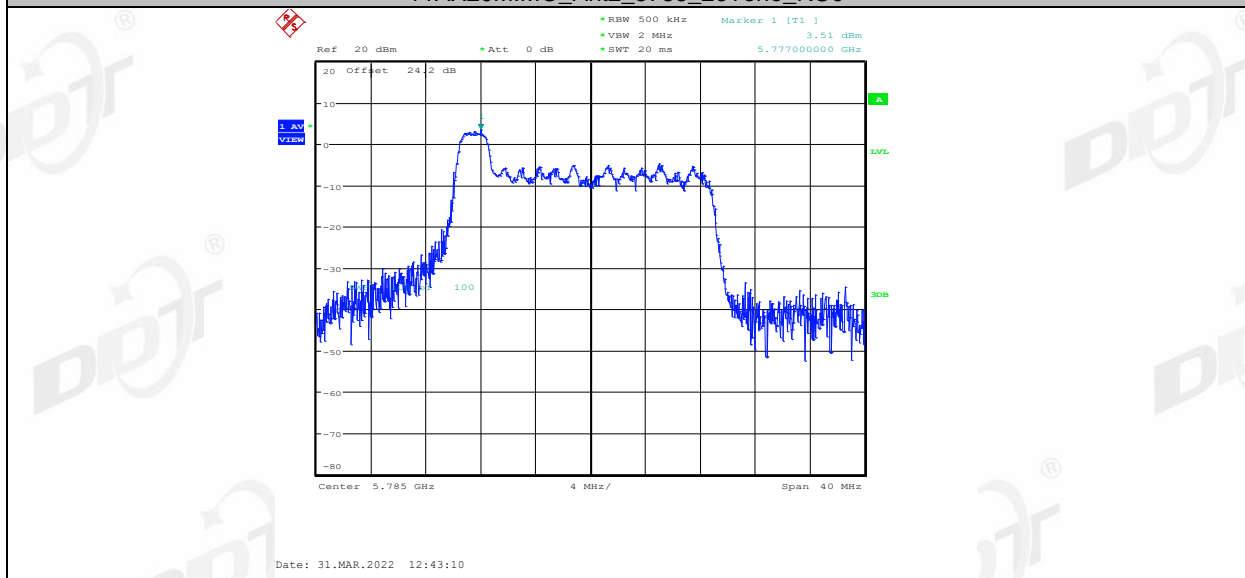
11AX20MIMO_Ant1_5785_106Tone_RU53



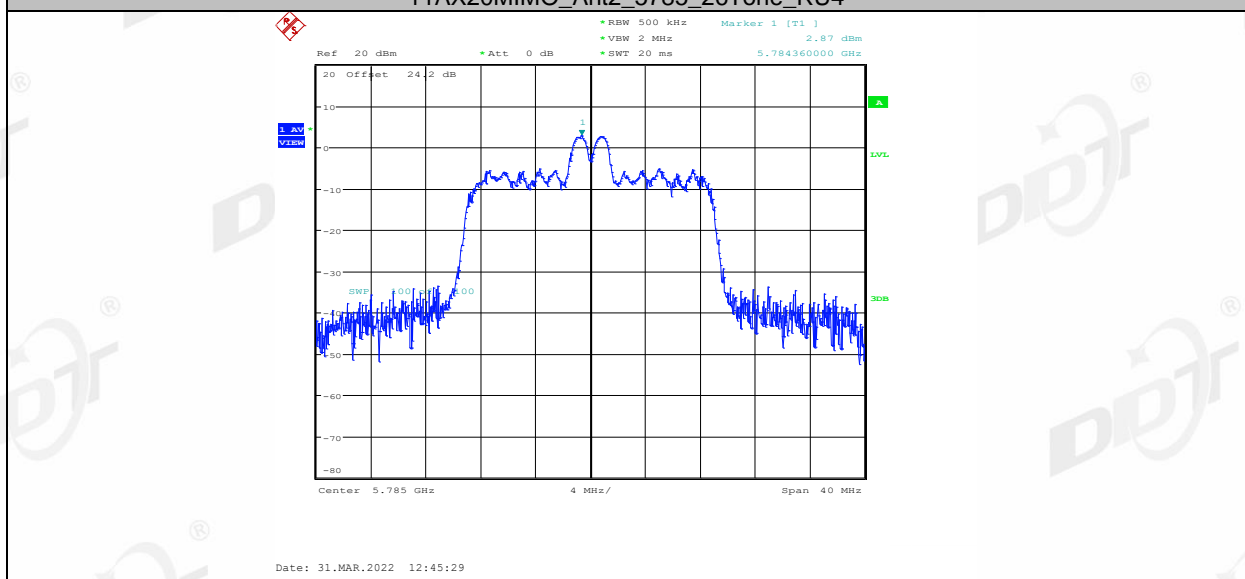
11AX20MIMO_Ant1_5785_106Tone_RU54



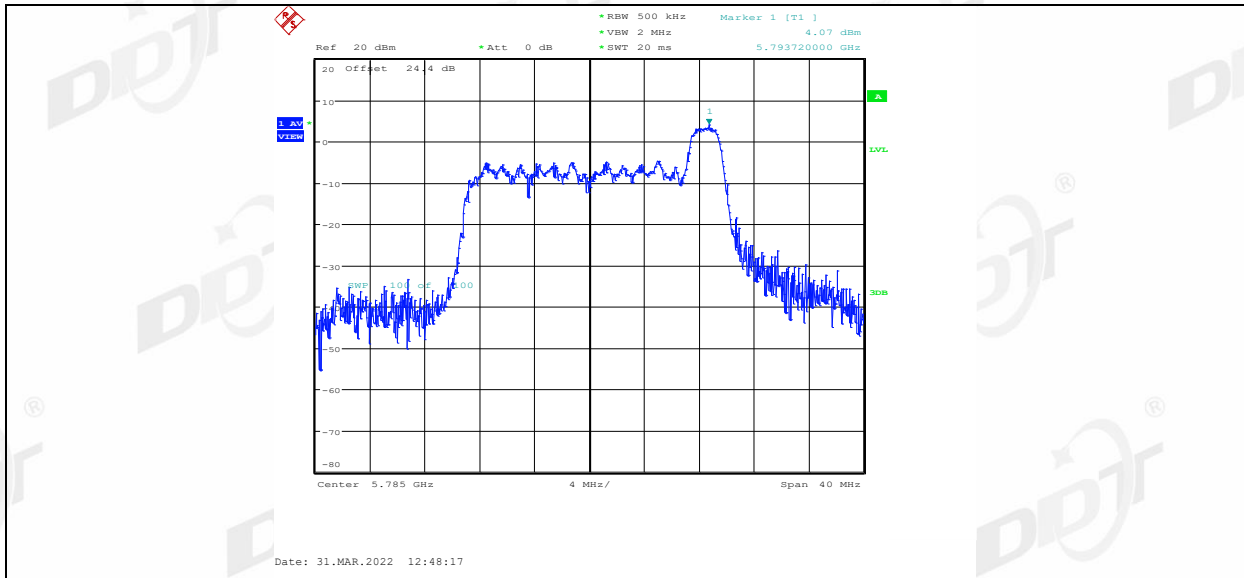
11AX20MIMO_Ant2_5785_26Tone_RU0



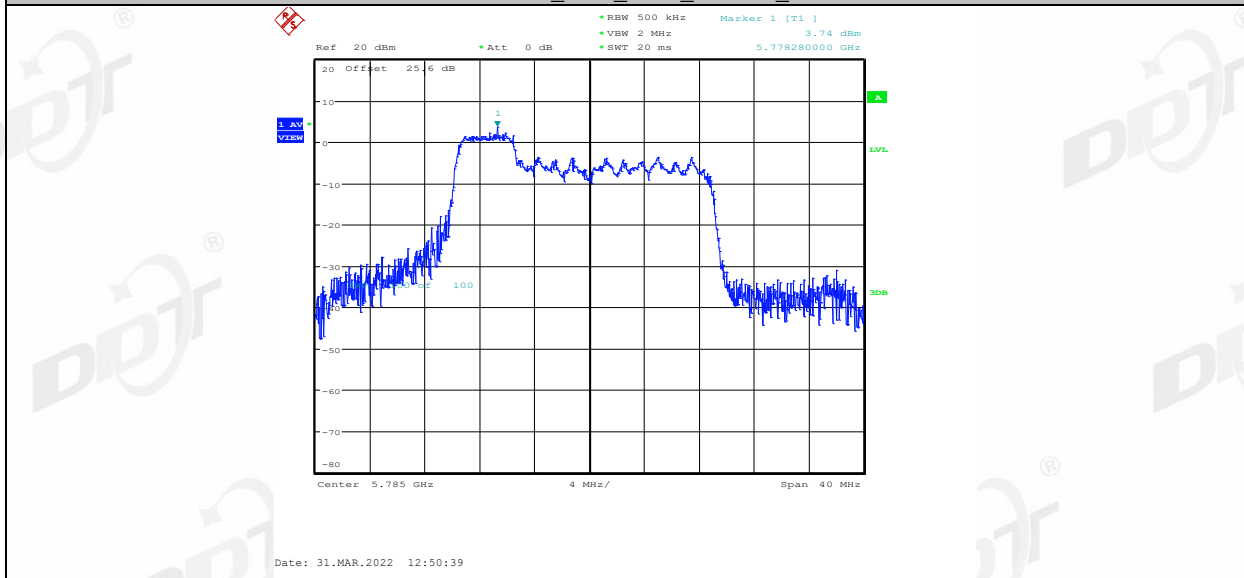
11AX20MIMO_Ant2_5785_26Tone_RU4



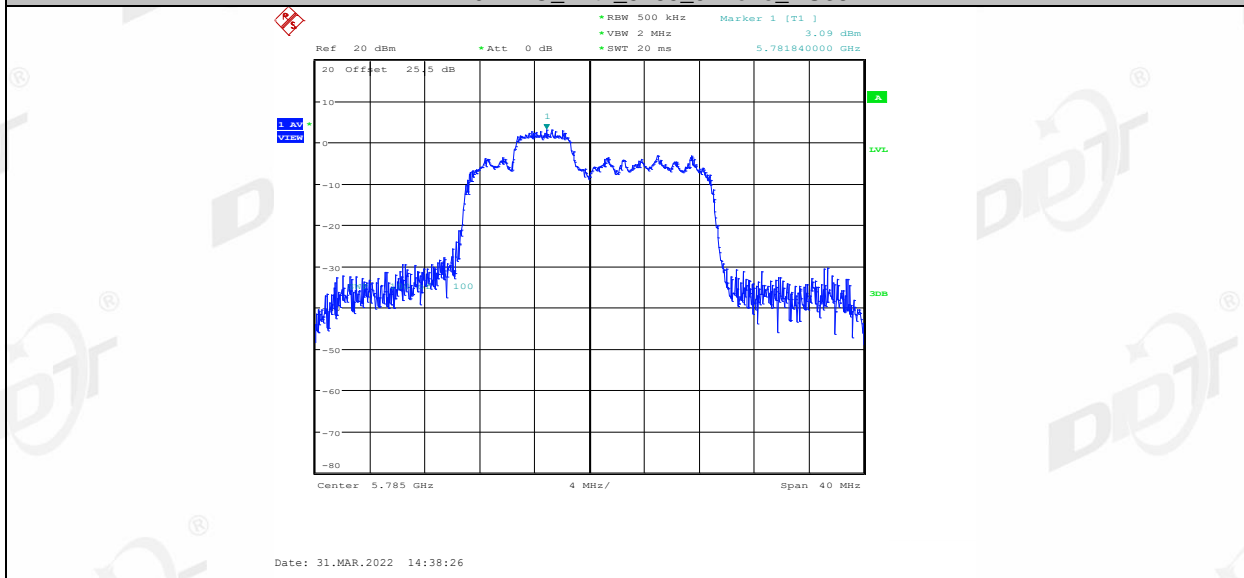
11AX20MIMO_Ant2_5785_26Tone_RU8



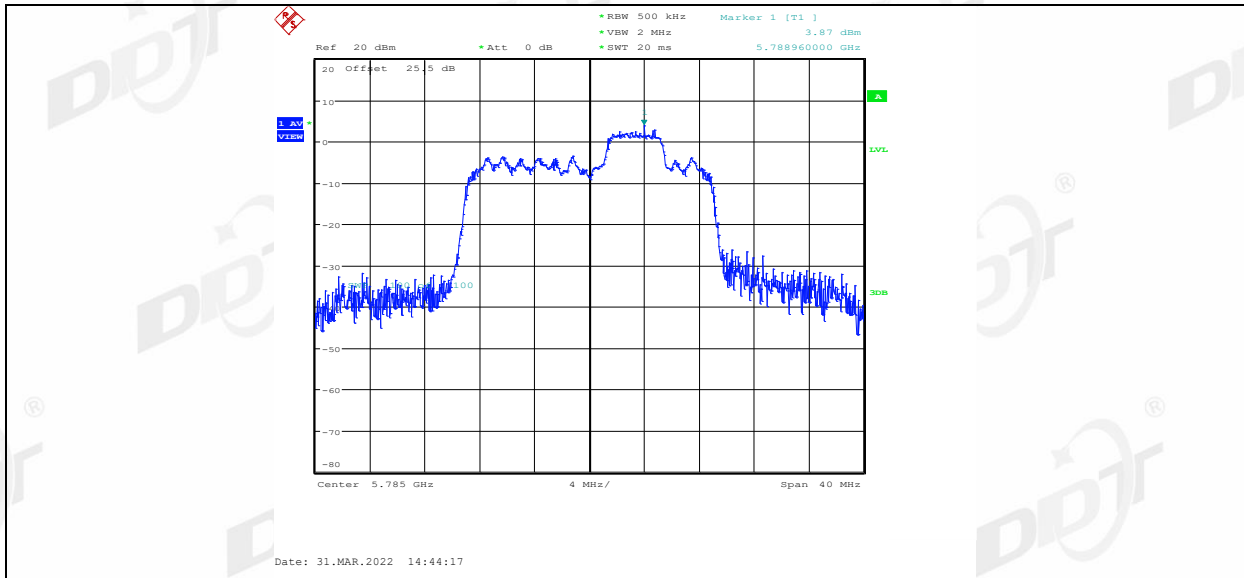
11AX20MIMO_Ant2_5785_52Tone_RU37



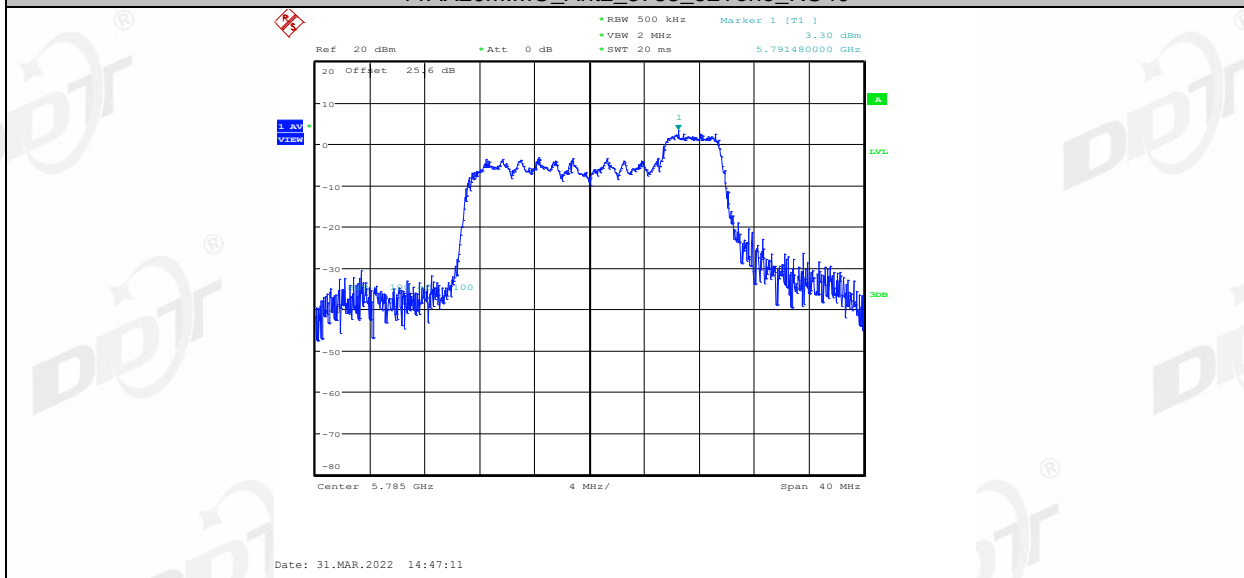
11AX20MIMO_Ant2_5785_52Tone_RU38



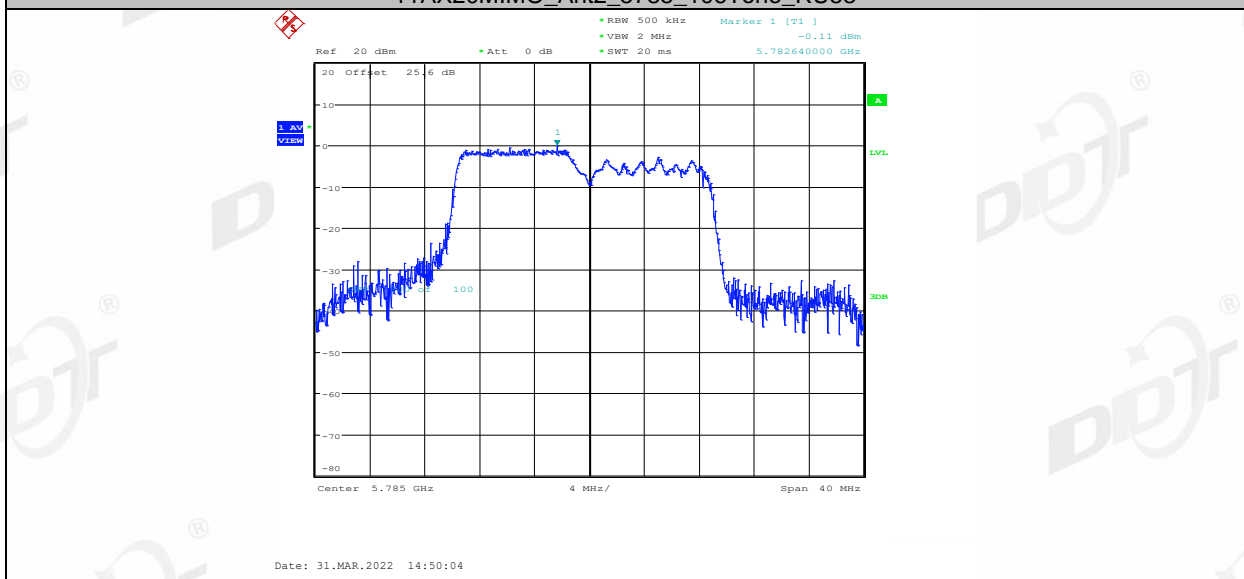
11AX20MIMO_Ant2_5785_52Tone_RU39



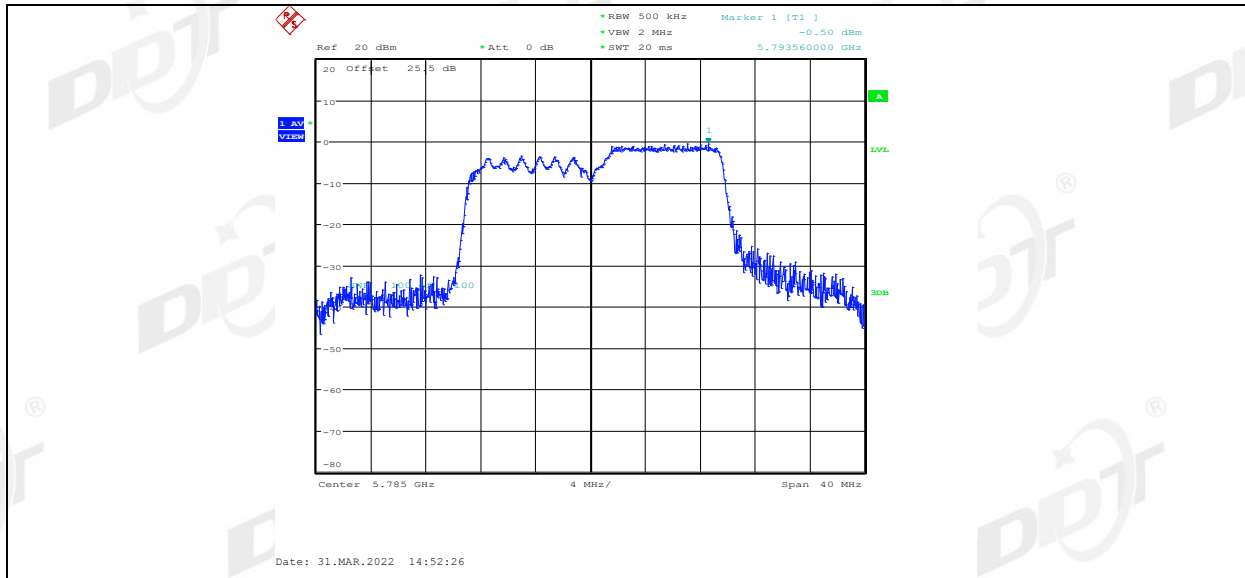
11AX20MIMO_Ant2_5785_52Tone_RU40



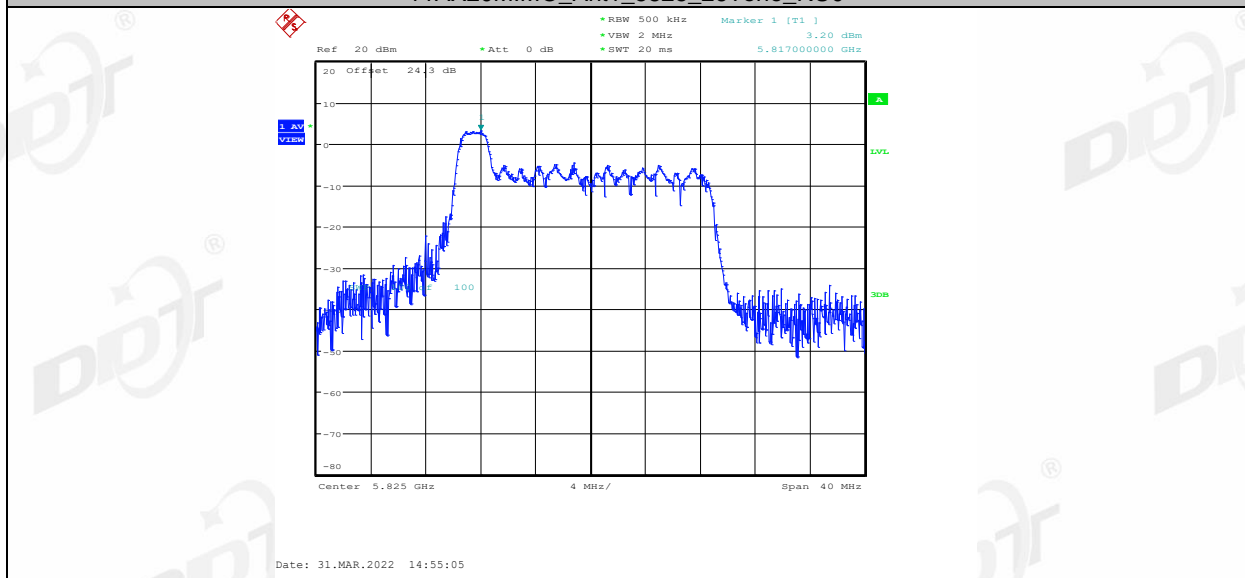
11AX20MIMO_Ant2_5785_106Tone_RU53



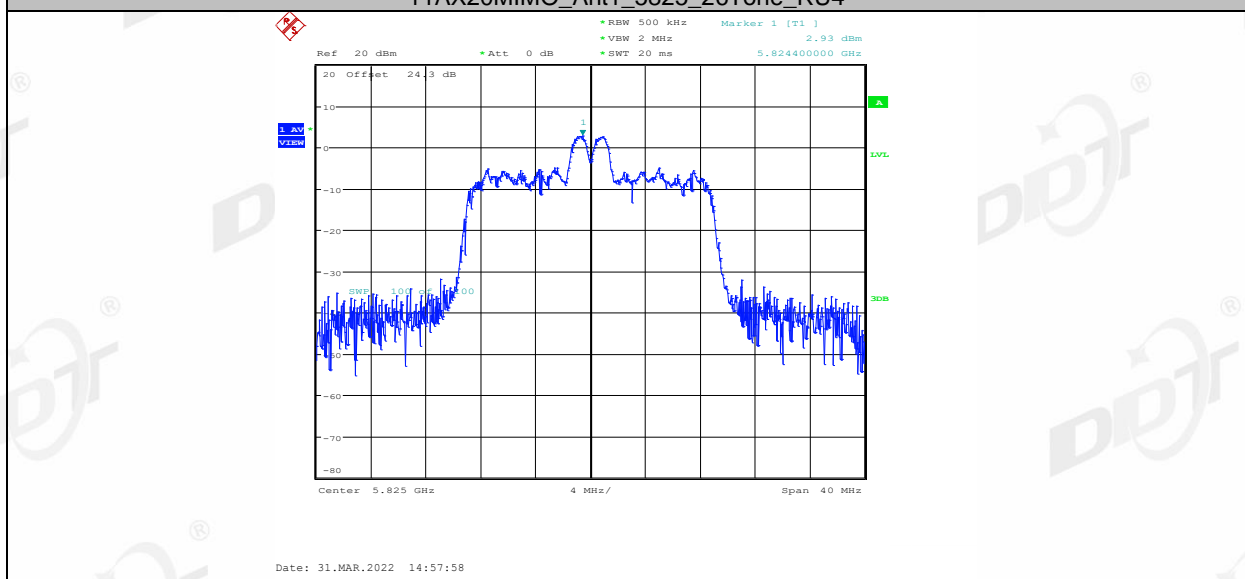
11AX20MIMO_Ant2_5785_106Tone_RU54



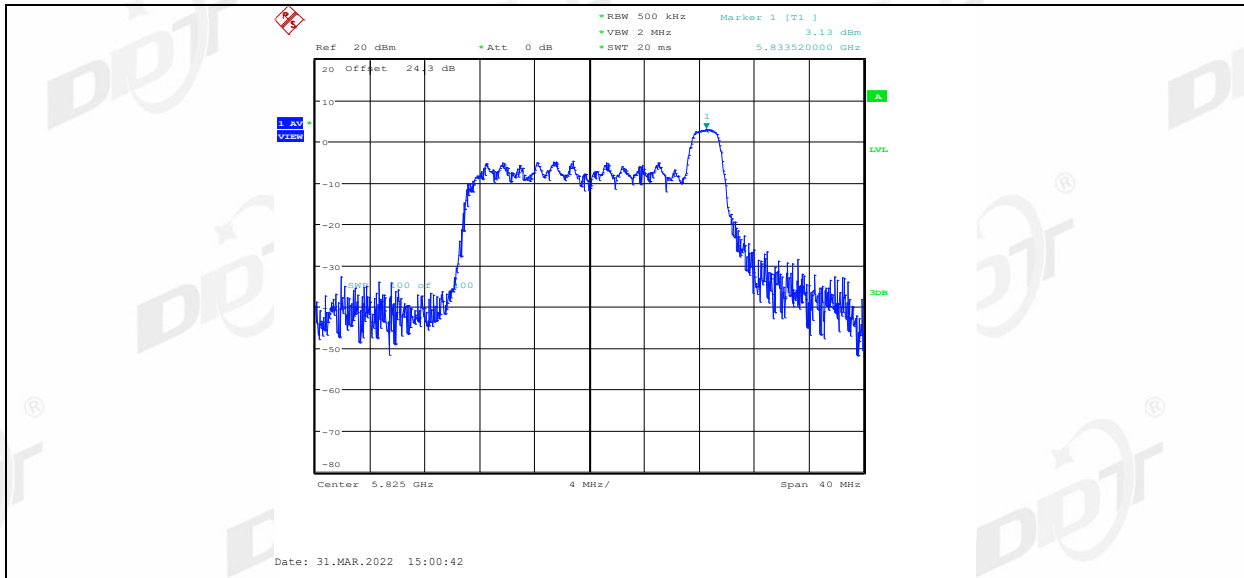
11AX20MIMO_Ant1_5825_26Tone_RU0



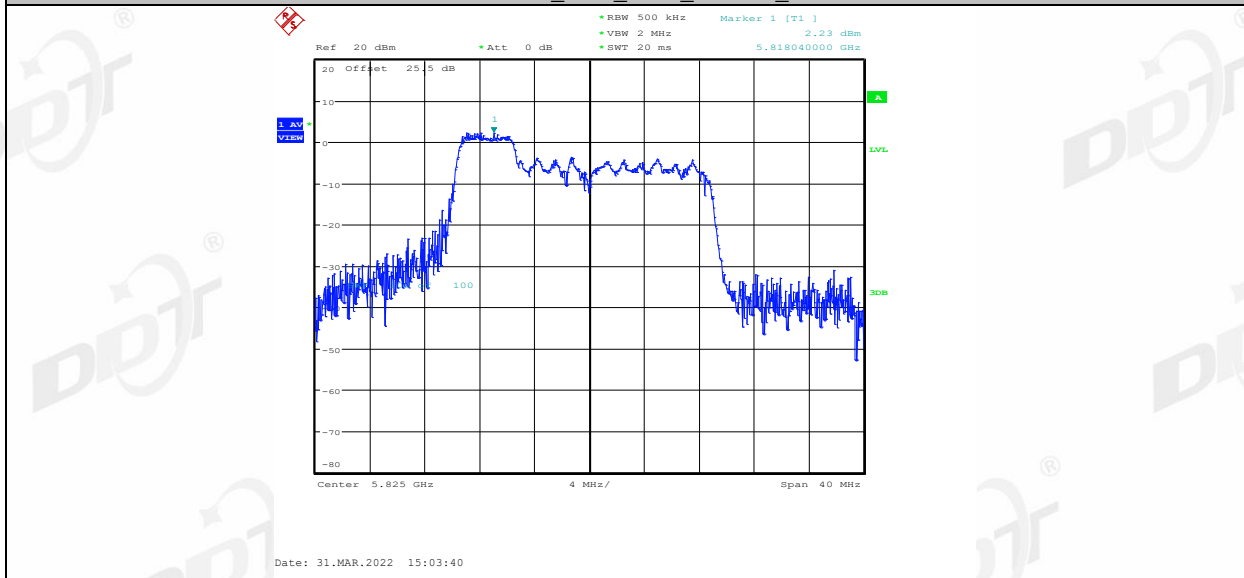
11AX20MIMO_Ant1_5825_26Tone_RU4



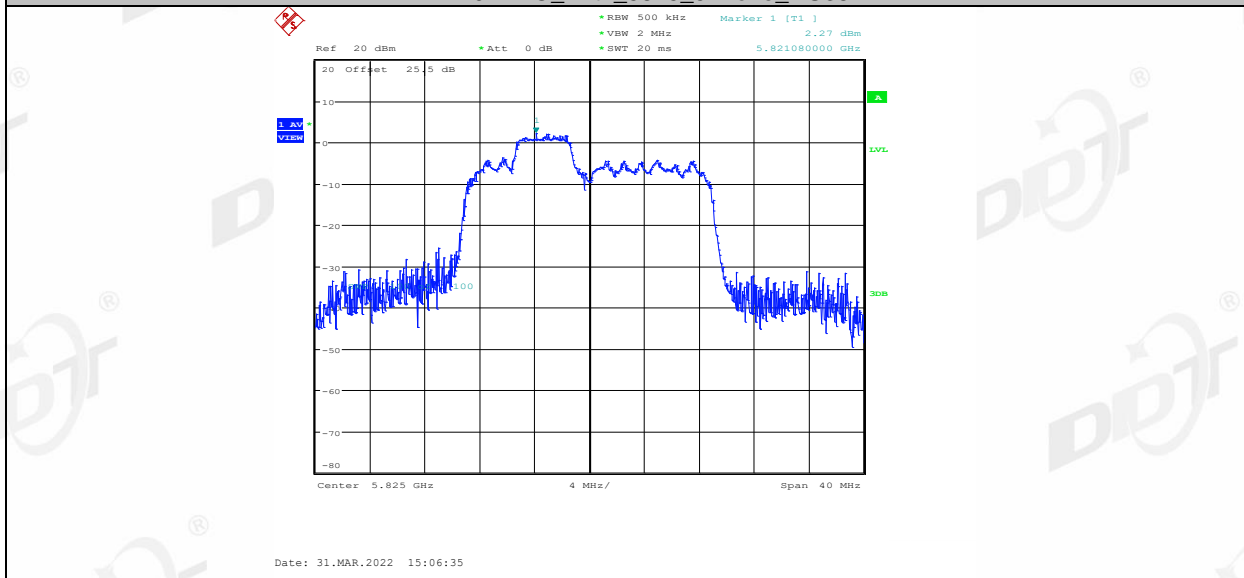
11AX20MIMO_Ant1_5825_26Tone_RU8



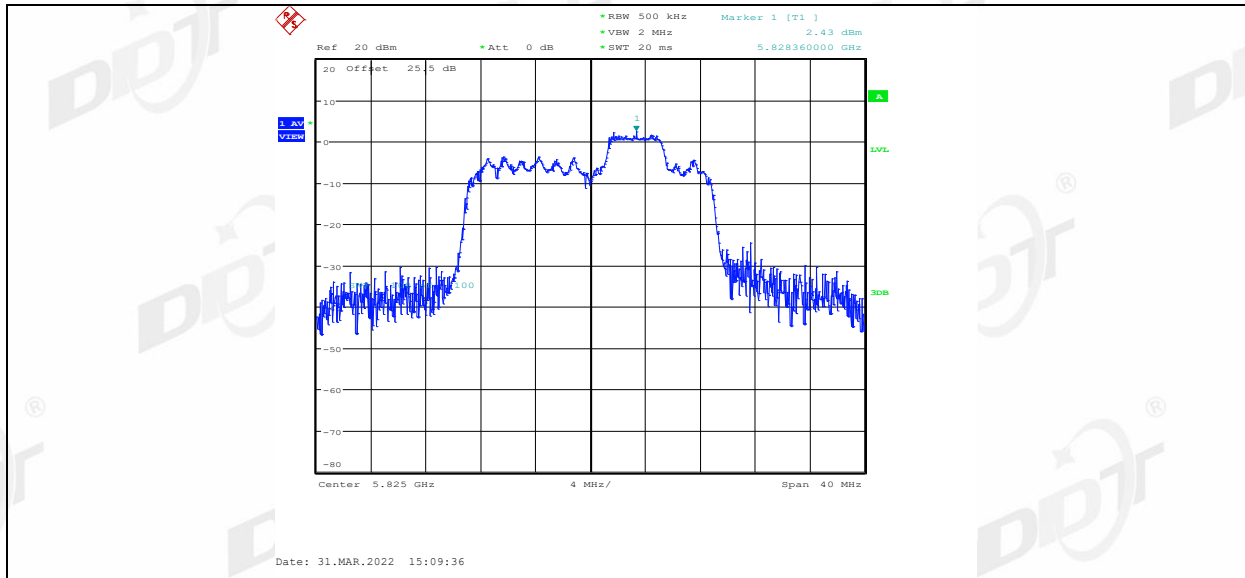
11AX20MIMO_Ant1_5825_52Tone_RU37



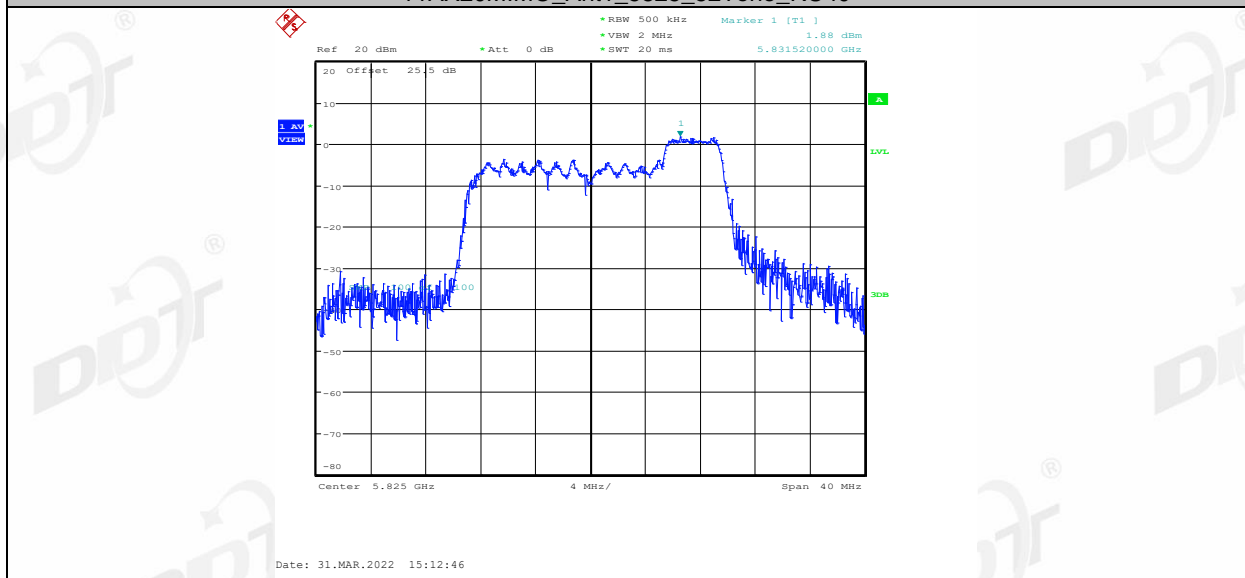
11AX20MIMO_Ant1_5825_52Tone_RU38



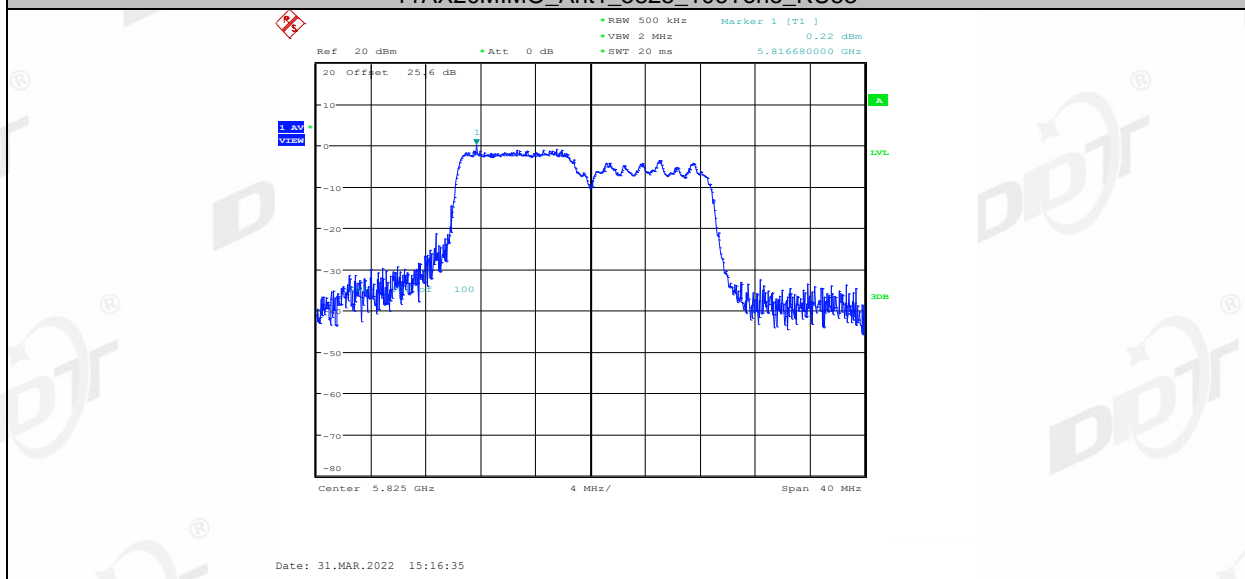
11AX20MIMO_Ant1_5825_52Tone_RU39



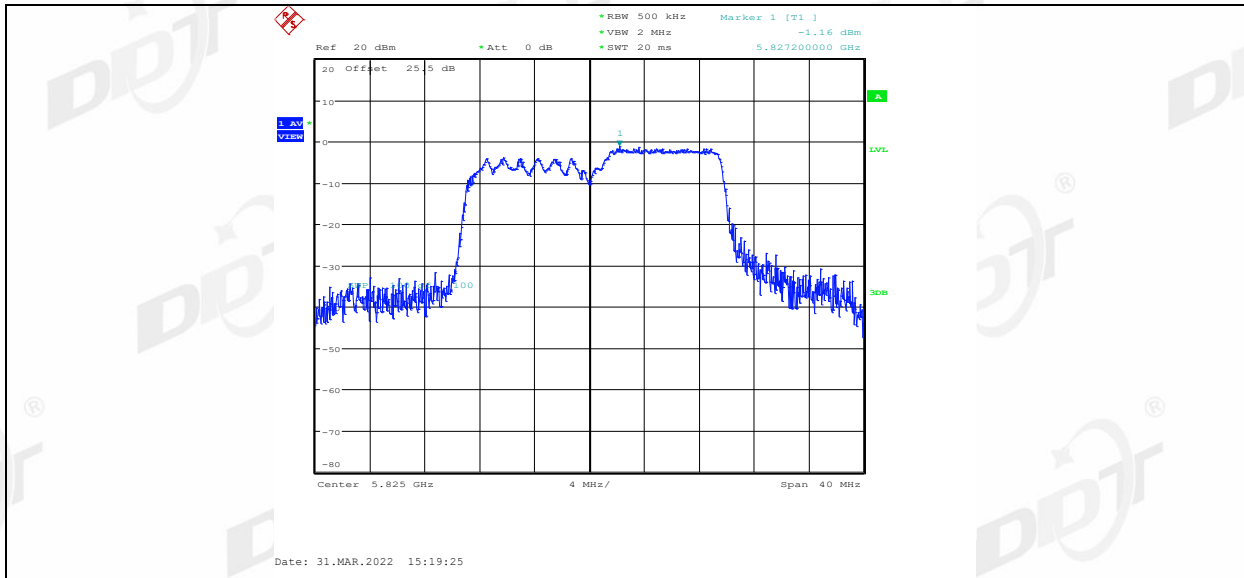
11AX20MIMO_Ant1_5825_52Tone_RU40



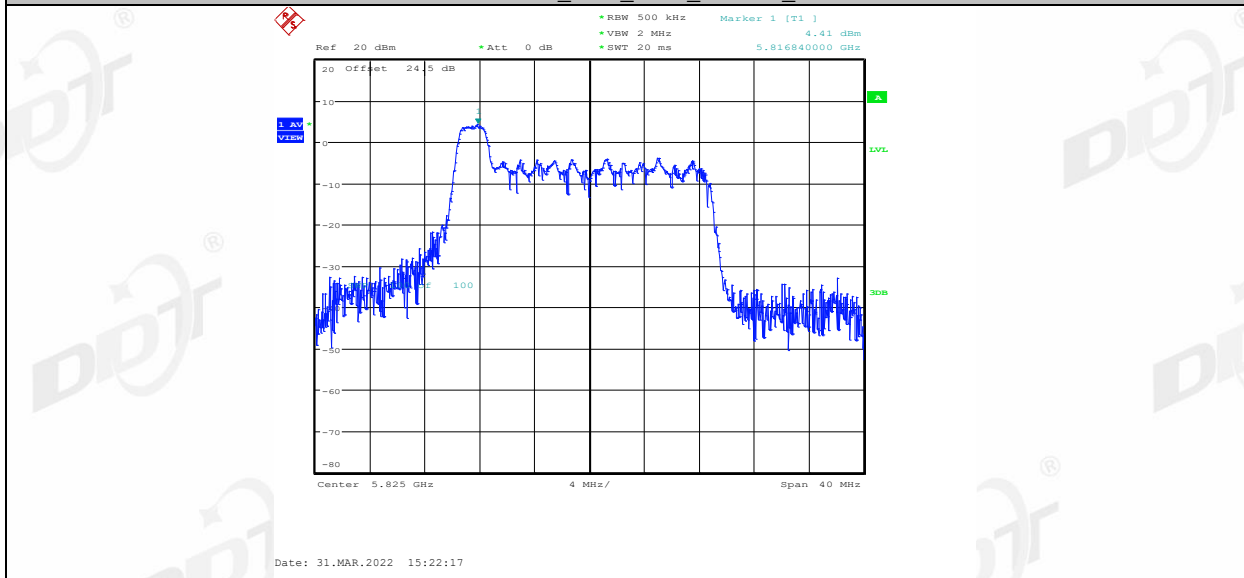
11AX20MIMO_Ant1_5825_106Tone_RU53



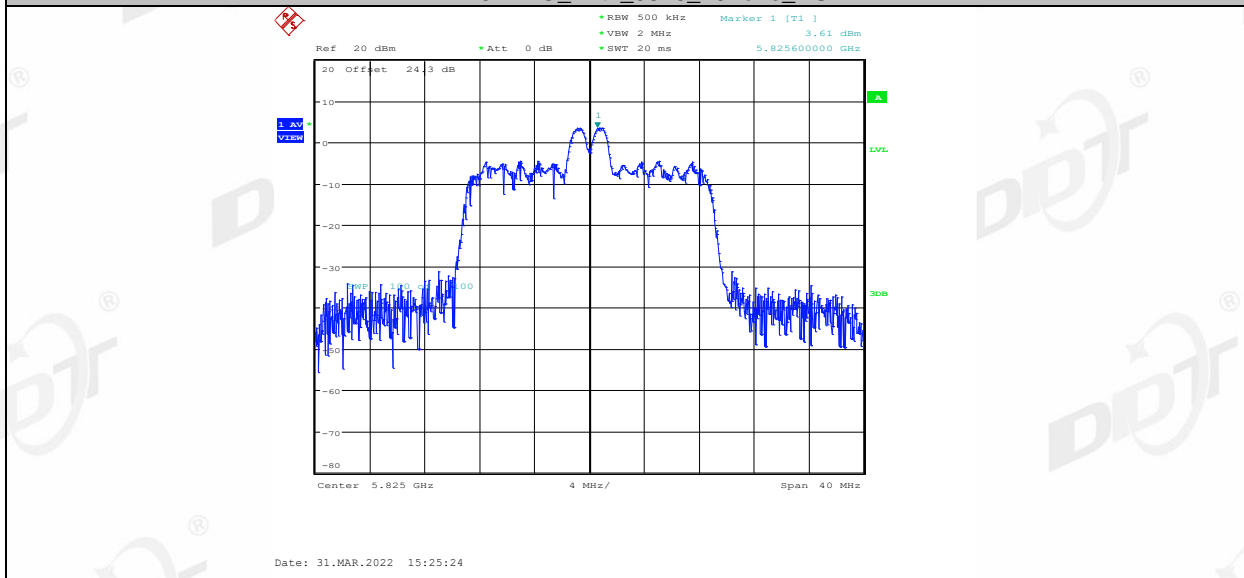
11AX20MIMO_Ant1_5825_106Tone_RU54



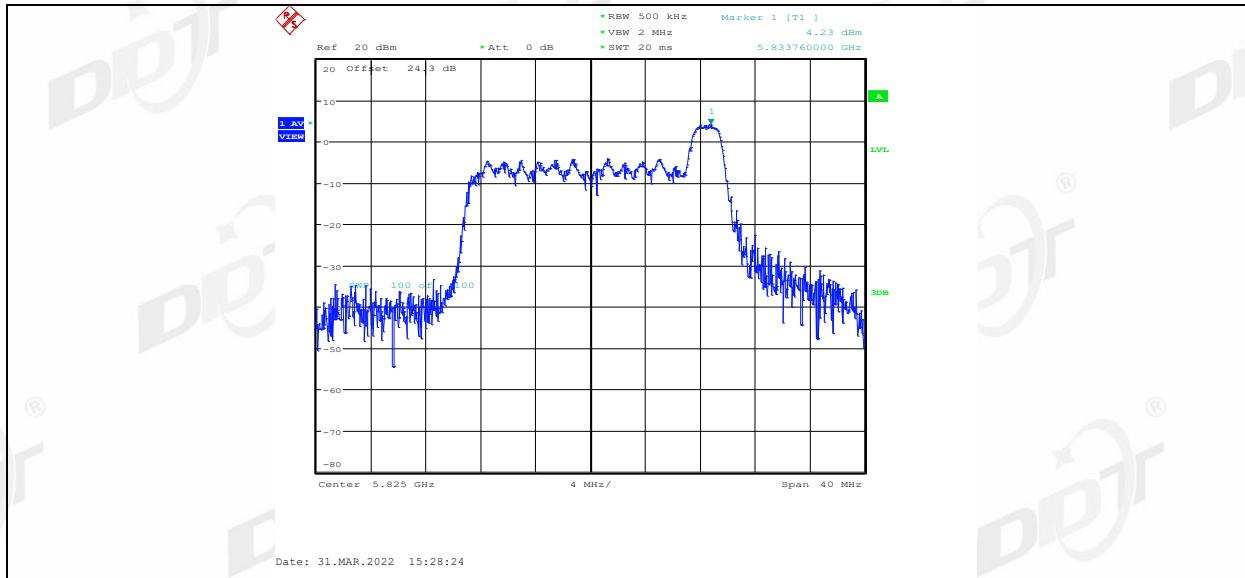
11AX20MIMO_Ant2_5825_26Tone_RU0



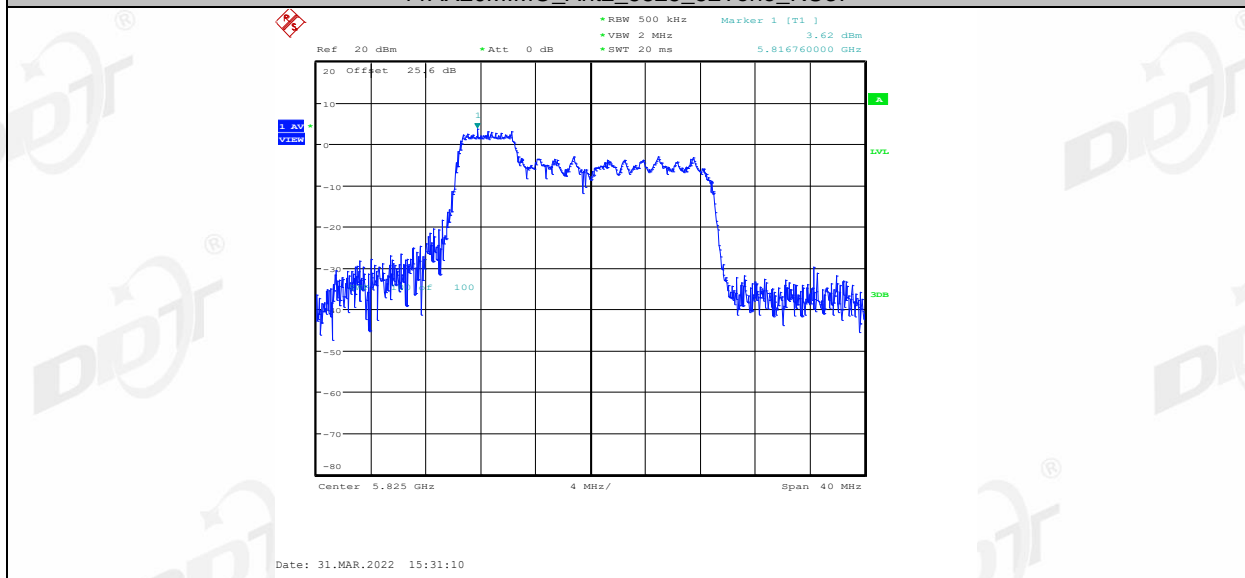
11AX20MIMO_Ant2_5825_26Tone_RU4



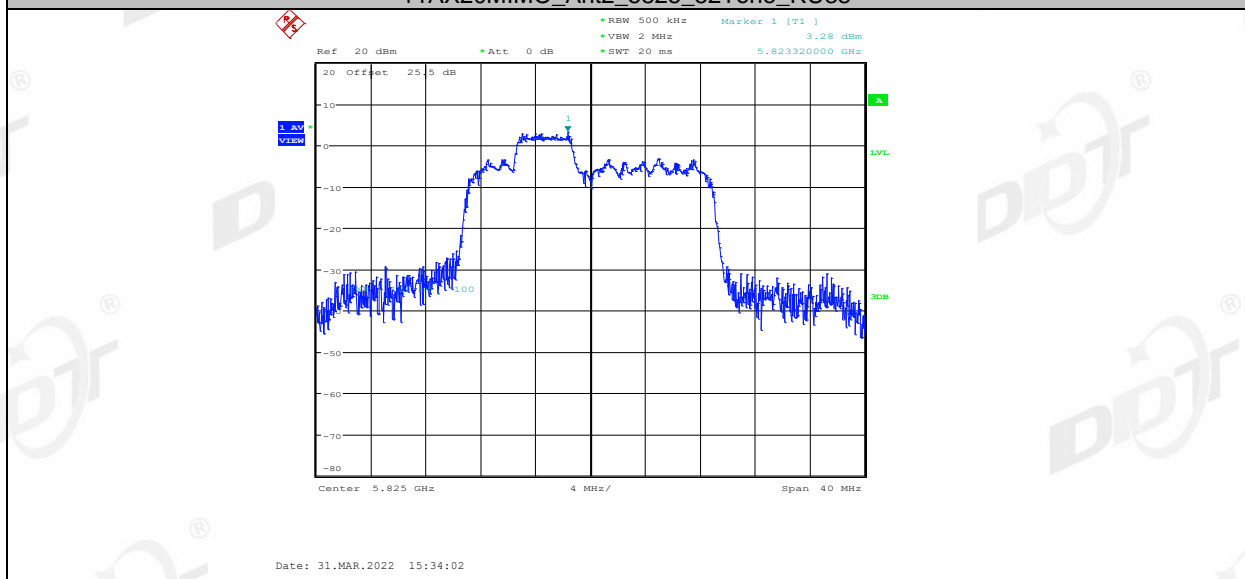
11AX20MIMO_Ant2_5825_26Tone_RU8



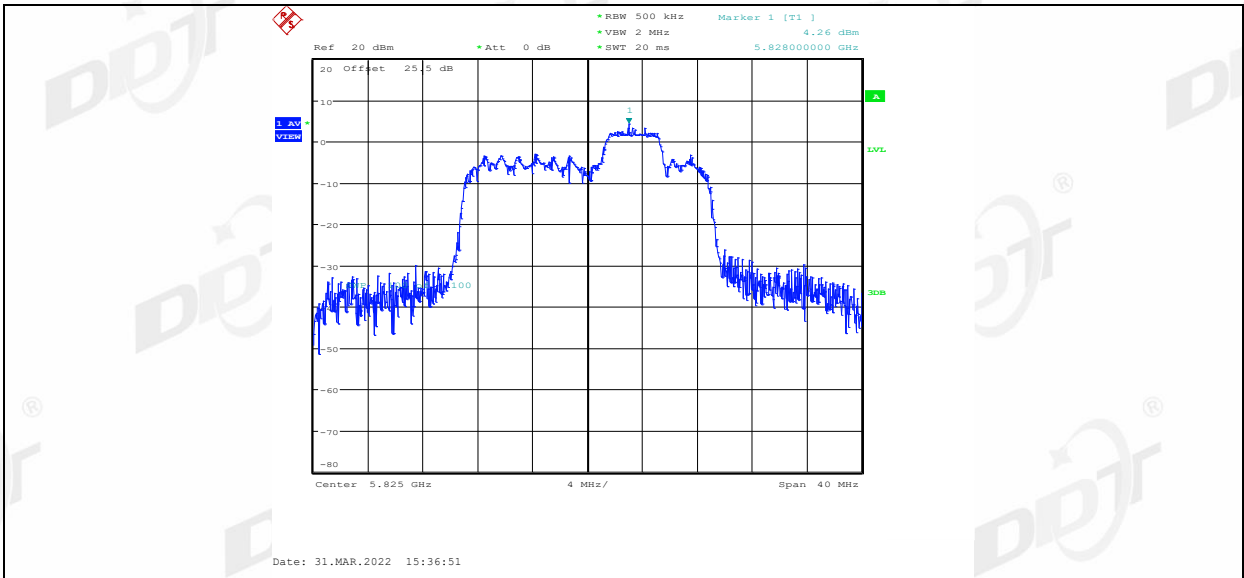
11AX20MIMO_Ant2_5825_52Tone_RU37



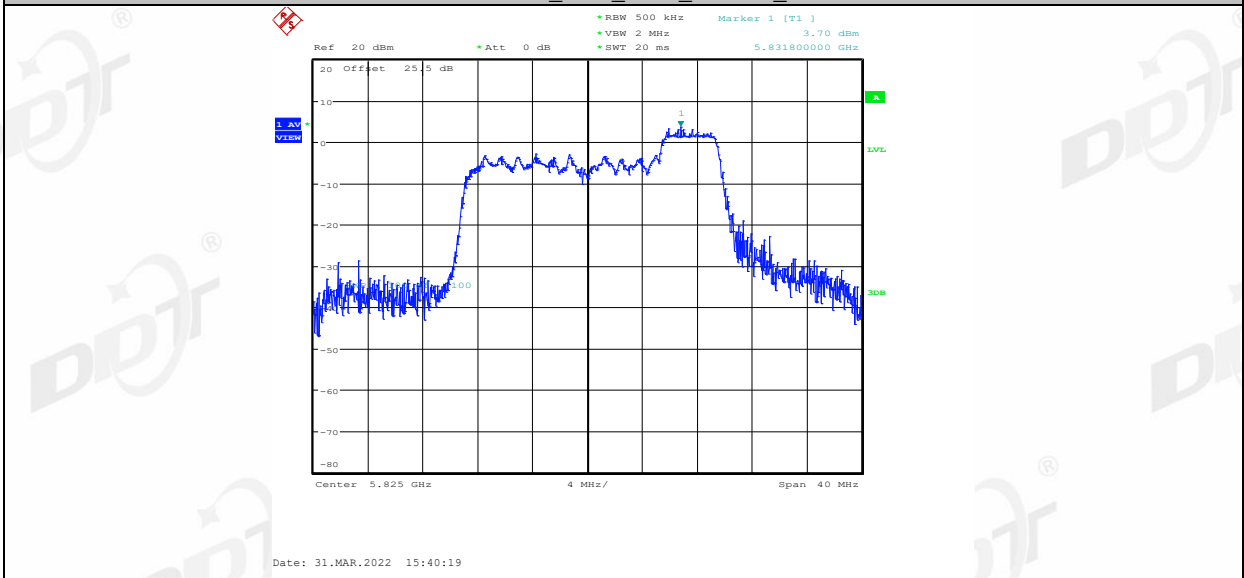
11AX20MIMO_Ant2_5825_52Tone_RU38



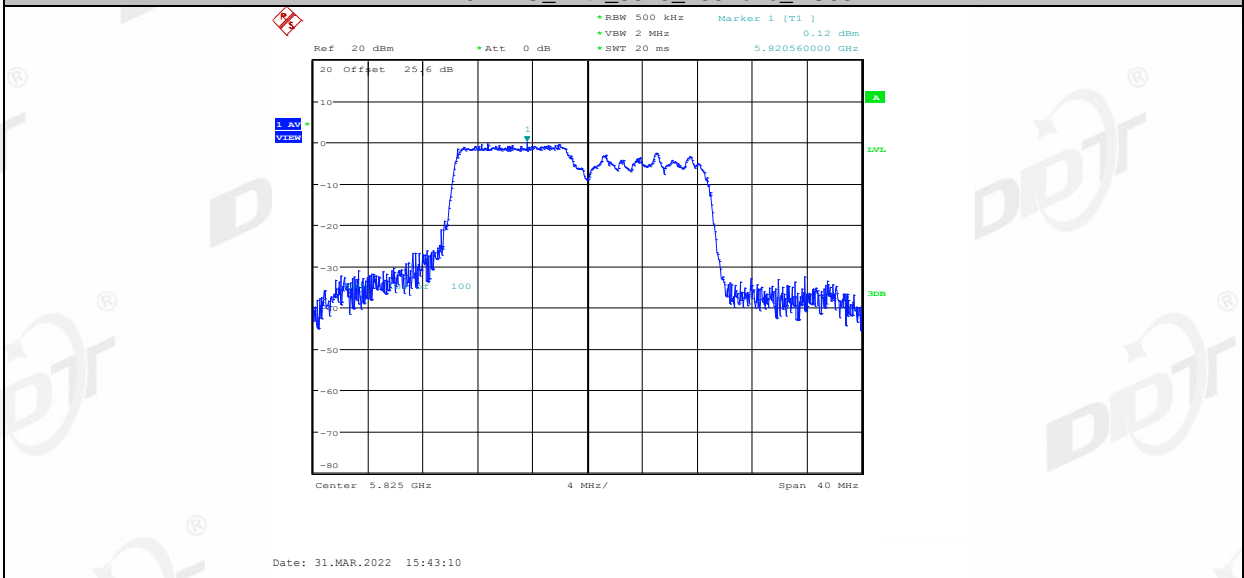
11AX20MIMO_Ant2_5825_52Tone_RU39



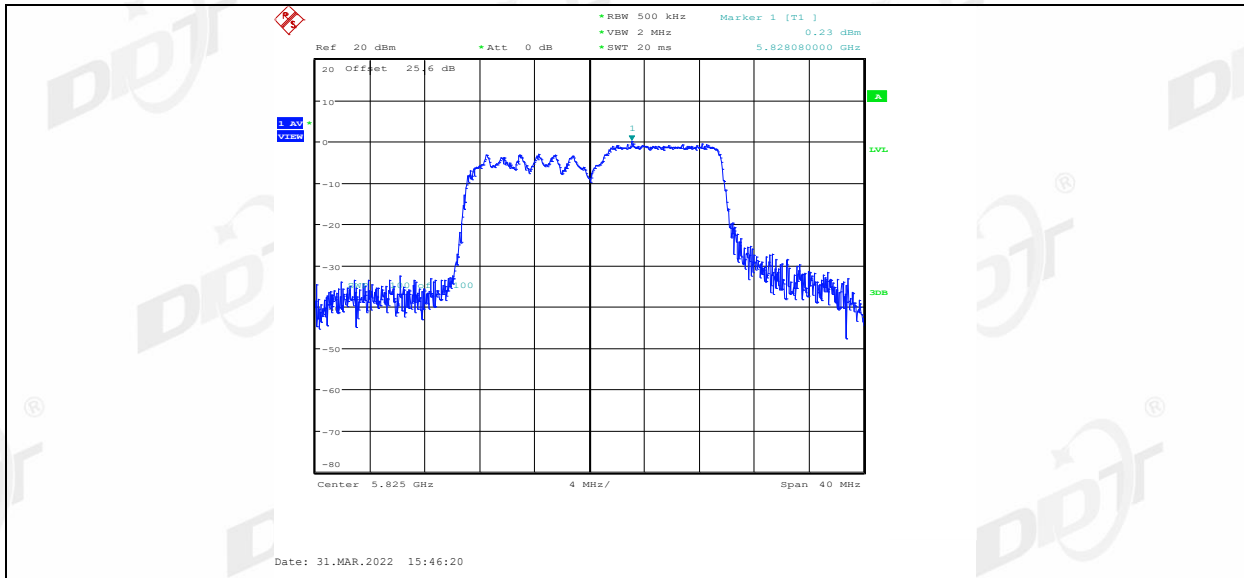
11AX20MIMO_Ant2_5825_52Tone_RU40



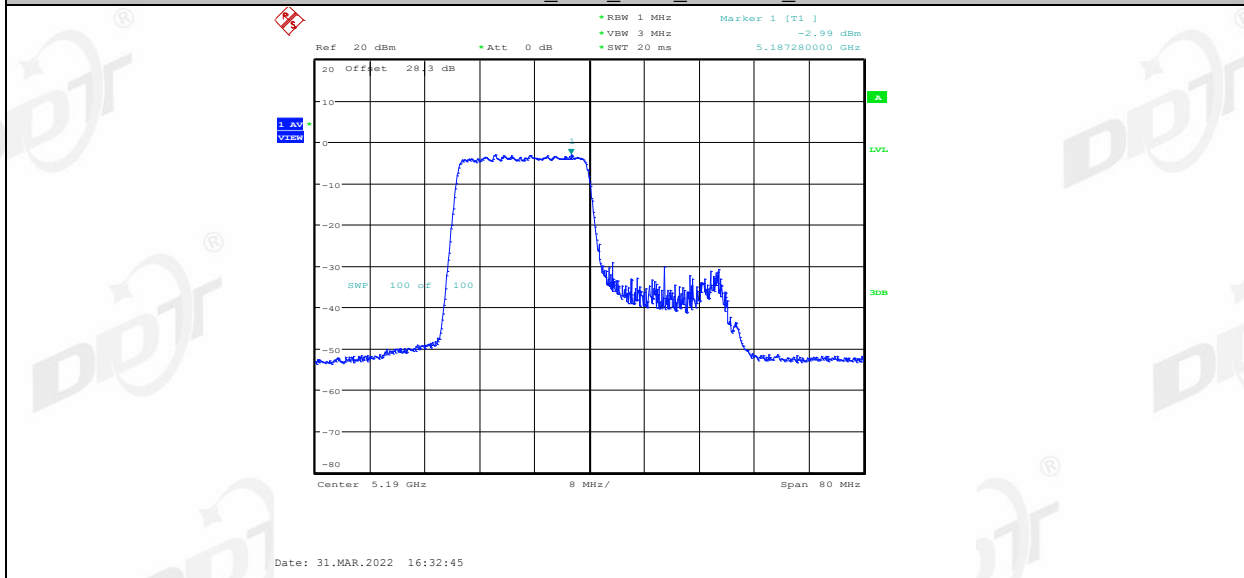
11AX20MIMO_Ant2_5825_106Tone_RU53



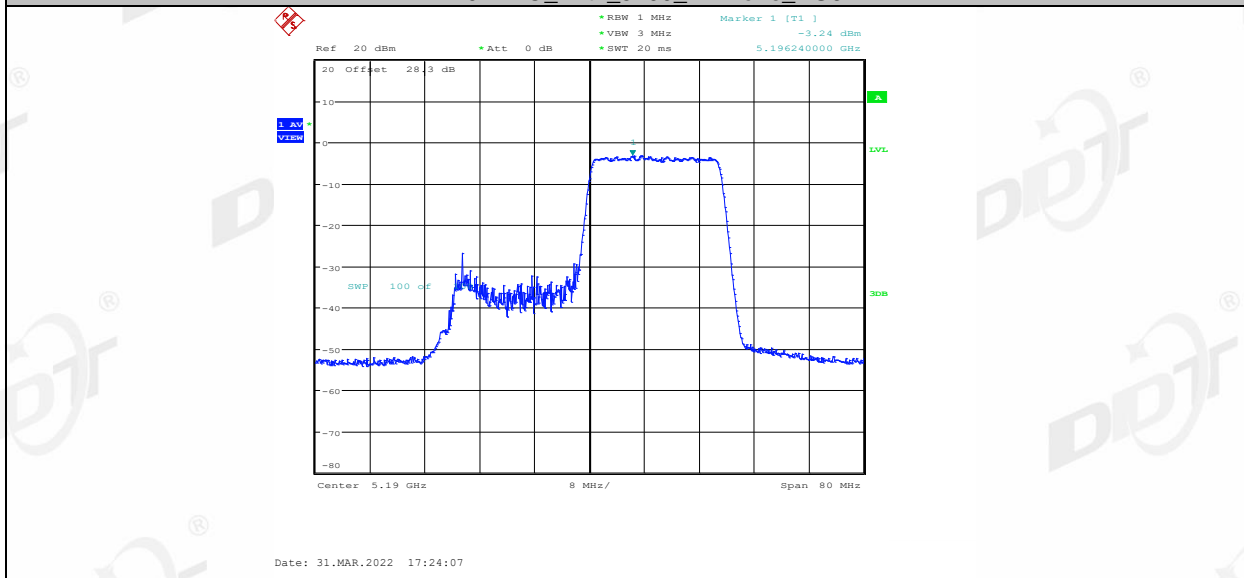
11AX20MIMO_Ant2_5825_106Tone_RU54



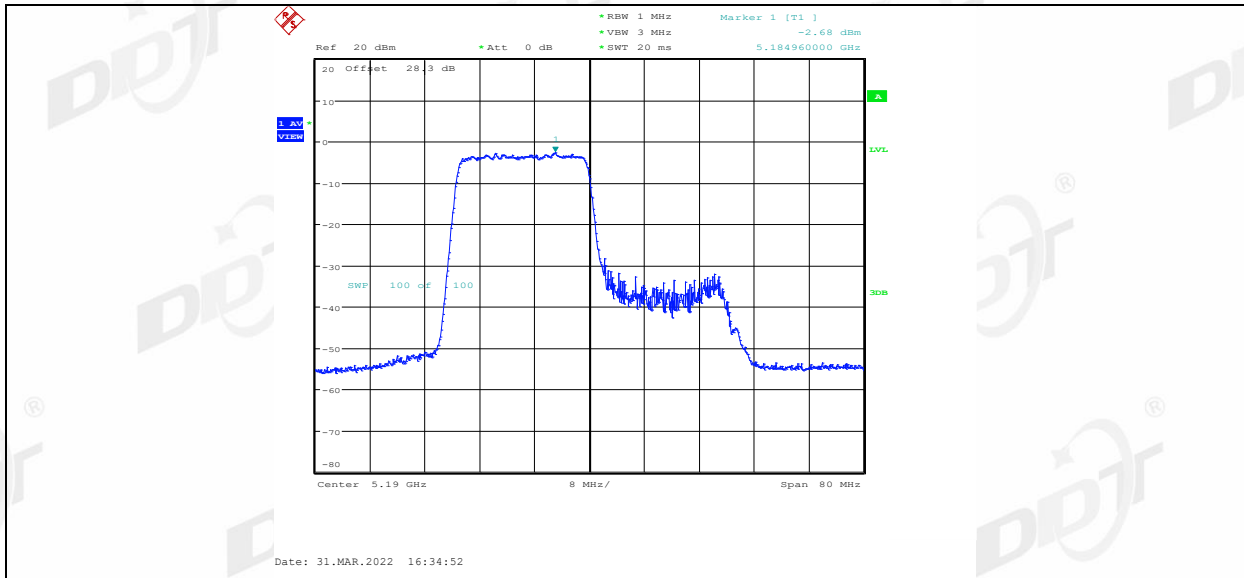
11AX40MIMO_Ant1_5190_242Tone_RU61



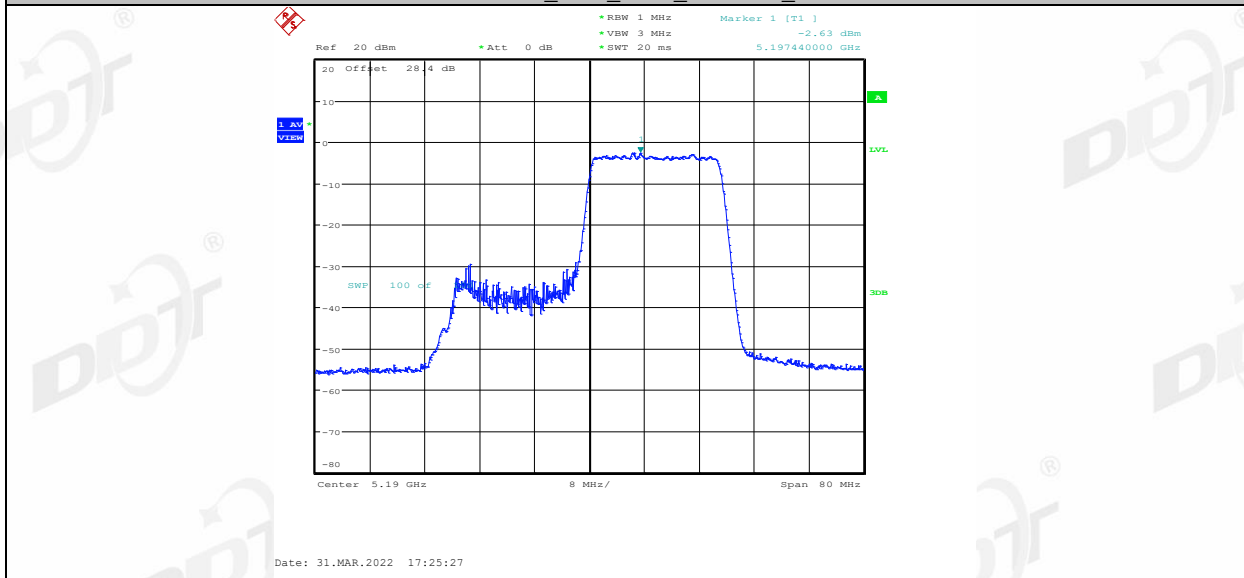
11AX40MIMO_Ant1_5190_242Tone_RU62



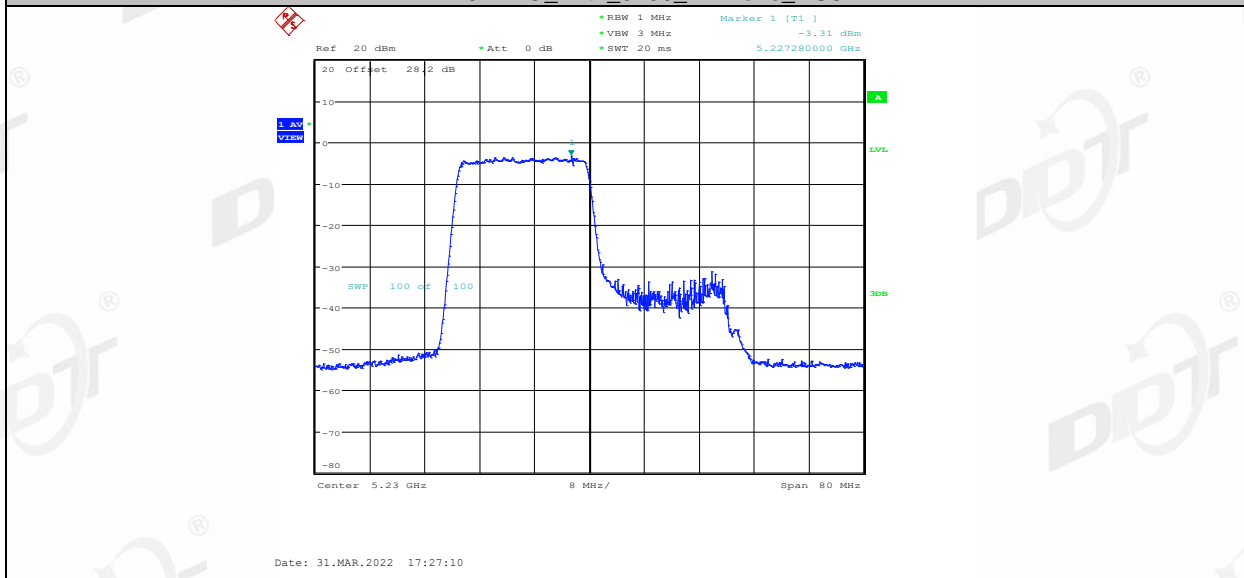
11AX40MIMO_Ant2_5190_242Tone_RU61



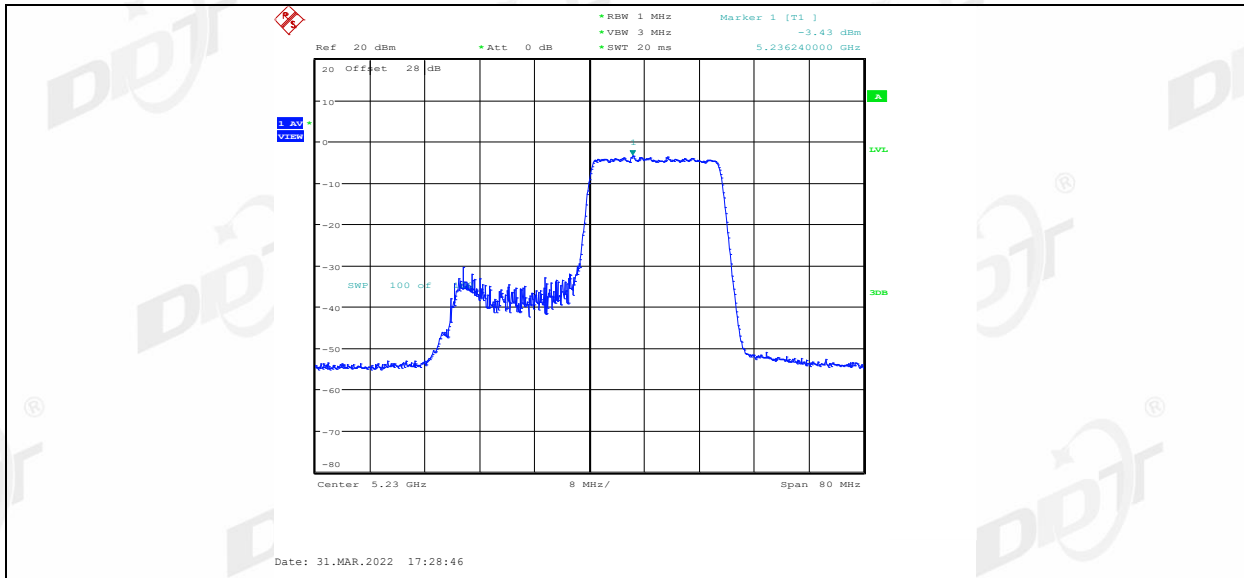
11AX40MIMO_Ant2_5190_242Tone_RU62



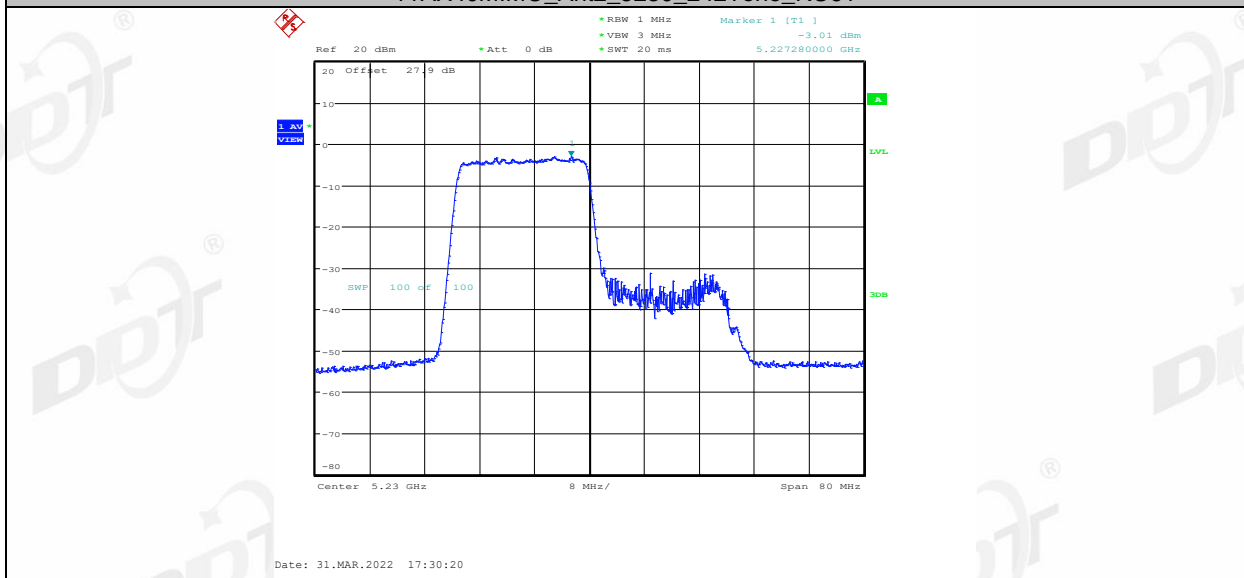
11AX40MIMO_Ant1_5230_242Tone_RU61



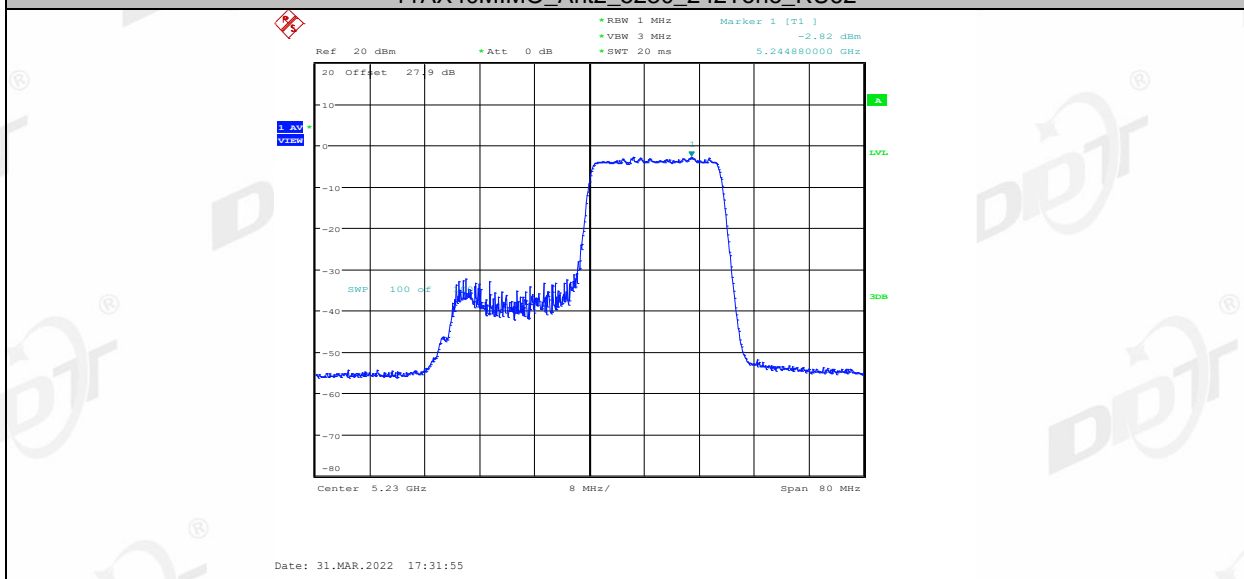
11AX40MIMO_Ant1_5230_242Tone_RU62



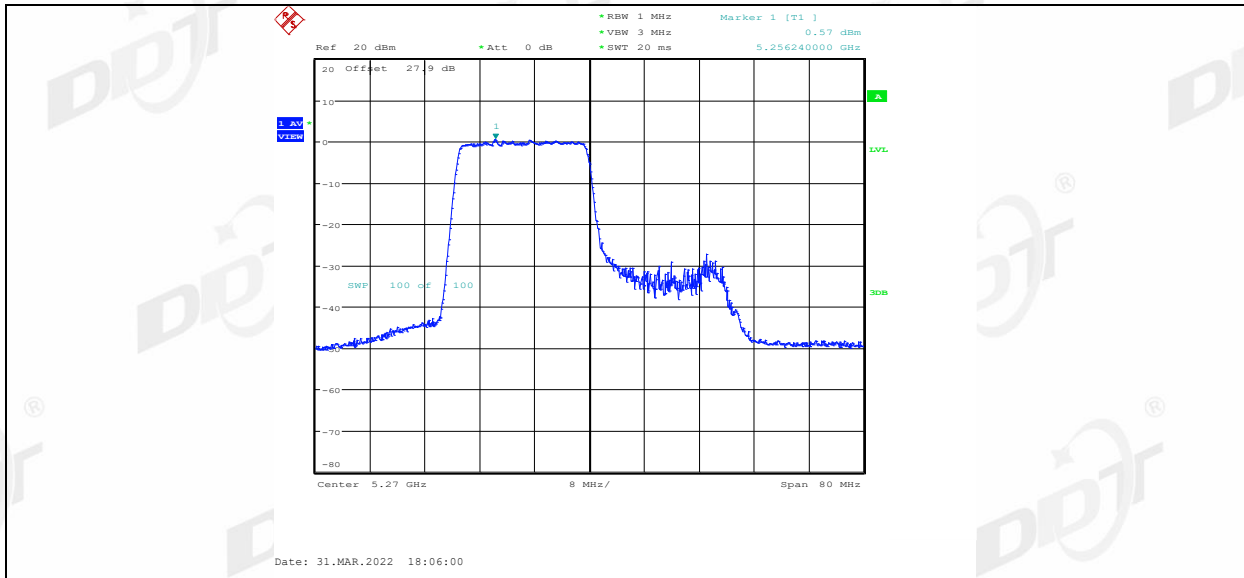
11AX40MIMO_Ant2_5230_242Tone_RU61



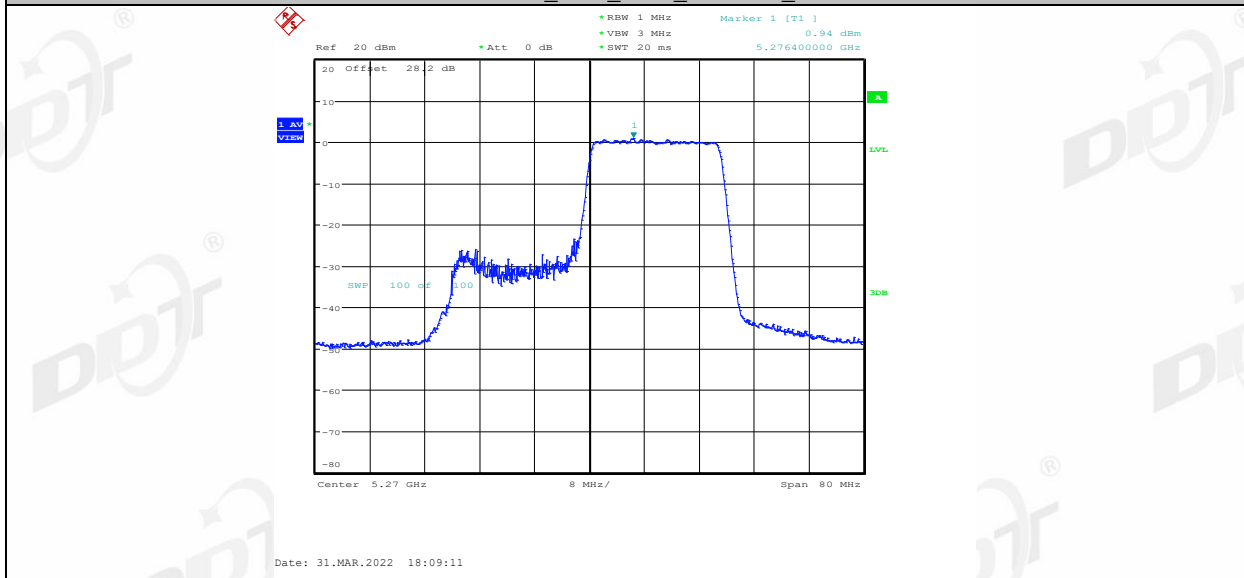
11AX40MIMO_Ant2_5230_242Tone_RU62



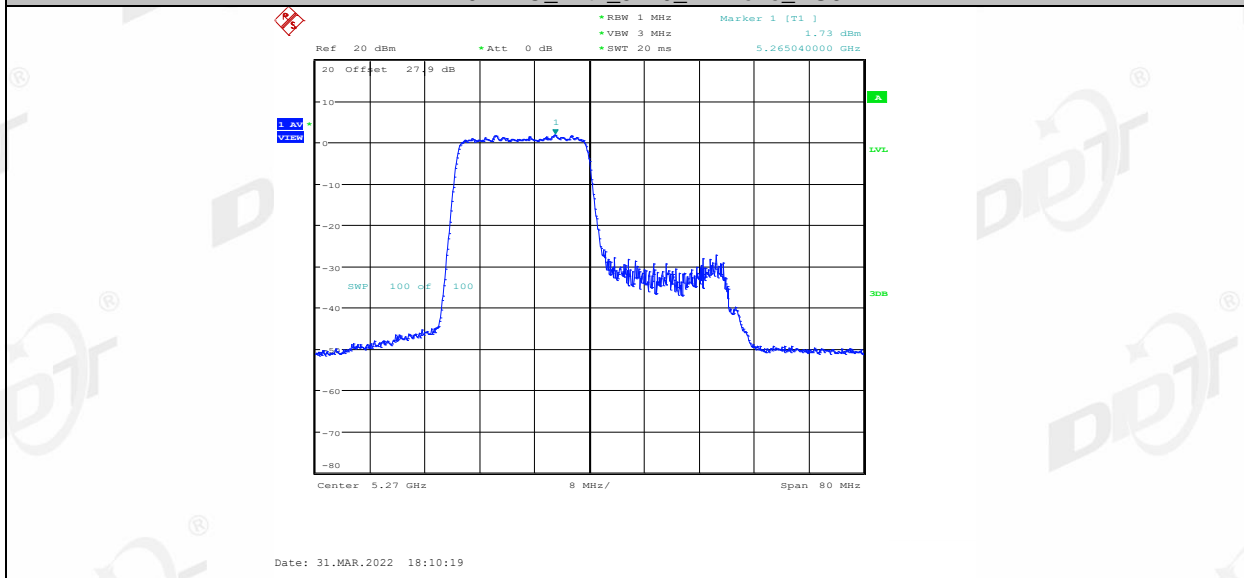
11AX40MIMO_Ant1_5270_242Tone_RU61



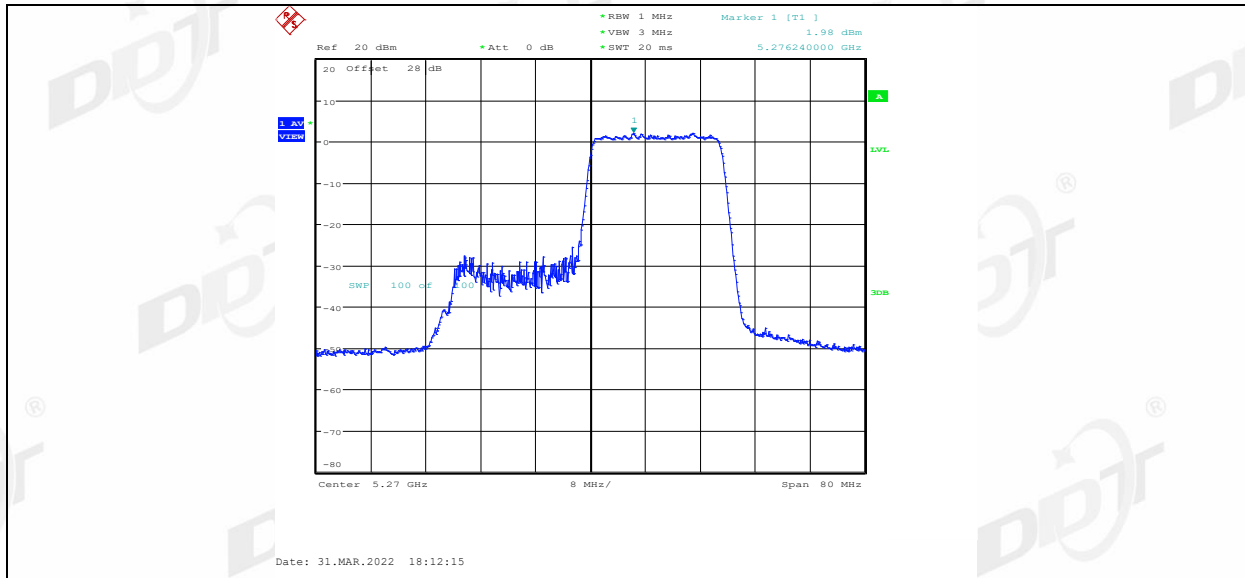
11AX40MIMO_Ant1_5270_242Tone_RU62



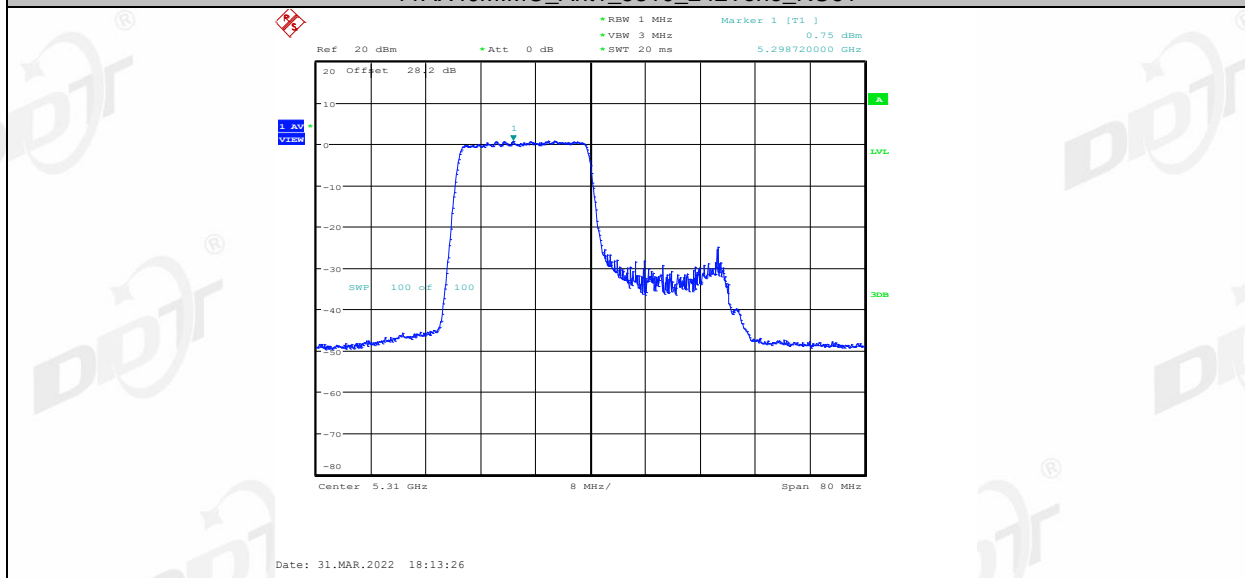
11AX40MIMO_Ant2_5270_242Tone_RU61



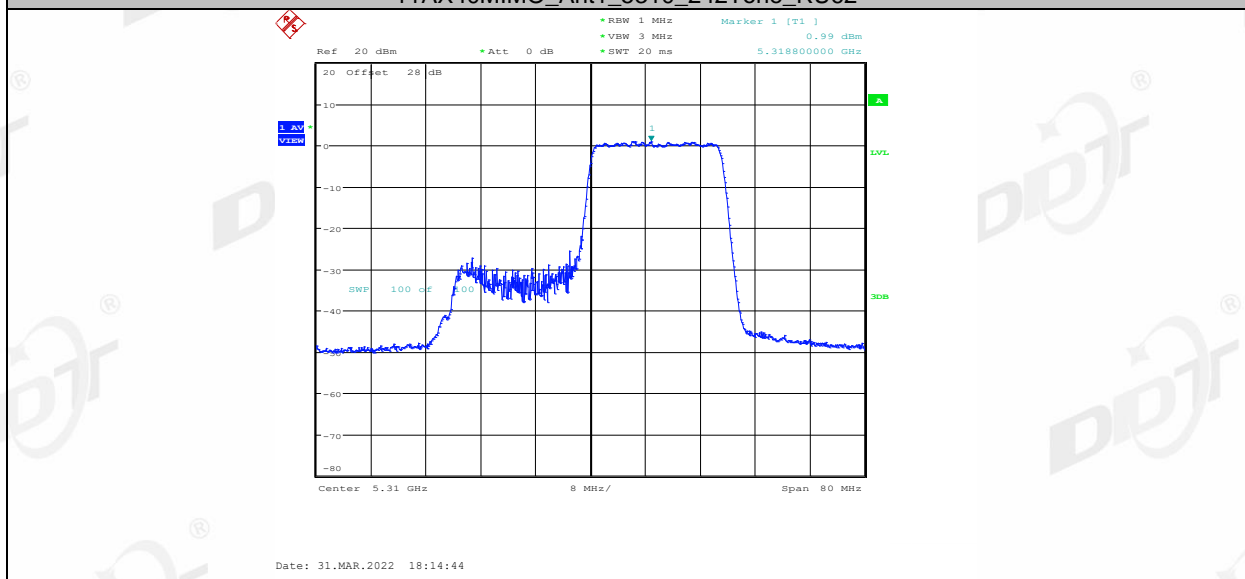
11AX40MIMO_Ant2_5270_242Tone_RU62



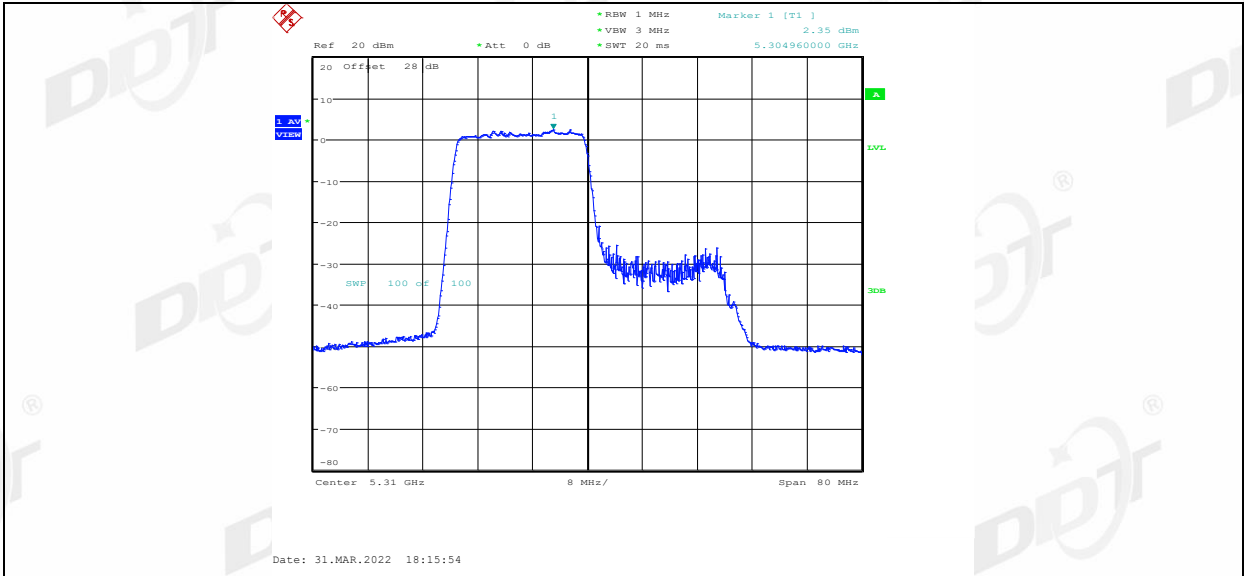
11AX40MIMO_Ant1_5310_242Tone_RU61



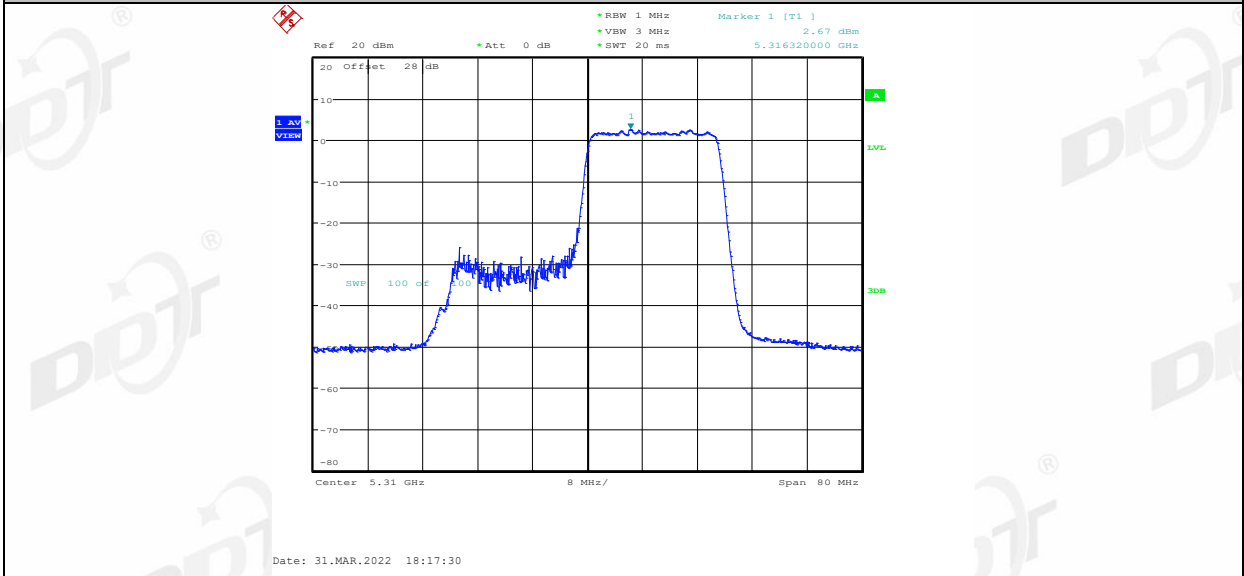
11AX40MIMO_Ant1_5310_242Tone_RU62



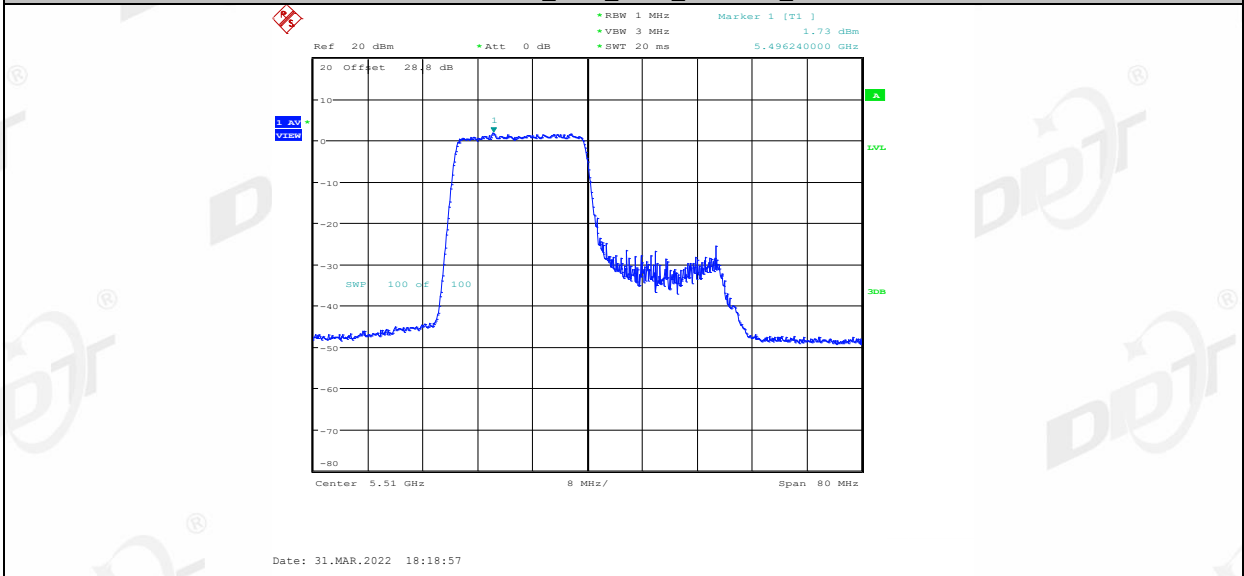
11AX40MIMO_Ant2_5310_242Tone_RU61



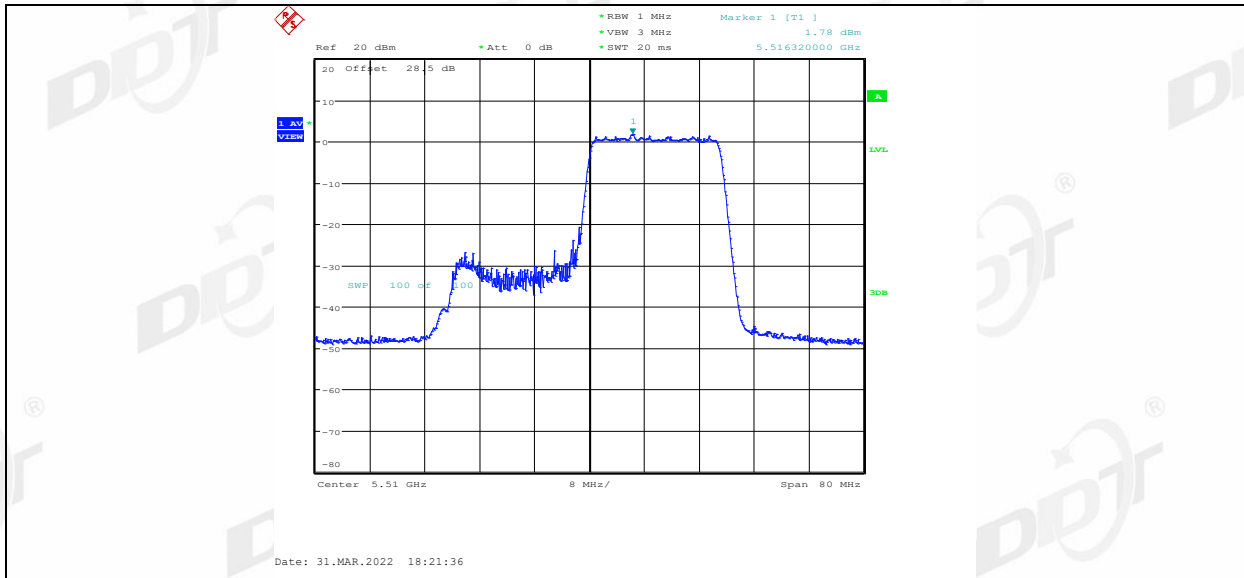
11AX40MIMO_Ant2_5310_242Tone_RU62



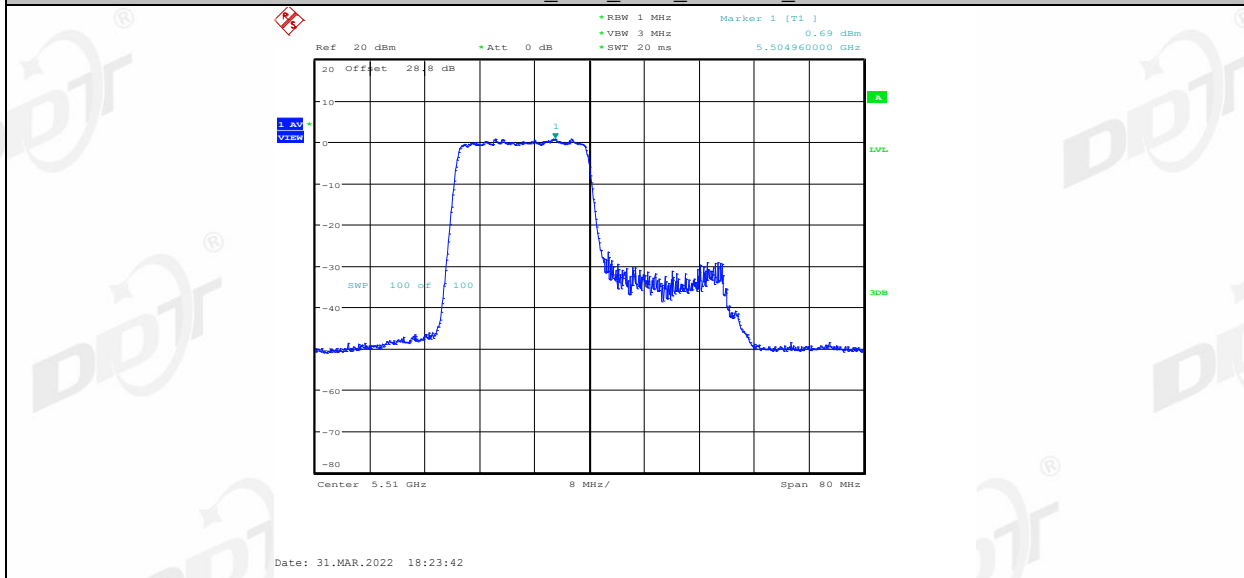
11AX40MIMO_Ant1_5510_242Tone_RU61



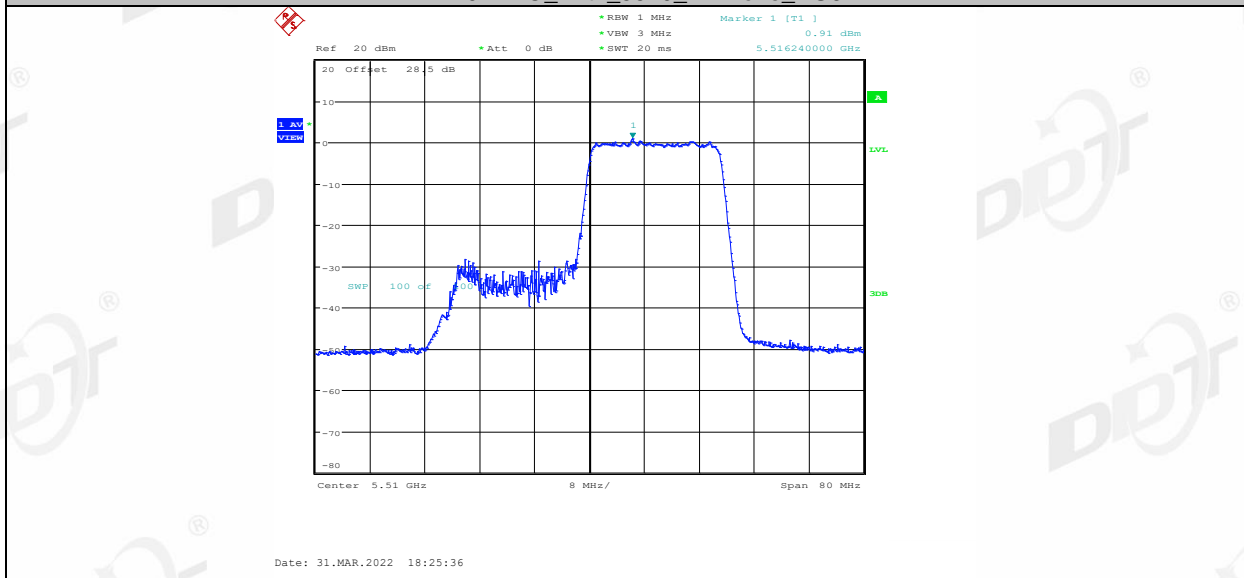
11AX40MIMO_Ant1_5510_242Tone_RU62



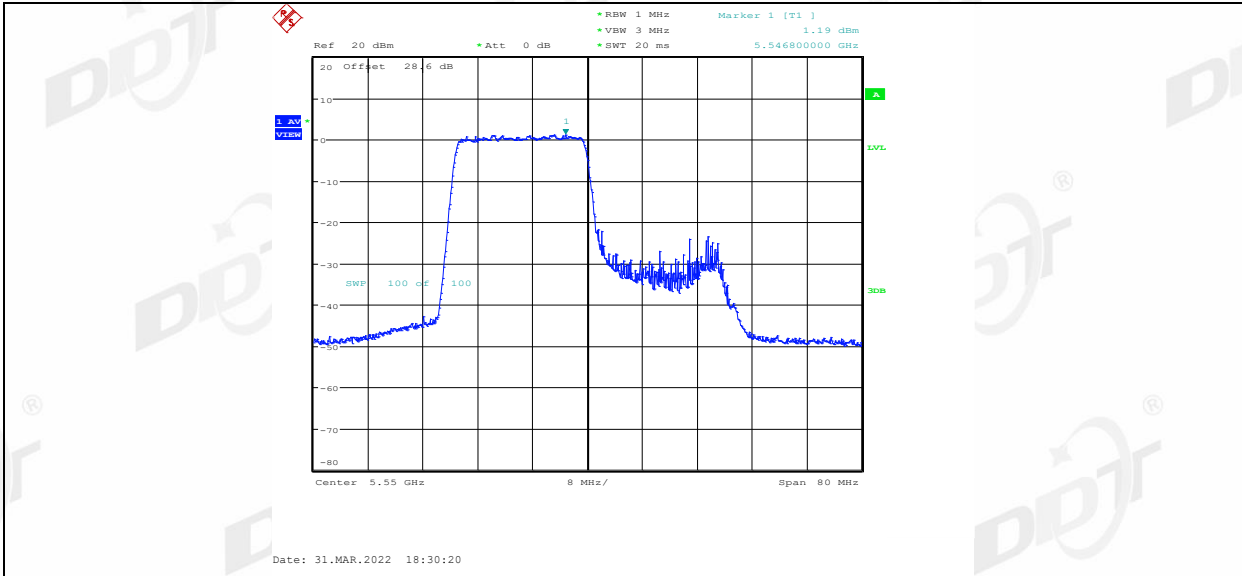
11AX40MIMO_Ant2_5510_242Tone_RU61



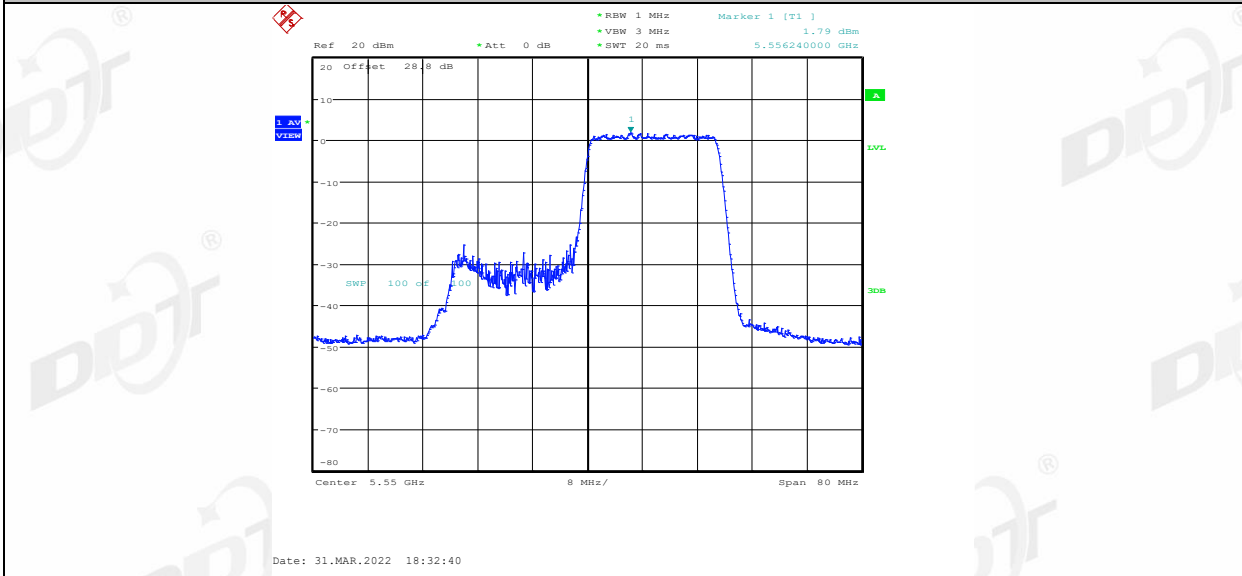
11AX40MIMO_Ant2_5510_242Tone_RU62



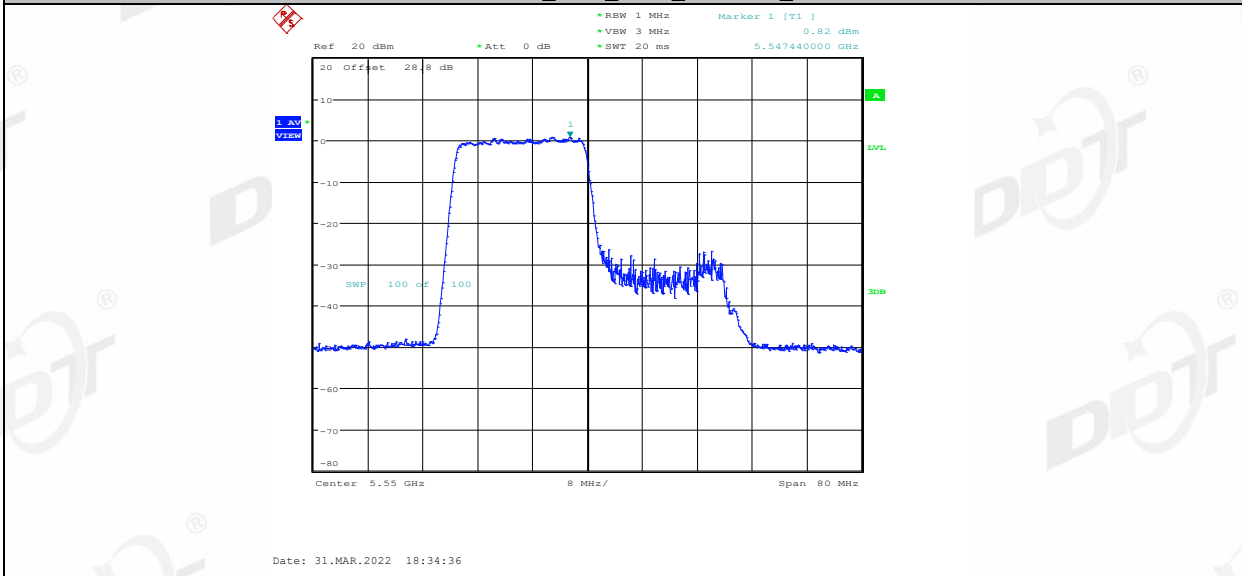
11AX40MIMO_Ant1_5550_242Tone_RU61



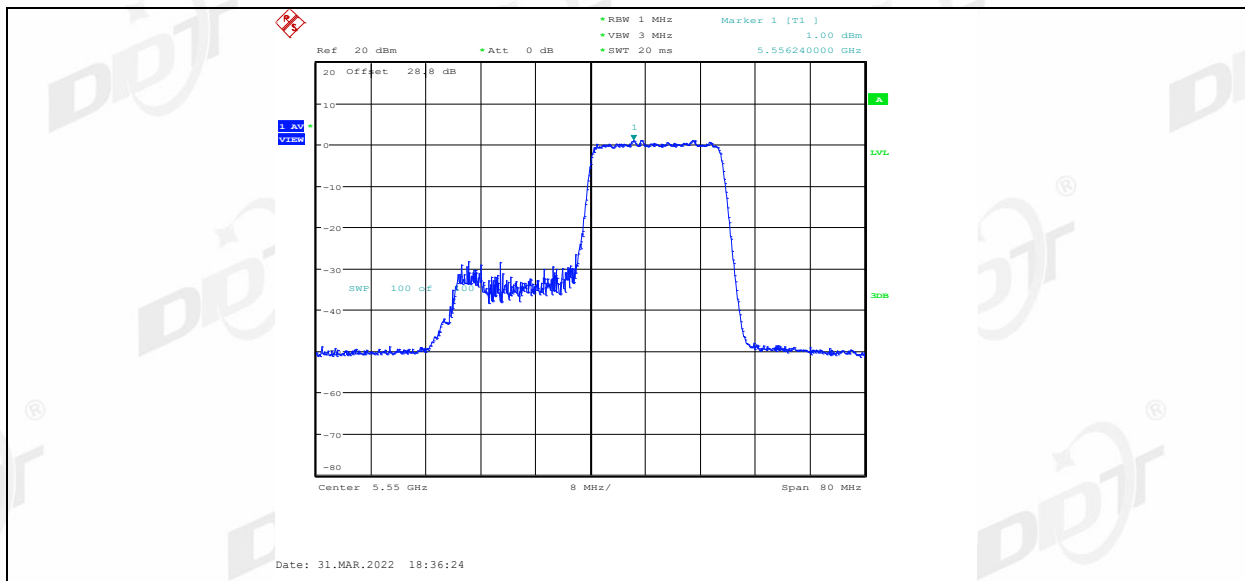
11AX40MIMO_Ant1_5550_242Tone_RU62



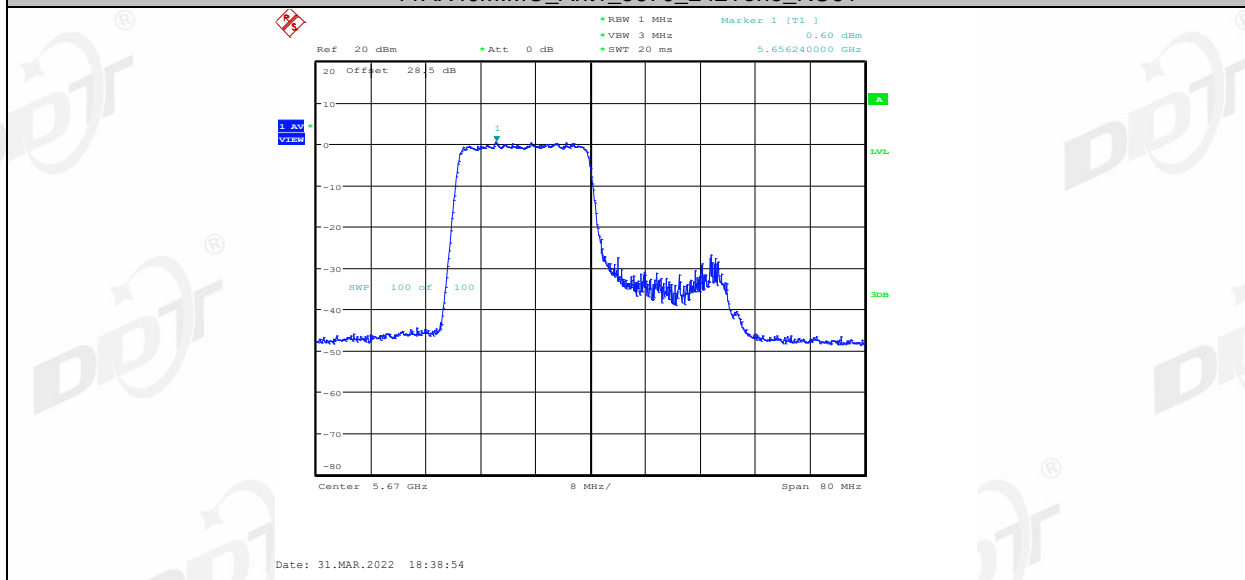
11AX40MIMO_Ant2_5550_242Tone_RU61



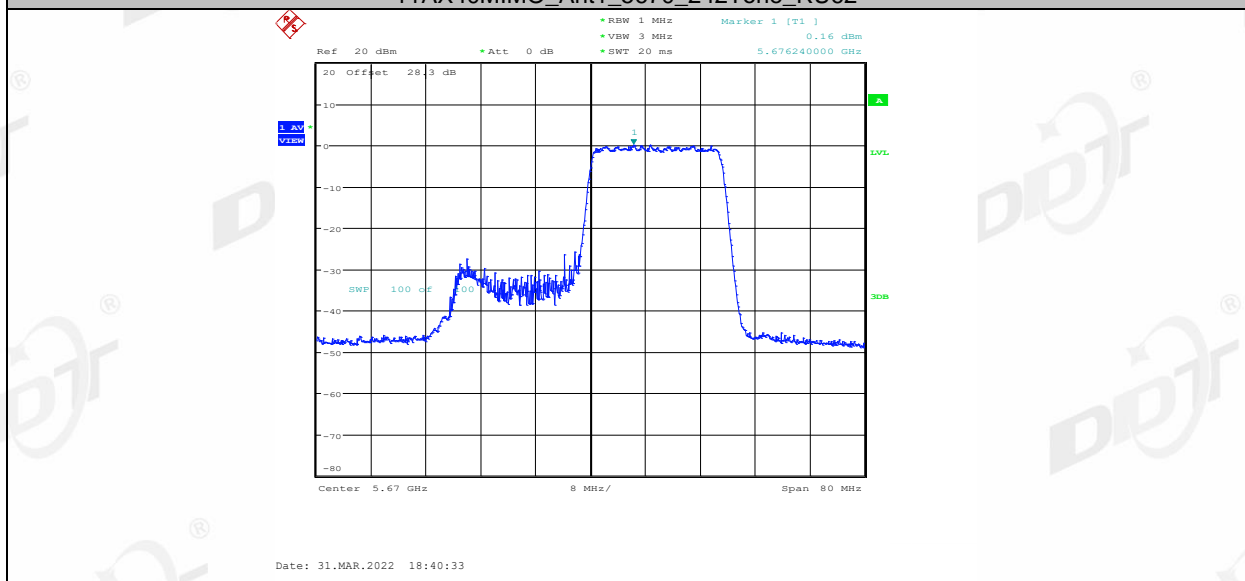
11AX40MIMO_Ant2_5550_242Tone_RU62



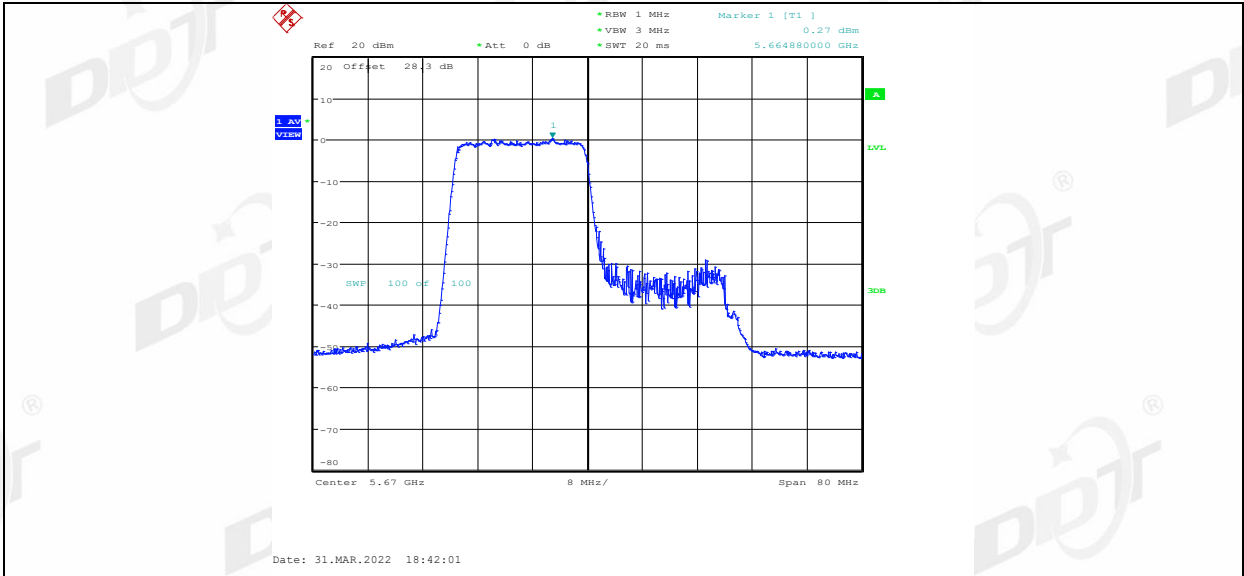
11AX40MIMO_Ant1_5670_242Tone_RU61



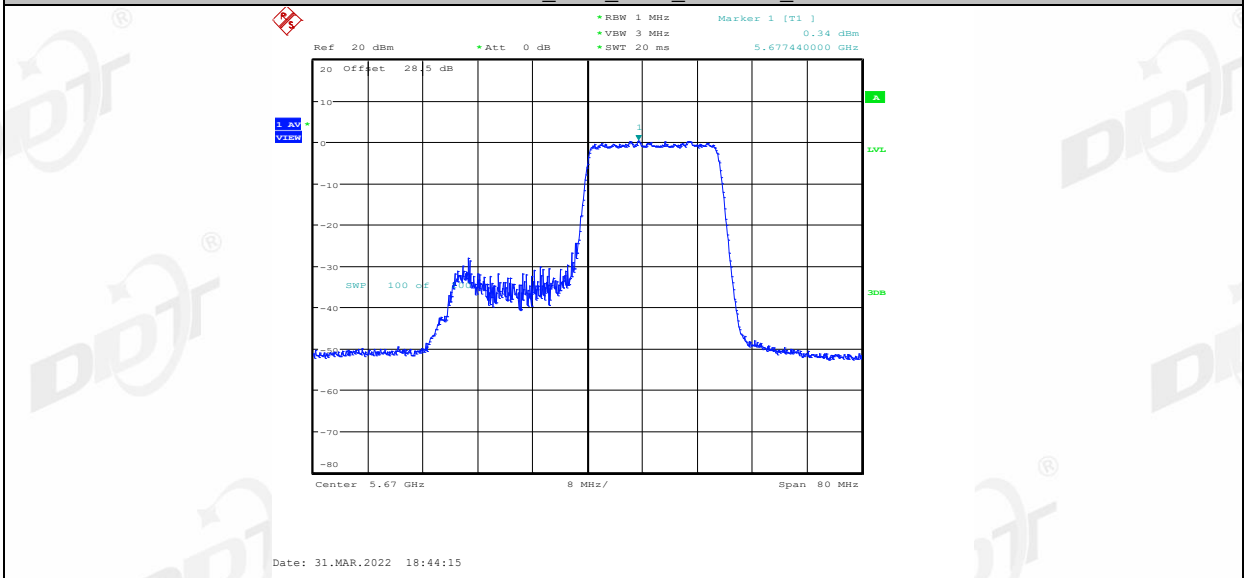
11AX40MIMO_Ant1_5670_242Tone_RU62



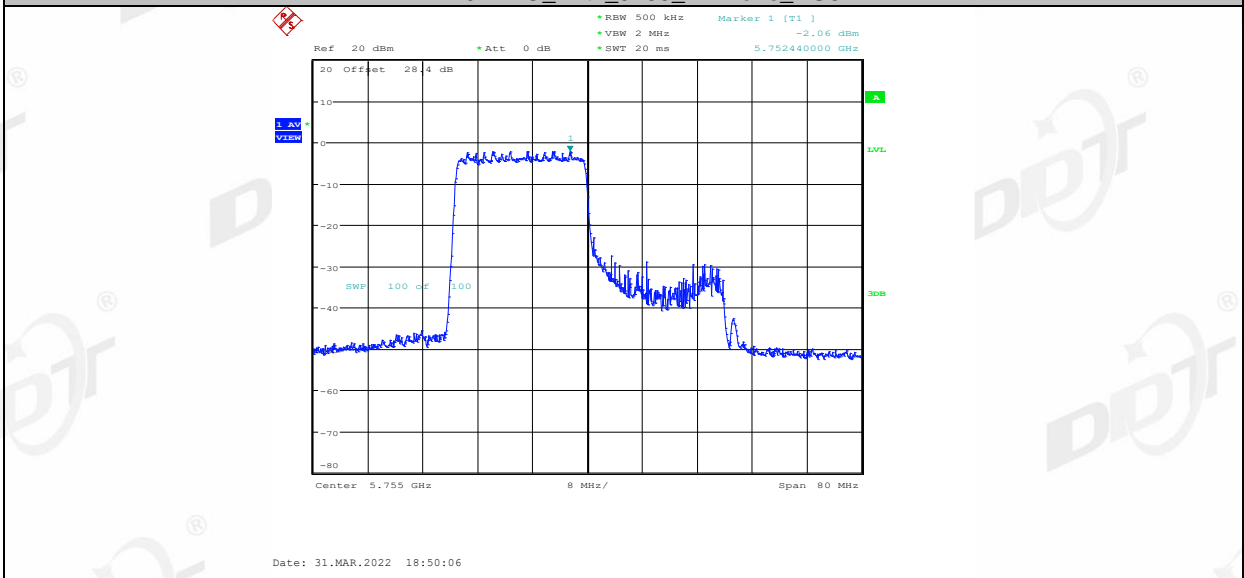
11AX40MIMO_Ant2_5670_242Tone_RU61



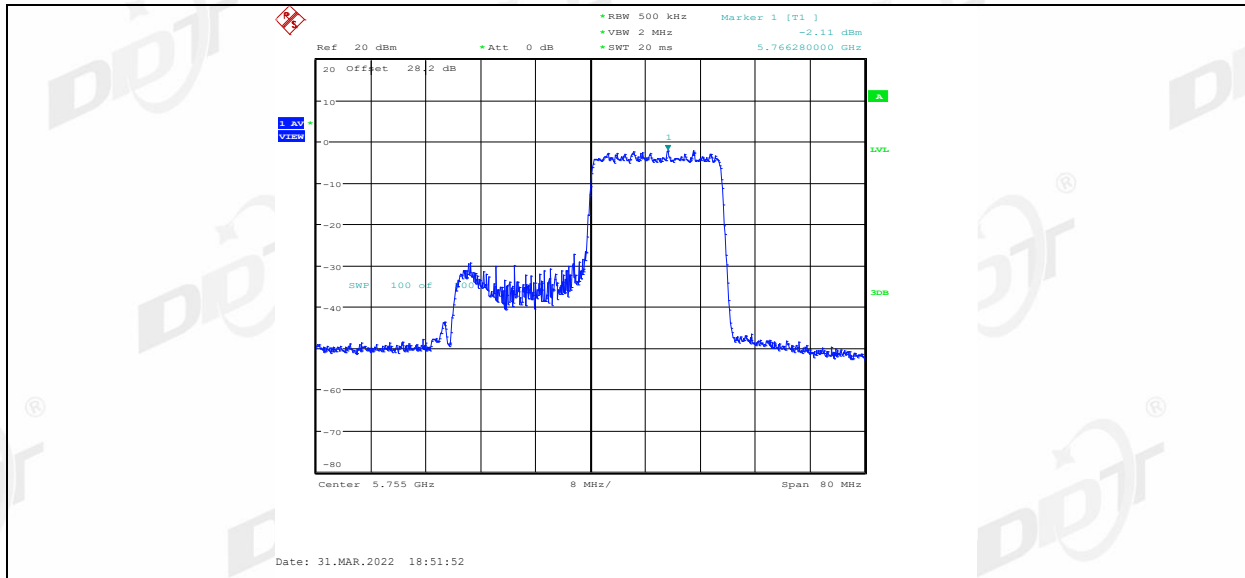
11AX40MIMO_Ant2_5670_242Tone_RU62



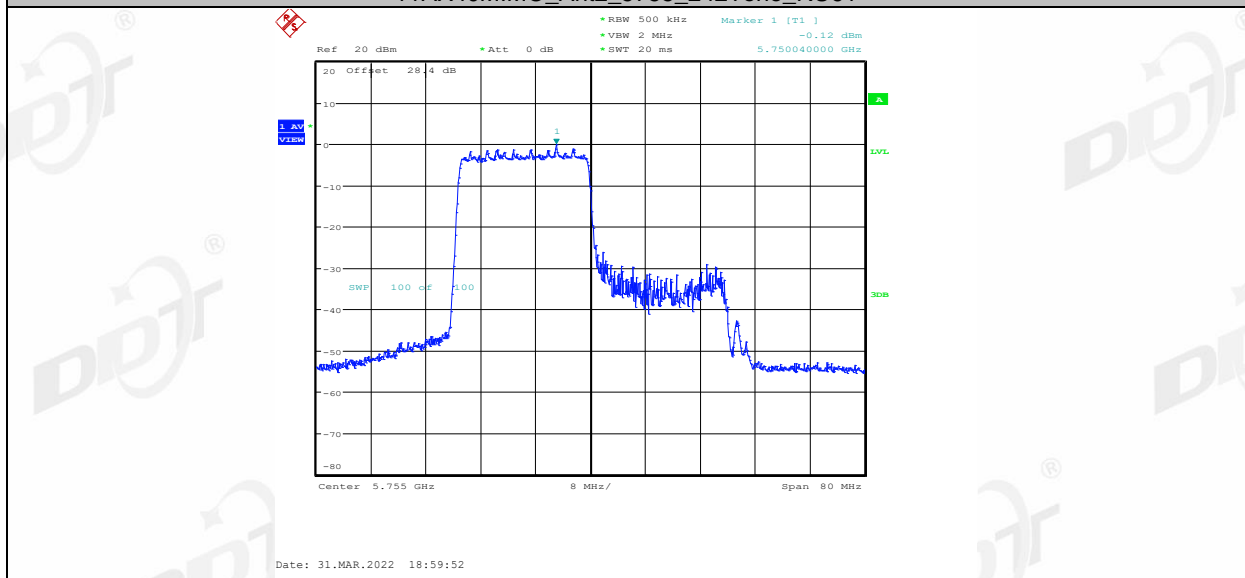
11AX40MIMO_Ant1_5755_242Tone_RU61



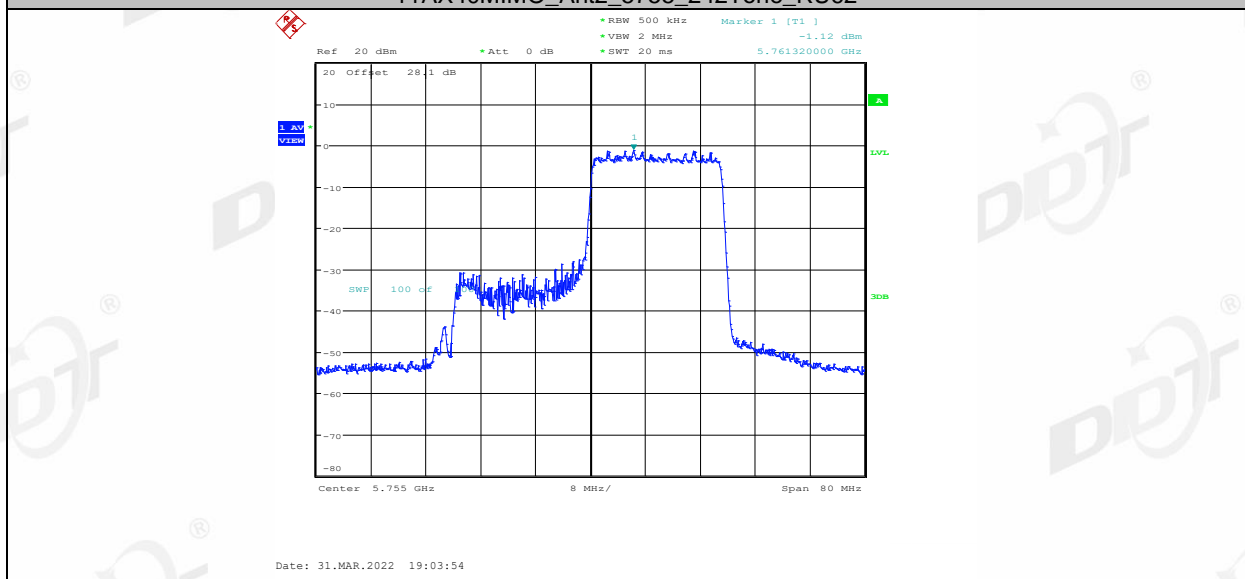
11AX40MIMO_Ant1_5755_242Tone_RU62



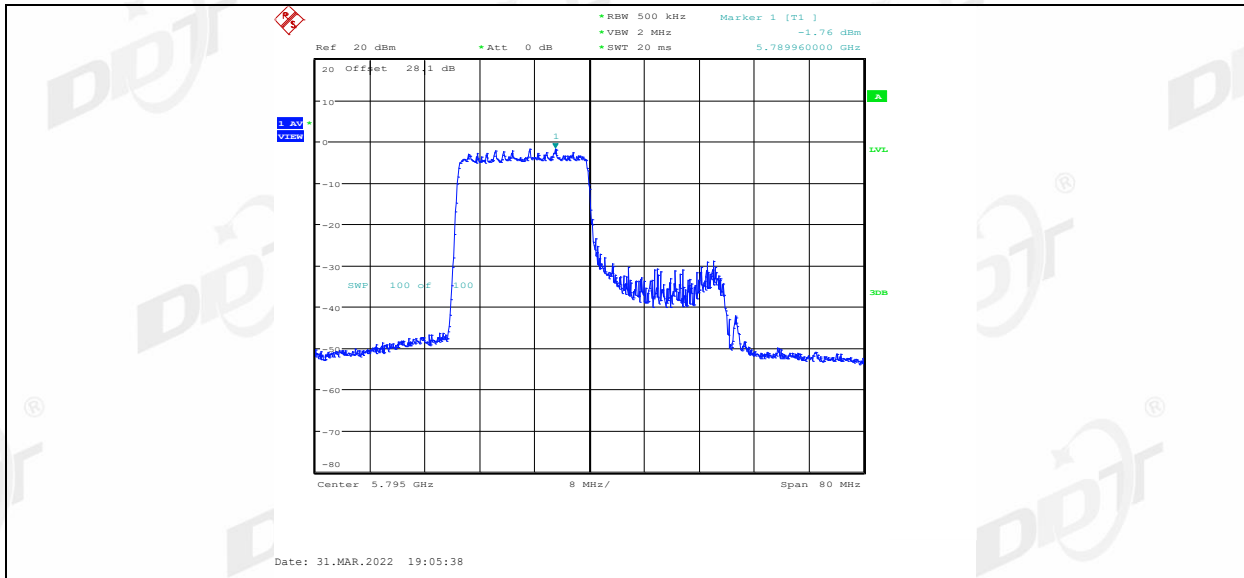
11AX40MIMO_Ant2_5755_242Tone_RU61



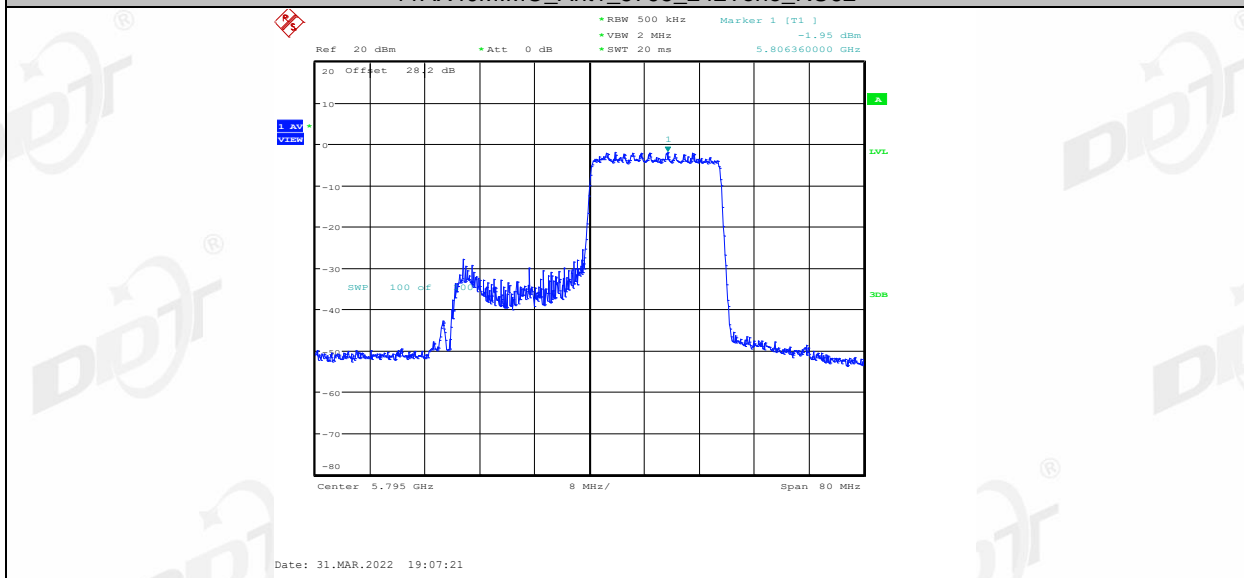
11AX40MIMO_Ant2_5755_242Tone_RU62



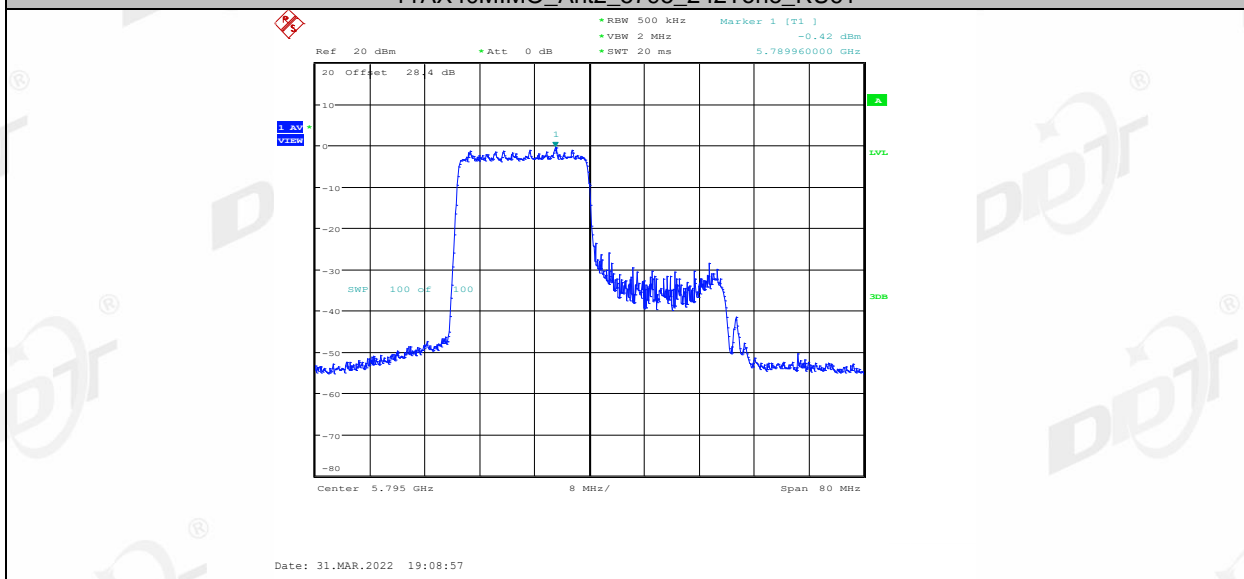
11AX40MIMO_Ant1_5795_242Tone_RU61



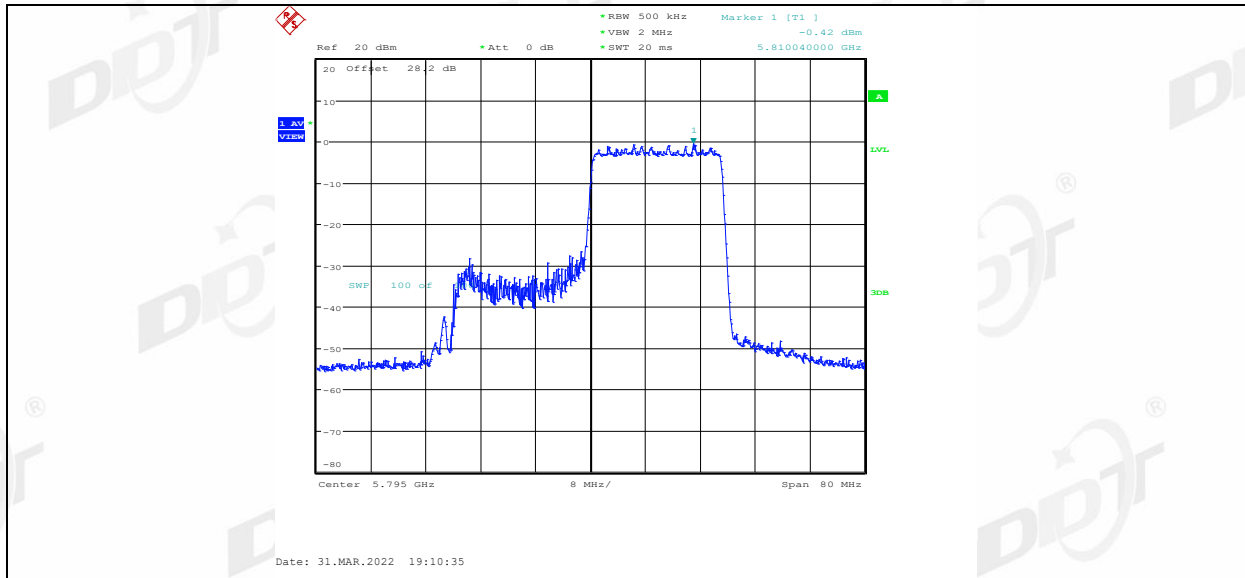
11AX40MIMO_Ant1_5795_242Tone_RU62



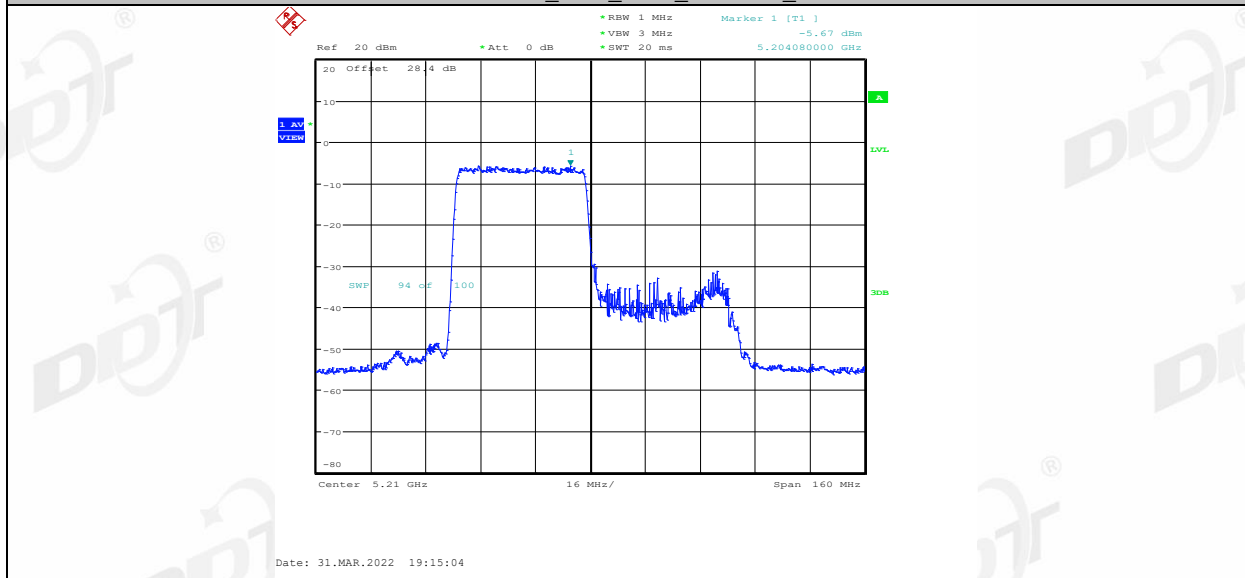
11AX40MIMO_Ant2_5795_242Tone_RU61



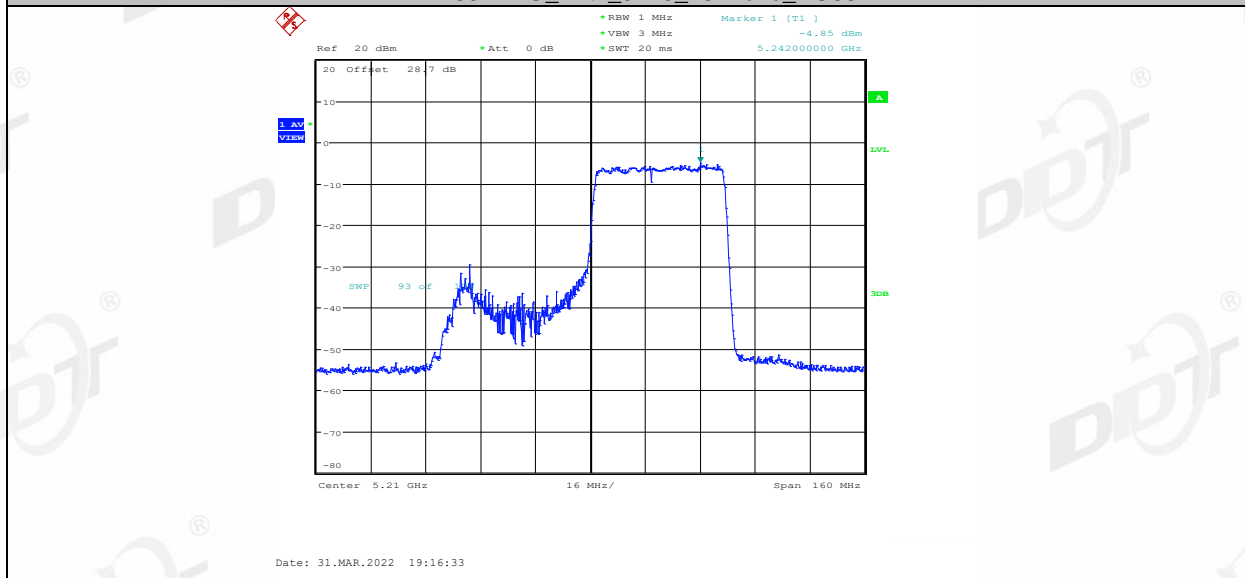
11AX40MIMO_Ant2_5795_242Tone_RU62



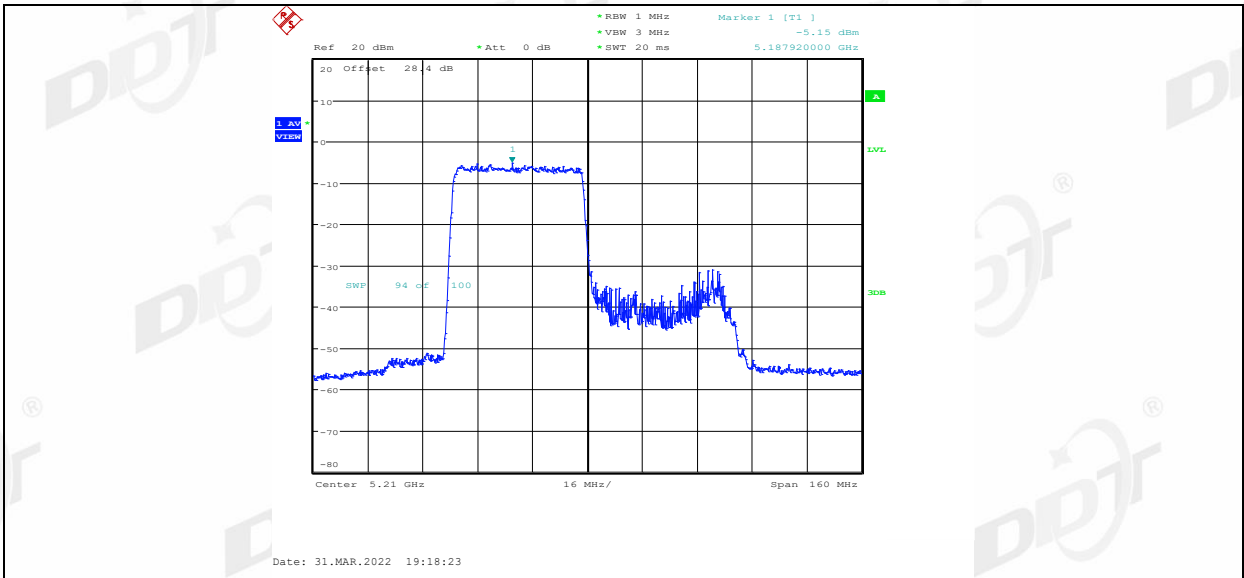
11AX80MIMO_Ant1_5210_484Tone_RU65



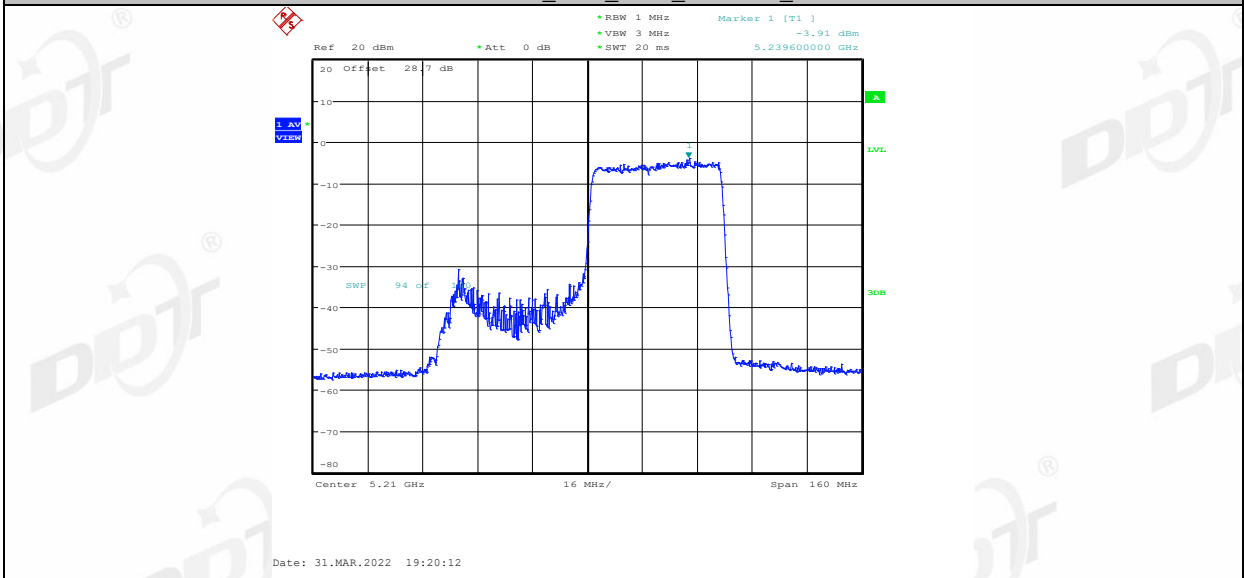
11AX80MIMO_Ant1_5210_484Tone_RU66



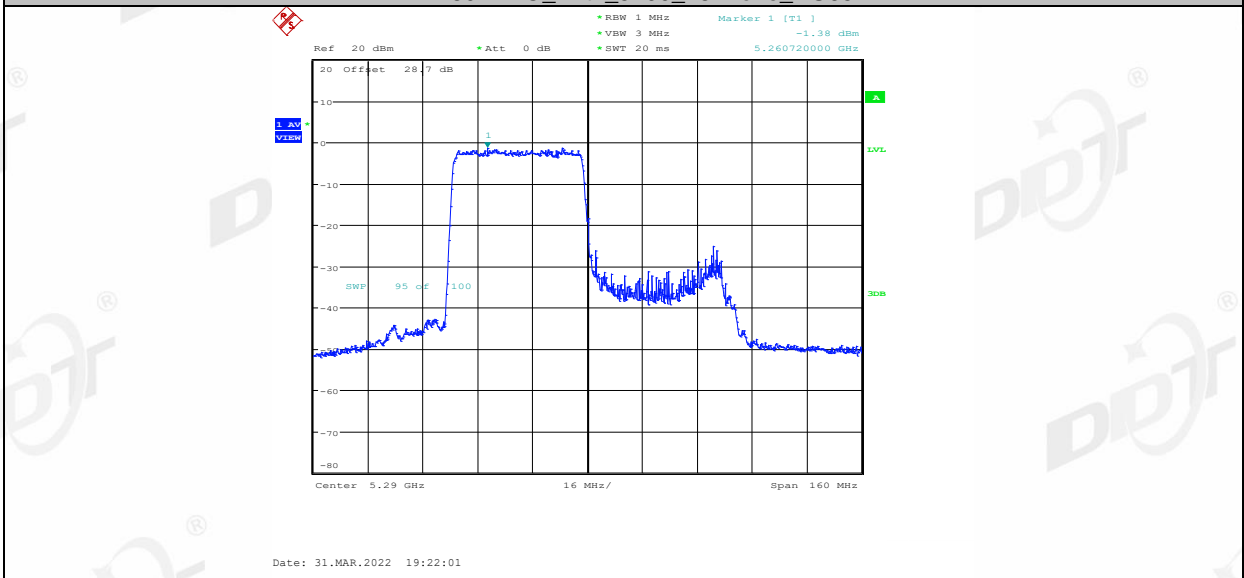
11AX80MIMO_Ant2_5210_484Tone_RU65



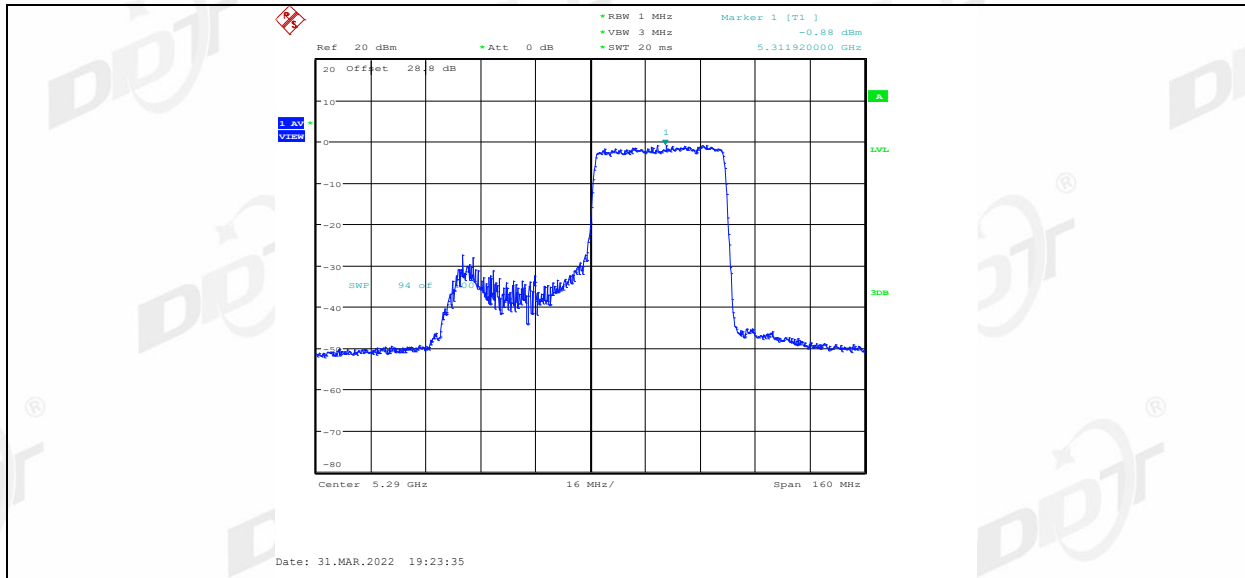
11AX80MIMO_Ant2_5210_484Tone_RU66



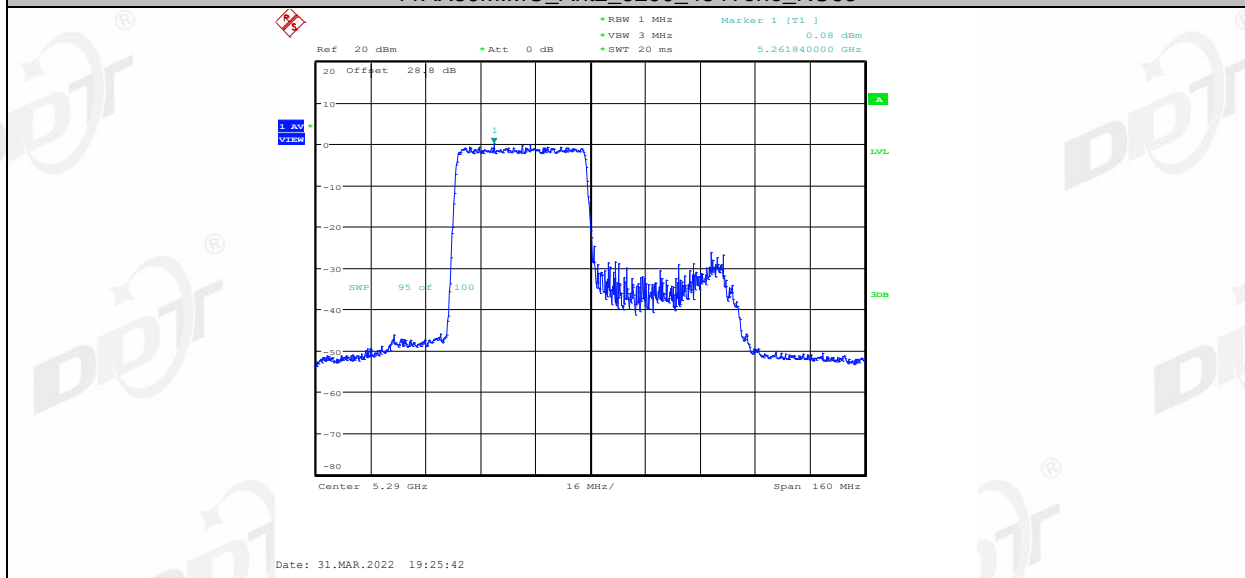
11AX80MIMO_Ant1_5290_484Tone_RU65



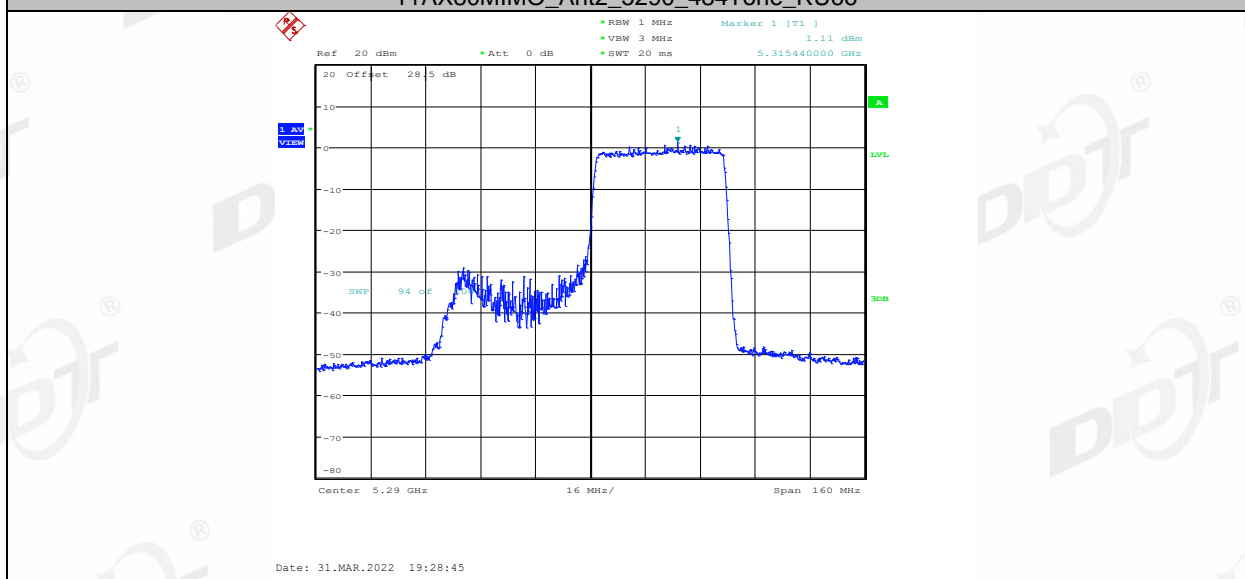
11AX80MIMO_Ant1_5290_484Tone_RU66



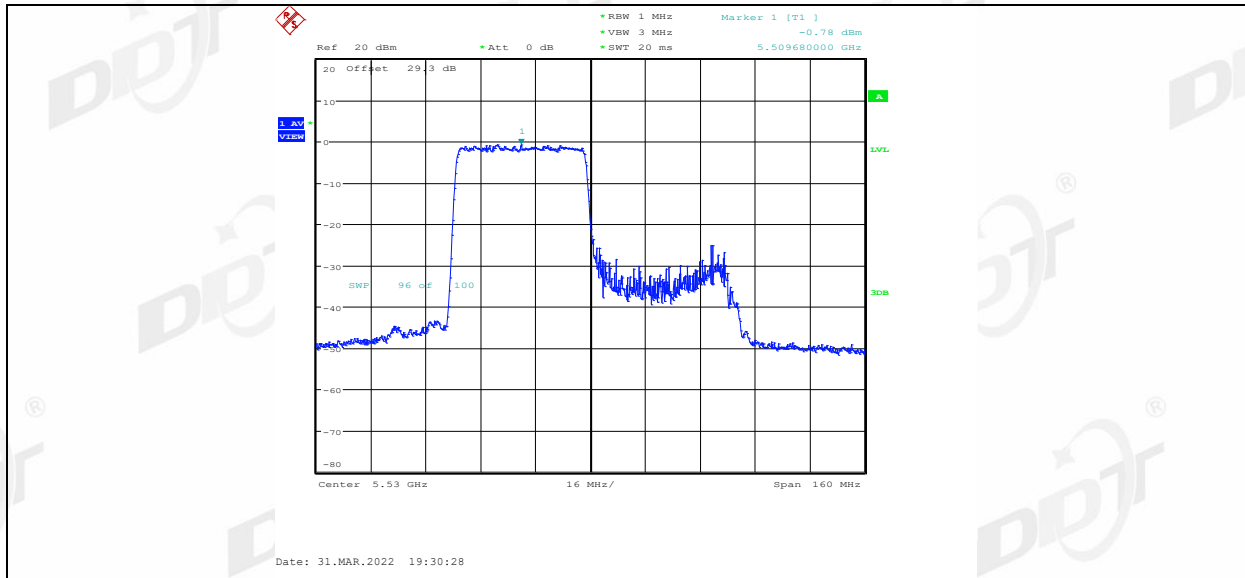
11AX80MIMO_Ant2_5290_484Tone_RU65



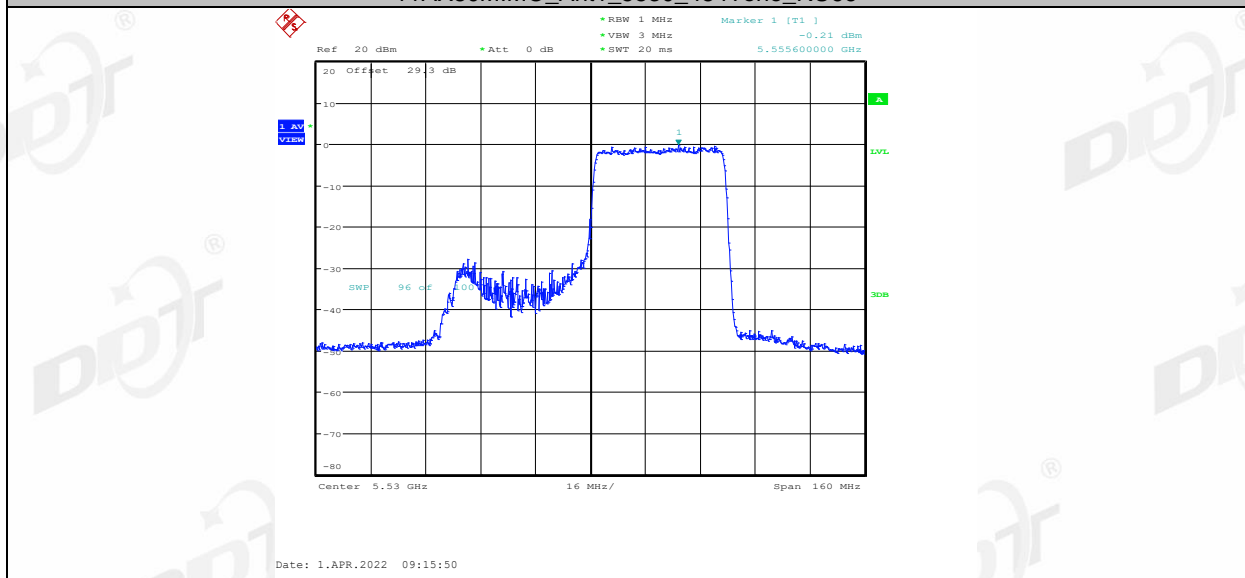
11AX80MIMO_Ant2_5290_484Tone_RU66



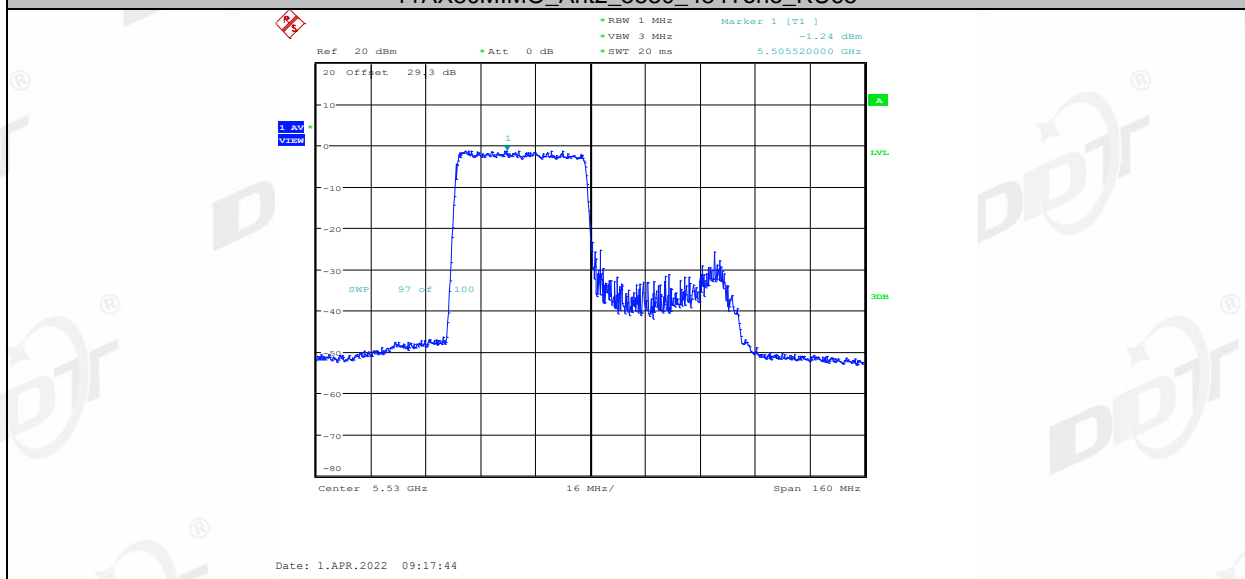
11AX80MIMO_Ant1_5530_484Tone_RU65



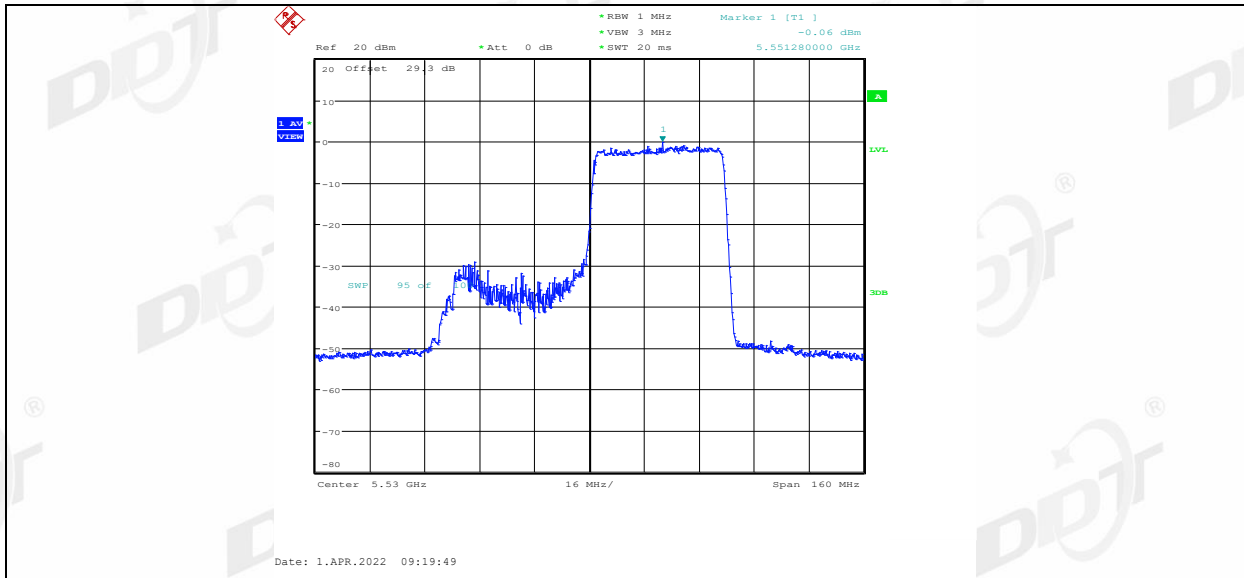
11AX80MIMO_Ant1_5530_484Tone_RU66



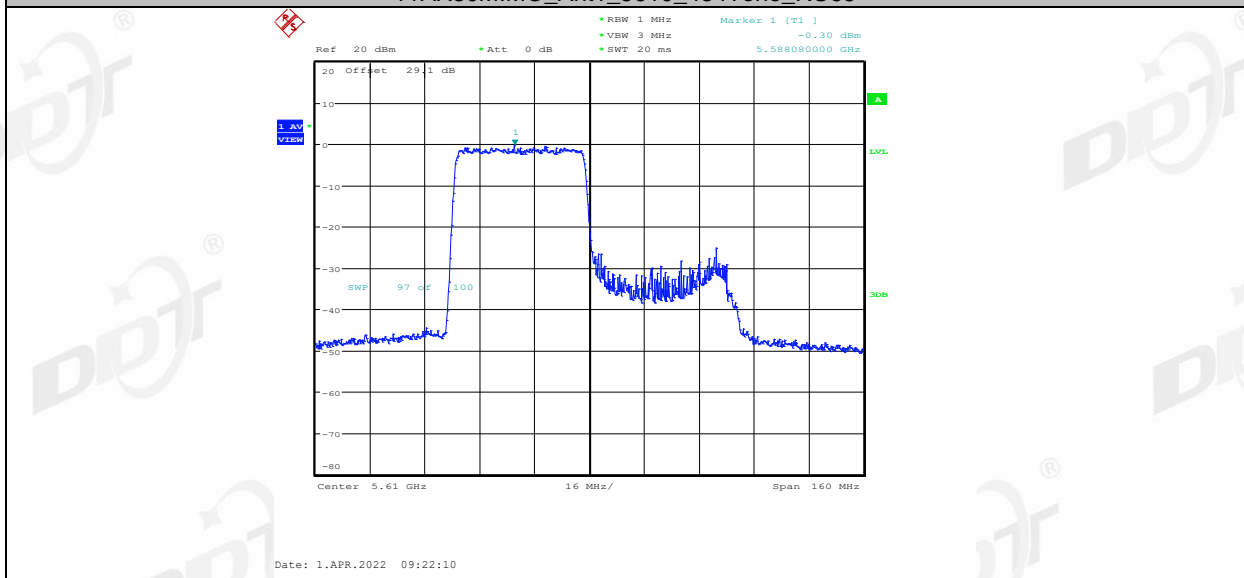
11AX80MIMO_Ant2_5530_484Tone_RU65



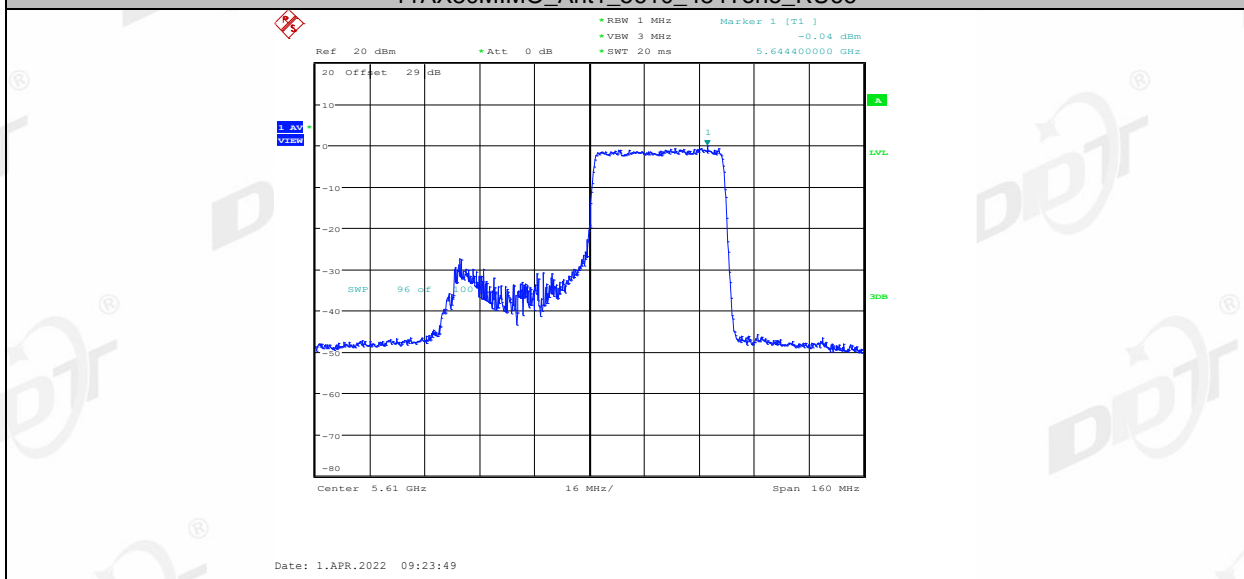
11AX80MIMO_Ant2_5530_484Tone_RU66



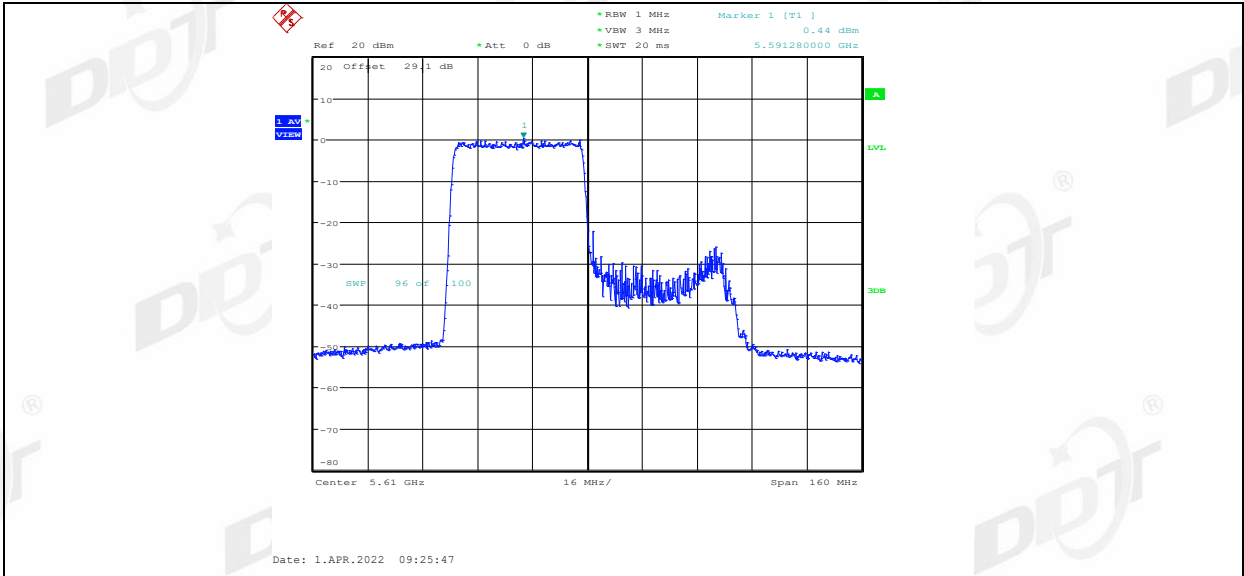
11AX80MIMO_Ant1_5610_484Tone_RU65



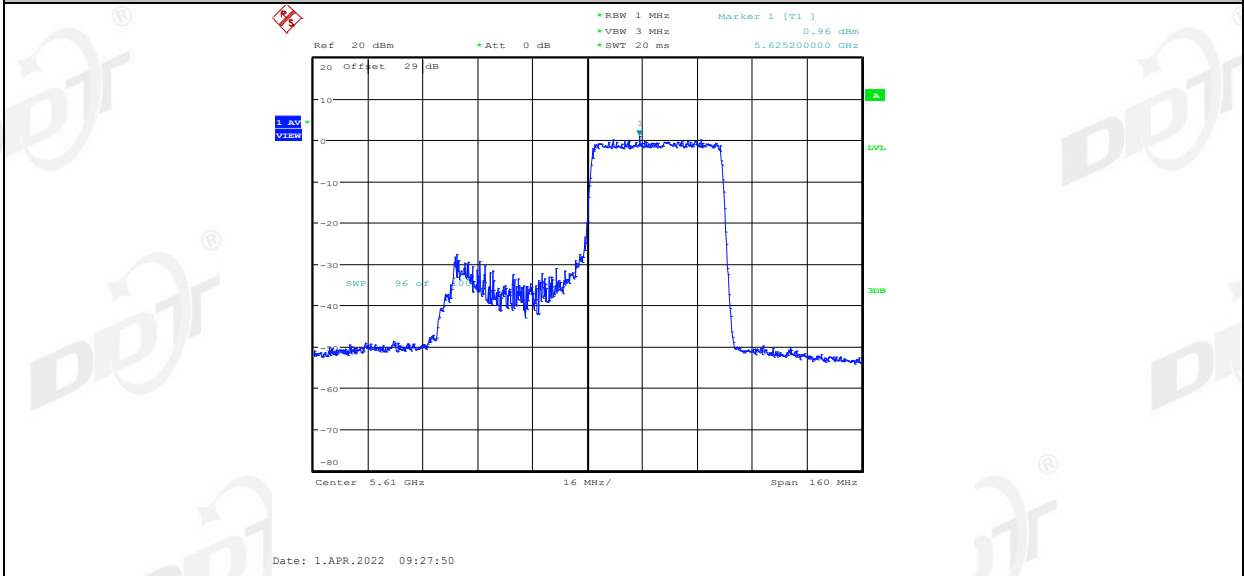
11AX80MIMO_Ant1_5610_484Tone_RU66



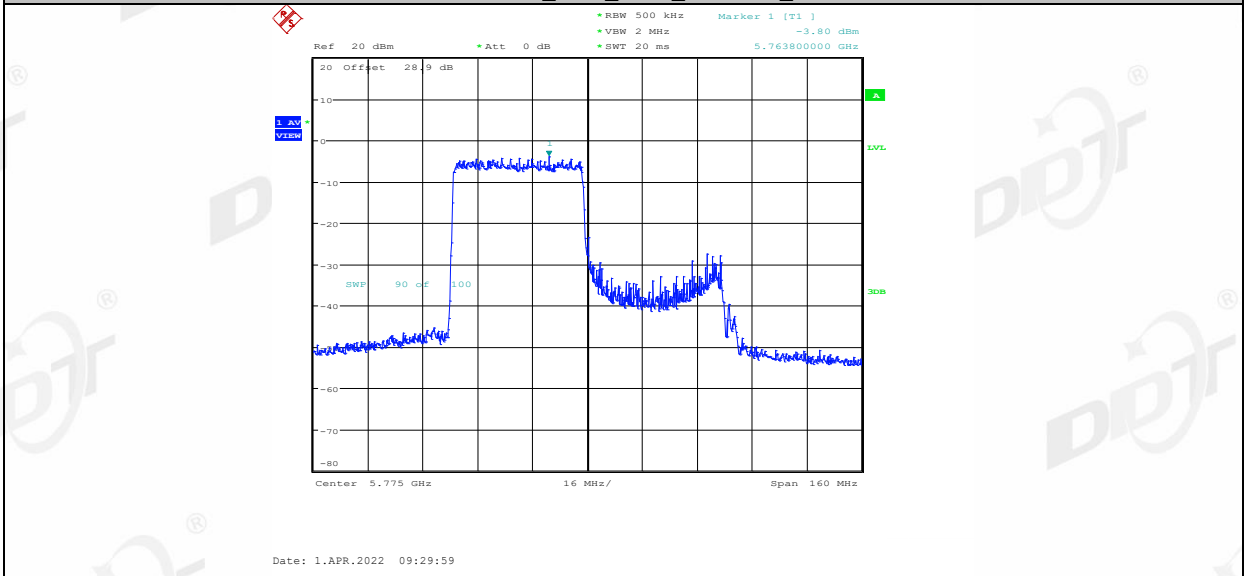
11AX80MIMO_Ant2_5610_484Tone_RU65



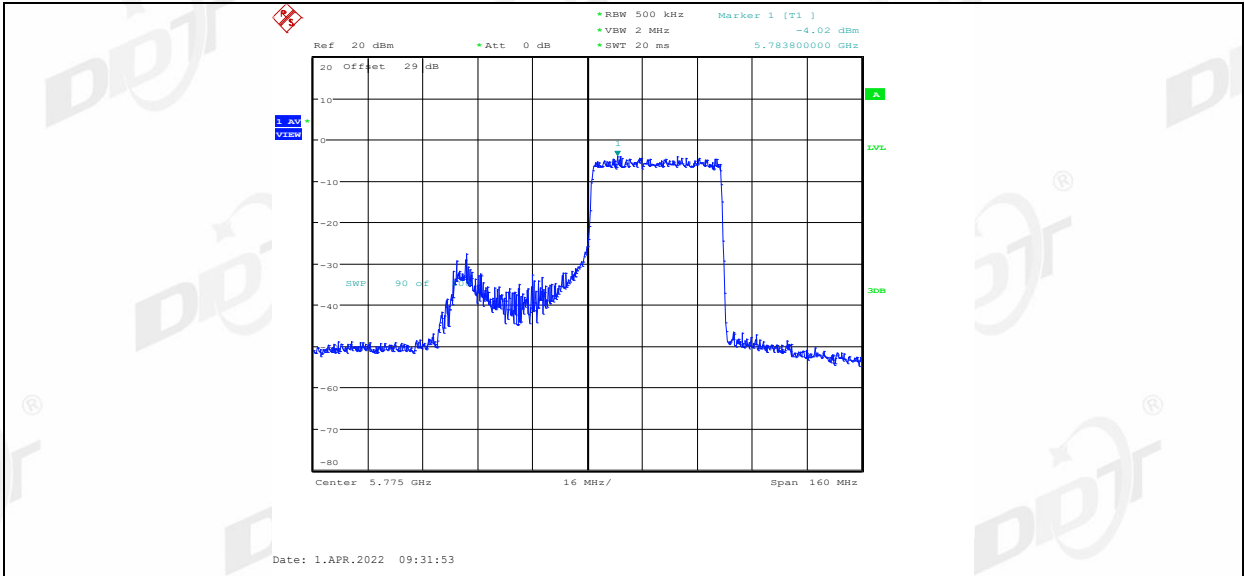
11AX80MIMO_Ant2_5610_484Tone_RU66



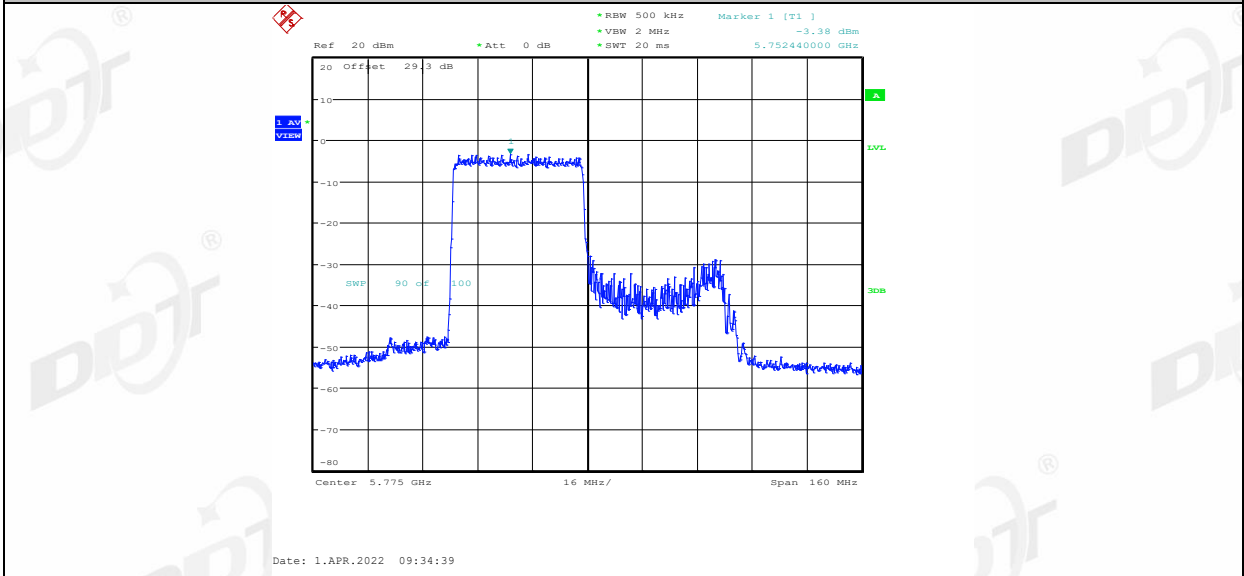
11AX80MIMO_Ant1_5775_484Tone_RU65



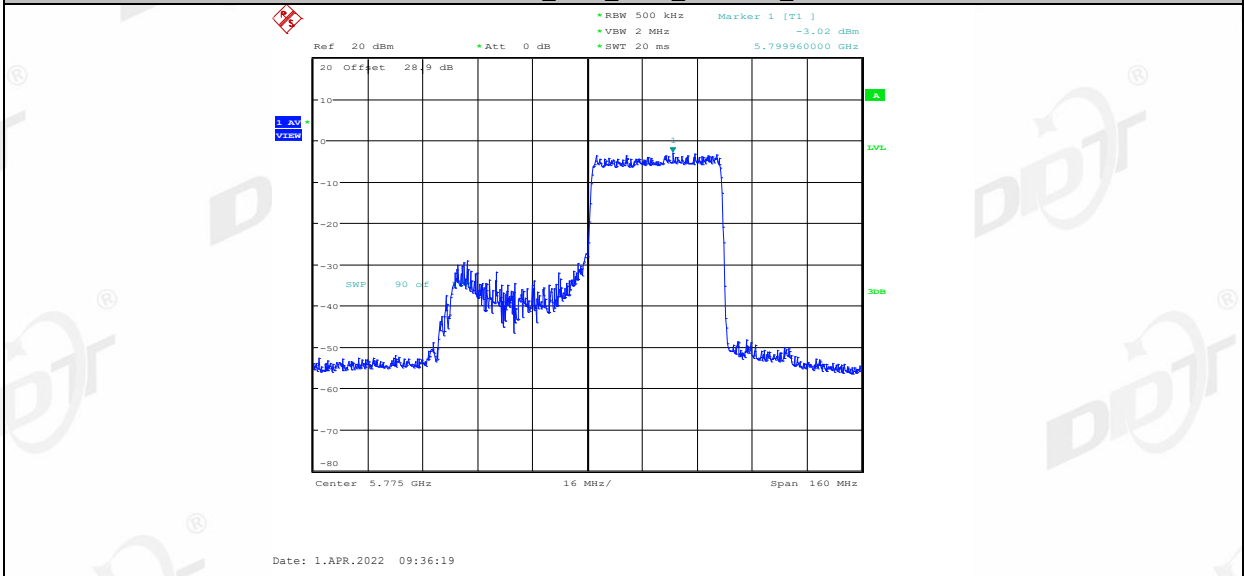
11AX80MIMO_Ant1_5775_484Tone_RU66



11AX80MIMO_Ant2_5775_484Tone_RU65



11AX80MIMO_Ant2_5775_484Tone_RU66



7. Frequency Stability Measurement

7.1. Limit of Frequency Stability

Manufacturers of U-NII devices are responsible for ensuring frequency stability such that an emission is maintained within the band of operation under all conditions of normal operation as specified in the user’s manual.

7.2. Measuring Instruments

The measuring equipment is listed in the section 4 of this test report.

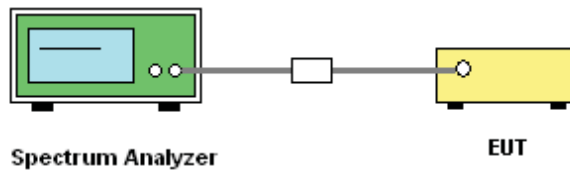
7.3. Test Procedures

(1) To ensure emission at the band edge is maintained within the authorized band, those values shall be measured by radiation emissions at upper and lower frequency points, and finally compensated by frequency deviation as procedures below.

(2) The EUT was operated at the maximum output power, and connected to the spectrum analyzer, which is set to maximum hold function and peak detector. The peak value of the power envelope was measured and noted. The upper and lower frequency points were respectively measured relatively 10 dB lower than the measured peak value.

(3) The frequency deviation was calculated by adding the upper frequency point and the lower frequency point divided by two. Those detailed values of frequency deviation are provided in table below.

7.4. Test Setup



7.5. Test Result

Test Mode	Antenna	Channel	Voltage					Limit (ppm)	Verdict
			Voltage [Vdc]	Temperature (°C)	Deviation (Hz)	Deviation (ppm)	Deviation (ppm)		
11A	Ant1	5180	NV	NT	-20000	-3.861004	20	PASS	
			LV	NT	-20000	-3.861004	20	PASS	
			HV	NT	-20000	-3.861004	20	PASS	
	Ant2	5180	NV	NT	-20000	-3.861004	20	PASS	
			LV	NT	-20000	-3.861004	20	PASS	
			HV	NT	-20000	-3.861004	20	PASS	
	Ant1	5200	NV	NT	-20000	-3.846154	20	PASS	
			LV	NT	-40000	-7.692308	20	PASS	
			HV	NT	-40000	-7.692308	20	PASS	
	Ant2	5200	NV	NT	-20000	-3.846154	20	PASS	
			LV	NT	-20000	-3.846154	20	PASS	
			HV	NT	-20000	-3.846154	20	PASS	
Ant1	5240	NV	NT	-20000	-3.816794	20	PASS		
		LV	NT	-20000	-3.816794	20	PASS		